

## ელემტრონის საიდი და მასთან დაკავშირებული მოვლენები

ექსპრიმენტული დადგენილი უქნა, რომ ელექტრონს გააჩნია საკუთარი მე-  
ქანიკური მომენტი, რომელსაც სპინი უწოდეს. ასანიშნავია, რომ სპინის ორმო-  
ჩენიდან გავიღა თას ათეულზე მეტი წელი და მისი წარმოშობის ბუნება დღესაც  
უცვიბია. ელექტრონის სპინთან დაკავშირებულია მთელი რიგი მოვლენებისა, რო-  
მელთა შესწავლასაც ეძღვნება ეს თავი. ამასთან, ზოგიერთი მოვლენის გამოკვლე-  
ვას გადავდებთ შემდგომისათვის, როცა ელექტრონის რელატივისტურ მექანიკას  
განვიხილავთ. ამ თავში დაწერილია სპინის მეონე ელექტრონის მოძრაობის გან-  
ტოლება, რომელიც შრედინგერის განტოლების განზოგადებას წარმოადგენს. ამავე  
თავში შესწავლილია ატომის ენერგეტიული დონეების მულტიპლეტური სტრუქტუ-  
რის საკითხი და ზექმანის უფასოება. განხილულია აგრეთვე ერთეულექტრონიანი ატო-  
მების პარამაგნიტიზმისა და დიამაგნიტიზმის მოვლენები.

### § 92. ელემტრონის სპინი

განვიხილოთ ერთეულექტრონიანი ატომი ნორმალურ მდგომარეობაში; ამ შემ-  
თხვევაში მთავარი კვანტური რიცხვი  $n = 1$  და, ამიტომ, როგორც რაციალური  $n_r$ ,  
ისე აზიმუტალური  $I$  კვანტური რიცხვები ნულია ან, როგორც ამბობენ;  
ელექტრონი იმყოფება  $1s$  მდგომარეობაში. ჩვენ ვაჩვენეთ, რომ წყალბადისებური  
ატომის მაგნიტური მომენტი მექანიკურ მომენტის მომენტულით

$$M_z^l = -\frac{e}{2\mu c} l_z. \quad (92,1)$$

რადგან  $l_z = m_l$ , სადაც  $m$  იცვლება —  $l$ -იან |  $l$ -მდე, ამიტომ  $M_z^l = 0$ , როცა  $l = 0$ .  
ამინდა, წყალბადისებურ ატომს ძირითად მდგომარეობაში მაგნიტური მომენტი  
არ გააჩნია. ცდები კი ამ გარემოებას არ ადასტურებს. შტერნისა და ჰერლახის  
მიერ დამტკიცებულ იქნა, რომ ძირითად მდგომარეობაში მყოფი წყალბადისებური  
ატომების ნაკადი მაგნიტურ ველში გაფლისას ორად იყოფა, რაც მაჩვენებელია  
იმისა, რომ წყალბადისებურ ატომს ძირითად მდგომარეობაშიც გააჩნია რაღაც  
გაურკვეველი ბუნებით გამოწვეული მაგნიტური მომენტი, რომელიც არაა დაკავ-  
შირებული ატომში ელექტრონის ორბიტალურ მოძრაობასთან. რადგან ნაკადი მაგ-  
ნიტურ ველში ორად იყოფა, ეს იმას ნიშნავს, რომ :ლნიშნულ მაგნიტურ მომენტს  
მაგნიტური ველის დაძაბულობის გასწორივ გააჩნია ორი პროექცია. გაზომვებმა

გვიჩვენა, რომ ამ მაგნიტური ბოლონტის აბსოლუტური სიდიდე ბორის მაგნეტონის  
 $M_B = \frac{e\hbar}{2\mu c}$  ტოლია.

ამგვარად, ძირითად მდგომარეობაში წყალბადისებურ ატომს გააჩნია მაგნიტური მომენტი, რომელიც ველის გასწვრივ იღებს ორ მნიშვნელობას —  $M_B$  და  $-M_B$ , ე. ი.

$$-\frac{e\hbar}{2\mu c} \text{ და } +\frac{e\hbar}{2\mu c}. \quad (92,2)$$

ჩვენ ვიცით, რომ ყოველ მექანიკურ მომენტან დაკავშირებულია მაგნიტური მომენტი. ახლა კი შეგვიძლია პირიქითაც დავასკვნათ, რომ ატომის ზემოთ აღნიშნულ მაგნიტურ მომენტანაც დაკავშირებულია შევანიდური მომენტი, რომელის პროექცია ღებს შხოლოდ ორ მნიშვნელობას. თუ ამ მექანიკური მომენტის კვანტურ რიცხვს აღვნიშვნავთ ა-ით, მაშინ მომენტის ფასისებისა და ზემოთ თქმულის თანახმად მას ექნება სულ  $2 = (2s+1)$  პროექცია. აქედან კი გამომდინარეობს, რომ  $s = \frac{1}{2}$ . პაუდსმიტმა და ულენბეკმა აღნიშნული მექანიკური მომენტი ელექტრონს მიაწერეს, და მას ელექტრონის საკუთარი მექანიკური მომენტი ან სპინი უწოდეს. სპინი ინგლისური სიტყვაა და იმავას ბრძალას — ბრუნვას. შემდგომში საკუთარი მექანიკურ მომენტის ნაცვლად, შემოკლების მიზნით, ვიხმართ სპინს. თუ სპინური მომენტის ოპერატორს აღვნიშნავთ  $\hat{s}$ -ით, მაშინ (92,2) ფორმულის თანახმად, შეგვიძლია დავწეროთ

$$\hat{M}^s = -\frac{e}{\mu c} \hat{s}, \quad (92,3)$$

სადაც  $\hat{M}^s$  არის სპინთან დაკავშირებული მაგნიტური მომენტის ოპერატორი, ხოლო  
 $\hat{s} = \frac{\hbar}{2} \sigma^0, \quad (92,4)$

სადაც  $\sigma^0$  არის ოპერატორი, რომლის  $s$  კომპონენტს აქვს ორი საკუთარი მნიშვნელობა  $+1$  და  $-1$ . ე. ი.  $s_z = \hbar/2$  და  $s_z = -\hbar/2$ . (92,3) ფორმულიდან ჩვენ ვწერავთ, რომ სპინური გირომაგნიტური ფარდობა

$$g_s = \left| \frac{M^s}{s} \right| = \frac{e}{\mu c} \quad (92,5)$$

ორბიტალურ გირომაგნიტურ ფარდობაზე ორჯერ მეტია, ე. ი.  $g_i = \frac{1}{2} g_s$ . შევ-

ნიშნოთ, რომ (92,5) თანაფარდობა ცდაზე ჭერ კიდევ 1915 წელს იყო დადგენილი აინშტეინისა და დე-პასისის მიერ ფერომაგნეტური ლეროს დამაგნიტების შესწავლისას.

ამგვარად, ელექტრონს გააჩნია ოთხი თავისუფლების ხარისხი. ამასთან, მეოთხე თავისუფლების ხარისხს წარმოადგენს სპინი. იგი კვანტური სიდიდეა და ღებულობს მხოლოდ ორ მნიშვნელობას.

პირველურ-ფილი წარმოდგენა იმის შესახებ, რომ ფლექტრონის სპინი წარმოადგენს ელექტრონის საკუთარი ღერძის ირგვლივ ბრუნვის მექანიკურ მომენტს, სინამდვილეს არ შეესაბამება, რადგან ასეთი წარმოდგენა ეწინააღმდეგება ფარდობითობის სპეციალურ თეორიას. მართლაც, იმისათვის, რომ აზრი ჰქონდეს საკუთარი ღერძის ირგვლივ ბრუნვას, ელექტრონს უნდა გააჩნდეს გარკვეული მოცულობა. დავუკავათ, ელექტრონი წარმოადგენს სფეროს. რომელის რადიუსი რიგით

ელექტრონის კლასიური რადიუსის  $R = e^2/\mu c^2$  ტოლია. მაშინ ელექტრონის ზედაპირის რომელიმე წერტილის ხაზოვანი სიჩქარე ტოლი იქნება  $v = R\omega$ , სადაც  $\omega$  ორის ბრუნვის კუთხური სიჩქარე. მეორე მხრივ, სფეროს იმპულსის მოძრაობა და ბრუნვის კუთხურ სიჩქარეს შორის გვაქვს დამოყდებულება  $I = J_0\omega$ , სადაც  $J_0$  ორის სფეროს ინერციის მომენტი  $J_0 = \frac{2}{5}\mu R^2$ . რადგან როტატორისათვის მომენტის სიგრძე ტოლია  $|I| = \hbar\sqrt{\gamma(\gamma + 1)}$ , ამიტომ ხაზოვანი სიჩქარისათვის გვენება

$$v = R \cdot \frac{\hbar\sqrt{\gamma(\gamma + 1)}}{J_0} = \frac{5\hbar\sqrt{\gamma(\gamma + 1)}}{2\mu R}. \quad (92,6)$$

თუ შევიტანთ ელექტრონის კლასიური რადიუსის მნიშვნელობას საძიებელი სიჩქარისათვის მივიღებთ

$$v = \frac{5c\sqrt{\gamma(\gamma + 1)}}{2\alpha_0} \quad (92,7)$$

სადაც  $\alpha_0 = 1/137$  არის ზომერფელდის ნაზი სტრუქტურის კოეფიციენტი. ცხადია, რომ ნებისმიერი  $\gamma \neq 0$  მნიშვნელობისათვის ელექტრონის ზედაპირის ნებისმიერი წერტილის სიჩქარე  $v > c$ , რაც ფარდობითობის თეორიით დაუშვებელია. უკვე ის ფაქტი, რომ ელექტრონს გარკვეული ზომა მივაჭიშეთ, აშეარა, არღვევს რელატიუსტურ ინვარიანტობას.

### § 93. ელემენტორნის სპინის ოპერატორი

გამოვარკვით, რა სახე აქვს სპინის ოპერატორს; როგორც ყველა ფიზიკური სიდიდის ოპერატორი, ასევე სპინის ოპერატორიც ერმიტული უნდა იყოს, რადგან მისი საკუთარი მნიშვნელობები ნამდვილი სიდიდეებია. ამ ოპერატორის მდგრელები საკოორდინატო ღერძებზე აღვნიშნოთ  $\hat{s}_x, \hat{s}_y, \hat{s}_z$ -ით. რადგან სპინი მომენტია, ამიტომ მას უნდა ჰქონდეს მომენტისათვის დამახასიათებელი ყველა თვისება; კერძოდ,  $\hat{s}_x, \hat{s}_y, \hat{s}_z$  ოპერატორები უნდა აქმაყოფილებდნენ კომუტაციის შემდეგ თვისებებს:

$$[\hat{s}_l, \hat{s}_k] = -i\epsilon_{lkm} \hat{s}_m \quad (93,1)$$

ხოლო

$$\hat{s}_z = m_s \hbar, \quad (93,2)$$

სადაც  $m_s = +1/2$  და  $m_s = -1/2$ .  $m_s$ -ს უწოდებენ სპინურ მაგნიტურ კვანტურ რიცხვს. იგი იღებს მნიშვნელობებს  $+s$ -დან  $-s$  მდე.  $s$ -ს ეწოდება სპინური კვანტური რიცხვი და იგი ტოლია  $s = 1/2$ , ე. ი.  $m_s$  იღებს სულ  $2s+1=2$  მნიშვნელობას. როდესაც ამბობენ, რომ ელექტრონის სპინი ნახევრის ტოლიათ იგულისხმება სწორედ ის, რომ სპინური კვანტური რიცხვი  $s = 1/2$ .

სპინის ოპერატორების მდგრელები მატრიცული სახით ნაპოვნი გვაქვს § 48-ში. წარმოდგენაში, რომელშიაც  $s_z$  დიაგონალური მატრიცაა გვაქვს

$$\hat{s}_x = \frac{\hbar}{2} \sigma_x^0, \quad \hat{s}_y = \frac{\hbar}{2} \sigma_y^0, \quad \hat{s}_z = \frac{\hbar}{2} \sigma_z^0, \quad (93,3)$$

სადაც

$$\sigma_x^0 = \begin{pmatrix} 0 & 1 \\ 1 & 0 \end{pmatrix}, \quad \sigma_y^0 = \begin{pmatrix} 0 & -i \\ i & 0 \end{pmatrix}, \quad \sigma_z^0 = \begin{pmatrix} 1 & 0 \\ 0 & -1 \end{pmatrix}, \quad (93,4)$$

პაულის მატრიცებია, რომელთა თვისებები ჩვენ კარგად ვიცით. სახელდობრ, ამ შატრიცა თვისებები გამოხატულია ფორმულით

$$\sigma_i^0 \sigma_k^0 + \sigma_k^0 \sigma_i^0 = 2\delta_{ik}, \quad (93,5)$$

რომელიც ეკვივალენტურია შემდეგი ექვსი პირობის:

$$\sigma_x^{02} = 1, \quad \sigma_y^{02} = 1, \quad \sigma_z^{02} = 1 \quad (93,6)$$

$$\sigma_x^0 \sigma_y^0 + \sigma_y^0 \sigma_x^0 = 0, \quad (93,7)$$

$$\sigma_x^0 \sigma_z^0 + \sigma_z^0 \sigma_x^0 = 0, \quad (93,7)$$

$$\sigma_y^0 \sigma_z^0 + \sigma_z^0 \sigma_y^0 = 0.$$

(93,3) ფორმულები შეგვიძლია ჩატუროთ ვექტორული ტოლობის სახითაც

$$s = \frac{\hbar}{2} \sigma^0, \quad (93,8)$$

სადაც  $\sigma^0(\sigma_x^0, \sigma_y^0, \sigma_z^0)$  წარმოადგენს ვექტორს<sup>1</sup>.

$\sigma_x^0, \sigma_y^0, \sigma_z^0$  მატრიცათა საკუთარი მნიშვნელობები  $\pm 1$ -ის ტოლია, ამიტომ სპინის პროექციების საკუთარი მნიშვნელობები იქნება  $\pm \hbar/2$ . ამასთან, ცხადია, რომ ერთდროულად და ზუსტად შეიძლება გაიზომოს  $s_z$  და  $s^2$ . სადაც  $s^2$  არის  $s^2 = \hat{s}_x^2 + \hat{s}_y^2 + \hat{s}_z^2$  ოპერატორის საკუთარი მნიშვნელობა. ცხადია, რომ

$$s^2 = \hbar^2 s(s+1), \quad (93,9)$$

რადგან  $s = 1/2$ , ამიტომ  $s^2$ -ისათვის გვექნება

$$s^2 = \frac{3}{4} \hbar^2. \quad (93,10)$$

ჩვენ ვხედავთ, რომ ელექტრონის სპინის სიღიღე  $|s| = \frac{\sqrt{3}}{2} \hbar$  არ ემთხვევა თავის მაქსიმალურ პროექციას.

ელექტრონის სპინურ ფუნქციას, როგორც § 48-ში შევთანხმულით, აღვნიშნავთ  $\chi_{sm_s}$ -ით. ამასთან,  $\chi_{1/2, 1/2} = \alpha$  გამოხატავს იმ ფაქტს, რომ ელექტრონის სპინის პროექცია  $z$ -ღერძის გასწვრივ არის მიმართული,  $\chi_{1/2, -1/2} = \beta$  ფუნქცია კი მიუთითებს, რომ სპინის პროექციას  $z$ -ღერძის საწინააღმდეგო მიმართულება აქვს.

#### § 94. პაულის განტოლება

როგორც დავინახეთ, ელექტრონს გააჩნია ოთხი თავისუფლების ხარისხი. სამი ახასიათებს ელექტრონის სიმძიმის ცენტრის მოძრაობას სივრცეში, მეოთხე კი — სპინს. ამიტომ ტალღური ფუნქცია, გარდა სივრცული კოორდინატებისა და დროისა, დამოკიდებული იქნება სპინურ კოორდინატებზეც. ამასთან, სპინური კოორდინატი დისკრეტულია და იღებს ორ მნიშვნელობას. იმის მიხედვით, რომ სპინის პროექციას რა მნიშვნელობა აქვს  $\pm \hbar/2$ , თუ  $\hbar/2$ , გვექნება ორი სხვადასხვა ფუნქცია

$$\psi_1(r, t; +\hbar/2), \quad \psi_2(r, t; -\hbar/2) \quad (94,1)$$

სპინის ოპერატორები მოცემული გვაქვს მატრიცული სახით, ანტიუ ამ ტალღურ ფუნქციებსაც წერენ შემდეგი მატრიცის საშუალებით:

<sup>1</sup> იბ. § 138.

$$\begin{pmatrix} \psi_1(r, t; \hbar/2) & 0 \\ \psi_2(r, t; -\hbar/2) & 0 \end{pmatrix}. \quad (94,2)$$

ან, შემოკლებით, ერთი სვეტის მქონე მატრიცის სახით:

$$\psi = \begin{pmatrix} \psi_1 \\ \psi_2 \end{pmatrix}, \quad (94,3)$$

საიდანაც  $\psi^+$  ფუნქციისათვის გვექნება ერთსტრიქონიანი მატრიცა

$$\psi^+ = (\psi_1^*, \psi_2^*) \quad (94,4)$$

ასეთი ტიპის მატრიცებს უწოდებენ სპინორებს<sup>1</sup>.

დავწეროთ შრედინგერის განტოლება ისეგნაირად, რომ მასში გათვალისწინებული იყოს ელექტრონის სპინი. ამ მიზნით განვიხილოთ ელექტრონის მოძრაობა ელექტრომაგნიტურ ველში. იმის გამო, რომ ელექტრონის გააჩნია სპინური მაგნიტური მომენტი

$$\hat{\mathbf{M}}^s = -\frac{e}{\mu c} \hat{\mathbf{s}} = -\frac{e\hbar}{2\mu c} \hat{\mathbf{\sigma}}, \quad (94,5)$$

ამიტომ ელექტრონი მაგნიტურ ველში ასე იქცევა, როგორც მაგნიტური დიპოლი. ამის გამო იგი იძნებს დამატებით პოტენციალურ ენერგიას — ( $\mathbf{M}^s \cdot \vec{\mathcal{H}}$ ), სადაც  $\vec{\mathcal{H}}$  მაგნიტური ველის დაბულობის ვექტორია. მაშანდამე, ამ ენერგიის შესაბამის ოპერატორს ექნება გამოსახულება

$$\hat{u}_s(\mathcal{H}) = \frac{e}{\mu c} (\hat{\mathbf{s}} \cdot \vec{\mathcal{H}}) = \frac{e\hbar}{2\mu c} (\hat{\mathbf{\sigma}}^0, \vec{\mathcal{H}}). \quad (94,6)$$

ამგვარად, სპინის გათვალისწინებით ელექტრომაგნიტურ ველში მოძრავი ელექტრონის ჰამილტონიანი ასე დაიწერება:

$$\hat{H} = \hat{H}_{\text{მ.}} + \frac{e\hbar}{2\mu c} (\hat{\mathbf{\sigma}}^0, \vec{\mathcal{H}}), \quad (94,7)$$

სადაც  $\hat{H}_{\text{მ.}}$  ელექტრომაგნიტურ ველში მოძრავი ელექტრონის ჰამილტონიანია სპინის გარეშე, ვ. ი.

$$\begin{aligned} \hat{H}_{\text{მ.}} &= \frac{1}{2\mu} \left( \hat{\mathbf{p}} + \frac{e}{c} \mathbf{A} \right)^2 + V(r, t) - e\varphi \\ &= -\frac{\hbar^2}{2\mu} \Delta + \frac{e}{\mu c} (\mathbf{A} \cdot \hat{\mathbf{p}}) - \frac{ie\hbar}{2\mu c} \cdot \text{div } \mathbf{A} + \frac{e^2}{2\mu c^2} \mathbf{A}^2 + V - e\varphi \end{aligned} \quad (94,8)$$

(ექვივალენტურად, რომ ელექტრონის მუხტი —  $e$ -ს ტოლია). შრედინგერის განტოლებას (94,7) ჰამილტონიანით უწოდებენ პაულის განტოლებას. ამრიგად, პაულის განტოლებას ექნება სახე<sup>2</sup>

$$i\hbar \frac{\partial}{\partial t} \begin{pmatrix} \psi_1 \\ \psi_2 \end{pmatrix} = \left\{ \frac{1}{2\mu} \left( \hat{\mathbf{p}} + \frac{e}{c} \mathbf{A} \right)^2 - e\varphi + V(r, t) + \frac{e\hbar}{2\mu c} (\hat{\mathbf{\sigma}}^0, \vec{\mathcal{H}}) \right\} \begin{pmatrix} \psi_1 \\ \psi_2 \end{pmatrix}, \quad (94,9)$$

<sup>1</sup> ი. გ. § 136.

<sup>2</sup> ეს ვანტაურება პარკელად მიღებული იყო დარვინისა და პაულის მიერ C. G. Darwin, Proc. Roy. Soc. A 116, 227, (1927); W. Pauli, Zeits f. Phys. 43, 601, (1927) მათ მიერება უკავშირო საექტრის დუბლეტური ტრაქტურა.

რომელიც, თუ შევიტანთ მატრიცების მნიშვნელობებს და მოვახდენთ მათ გადა-მტავლებას, მოგვცემს შემდეგ სისტემას:

$$\begin{aligned} i\hbar \frac{\partial \psi_1}{\partial t} &= \frac{1}{2\mu} \left( \hat{\mathbf{p}} + \frac{e}{c} \mathbf{A} \right)^2 \psi_1 - e\varphi\psi_1 + V\psi_1 + \\ &+ \frac{e\hbar}{2\mu c} (\mathcal{H}_x - i\mathcal{H}_y) \psi_2 + \frac{e\hbar}{2\mu c} \mathcal{H}_z \psi_1 \\ i\hbar \frac{\partial \psi_2}{\partial t} &= \frac{1}{2\mu} \left( \hat{\mathbf{p}} + \frac{e}{c} \mathbf{A} \right)^2 \psi_2 - e\varphi\psi_2 + V\psi_2 + \\ &+ \frac{e\hbar}{2\mu c} (-\mathcal{H}_x + i\mathcal{H}_y) \psi_1 - \frac{e\hbar}{2\mu c} \mathcal{H}_z \psi_2 \end{aligned} \quad (94,10)$$

სტაციონარული მდგომარეობისათვის პაულის განტოლებას ექნება სახე

$$\left\{ \frac{1}{2\mu} \left( \hat{\mathbf{p}} + \frac{e}{c} \mathbf{A} \right)^2 - e\varphi + V(\mathbf{r}) + \frac{e\hbar}{2\mu c} (\sigma^0 \mathcal{H}) \right\} \begin{pmatrix} \psi_1 \\ \psi_2 \end{pmatrix} = E \begin{pmatrix} \psi_1 \\ \psi_2 \end{pmatrix} \quad (94,11)$$

როდესაც პატრინციალები ისეა შემჩნეული, რომ  $\operatorname{div} \mathbf{A} = 0$ ,  $\varphi = 0$  და, გარდა ამისა,  $\mathbf{A}^2$ -ის შემცველ წევრს უგულებელვყოფთ, როგორც უფრო მაღალი რიგის მცირე სიდიდეს, მაშინ (36,19) ფორმულის თანახმად, ელექტრონისათვის გვექნება

$$\hat{H}_{\text{ff}} = \hat{H}_0 + \frac{e}{\mu c} (\mathbf{A} \hat{\mathbf{p}}), \quad (94,12)$$

სადაც

$$\hat{H}_0 = -\frac{\hbar^2}{2\mu} \Delta + V(\mathbf{r}, t). \quad (94,13)$$

პაულის პამილტონიანისათვის კი მივიღებთ გამოსახულებას

$$\hat{H} = \hat{H}_0 + \frac{e}{\mu c} (\mathbf{A} \hat{\mathbf{p}}) + \frac{e\hbar}{2\mu c} (\sigma^0 \mathcal{H}). \quad (94,14)$$

ახლა გამოვარეოთ პაულის განტოლების ამონასსნის უძრიკული შინაარსი. ამ მაზნით გამოვიყენოთ უწყვეტობის განტოლება. მოვიქცეთ სრულიად ისევე როგორც (5,9) განტოლების გამოყენის დროს. კერძოდ, დავწეროთ (94,9) განტოლების ერთიტულად შეულლებული, რომელიც გავამრავლოთ — ტ-ზე და შევქრიბოთ (94,9) განტოლებასთან, რომელიც წინასწარ გავამრავლოთ ტ<sup>+</sup>-ზე. მარტივი გარდაქმნების შემდეგ მივიღებთ უწყვეტობის განტოლებას

$$\frac{\partial w}{\partial t} + \operatorname{div} \mathbf{J} = 0, \quad (94,15)$$

სადაც

$$w = \psi^+ \psi = (\psi_1^* \psi_2^*) \begin{pmatrix} \psi_1 \\ \psi_2 \end{pmatrix} = \psi_1^* \psi_1 + \psi_2^* \psi_2 \quad (94,16)$$

და

$$\mathbf{J} = \frac{i\hbar}{2\mu} [\psi \nabla \psi^+ - \psi^+ \nabla \psi] - \frac{e}{\mu c} \mathbf{A} \psi^+ \psi \quad (94,17)$$

მაშასადამე.  $w = \psi^+ \psi$  გამოხატავს ელექტრონის სივრცის ამა თუ იმ ადგილის მოხელედრის ალბათობის სიმკვრივეს სპინის ნებისმიერი პროექციით  $+ \hbar/2$  ან  $-\hbar/2$ .

როცა სპინს აქვს განსაზღვრული პროექცია, მაგალითად, იგი პარალელურია  $z$ -დერძის, მაშინ  $\psi_2=0$  და სპინორს ექნება მხოლოდ ერთი კომპონენტი, ე. ი.

$$\psi = \begin{pmatrix} \psi_1 \\ 0 \end{pmatrix} = \psi_1 \begin{pmatrix} 1 \\ 0 \end{pmatrix}. \quad (94,18)$$

პირიქით, თუ სპინის პროექცია  $s_z = -\hbar/2$ , ე. ი. იგი ანტიპარალელურია  $z$ -დერძისა, გვექნება

$$\psi = \begin{pmatrix} 0 \\ \psi_2 \end{pmatrix} = \psi_2 \begin{pmatrix} 0 \\ 1 \end{pmatrix} \quad (94,19)$$

ან, თუ ფისარგებლებთ (48,44) აღნიშვნებით

$$\alpha = \begin{pmatrix} 1 \\ 0 \end{pmatrix}, \quad \beta = \begin{pmatrix} 0 \\ 1 \end{pmatrix}, \quad (94,20)$$

მაშინ ზოგად შემთხვევაში პაულის ორკომპონენტიანი ფუნქცია შემდეგი სახით შევვიძლია ჩავწეროთ:

$$\psi = \begin{pmatrix} \psi_1 \\ \psi_2 \end{pmatrix} = \alpha \psi_1 + \beta \psi_2. \quad (94,21)$$

$|\psi_1|^2$  იქნება მდებარეობის ალბათობის სიმკვრივე ელექტრონისა, რომლის სპინის პროექცია  $s_z = \hbar/2$ , ხოლო  $|\psi_2|^2$  გამოხატავს ალბათობის სიმკირივეს  $s_z = -\hbar/2$  პროექციის მქონე ელექტრონისა.

დავწეროთ ψ ფუნქციების ნორმირების პირობა. პაულის ფუნქციების ნორმირების ინტეგრალში  $\psi^* \cdot \psi$  ნაცვლად უნდა ჩაწეროთ  $\psi^* \cdot \psi$ . ასე მაგალითად, წყვეტილი სპექტრის შემთხვევაში შევვიძლია დავწეროთ ნორმირების პირობა

$$\int_{-\infty}^{+\infty} \psi^* \psi d\tau = \int_{-\infty}^{+\infty} \sum_{i=1}^2 |\psi_i|^2 d\tau = 1 \quad (94,22)$$

წყალბადისებური ატომის შემთხვევაში პოტენციალური ენერგია ცენტრალური სიმეტრიისა, ამიტომ პაულის ტალღური ფუნქცია  $|\psi_1|^2$  ნამრავლი რაღაც და  $\psi_{1/2}^{jmj}$  ფუნქციისა, რომელიც (50,25) ფორმულით განისაზღვრება და რომელსაც ჩვენ ვცნოდეთ სფერული ფუნქცა სპინით.

დაბოლოს შევნიშნოთ, რომ ნახევრის ტოლი სპინი აქვს აგრეთვე პროტონს, ნეიტრონს, პოზიტრონს, ნეიტრონს, მაგრამ მეზონებს და სხვა. ამიტომ პაულის გარტოლება სამართლიანი იქნება ამ ნაწილაკებისათვისაც.

### გ 95. სრული გეგანიკური მომენტი

ორბიტალური მოძრაობის შესაბამისი  $\hat{\mathbf{l}}$  მომენტისა და სპინის ჯამს უწოდებენ სრულ მომენტს, რომელსაც  $\hat{\mathbf{j}}$ -თი აღნიშნავენ

$$\hat{\mathbf{j}} = \hat{\mathbf{l}} + \hat{\mathbf{s}} \quad (95,1)$$

ან მდგრელებში

$$\hat{j}_x = \hat{l}_x + \hat{s}_x, \quad \hat{j}_y = \hat{l}_y + \hat{s}_y, \quad \hat{j}_z = \hat{l}_z + \hat{s}_z. \quad (95,2)$$

$\hat{\mathbf{l}}$ -მომენტი კოორდინატების ფუნქცია სპინის ოპერატორი კი სივრცულ კოორდინატებზე დამკიდებული არ არის, ამიტომ  $\hat{\mathbf{l}}_x$  და  $\hat{\mathbf{s}}_x$  მდგრელები ურთმანეთთან

კომუტატურია. ცხადია, რომ სრული მომენტის მდგრელებსაც ზუსტად ისეთივე კომუტაციის თვისებები ექნება, როგორც აქვს ორბიტალური მომენტის ან სპინის ოპერატორის მდგრელებს. მართლაც, განვიხილოთ  $[j_i, j_k]$  პუსონის ფრჩხილები და გავითვალისწინოთ (95,2) ტოლობები; გვექნება

$$\text{რაღან} \quad [j_i, j_k] = [\hat{l}_i + \hat{s}_i, \hat{l}_k + \hat{s}_k] = [\hat{l}_i, \hat{l}_k] + [\hat{s}_i, \hat{s}_k], \quad (95,3)$$

$$\text{ამიტომ} \quad [\hat{l}_i, \hat{l}_k] = -\mathcal{E}_{ikn}\hat{l}_n, \quad [\hat{s}_i, \hat{s}_k] = -\mathcal{E}_{ikn}\hat{s}_n, \quad (95,4)$$

$$[j_i, j_k] = -\mathcal{E}_{ikn}\hat{l}_n - \mathcal{E}_{ikn}\hat{s}_n = -\mathcal{E}_{ikn}(\hat{l}_n + \hat{s}_n). \quad (95,5)$$

საიდანაც საბოლოოდ გვექნება

$$[j_i, j_k] = -\mathcal{E}_{ikn}\hat{j}_n. \quad (95,6)$$

ამ ტოლობის ძალით ალფილდ დაგამტკიცებთ, რომ  $\hat{j}^2 = \hat{j}_x^2 + \hat{j}_y^2 + \hat{j}_z^2$  ოპერატორი კომუტატურია თავის ნებისმიერ შდგენელთან

$$[\hat{j}^2, \hat{j}_i] = 0, \quad (i=x, y, z) \quad (95,7)$$

რაც იმას ნიშნავს, რომ  $\hat{j}^2$  და  $j_z$  შეიძლება გაიზომოს ერთდროულად. კერძოდ, ამ სიდიდეებისათვის გვექნება შემდეგი მნიშვნელობები:

$$\hat{j}^2 = \hbar^2 j(j+1), \quad (95,8)$$

$$j_z = m_j \hbar, \quad (95,9)$$

სადაც სრული მომენტის მანიტური კვანტური  $m_j$  რიცხვი იცვლება —  $j$ -დან  $+j$ -მდე, ე. ი. იღებს  $2j+1$  მნიშვნელობას. რაღან  $j$  წარმოადგენს 1 და  $s$  მომენტების ჯამს, ამიტომ მომენტთა შეკრების სამკუთხედის წყსით გვექნება

$$|l-s| \leq j \leq l+s. \quad (95,10)$$

სპინური კვანტური რიცხვი  $s=1/2$ , ამიტომ  $j$ -ს ექნება მხოლოდ ორი მნიშვნელობა:

$$j = l + 1/2, \quad j = |l - 1/2|; \quad (95,11)$$

ამასთან, როცა  $l=0$ , მაშინ  $j$ -ს აქვს მხოლოდ ერთი მნიშვნელობა კერძოდ,  $j=1/2$ . ასანიშნავია, რომ ერთი ელექტრონისათვის  $m_j$  არასოდეს ნული არ არის და

$$m_j = \pm 1/2, \pm 3/2, \pm \dots \pm j. \quad (95,12)$$

იმ წარმოდგენაში, სადაც  $j_z$  დიაგონალური მატრიცაა, (48,35) ფორმულების თანახმად, სრული მომენტის მდგრელების მატრიცული ელემენტებისათვის გვექნება:

$$\begin{aligned} \langle jm_j \pm 1 | j_z | jm_j \rangle &= \hbar [(j \mp m_j)(j \pm m_j + 1)]^{1/2}, \\ \langle jm_j | j_z | jm_j \rangle &= \hbar m_j, \end{aligned} \quad (95,13)$$

საღაც  $j_z = j_x \pm i j_y$ .

აღვილი საჩვენებელია, რომ  $\hat{j}^2$  ოპერატორი კომუტატურია როგორც  $\hat{l}^2$ -თან, ისე  $s^2$ -თან, ე. ი.

$$[\hat{j}^2, \hat{l}^2] = [\hat{j}^2, \hat{s}^2] = 0, \quad (95,14)$$

რაც იმას ნიშნავს, რომ ელექტრონისათვის  $j^2, l^2$  და  $s^2$  შეიძლება გაიზომოს ერთდროულად და ზუსტად. რაღან  $j=l+s$ , ამიტომ

$$\langle ls \rangle = \frac{1}{2} (\hat{j}^2 - \hat{l}^2 - \hat{s}^2) \quad (95,15)$$

$$\langle \mathbf{j} | \mathbf{s} \rangle = \frac{1}{2} (\hat{\mathbf{j}}^2 - \hat{\mathbf{l}}^2 + \hat{\mathbf{s}}^2). \quad (95,16)$$

რადგან  $\mathbf{j}^2$ ,  $\mathbf{l}^2$  და  $\mathbf{s}^2$  ერთდროულად და ზუსტად შეიძლება გაიზომოს, ამიტომ შევიძლოა ვიპოვოთ  $(\hat{\mathbf{l}} \hat{\mathbf{s}})$  და  $(\hat{\mathbf{j}} \hat{\mathbf{s}})$  ოპერატორების საკუთარი მნიშვნელობებიც; კერძოდ, გვექნება:

$$\langle \mathbf{l} \mathbf{s} \rangle = \frac{\hbar^2}{2} [j(j+1) - l(l+1) - s(s+1)], \quad (95,17)$$

$$\langle \mathbf{j} \mathbf{s} \rangle = \frac{\hbar^2}{2} [j(j+1) - l(l+1) + s(s+1)]. \quad (95,18)$$

ამოვწეროთ ამ გამოსახულებათა კონკრეტული სახე  $j$ -ს ორი შესაძლო მნიშვნელობისათვის:  $j = l + 1/2$  და  $j = |l - 1/2|$ -სათვის. გვექნება:

$$\begin{aligned} \langle \mathbf{l} \mathbf{s} \rangle &= \frac{\hbar^2 l}{2}, & j &= l + 1/2 \\ \langle \mathbf{l} \mathbf{s} \rangle &= -\frac{\hbar^2 (l+1)}{2}, & j &= |l - 1/2| \end{aligned} \quad (95,19)$$

$$\begin{aligned} \langle \mathbf{j} \mathbf{s} \rangle &= \frac{\hbar^2 (l+3/2)}{2}, & j &= l + 1/2 \\ \langle \mathbf{j} \mathbf{s} \rangle &= -\frac{\hbar^2 (l-1/2)}{2}. & j &= |l - 1/2| \end{aligned} \quad (95,20)$$

აღვნიშნოთ, რომ (95,15) ფორმულის თანაბრძად  $\hat{\mathbf{j}}^2$  და  $\hat{j}_z$  ოპერატორები კომუტირებადა ( $\hat{\mathbf{l}} \hat{\mathbf{s}}$ ) სკალარულ ნამრავლთან.

როგორც წინა პარაგრაფში აღვნიშნეთ წყალბადისებური ატომის ტალღურ ფუნქციას ექნება სახე

$$\psi_{nljm_j}(r, \theta, \varphi) = R_{nl}(r) \mathcal{Y}_{l, 1/2}^{jm_j}(\theta, \varphi), \quad (95,21)$$

$\mathcal{Y}_{l, 1/2}^{jm_j}$  ჭარბოადგენს სფერულ ფუნქციას სპინით. ამასთან,  $j$ -ს ორი შესაძლო მნიშვნელობისათვის გვექნება ორი ტალღური ფუნქცია

$$\psi_{n, l+1/2, m_j}(r, \theta, \varphi) = R_{nl}(r) \mathcal{Y}_{l, 1/2}^{l+1/2, m_j}(\theta, \varphi), \quad (95,22)$$

$$\psi_{n, l-1/2, m_j}(r, \theta, \varphi) = R_{nl}(r) \mathcal{Y}_{l, 1/2}^{l-1/2, m_j}(\theta, \varphi). \quad (95,23)$$

$\mathcal{Y}_{l, 1/2}^{l+1/2, m_j}(\theta, \varphi)$  ფუნქციები განისაზღვრება (50,26) ფორმულებთ. (95,21)

ფუნქცია საერთო საკუთარი ფუნქცია იქნება  $\hat{\mathbf{j}}^2$ ,  $\hat{j}_z$  და  $\hat{\mathbf{l}}^2$ ,  $\hat{\mathbf{s}}^2$  ოპერატორებისა და პაულის განტოლების შესაბამისი პამილტონიანისა. ცხადია, რომ  $\mathcal{Y}_{l, 1/2}^{jm_j}(\theta, \varphi)$  ფუნქციები საკუთარი ფუნქციებია ( $\hat{\mathbf{l}} \hat{\mathbf{s}}$ ), და  $(\hat{\mathbf{j}} \hat{\mathbf{s}})$  ოპერატორებისაც.

### § 96. დეინ-ორბიტალური ურთიერთობა და დემატრის მულტიპლიტური სტრუქტურა

განვიხილოთ ისევ ერთეულექტრონიანი ატომები. სანამ მხედველობაში არ ვიღებდით ელექტრონის სპინს, ელექტრონის მდგომარეობას ატომში ვახსიათებდით სამი კვანტური ოცნებით  $n$ ,  $l$ ,  $m$ . ამასთან, ელექტრონის ენერგეტული დონეები დამოკიდებული იყო მხოლოდ  $n$  და  $l$  ოცნებებზე (წყალბალისებური ატომების შემთხვევაში კი მხოლოდ  $n$ -ზე). სინამდვილეში კი ელექტრონს გააჩნია სპინი და, ამიტომ, ენერგეტული დონეები დამოკიდებული უნდა იყვნენ სპინის ორიენტაციაზედაც.

ელექტრონი მოძრაობს ან ატომგულის ირგვლივ ორბიტზე, ქმნის მაგნიტურ ველს. რომელსაც ხშირად ატომშივა ველს უწოდებენ. ეს მაგნიტური ველი მოქმედებს სპინის მაგნიტურ მომენტზე. ამ ურთიერთქმედებას უწოდებენ სპინ-ორბიტურ ან „ $\vec{L}$ “-ურთიერთქმედებას. სპინ-ორბიტური ურთიერთქმედების არსებობის გამო ჰამილტონიანის ემატება ახალი წევრი, რომელიც მთელ რიგ მოვლენებში გადაწყვეტ როლს ასრულებს. გამოვითვალოთ სპინ-ორბიტური ურთიერთქმედებით გამოწვეული ჰამილტონიანის შესწორება. შეგა ელექტრული ველი იქ, სადაც იმყოფება ელექტრონი, იქნება  $\vec{H} = \frac{Ze}{r^2} \hat{r}$ -ის ტოლი, სადაც  $Ze$  ატომური მომენტია,  $r$  კი — ატომის რადიუსი. ამ ელექტრულ ველთან დაკავშირებული იქნება მაგნიტური ველი, რომლის დაძაბულობა გამოისახება ფორმულით

$$\vec{H} = \frac{1}{c} |\vec{E} \times \vec{v}|; \quad (96,1)$$

აქ  $\vec{v}$  ელექტრონის სიჩქარეა ატომში,  $c$  კი სინათლის სიჩქარეა.  $\vec{E}$ -ს მნიშვნელობის შეტანით მაგნიტური ველის დაძაბულობისათვის მივიღებთ

$$\vec{H} = \frac{Ze}{cr^3} [\vec{r} \times \vec{v}] = \frac{Ze}{\mu cr^3} \vec{I}, \quad (96,2)$$

სადაც  $\vec{I} = [\vec{r} \times \vec{p}]$  ელექტრონის ორბიტალური მოძრაობის მომენტია. რადგან მაგნიტურ ველში მაგნიტური დიპოლით გამოწვეული ენერგიის შესწორება  $-(M_s \cdot \vec{H})$ -ის ტოლია, ამიტომ „ $\vec{s}$ “ ურთიერთქმედებით გამოწვეული ენერგიის ოპერატორის შესწორებისათვის გვექნება

$$\hat{H}_{sl} = - \frac{Ze}{\mu cr^3} (\vec{I} \cdot \hat{M}_s), \quad (96,3)$$

სადაც  $\hat{M}_s$  არის სპინური მაგნიტური მომენტის ოპერატორი. რელატივისტური ეფექტების გათვალისწინება იძლევა, რომ ეს სრდიდე დამატებით უნდა გამოავლდეს ე. წ. „თომასის ნახევარზე“<sup>1</sup>. ასე რომ, საბოლოოდ სპინ-ორბიტალური ურთიერთქმედების ენერგიის ოპერატორს ექნება სახე

$$\hat{H}_{sl} = \frac{1}{2\mu^2 c^2} \frac{Ze^2}{r^3} (\hat{\vec{I}} \cdot \hat{\vec{s}}). \quad (96,4)$$

რელატივისტურ კვანტურ მექანიკაში ვაჩვენებთ, რომ, როცა კულონური ველის ნაცვლად გვაქვს ნებისმიერი ცენტრალური სიმეტრიის ველი  $V(r)$  პოტენციალით,

<sup>1</sup> სინ-ორბიტალური ურთიერთქმედების ზუსტი გამოსახულება გამოყვანილია § 144-ში.

მაშინ სპინ-ორბიტალური ურთიერთქმედების ენერგიის ოპერატორი გამოიხატება ფორმულით

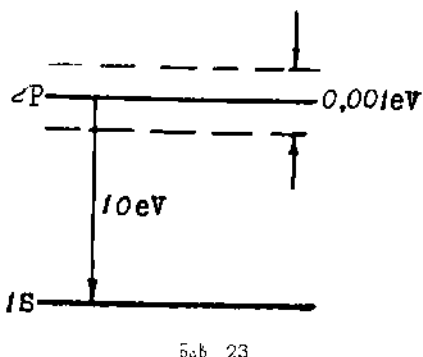
$$\hat{H}_{sl} = \frac{1}{2\mu^2 c^2} \left\{ \frac{1}{r} \frac{dV(r)}{dr} \right\} (\hat{l} \hat{s}). \quad (96,5)$$

ჩვენ ვიცით, რომ  $\hat{j}^2$  და  $\hat{j}_z$  კომუტატურია ( $\hat{l} \hat{s}$ )-თან, ე. ი.  $\hat{H}_{sl}$  ოპერატორთან და, მაშასადამე, სრულ ჰამილტონიანთანც

$$\hat{H} = \hat{H}_{ss} + \hat{H}_{sl} \quad (96,6)$$

ცხადია, რომ  $\hat{l}^2$  და  $\hat{s}^2$  ავრეთვე კომუტირებენ  $\hat{H}$ -თან, ხოლო რაც შეეხება  $\hat{l}_z$  და  $\hat{s}_z$ , ისინი  $\hat{H}_{sl}$  წევრის გამო კომუტატური აღარ არიან სრულ ჰამილტონიანთან. ამიტომაც სრული ჰამილტონიანის საკუთარი ფუნქციები აღარ იქნება საერთო საკუთარი ფუნქციები  $\hat{l}^2$ ,  $\hat{s}^2$ ,  $\hat{l}_z$  და  $\hat{s}_z$  ოპერატორებისა. სპინ-ორბიტალური ურთიერთქმედების დროს  $\hat{l}_z$  და  $\hat{s}_z$  მოძრაობის ინტეგრალებს აღარ წარმოდგენენ. ამგვარად, როცა სპინ-ორბიტალური ურთიერთქმედება არსებითაა, მაშინ ერთდროულად და ზუსტად იზომება სრული მომენტის კვადრატი და მისი  $z$ -პროექცია, რაც შეეხება სპინსა და ორბიტალურ მოძრავს, ჩვენ შევვიდოთ მხოლოდ მათი სიდიდეების განვითარების კი გარკვეული მნიშვნელობები არ გააჩნიათ.

თუ  $\hat{H}_{sl}$  წევრს სრულ ჰამილტონიანში განვიხილავთ როგორც მცირე შეშფოთებას, მაშინ ამ წევრის გათვალისწინება გამოიწვევს ენერგეტული დონეების განლენებას. თითოეული ენერგეტული დონე  $\hat{H}_{sl}$  ურთიერთქმედების შედეგად გაიყოფა რამდენიმე დონედ, რომლებიც ძალიან აქლოს იმყოფებიან შეუშფოთებელი ენერგიის დონეებთან.



სახ. 23

$$E_{sl} \sim -\frac{M_s M_l}{r^3} \quad (96,7)$$

$M_s$  და  $M_l$  ბორის მაგნიტონების რიგისაა ( $M_B \approx 10^{-20}$  CGS სისტემაში), ხოლო  $r \sim a_0 = 0,5 \cdot 10^{-8}$  სმ; ასე რომ, სპინ-ორბიტალური გახლებისათვის გვექნება შეფასება

$$E_{sl} \approx 10^{-3} \text{ eV} \quad (96,8)$$

ძირითად და მომდევნო დონეებს შორის მანძილი კი შეალბოდისებურ ატომში  $\Delta E = E_1 - E_2 \approx 10 \text{ eV}$ -ის ტოლია. ამიტომ სპინ-ორბიტალური ურთიერთქმედებით გახლებილი დონეები გაცილებით უფრო ახლოსაა ერთმანეთთან, ვიდრე ორი მეზობელი შეუშფოთებელი დონე (ეს გარემოება სკემატურად ნაჩვენებია 23-ე ნახაზზე). დონეების გახლების „sl“ ურთიერთქმედებით უწოდებენ დონეების მულტიპლეტურ სტრუქტურას. თუ კიბოვთ შრედინგერის განტოლების ამონასნს (96,6) ჰამილტონიანთ, დაეინთხავთ, რომ ენერგია  $j$  კვანტური რიცხვის ფუნქცია იქნება და რადგან  $j$  იღებს ორ მნიშვნელობას  $j = l \pm 1/2$  და  $j = |l - 1/2|$ , ამი-

ტომ თითოეული დონე, რომელიც გვქონდა  $\hat{H}_{sl}$  წევრის გარეშე, გაიხლიჩება ორ დონედ. (გამონაკლისს წარმოდგენს  $s$  დონე  $l=0$ , რომლისთვისაც  $j=0$  აქვს მხოლოდ ერთი მნიშვნელობა  $j=1/2$  და რომელიც, მაშასადამე, არ იხლიჩება), ე. ი. ენერგეტული დონეები იქნება ორმაგი ან, როგორც ამბობენ დუბლეტური.

ამგარად, სპინის გათვალისწინებით ენერგია ატომში დამოკიდებული იქნება  $j$  კვანტურ რიცხვზეც. ვაჩვენოთ, რომ ენერგეტულად უფრო დაბალ მდგომარეობას შეესაბამება უმცირესი  $j$  კვანტური რიცხვი. (96,4) ფორმულიდან ნათელია, რომ ენერგიის  $j=0$  დამოკიდებულებას განსაზღვრავს (1 ს) სკალარული ნამრავლი, რომელსაც (95,19) ფორმულის მიხედვით, მინიმალური მნიშვნელობა ექნება მაშინ, როცა  $j=|l-1/2|$ .

ეს მიზანით წყალბადისებური ატომისათვის სპინ-ორბიტალური გახლეჩით გამოწვეული ენერგიის ზუსტი მნიშვნელობა. ამისათვის საკმარისია ვიპოვოთ (96,4) ოპერატორის საშუალო მნიშვნელობა (94,21) ფუნქციებით. გვექნება

$$\Delta E = \frac{Ze^2}{2\mu^2 c^2} \left( \frac{1}{r^3} \right) \overline{(\hat{l} \hat{s})} \quad (96,9)$$

სადაც

$$\overline{\left( \frac{1}{r^3} \right)} = \int_0^\infty \frac{1}{r^3} |R_{nl}(r)|^2 r^2 dr, \quad (96,10)$$

ხოლო

$$\overline{(\hat{l} \hat{s})} = \langle \mathcal{Y}_{l=1/2}^{jmj} | (\hat{l} \hat{s}) | \mathcal{Y}_{l=1/2}^{jmj} \rangle. \quad (96,11)$$

თუ გავითვალისწინებთ (50,29) ფორმულებს, ადვილად ვაჩვენებთ, რომ  $(\overline{ls})$  დამტკვეთი (95,19) გამოსახულებას. მეორე მხრივ, ცნობილია რომ<sup>1</sup>

$$\overline{\left( \frac{1}{r^3} \right)} = \left( \frac{\mu e^2}{\hbar^2} \right)^3 \frac{2Z^3}{n^3 l(l+1)(2l+1)}, \quad (96,12)$$

სადაც  $n$  არის მთავარი კვანტური რიცხვი. ენერგიის შექმნარებისათვის მივიღებთ

$$\Delta E = \frac{Z^4 e^2}{\mu^2 c^2} \left( \frac{\mu e^2}{\hbar^2} \right)^3 \frac{\overline{(ls)}}{n^3 l(l+1)(2l+1)} \quad (96,13)$$

იმის მიხედვით  $j=l+1/2$ , თუ  $j=l-1/2$  ენერგიას ექნება სხვადასხვა მნიშვნელობა. თუ გამოვიყენებთ (95,19) ფორმულას ნებისმიერი  $l$  და  $j$ -სათვის, გვექნება

$$\Delta E_{nlj} = \frac{Z^2 e^4 \mu}{2n^2 \hbar^2} \left( \frac{e^2}{\hbar c} \right) \frac{Z^2}{n^2} \left( \frac{1}{l+1/2} - \frac{1}{j+1/2} \right). \quad (96,14)$$

როგორც ვიცით,  $\alpha_0 = e^2/\hbar c$  სიდიდეს ეწოდება ზომერფოლის ნაზი სტრუქტურის მუდმივი. წყალბადისებური ატომის სრული ენერგიისათვის მივიღებთ

$$E_{nlj} = -\frac{Z^2 e^4 \mu}{2n^2 \hbar^2} \left\{ 1 + \left( \frac{Z\alpha_0}{n} \right)^2 \left[ \frac{n}{j+1/2} - \frac{n}{l+1/2} \right] \right\}. \quad (96,15)$$

რადგან  $\alpha_0$  მცირე სიდიდა, ამიტომ ამ ჯამში მეორე წევრი ძალიან მცირეა. მისი ფარდობა პირველზე რიგით აუზის ტოლია; როცა სპინს მხედველობაში არ ვიღებთ, მაშინ  $j=l$  და მეორე წევრი ამოვარდება. ამ შემთხვევაში ენერგიისათვის მივიღებთ შრედინგერის მნიშვნელობას. (96,15) ფორმულიდან ჩანს, რომ კვანტური

<sup>1</sup> იხ. მაგალითად გ. ჭილაშვილი, ორი და სამი ნაწილაკის კვანტური შეჯანივა. 1973. გვ. 85.

22. ი. ვაშაკიძე, გ. მამაახლისოვი, გ. ჭილაშვილი

ლონეები მოცემული  $l$ -ით და განსხვავებული  $j$ -ით ძალიან ახლოს არიან ერთმანეთთან.

ამგვარად, გვაქვს ასეთი შედეგი: ენერგია  $\tilde{\epsilon}$  ფულბალისებური ატომებში დამოკიდებულია  $n$ ,  $l$  და  $j$  კვანტურ რიცხვებზე, რომლებიც იღებენ შემდეგ მნიშვნელობებს:

$$n = 1, 2, 3, \dots \infty \quad (96,16)$$

$$l = 0, 1, 2, \dots n-1$$

$$j = l + 1/2, j = |l - 1/2|,$$

ხოლო

$$-j \leq m_j \leq +j.$$

რაც შეეხება ტალღურ ფუნქციას იგი დამოკიდებულია  $n$ ,  $l$ ,  $j$  და  $m_j$  რიცხვებზე

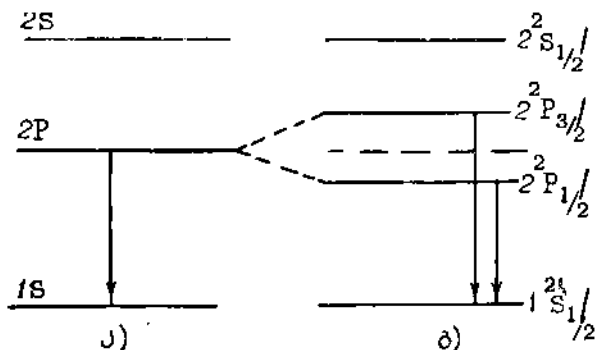
$$\psi_{nljm_j} = \psi_{nljm_j}(r, \theta, \varphi; s_z) \quad (96,17)$$

ეს იმას ნიშნავს, რომ ადგილი აქვს  $n_l$  გადაგვარებას. ყოველი ენერგეტული დონე ხსნიათდება  $(2j+1)$  ჯერადობის გადაგვარებით. გადაგვარება გამოწვეულია იმით, რომ ენერგია დამოკიდებულია მხოლოდ სრული მომენტის სიღიღეზე და არ არის დამოკიდებული ამ ვექტორის ორიენტაციზე სივრცეში, ე. ი. ენერგია დამოკიდებული არ არის  $m_j$  კვანტურ რიცხვზე. ეს დონეები, სანამ ატომზე მოდებული არ არის მაგნიტური ველი, ერთმანეთს ემთხვევა. ველის მოდებისას კი  $(2j+1)$  ჯერადი გადაგვარება იხსნება და თითოეული დონე, რომელიც ხსნიათდება  $j$ -თი,  $(2j+1)$  დონეთ იხლიჩება. ამ მოვლენას უწოდებენ ზეემანის რთულ ეფექტს.

სპექტრის მულტიპლეტური სტრუქტურის დასახასიათებლად შემოდებულია აღნიშვნა

$$n^{2s+1} l_j, \quad (96,18)$$

სადაც  $l = 0, 1, 2, 3, \dots (n-1)$ -ს, როგორც აღრე შევთანხმდით; შეესაბამება აღნიშვნები  $s$ ,  $p$ ,  $d$ ,  $f$ ,  $g$ ;  $n$  აღნიშნავს მთავარ კვანტურ რიცხვს,  $j$  კი სრული მომენტის კვანტური რიცხვია;  $(2s+1)$  მიუთითებს მულტიპლეტობაზე. ნახევრი სპინის შემთხვევაში  $2s+1=2$ , ამიტომ ერთელექტრონიან ატომებში გვექნება დუბლეტური სტრუქტურა.



ნახ. 24

მაგალითად,  $2^2 p_{1/2}$  ნიშნავს  $n=2$ ,  $s=1/2$ ,  $j=1/2$  და  $l=1$ . ასევე,  $2^2 p_{3/2}$  ნიშნავს, რომ იგივე სიღიღებისათვის  $j=3/2$ . 24-ე ნახაზე ნაჩვენებია  $2p$  დონის ორად გახლება „st“ ურთიერთქმედების შედეგად. ა) შემთხვევა შეესაბამება იმას, როცა დონეების მულტიპლეტობა არაა გათვალისწინებული. ბ) კი შეესაბამება 338

შემთხვევას, როცა „ $\pi$ “ ურთიერთქმედების გამო  $2p$  ლონჯ გახლეჩილია ორად ( $2s$  და  $1s$  დონეები არ იხლიჩები). თუ პირველ შემთხვევაში  $2p \rightarrow 1s$  გადასცლის დროს შესაძლებელია ერთი სპექტრალური ხაზი, მეორე შემთხვევაში გვექნება ორი სპექტრალური ხაზი. რადგან ენერგიათა სხვაობა  $2p_{3/2}$  და  $2p_{1/2}$  დონეებს შორის, როგორც ზემოთ ვაჩვენეთ, ძალიან მცირეა, ამიტომ ეს ორი სპექტრალური ხაზი ძალიან ახლოს იქნება ერთმანეთთან. მათი ერთმანეთისაგან გასარჩევად უფრო ზუსტი სპექტრომეტრია საჭირო, ამიტომ სპექტრის ასეთ სტრუქტურას ნაზი სტრუქტურასაც უწოდებენ. ასეთი ნაზი სტრუქტურა ( $\text{დუბლეტები}$ ) დამზერილია, მაგალითად,  $N_2$ -ის ატომშისათვის (ე. წ., ნატრიუმის ლუბლეტის  $D_2$  და  $D_1$  ყვითელი ხაზები). მათი ტალღის სიგრძეები ერთმანეთისაგან მხოლოდ 6 Å-ით განსხვავდება.

დაბოლოს ალვინშნოთ შემდეგი. როდესაც სპინ-ორბიტალური ურთიერთქმედება საკმარისად ძლიერია, მაშინ  $\psi(r, \theta, \phi; s_z)$  ფუნქციაში სივრცული და სპინური ცვლადების განცალება შეუძლებელია. მაგრამ ჰშირად სხვა ურთიერთქმედებებთან შედარებით დასაშვებია „ $\pi$ “ ურთიერთქმედების უგულებელყოფა. ამ შემთხვევაში შესაძლებელია კოორდინატული და სპინური ცვლადების განცალება. ასე რომ, სრული ფუნქცია შეგვიძლია წარმოვიდგინოთ როგორც ორი ფუნქციის ნაშრავლი, რომელთაგან ერთი მხოლოდ კოორდინატების ფუნქციაა, მეორე კი— სპინისა, ე. ი.

$$\psi(r; s_z) = \psi(r) \chi(s_z) \quad (96,19)$$

ამ შემთხვევაში  $\chi(s_z)$  „სპინური ფუნქცია“ უბრალო სიმბოლოა, რომელიც მიუთითებს სპინის მდგრადარეობაზე.

შერჩევის წესები. ახლა განვიხილოთ შერჩევის წესები ატომების მიერ სინათლის გამოსხივების ან შთანთქმის შემთხვევაში, როცა მდგრადარეობა ჩასიათდება არა  $L$  და  $S$ -ით ცალ-ცალკე, არამედ სრული  $J$  კვანტური რიცხვით. ასეთი მდგრადარეობა, როგორც ალვინშნელ გვაქვს მაშინ, როცა აღგილი აქვს მძლავრ სპინ-ორბიტალურ ურთიერთქმედებას.

ისევე როგორც სხვა ნაწილები სინათლის კვანტებიც ხსიათდებან გარკვეული სრული  $A$  მომენტით და გარკვეული  $w$  — ლუმინობით. ამისთან, სრული მომენტის მინიმალური მნიშვნელობა არის ერთის ტოლი. ამიტომ ბუნებრივია, რომ ამ მინიმალურ მნიშვნელობას უწოდებენ ფოტონის სპინს; ჩვენ მას  $S$ -ით ალვინშნავთ. თუ ფოტონის ორბიტალური მომენტისათვის გისარგებლებთ  $L$  ალნიშვნით, მაშინ მისი სრული მომენტი ტოლი იქნება  $A = L + S$ ; შაშასადამე, სინათლის ელექტრო-მაგნიტური კვანტებისათვის დასაშვები ყოფილა ორბიტალური მომენტის სამი მნიშვნელობა.

$$L = A - 1, \quad A, \quad A - 1. \quad (96,20)$$

როგორც ვხედავთ ფოტონის ორბიტალურ მომენტს არ გააჩნია განსაზღვრული მნიშვნელობა. ცნობილია, რომ ფოტონის ლუმინობა განისაზღვრება ფორმულით

$$w = (-1)^{L+1} \quad (96,21)$$

სინათლის ელექტრომაგნიტური ველის კვანტები განსაზღვრული მომენტით ორ კლასად იყოფა. ერთს ეწოდება ელექტრული მულტიპოლობის კვანტი და აღინიშნება  $E\Lambda$ -თი. ამ ტიპის კვანტების  $w(E\Lambda) = (-1)^A$ , ხოლო მეორეს, მაგნიტური მულტიპოლობის კვანტი  $M\Lambda$ ; მათა ლუმინობა განისაზღვრება  $w(M\Lambda) = (-1)^{A+1}$  ფორმულით. მაგალითად, ელექტრული ღიპოლური  $E^1$  კვანტის შემთხვევაში სრული მომენტი  $A = 1$ , ხოლო ლუმინობა  $w(E^1) = -1$ . ღიპო-

ლური კვანტის ორბიტალურ მომენტს ექნება მნიშვნელობები  $L=0$  და  $L=2$ . ელექტრული კვადრუპოლური კვანტის სრული მომენტი  $\Lambda=2$ , ხოლო ლუწობა  $w(E2)=1$  და ა. შ. მაგნიტური მულტიპოლების კვანტებს ექნებათ საჭინააღმდეგო ლუწობანი. მართლაც,  $M1$  კვანტისათვის  $w(M1)=+1$ , ხოლო  $M2$ -ისათვის  $w(M2)=-1$  და ა. შ.

რაღაც ჩვენ უკვე ვიცით სინაოლის კვანტის მომენტი და ლუწობა, ამის შემდეგ ადვილად დავადგენთ შერჩევის წესებს ელექტრული და მაგნიტური მულტიპოლობის კვანტების გამოსხივების ან შთანთქმის შემთხვევაში. შერჩევის წესები შედეგია სრული მომენტის, მასი ა-პროექციისა და ლუწობის შენახვის კანონებისა. რადგან  $E1$  კვანტის მომენტი ერთის ტოლია, ხოლო ლუწობა უარყოფითი, ამიტომ მისი გამოსხივების ან შთანთქმის დროს მომენტი იცვლება ერთით, ხოლო ლუწობა — საჭინააღმდეგოთი. ცხადია, რომ  $E1$  გადასცლის დროს  $\Delta j=j'-j=0$  აკრძალული არ არის. აკრძალული იქნება მხოლოდ  $j'=0$ -იან  $j=0$  მდგრადარებაში გადასცლები. ამასთან, ასეთი გადასცლები აკრძალული იქნება ყველა მულტიპოლობის კვანტისათვის, რაღაც იგი ეწინააღმდეგება მომენტის შენახვის კანონს.  $\Delta j=0$  გადასცლა კი არ ეწინააღმდეგება არც მომენტის და არც ლუწობის შენახვას. ასე მაგალითად, შესაძლებელია განხორციელდეს  $d_{3/2} \rightleftharpoons p_{3/2}$  გადასცლა  $E1$  კვანტის მონაცილეობით. ამ გადასცლის დროს  $j$  არ იცვლება, ლუწობა კი იცვლება საჭინააღმდეგოთი. ამავე დროს საჭინის და საბოლოო მდგრადარების  $j=j'=3/2$  მომენტების შეკრებით მიეღობთ მნიშვნელობებს  $3, 2, 1, 0$ ; მაშინადამე,  $E1$  კვანტმა შეიძლება წაიღოს ერთის ტოლი მომენტი.

ამგვარად,  $E1$  გადასცლების დროს გვექნება შერჩევის წესი:

$$|j-1| \leq j' \leq j+1; \text{ ლუწობა იცვლება} \quad (96,22)$$

$E2$  კვანტის მომენტი 2-ის ტოლია და იქნება დადგენითი ლუწობა, ამიტომ ასეთი კვანტის შთანთქმის ან გამოსხივების დროს სისტემის სრული  $j$  მომენტი შეიცვლება რომ ერთეულით, ლუწობა კი არ შეიცვლება, ე. ი.

$$|j-2| \leq j' \leq j+2; \text{ ლუწობა არ იცვლება.} \quad (96,23)$$

$E2$  გადასცლა დასაშვებია, მაგალითად,  $d_{3/2}$  დონიდან  $s_{1/2}$  დონეზე.

მაგნიტური მულტიპოლობის კვანტის გამოსხივების ან შთანთქმის დროს საჭიროა გავითვალისწინოთ, რომ მაგნიტური მულტიპოლობის კვანტის ლუწობა საჭინააღმდეგოა ელექტრული მულტიპოლური კვანტის ლუწობისა. ასე მაგალითად,  $M1$  გადასცლის დროს შერჩევის წესი ასეთი იქნება:

$$|j-1| \leq j' \leq j+1; \text{ ლუწობა არ იცვლება} \quad (96,24)$$

რადგან ლუწობა არ იცვლება  $M1$  გადასცლა დასაშვები იქნება მაშინ, როცა ატომის თრიტორიული მომენტი არ იცვლება, ე. ი. ამ შემთხვევაში უნდა შეიცვალოს სპინის მიმართულება. როგორც ამბობენ ადგილი ექნება სპინის გადაბრუნებას. ასეთი იქნება, მაგალითად,  $p_{3/2} \rightleftharpoons p_{1/2}$ ,  $d_{3/2} \rightleftharpoons p_{1/2}$  გადასცლები და ა. შ.

სრულიად ანალოგიურად  $M2$  გადასცლების შემთხვევაში გვექნება შერჩევის წესები

$$|j-2| \leq j' \leq j+2; \text{ ლუწობა იცვლება} \quad (96,25)$$

ასევე ვიპოვით შერჩევის წესებს ნებისმიერი მულტიპოლური გადასცლის შემთხვევაშიაც.

### § 97. ელექტრონის სრული მაგნიტური მომენტი

როგორც აღვნიშნეთ, ელექტრონის გამნია თრი მაგნიტური მომენტი, რომელთაგან ერთი — ორბიტალური

$$\hat{M}^l = -\frac{e}{2\mu c} \hat{l} \quad (97,1)$$

გამოწვეულია ელექტრონის ორბიტალური მოძრაობით და მეორე — სპინური

$$\hat{M}^s = -\frac{e}{\mu c} \hat{s} \quad (97,2)$$

გამოწვეული ელექტრონის საკუთარი მექანიკური მომენტით — სპინით. ამ თრი მომენტის კერძორულ ჯამს უწოდებენ ელექტრონის სრულ მაგნიტურ მომენტს

$$\hat{M}^j = \hat{M}^l + \hat{M}^s = -\frac{e}{2\mu c} (\hat{l} + \hat{s}). \quad (97,3)$$

ან, თუ გავიხსენებთ, რომ ელექტრონის სრული მომენტი  $j = l + s$ , მაშინ

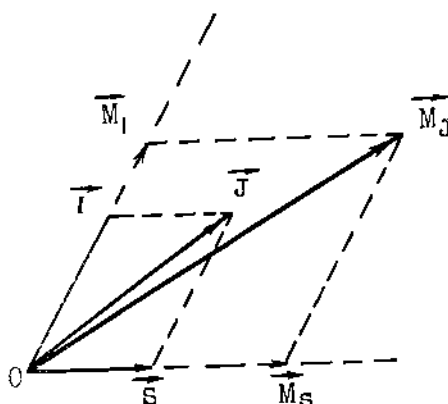
$$\hat{M}^j = -\frac{e}{2\mu c} (\hat{j} + \hat{s}). \quad (97,4)$$

როგორც ცხედავთ, ელექტრონის სრული მაგნიტური მომენტი, აღარ არის პროპორციული ელექტრონის სრული მექანიკური მომენტისა, როგორც ეს გვქონდა ცალკე თრიბიტალური და ცალკე სპინური მომენტებისათვის, რომელთაგან პირველი პროპორციული იყო ორბიტალური მომენტისა, მეორე კი — სპინისა. ეს მდგომარეობა გამოხატულია 25-ე ნახაზზე, საიდანაც ჩანს, რომ სრული მომენტი  $j = l + s$  არ ემთხვევა სრული მაგნიტური  $M^j$  მომენტის მიმართულებას. მიუხდავად ამისა პრაქტიკული გამოთვლების დროს პერსაკურენტია  $M^j$  სრული მომენტის ოპერატორი გამოვხატოთ ისეთნაირად, რომ იგი პროპორციული იყოს სრული  $\hat{j}$  მომენტის ოპერატორისა. ამ მიზნით შემოვილოთ ისეთი  $\hat{j}$  ოპერატორი, რომლის გამრავლებით  $\hat{j}$  ოპერატორზე მივიღებთ  $M^j$ -ს, ე. ი. შეგვიძლია დავწეროთ

$$\hat{M}^j = \hat{j} \cdot \hat{j}. \quad (97,5)$$

$\hat{j}$  ოპერატორის სახის დადგენა აუვილა. ამისათვის (97,5) ტოლობა სკალარული გავაძრავლოთ  $\hat{j} \cdot \hat{j}$ ; მივიღებთ

$$\hat{j}^2 = \frac{(\hat{M}^j \cdot \hat{j})}{\hat{j}^2} \quad (97,6)$$



ნახ. 25  
ნახაზი ეხება დასტურით მეტას შემთხვევას.

ან (97,4) ფორმულის გათვალისწინებით გვექნება

$$\hat{\Gamma} = -\frac{e}{2\mu c} \left\{ \hat{j}^2 + (\hat{j} \cdot \hat{s}) \right\} \frac{1}{\hat{j}^2}.$$

ახლა გავითვალისწინოთ, რომ  $(\hat{j} \cdot \hat{s})$  სკალარული ნამრავლი შეგვიძლია გამოვხატოთ  $\hat{j}^2$ ,  $\hat{l}^2$  და  $\hat{s}^2$  ოპერატორებით. მართლაც, (95,16) ფორმულის გათვალისწინებით შეგვიძლია დავწეროთ

$$\hat{\Gamma} = -\frac{e}{2\mu c} \left\{ 1 + \frac{\hat{j}^2 - \hat{l}^2 + \hat{s}^2}{2\hat{j}^2} \right\}, \quad (97,7)$$

ხოლო სრული მაგნიტური მომენტისათვის გვექნება

$$\hat{M}_j = -\frac{e}{2\mu c} \left\{ 1 + \frac{\hat{j}^2 - \hat{l}^2 + \hat{s}^2}{2\hat{j}^2} \right\} \hat{j}. \quad (97,8)$$

ჰამილტონიანის შესწორება მაგნიტურ ველში მოძრავი ელექტრონისათვის, რომელიც გამოწვეულია სრული მაგნიტური მომენტით, ტოლი იქნება

$$\hat{H}' = -(\mathbf{M} \cdot \vec{\mathcal{H}}) = \frac{e}{2\mu c} [(\hat{l} \cdot \vec{\mathcal{H}}) + 2(\hat{s} \cdot \vec{\mathcal{H}})]. \quad (97,9)$$

ათვლის სისტემის  $z$ -ღერძი მიემართოთ მაგნიტური ველის დაძაბულობის გასწვრივ, მაშინ  $\vec{\mathcal{H}}(0, 0, \mathcal{H})$  და ენერგიის შესწორებისათვის მიფილებთ

$$\hat{H}' = \frac{e\mathcal{H}}{2\mu c} (\hat{l}_z + 2\hat{s}_z). \quad (97,10)$$

შემთვილოთ ე. შ. ლარმორის სისტემა

$$\Omega = \frac{e\mathcal{H}}{2\mu c}, \quad (97,11)$$

მაშინ გვექნება

$$\hat{H}' = \Omega (\hat{l}_z + 2\hat{s}_z) \quad (97,12)$$

სრულ ჰამილტონიანის გარეშე მაგნიტურ ველში შეტანილი ატომისა ექნება შეძლევი სახე:

$$\hat{H} = \hat{H}_0 + \hat{H}_{sl} + \Omega(\hat{l}_z + \hat{s}_z), \quad (97,13)$$

სადაც  $\hat{H}_0$  არის ატომის ჰამილტონიანი ველის გარეშე, ხოლო  $\hat{H}_{sl}$  სპინ-ორბიტალური ურთიერთქმედების ოპერატორია. როცა სპინ-ორბიტალური ურთიერთქმედება შეგვიძლია უგულებელყოთ, მაშინ ატომის ჰამილტონიანი ასე შეიძლება გადავწეროთ:

$$\hat{H} = \hat{H}_0 + \Omega(\hat{l}_z + 2\hat{s}_z) \quad (97,14)$$

ალგებრით, რომ (97,8) ფორმულის გათვალისწინებით,  $z$ -ღერძის გასწვრივ მიმართულ მაგნიტურ ველში მოძრავი ატომის ჰამილტონიანის შესწორებისათვის შეგვიძლია დავწეროთ

$$\hat{H}' = \Omega \left\{ 1 + \frac{(\hat{j} \cdot \hat{s})}{\hat{j}^2} \right\} \hat{j}_z. \quad (97,15)$$

პრეცესია. ვაჩვენოთ, რომ, როგა სპინ-ორბიტალური ურთიერთქმედება მცირება, მაშინ ელექტრონის ორბიტალური მომქნეტი და სპინი მაგნიტური ველის დაძაბულობის მიმართ პრეცესიას განიცდის. ამისათვის დაეწეროთ მოძრაობის კვანტური განტოლებები 1 და  $\hat{s}$  ვექტორებისათვის. რადგან ეს სიდიდეები დროშე ცხადად დამოკიდებული არ არიან, ამიტომ

$$\frac{d\hat{l}_i}{dt} = [\hat{H}, \hat{l}_i]; \quad \frac{d\hat{s}_i}{dt} = [\hat{H}, \hat{s}_i], \quad (97,16)$$

საღაც  $\hat{H}$  განისაზღვრება (97,14) ფორმულით. შევიტანოთ (97,14) პამილტონიანი და გავითვალისწინოთ, რომ  $[\hat{l}_i, \hat{s}_k] = 0$ ; მივიღებთ

$$\frac{d\hat{l}_i}{dt} = \Omega[\hat{l}_z, \hat{l}_i]; \quad \frac{d\hat{s}_i}{dt} = 2\Omega[\hat{s}_z, \hat{s}_i]. \quad (97,17)$$

აქედან მომენტია მდგენელების კომუტაციის თვისებების გათვალისწინებით გვექნება

$$\frac{d\hat{l}_i}{dt} = -\Omega \mathcal{E}_{sik} \hat{l}_k. \quad (97,18)$$

ანალოგიური დამოკიდებულება გვექნება სპინის პროეციებისთვისაც. გადავიდეთ საშუალო სიღილეებზე. ამისათვის გავითვალისწინოთ, რომ  $\Omega$  და  $\mathcal{E}_{sik}$  ტენზორი მუდმივებია, მაშინ მივიღებთ:

$$\frac{d\bar{l}_x}{dt} = -\Omega \bar{l}_y, \quad \frac{d\bar{l}_y}{dt} = -\Omega \bar{l}_x, \quad \frac{d\bar{l}_z}{dt} = 0. \quad (97,19)$$

თუ პირველ განტოლებას გავაწარმოებთ დროით და გავითვალისწინებთ მეორე განტოლებას, გვექნება

$$\frac{d^2\bar{l}_x}{dt^2} + \Omega^2 \bar{l}_x = 0, \quad \bar{l}_y = -\frac{1}{\Omega} \frac{d\bar{l}_x}{dt}, \quad \bar{l}_z = \text{const} \quad (97,20)$$

ამ განტოლებათა ამოხსნა მოგვცემს:

$$\begin{aligned} \bar{l}_x &= A \cos(\Omega t + \alpha), \\ \bar{l}_y &= A \sin(\Omega t + \alpha), \\ \bar{l}_z &= \text{const.} \end{aligned} \quad (97,21)$$

სპინისათვის სრულიად ანალოგიურად მივიღებთ:

$$\begin{aligned} \bar{s}_x &= B \cos(2\Omega t + \delta), \\ \bar{s}_y &= B \sin(2\Omega t + \delta), \\ \bar{s}_z &= \text{const.} \end{aligned} \quad (97,22)$$

(97,22)-ფორმულებიდან აშკარად ჩანს, რომ გარეშე მაგნიტურ ველში შეტანის შედეგად ატომის ორბიტალური მომენტისა და სპინის მდგენელების საშუალო მნიშვნელობა ველის გასწვრივ ინახება, დანარჩენი მდგენელები კი (ე. ი.  $x$  და  $y$ -მდგენელები)  $xOy$  სიბრტყეში ირჩევა  $\Omega$  (და სათანადოდ 2 $\Omega$  — სპინისათვის) კუთხური სისშირით. ეს იმას ნიშნავს, რომ თვით 1 ვექტორის საშუალო მნიშვნელობა პრეცესიას განიცდის  $\Omega$ -ლარმორის სისშირით მაგნიტური ველის დაძაბულობის

ვექტორის ირგვლივ. სპინის ვექტორის საშუალო მნიშვნელობა კი იგივე მიმართულების მიმართ ბრუნავს ორჯერ უფრო სწრაფად.

როცა სპინ-ორბიტალური ურთიერთქმედება ძლიერია, მაშინ საჭიროა ჰამილტონიანი გავითვალისწინოთ  $\hat{H}_{\text{ei}}$  წევრიც. ამ შემთხვევაში ცალკე სპინური და ცალკე ორბიტალური მომენტები აღარ ინახება, ეს როი ვექტორი ერთმანეთთან ძლიერად არის დაკავშირებული; თითოეული მათგანის პრეცესიას გარეშე ველის მიმართ ადგილი არა აქვს. ამ დროს ინახება ელექტრონის სრული მომენტის კვალ-რატი და მისი პროექცია, ამიტომ პრეცესიას ეს ვერტორი განიცდის მაგნიტური ველის მიმართ. ცხადია, რომ მაგნიტური ველის ირგვლივ იბრუნებს სამკუთხედიც, რომელიც შედგენილია  $j$ ,  $I$  და  $S$  ვექტორებისაგან. კვანტურ მექანიკაში ხშირად მიმართვენ ატომის  $j$ ,  $I$ , ვექტორულ მოდელს, რომელის თანახმად სპინი, არბიტალური მომენტი და სრული მომენტი განიჩილება როგორც კვანტური ვექტორები. მომენტის შემცველი გამოსახულებების საყუთარი მნიშვნელობები კი მიიღება ზემოთ განხილული პრეცესიული მოძრაობების მიმართ კლასიკური გასაშუალოების მეთოდების გამოყენებით.

#### § 98. ზემოადეს მცველი

ზემოადეს ეფექტს უწოდებენ მაგნიტურ ველში ატომის შეტანის შედეგად სპექტრალური ხაზების გამრავლებას. იმის მიხედვით, თუ როგორია გარეშე ველის სიძლიერე, არჩევნ არი ტიპის ზემოადეს ეფექტს: მარტივს (ანუ ნორმალურს), როცა გარეშე ველი ძლიერია და რთულს (ანუ ანომალურს), როცა მაგნიტური ველი სუსტია. ზემოადეს მარტივი ეფექტი ახსილი იყო ლორენცის კლასიკურ ელექტრონულ თეორიაზე დაყრდნობით. რთული ეფექტის ახსნა კი მხოლოდ კვანტურმა მექანიკაში შესძლო.

როგორც ვიცით, თუ მაგნიტური ველი მიმართულია  $z$ -ლერძის გასწვრივ, მაშინ ამ ველში წყალბადისებური ატომის შეტანის შედეგად უკანასკნელის ენერგიას ემატება

$$\frac{e\mathcal{H}}{2\mu c} l_z$$

წევრი. ამიტომ ატომის სრული ენერგია მაგნიტურ ველში ტოლია

$$W_{nm} = E_n + \frac{e\mathcal{H}}{2\mu c} l_z \quad (98,1)$$

ან, თუ გავითვალისწინებთ, რომ  $l_z = m\hbar$ , გვექნება

$$W_{nm} = E_n + \frac{e\mathcal{H}}{2\mu c} m\hbar \quad (98,2)$$

როგორც ვხედავთ, ენერგია ფუნქცია იქნება მაგნიტური კვანტური რიცხვისაც. მაგრამ გარდა წყალბადისებური ატომებისა ყველა ატომში ენერგია ფუნქციაა აზიმუტალური კვანტური რიცხვისაც; ამიტომ მაგნიტურ ველში ატომის ენერგია იქნება ფუნქცია  $n$ ,  $I$  და  $m$  კვანტური რიცხვებისა, ე. ი.

$$W_{nIm} = E_n + \frac{e\mathcal{H}}{2\mu c} m\hbar. \quad (98,3)$$

ამგვარად, მაგნიტურ ველში შეტანისას ურთელექტრონიანი (გარდა წყალბადისებური ატომებისა) ატომების ენერგია დამოიდებულია იძლენივე კვანტურ

რიცხვზე, რამდენზეც ტალღური ფუნქცია  $\psi - \psi_{nlm} (r, \theta, \varphi)$ , ამიტომ გადაგვარება ისპობა. მაგნიტურ ველში ენერგია დამოკიდებულია არა მხოლოდ მომენტის სიდი-ლეზე, არამედ მის ორიენტაციაზედაც მაგნიტური ველის მიმართ<sup>1</sup>. ვნახოთ, როგორ იცვლება სპექტრალური ხაზები ატომის მაგნიტურ ველში შეტანისას. ამისათვის გამოვყენოთ ბოლის სიხშირეთა პირობა. სპექტრალური ხაზის სიხშირე ატომის მაგნიტურ ველში შეტანისას ტოლია

$$\omega_{n'l'm'; nl'm} = \frac{W_{n'l'm'} - W_{nlm}}{\hbar} = \omega_0 + \frac{e\mathcal{H}}{2\mu c} (m' - m), \quad (98,4)$$

სადაც  $\omega_0 = \frac{1}{\hbar} (E_{n'l'} - E_{nl})$  არის სპექტრალური ხაზის სიხშირე მაგნიტური ველის გარეშე. თუ გაეიხსენებთ, რომ  $\frac{e\mathcal{H}}{2\mu c} = \Omega$  წარმოადგენს ლარმორის სიხშირეს, მაშინ ატომის მაგნიტურ ველში შეტანისას გამოსხივებული სიხშირის ცვლილებისათვის მივიღებთ

$$\omega_{n'l'm'; nl'm} = \omega_0 + \Omega \Delta m. \quad (98,5)$$

განვიხილოთ დიპოლური კვანტის გამოსხივება. ლავუშვათ, გამოსხივებას ვაკვირდებით მაგნიტური ველის პერპენდიკულარული მიმართულებით. მაშინ  $\Delta m = 0, \pm 1$  და, მაშასადამე, ველში ატომის შეტანით ერთი  $\omega_0$  სიხშირის ნაკვლად, ისევე როგორც კლასიკურ მექანიკაში, ვევჭნება სამი სიხშირე:

$$\omega_0 - \Omega, \omega_0, \omega_0 + \Omega. \quad (98,6)$$

ამ შემთხვევაში სინათლე ბრტყლად პოლარიზებულა ველს გასწვრივ ან მის მართობულად, ამიტომ (98,6) ხაზებიც ბრტყლად პოლარიზებული იქნება.

როგორც გამოსხივებას ვაკვირდებით მაგნიტური ველის გასწვრივ, მაშინ  $\Delta m = \pm 1$  და მივიღებთ ორ სიხშირეს

$$\omega_0 - \Omega \text{ და } \omega_0 + \Omega. \quad (98,7)$$

ამ შემთხვევაში ხაზები წრიულად პოლარიზებულია და აღგილი აქვს სპექტრალური ხაზების ორად გახლებას სპექტრალური ხაზების ზემოთ განხილულ გახლებას უწოდეს ზემანის ნორმალური ეფექტი, რაღაც მხოლოდ ეს ეფექტი შეესაბამებოდა იმდროინდელ თეორიულ მოსაზრებებს, რომლებიც კლასიკურ მექანიკაში ჩამოყალიბებული იყო ლორენცის მიერ. შევნიშნოთ, რომ ენერგეტულ დონეებს შორის მანძილი ტოლია გამოსახულების

$$\epsilon = \hbar \Omega = \frac{e\hbar}{2\mu c} \mathcal{H}; \quad (98,8)$$

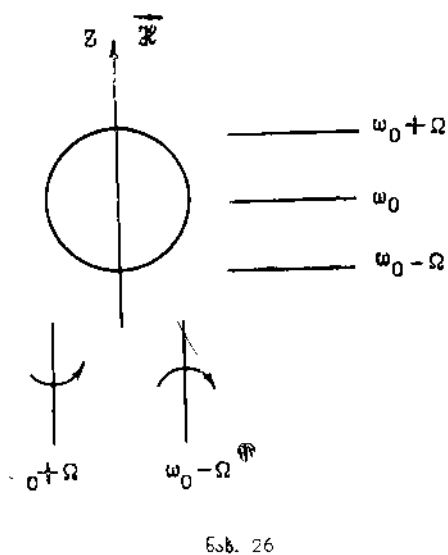
ზემანის რთული ეფექტი, განვიხილოთ ზემანის ანომალური ეფექტი. კვანტური მექანიკის თვალსაზრისით ამ ეფექტში არავითარი ანომალობა არა ვცაქვს. პირიქით, იგი ცდაზე უფრო ხშირად გვხვდება. ვიდრე ნორმალური ეფექტი. მას ზემანის რთულ ეფექტსაც უწოდებენ. საჭირო ისაა, რომ სინამდვილეში სპექტრალური ხაზების რიცხვი გაცალებით მეტია იმაზე, რასაც იძლევა ზემანის მარტივი ეფექტი.

<sup>1</sup> წარმოადგისებურ ატომიტში „L“ გადაგვარების კალავ ექნება დაგიღი, ასე რამ, ამ ატომების ენერგია მაგნიტურ ველში მხოლოდ  $n$ -ზე და  $m$ -ზე დამოკიდებული. მაშინადამე, წყალბადისებურ ატომში მოიხსება მხოლოდ „m“ გადაგვარება.

ამ მოვლენის მარტივად აქცინით, თუ გავითვალისწინებთ ელექტრონის სპინს და მასთან დაკავშირებულ ღონების მულტიპლეტურ სტრუქტურას. თანახმად (97,7) ფორმულისა, სრულ ჰამილტონიანს (სპინის გათვალისწინებით) ერთეულექტრონიანი ატომებისათვის, როცა ისინი მოთავსებულია  $\hat{z}$ -ის მიმართულების მქონე მაგნიტურ ველში, აქეს სახე

$$\hat{H} = \hat{H}_0 + \hat{H}_{sl} - \Omega (\hat{i}_z + \hat{s}_z), \quad (98,9)$$

სადაც  $\hat{H}_{sl}$  სპინ-ორბიტალური ურთიერთქმედებით გამოწვეული ენერგიის ოპერატორია. განვიხილოთ ორი შემთხვევა სუსტი და ძლიერი ველებისა. ველს ეჭოდება



ნახ. 26

ძლიერი, როცა ამ ველით გამოწვეულ დონეთა გახლეჩა მეტია ატომშიგა ველით გამოწვეულ გახლეჩასთან (ე. ი. სპინ-ორბიტალურ გახლეჩასთან) შედარებით და სუსტი, როცა გარეშე ველით გამოწვეული გახლეჩა ნაკლებია ატომშიგა ველით გამოწვეულ დონეთა გახლეჩაზე. სიღილის რიგით „sl“ გახლეჩა ტოლია დუბლეტებს შორის დონეთა სხვაბისა (ე. ი. ერთიდაიგივე ლის, ოლონდ სხეადასხვა  $j$ -ის მქონე დონეებს შორის სხვაბის). აღვნიშნოთ ეს ენერგია  $\epsilon_{sl}$ -ით. გახლეჩის ენერგია, რომელიც გამოწვეულია მაგნიტური ველით. სიღილის რიგით ტოლია  $\epsilon = \Omega \hbar$ . ამიტომ ძლიერი ველის პირობა ასე დაიწერება

$$\Omega \hbar = \frac{e \mathcal{H}}{2\mu c} \hbar \gg \epsilon_{sl}, \quad (98,10)$$

ე. ი.

$$\mathcal{H} \gg \frac{2\mu c}{e\hbar} \epsilon_{sl}. \quad (98,11)$$

სუსტი ველი კი გვექნება მაშინ, როცა

$$\mathcal{H} \ll \frac{2\mu c}{e\hbar} \epsilon_{sl}. \quad (98,12)$$

მაგალითად, როცა საჭმე ვაკეს ნატრიუმის ( $p_{1/2}, p_{3/2}$ ) დუბლეტთან,  $\epsilon_{sl} \sim 0,001 \text{ eV}$  და მივიღებთ, რომ გარეშე ველი სუსტია. როცა დაცულია პირობა  $\mathcal{H} \ll 50000$  გაუსი. ჯერ განვიხილოთ სუსტი ველის შემთხვევა.

1. რადგან ამ შემთხვევაში „sl“-ბმა გაცილებით ძლიერია, ვიდრე გარეშე ველი, ამიტომ  $s$  და  $l$  ცალ-ცალკე არ ინახება. ამ შემთხვევაში, როგორც წინა პარაგრაფში დავინახეთ, უნდა განვიხილოთ სრული მომენტი  $j = l + s$  და გაფითვალისწინოთ, რომ აღვილი აქვს  $j^2$  და  $j_z$ -ის ერთორთულად შენახვას. ამის გამო (98,9) ჰამილტონიანი ( $\hat{H}_0 + \hat{H}_{sl}$ ) ფარი შეგვიძლია განვიხილოთ როგორც შეუძლიერებელი ატომის ჰამილტონიანი. უკანასკნელი წევრი კი თავისი სიმცირის გამო

შეგვიძლია ჩავთვალოთ მცირე შეშფოთებად. მაშასადამე, შეშფოთების ენერგიის ოპერატორს ექნება სახე

$$\hat{H}' = \Omega(\hat{j}_z + \hat{s}_z), \quad (98,13)$$

რომელიც (97,15) ფორმულის თანახმად ყველა ლენტურია გამოსახულების

$$\hat{H}' = \Omega \left\{ 1 + \frac{(\hat{j} \hat{s})}{\hat{j}^2} \right\} \hat{j}_z. \quad (98,14)$$

რადგან დაგადგინეთ შეშფოთების ენერგიის ოპერატორის გამოსახულება, ატომის მაგნიტურ კალი მოთავსების შედეგად ენერგეტული ლონების ცვლილების საპოვნელად, უნდა გამოვიყენოთ შეშფოთების თეორია, რისთვისაც პირველ მიახლოებაში საქმარისი იქნება ვიპოვთ (98,14) ოპერატორის ღიაგონალური მატრიცული ელემენტები, შეუშფოთებელი პარალტონიანის  $\hat{H}^0 = \hat{H}_0 + \hat{H}_{st}$  საკუთარი ფუნქციების მიხედვით. მაშასადამე, ენერგიის შესწორებისათვის გვექნება

$$E_{jm_j} = \langle nljm_j | \hat{H}' | nljm_j \rangle. \quad (98.15)$$

რადგან შეშფოთების ოპერატორი დამოკიდებული არ არის რადიალურ მოძრაობაზე და ტალღურ ფუნქციას აქვს (94,21) სახე, ამიტომ

$$E_{jm_j} = \langle \mathcal{Y}_{l \frac{1}{2}}^{jm_j} | \hat{H}' | \mathcal{Y}_{l \frac{1}{2}}^{jm_j} \rangle \quad (98,16)$$

$\mathcal{Y}_{l \frac{1}{2}}^{jm_j}$  წარმოადგენს საკუთარ ფუნქციას  $\hat{j}^2$ ,  $\hat{j}_z$  და იგრეთვე  $(\hat{j} \hat{s})$  სკალარული ნამრავლისა, ამიტომ

$$E_{jm_j} = (\hbar \Omega) m_j \left\{ 1 + \frac{j(j+1) - l(l+1) + s(s+1)}{2j(j+1)} \right\}. \quad (98,17)$$

სიდიდეს

$$g = 1 + \frac{j(j+1) - l(l+1) + s(s+1)}{2j(j+1)}. \quad (98,18)$$

უწოდებენ ლანდეს მარრავლს. ამგვარად, სუსტ მაგნიტურ ცელში ატომის მიერ შექმნილი ენერგია ტოლი იქნება გამოსახულების

$$E_{jm_j} = (\hbar \Omega) g m_j, \quad (98,19)$$

სადაც  $m_j = \pm 1/2, \pm 3/2, \dots \pm j$  ატომის სრული ენერგია კი გამოისახება ფორმულით

$$W_{nljm_j} = E_{nl} + (\hbar \Omega) g m_j. \quad (98,20)$$

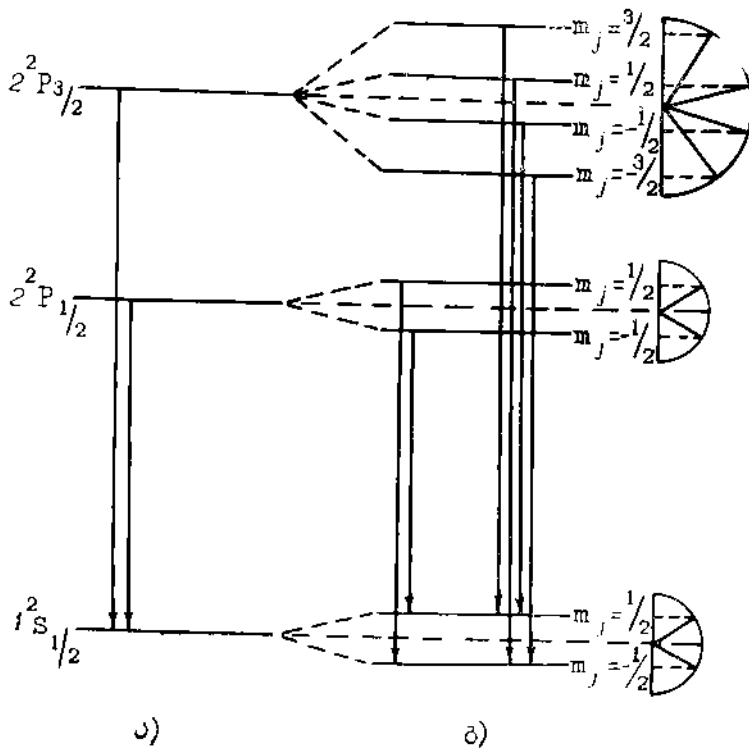
იმის გამო, რომ  $m_j$  იღებს  $(2j+1)$  მნიშვნელობას, თითოეული ენერგეტული დონე იხლიჩება  $(2j+1)$  დონედ და, მაშასადამე, სუსტ მაგნიტურ ცელში  $j$  მომენტის ორიენტაციის გადაგვარება მოისპობა. შევნიშნოთ, რომ  $E_{jm_j}$  არასოდეს არ არის ნულის ტოლი, რადგან ერთი ელექტრონის  $m_j \neq 0$ .

იმის მიხედვით, თუ სპინი როგორაა მიმართული თრბილური მოქენტის მიმართ პარალელურად თუ ანტიპარალელურად, დანდეს მარრავლისათვის გვექნება

$$g_+ = \frac{2(l+1)}{2l+1}, \quad j=l+1/2 \quad (98,20')$$

$$g_{\perp} = \frac{2l}{2l+1}, \quad j=|l-1/2|$$

საილუსტრაციოდ განვიხილოთ  $1s$  და  $2p$  ლონგების გახლებია სუსტი მაგნიტური ველით. ვთქვათ, გარეშე ველი არა გვაქვს, მანინ იმის გაძო, რომ აღვილი აქვს „si“ ურთიერთქმედებას,  $2p$  დონე ( $l=1$ ) გაიხლიჩა ორად:  $j=1+1/2=3/2$  და  $j=1-1/2=1/2$  სრული მომენტის კვანტური რიცხვის თრი შესაძლო მნიშვნელობის შესაბამისად. ამიტომ  $p$  ლონგისათვის შევიდებთ დუბლებს  $2^2p_{1/2}$  და  $2^2p_{3/2}$ , ხოლო  $2s$  დონე, რადგან  $j$ -სთვის გვაქვს მხოლოდ ერთი შესაძლო მნიშვნელობა  $j=0+1/2=1/2$ , არ გაიხლიჩა; ამგვარად, ველში შეტნამდის ატომს ექნება შემდეგი დონეები:  $1^2s_{1/2}$ ,  $2^2p_{1/2}$  და  $2^2p_{3/2}$  (იხ. ნახ. 27).  $2^2p_{1/2}$  და  $2^2p_{3/2}$  ლონგებიდან შესაძლებელია  $1^2s_{1/2}$  ლონეზე გადასცლა სინათლის გამოსხივებით; გვექნება



ნახ. 27. ა) შესაბამისად იმ შემთხვევას, როცა გარეშე მაგნიტური ველი არა მოდცელი, მაშინ აღვილი აქვს გადაგვარებას, მომენტის რაიცვალები ერთმანეთი ემისტოვეთ. ბ) შემთხვევაში კი გარეშე ველი გვაძეს, იგი წევევს მომენტის ორიცვალების გაღაგვარების მოხსნას.

ორი ერთმანეთთან ძალიან ახლოს მდებარე სპექტრალური ხაზი. მოვათავსოთ ატომი სუსტ მაგნიტურ ველში და გამოვარკვით, რამდენი ახდლი სპექტრალური ხაზი გაჩინდება. ამ მიზნით წინასწარ გამოვთვალოთ ლანდეს მარჩავლი ყველა დონისათვის. თანახმად (98,20) ფორმულისა, გვექნება

$$\left. \begin{array}{l} p_{3/2} \text{ დონე; } l=1, j=1+1/2=3/2, g_+=\frac{4}{3} \\ p_{1/2} \text{ დონე; } l=1, j=1-1/2=1/2, g_-=-\frac{2}{3} \\ s_{1/2} \text{ დონე; } l=0, j=0+1/2=1/2, g_+=2 \end{array} \right\} \quad (98,21)$$

(98,19) ფორმულა გვიჩვენებს, რომ  $p_{3/2}$  დონე გაიხლიება ოთხად ( $m_j = -3/2, -1/2, 1/2, 3/2$ ). რაღაც  $j=3/2$ . თითოეული ამ დონის ენერგია შეუშფოთებელი ატომის ენერგეტული დონისაგან შესაბამისად დაშორებული იქნება სიდიდეებით

$$\begin{aligned} E_{3/2-3/2} &= -2\hbar\Omega, \quad E_{3/2-1/2} = -\frac{2}{3}\hbar\Omega, \\ E_{3/21/2} &= \frac{2}{3}\hbar\Omega, \quad E_{3/23/2} = 2\hbar\Omega \end{aligned} \quad (98,22)$$

$p_{1/2}$  დონე გაიხლიება ორ დონედ ( $m_j = +1/2, -1/2$ ). ენერგიისათვის გვექნება

$$E_{1/2+1/2} = -\frac{1}{3}\hbar\Omega, \quad E_{1/2-1/2} = \frac{1}{3}\hbar\Omega. \quad (98,23)$$

დაბოლოს  $s_{1/2}$  დონეც გაიხლიება ორად ( $j=1/2, m_j = \pm 1/2$ ). ენერგიისათვის გვექნება

$$E_{1/2+1/2} = -\hbar\Omega, \quad E_{1/2-1/2} = \hbar\Omega. \quad (98,24)$$

ეს უკანასკნელი შექსაბამება, სწორედ, შტერნისა და ჰერლახის  $s$ -ფონის იმ განლეჩას, რამაც განაპირობა ელექტრონის სპინის აღმოჩენა. (გავიხსენოთ, რომ  $E_{1/2\pm1/2} = \pm\hbar\Omega = \pm M_B\mathcal{H}$ ). თუ შევადგენთ სხვადასხვა დონეთა შესაბამის ენერგიათა სხვაობებს და გავყოფთ ჩ შუდმივზე, ვიპოვთ შესაბამისი გადასცლის სპექტრალური გაზების სიხშირეებს. დიპოლური გამოსხივების ფროს შერჩევის წესების დაცვით ( $\Delta l = \pm 1; \Delta m = 0, \pm 1$ ) ნაცვლად ორისა გვექნება ათი სპექტრალური ხაზი. ამასთან, დუბლეტის ერთი სპექტრალური კომპონენტი იხლიება ოთხ კომპონენტად, მეორე კა — ექვსად. შეიძლება, მარტივად გავარკვიოთ თითოეული სპექტრალური ხაზის პოლარიზაციის საკითხიც.

2. განვიხილოთ მეორე უკიდურესი შემთხვევა, როცა გარეშე ველი ძლიერია „it“ ურთიერთქმედებასთან შედარებით. ამ შემთხვევაში გარეშე ველი სპობს კავშირს  $s$ ,  $1$  და  $j$  ვექტორებს შორის. როგორც  $1$  ისე  $s$  დამოუკიდებელია და რადგან ამ დროს სპინ-ორბიტალური ურთიერთქმედება შეგვიძლია უგულებელვყოთ,  $s^2$ ,  $1^2$  და მათი  $s$ -პროექციები მოძრაობის ინტეგრალები იქნება.  $s$  და  $1$  ვექტორებს შორის კავშირის გაწყვეტა შეგვიძლია აესწათ იმ გარემოებით, რომ  $s$  ვექტორი ორჯერ უფრო სწრაფად ბრუნავს  $\mathcal{H}$ -ის ირგვლივ, ვიდრე  $1$ -ვექტორი. რადგან გარეშე ველი ძლიერია სპინ ორბიტალურ ურთიერთქმედებასთან შედარებით, ამიტომ  $\hat{H}_{si}$  წევრი (98,9)-ში შეგვიძლია გადავაგდოთ და შეშფოთებად განვიხილოთ (98,13) გამოსახულება, რომელიც იმის გამო, რომ ორბიტალური და სპინური მომენტები ცალ-ცალკე ინახება, ასე უნდა გადავწეროთ:

$$\hat{H}' = \Omega(\hat{l}_z + 2\hat{s}_z). \quad (98,25)$$

ენერგიის შესწორების მოსაქებნად საჭიროა ამ გამოსახულების დიაგონალური მატრიცული ელემენტების პოვნა შეუშფოთებელი  $\hat{H}_0$  ჰამილტონინის საკუთარი ფუნქციების მიხედვით. რამდენადაც ინახება ოთვორტ  $l_z$ , ისე სე გვექნება

$$E = \Omega(l_z + 2s_z), \quad (98,26)$$

ამგვარად, ენერგია განისაზღვრება ორბიტალური და სპინური მომენტების პროექტი მაგნიტური ველის გასწვრივ. რადგან  $l_z = m_z$  და  $s_z = m_s$  ამიტომ

$$E = \hbar\Omega(m+1), \quad m_s = 1/2, \quad (98,27)$$

$$E = \hbar\Omega(m-1), \quad m_s = -1/2.$$

სრული ენერგია კი გამოიხატება ფორმულებით:

$$W_{nlm} = E_{nl} + \hbar\Omega(m+1), \quad (98,28)$$

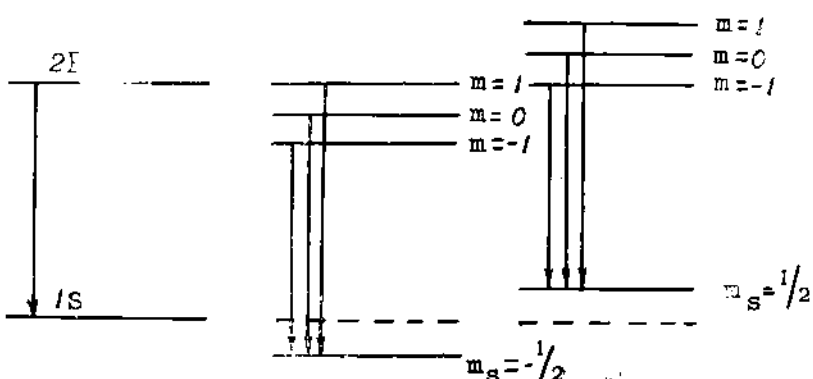
$$W_{nlm} = E_{nl} + \hbar\Omega(m-1).$$

თუ გამოვიყენობთ ბორის სინარჩუნა პირობას, ოთვორტ  $m_s = 1/2$ , ისე  $m_s = -1/2$  შემთხვევისათვის, გვექნება

$$\omega_{n'l'm'};_{nlm} = \omega_0 + \Omega\Delta m. \quad (98,29)$$

$E1$  გადასცლისათვეს  $\Delta m = 0, \pm 1$ , ამიტომ მივიღებთ

$$\omega_0 - \Omega, \quad \omega_0, \quad \omega_0 + \Omega. \quad (98,30)$$



ნახ. 28

სკექტრალურ სისტემებს. ე. ი. ჩეენ მივიღეთ ზუსტად ის შემთხვევა, რომელიც გვქონდა ამ პარაგრაფის დასაწყისში. აქედან უნდა დავასკვნათ, რომ ზეემანის ნორმალურ ეფექტს ადგილი აქვს ძლიერი გარეშე მაგნიტური ველის შემთხვევაში. 28-ე ნახაზზე მოყვითალია  $2p$  ფონის ძლიერ ველში გახლუნის სქემა.

აღნიშნოთ, რომ ველი, რომელიც სუსტია ერთი რომელიმე დუბლეტისათვის, შეიძლება ძლიერი იყოს მეორისათვის. ასე რომ, შესაძლებელია ზეემანის ორივე ეფექტი — რთულიცა და მარტივიც, ერთდროულად ხდებოდეს. ზემოთქმულის თანახმად, თუ მოვახდენთ იმ ველს გაზრდას, რომელიც იწვევს ზეემანის რთულ ეფექტს, მაშინ რთული ეფექტი გადავა მარტივში. ამ მოვლენას პაშენ-ბაკის ეფექტს უწოდებენ.

**§ 99. მრთვლებრივი ატომების აარამაგნიტული  
და დიამაგნიტული**

მაგნიტური მოვლენებიდან, რომელთაც აღგილი აქვთ ატომების გარეშე ერთ-გვაროვან მაგნიტურ ცენტრისას, მეტად მნიშვნელოვანია პარამაგნიტიზმისა და დიამაგნიტიზმის მოვლენა. გამოვარევით როგორ ხსნის კვანტური მექანიკა ამ მოვლენებს. ამ მიზნით საქმიანისა კვანტური მექანიკის მეთოდებით გამოვთვალით მაგნიტური ამონისებლობა. დაცუშვათ, გარეშე ველის დაძაბულობა, რომელშიაც შეტყინული გვაჩვს ერთეულექტრონიანი ატომების გაზი, მიმართულია z-ლერძის გაწვრივ და სიდიდით  $\hat{\mathcal{H}}$ -ის ტოლია.

გარეშე მაგნიტური ველი ურთიერთქმედებს ატომის მაგნიტურ მომენტებთან. ეს ურთიერთქმედება, როცა სპინ-ორბიტალური წევრი მცირდა, ხდება ცალკე ორბიტალურ და ცალკე სპინურ მომენტებთან, ხოლო როცა სპინ-ორბიტალური ურთიერთქმედება ძლიერია, გარეშე მაგნიტური ველი ურთიერთქმედებს სრულ მომენტთან. პარამიტონიანი, როცა ერთეულექტრონიანი ატომი შეტყინილია გარეშე ერთგვაროვან სუსტ მაგნიტურ ველში ტოლი იქნება

$$\hat{H} = \hat{H}_0 + \hat{H}_{st} + \Omega(\hat{l}_z + 2\hat{s}_z). \quad (99,1)$$

ამ გამოსახულებაზე  $\hat{H}_0$  ოპერატორი არ შეიცავს არც სპინსა და არც გარეშე მაგნიტურ ველთან დაკავშირებულ წევრებს. როგორც ვიცით, ერთგვაროვანი მაგნიტური ველის შემთხვევაში  $\mathbf{A} = \frac{1}{2} [\vec{\mathcal{H}} \times \mathbf{r}]$ , ამიტომ <sup>1</sup>

$$\frac{e}{\mu c} (\mathbf{A}\hat{p}) = \frac{e\vec{\mathcal{H}}}{2\mu c} \hat{l}_z \quad (99,2)$$

და, მიშასადამე, (99,1) პარამიტონიანში  $\Omega\hat{l}_z$  წევრი გამოწვეულია  $\frac{e}{\mu c} (\mathbf{A}\hat{p})$  წევრის საგან, რაც შეეხება  $\mathbf{A}^2$ -ის შემცველ წევრს იგი უგულებელყოფილია. ეს წევრი მართლაც მცირდა (99,2)-თან შედარებით, მაგრამ  $\mathbf{A}^2$ -ის შემცველი წევრი, როგორც ქვემოთ დავინახავთ, აპირობებს დიამაგნიტიზმის მოვლენას, ამიტომ მისი განხილვა აუცილებელია. რადგან  $\mathbf{A} = \frac{1}{2} [\vec{\mathcal{H}} \times \mathbf{r}]$  და  $\vec{\mathcal{H}}$  მიმართულია z-ლერძის გაწვრივ, ამიტომ

$$A_x = -\frac{1}{2} y \vec{\mathcal{H}}, \quad A_y = \frac{1}{2} x \vec{\mathcal{H}}, \quad A_z = 0 \quad (99,3)$$

და  $\frac{e^2}{2\mu c^2} \mathbf{A}^2$  წევრი მიიღებს სახეს

$$\frac{e^2 \vec{\mathcal{H}}^2}{8\mu c^2} (x^2 + y^2). \quad (99,4)$$

ამგვარად, პარამიტონის ოპერატორს  $\mathbf{A}^2$  წევრის გათვალისწინებით ექნება გამოხატულება:

$$\hat{H} = \hat{H}_0 + \hat{H}_{st} + \Omega(\hat{j}_z + \hat{s}_z) + \frac{e^2 \vec{\mathcal{H}}^2}{8\mu c^2} (x^2 + y^2). \quad (99,5)$$

<sup>1</sup> იხ. § 66.

ატომის მაგნიტური მომენტის  $\mathbf{z}$ -პროექცია განისაზღვრება ფორმულით

$$M_z = - \frac{\partial \hat{H}}{\partial z \mathcal{H}} \quad (99,6)$$

ხოლო მაგნიტური ამონისებლობა ტოლია გამოსახულების

$$\chi = \frac{\partial \overline{M}_z}{\partial z \mathcal{H}}, \quad (99,7)$$

სადაც  $\overline{M}_z$  არის ატომის მაგნიტური მომენტის საშუალო მნიშვნელობა ველის მიმართულებით. ამგვარად, ჩვენთვის საკმარისია მაგნიტური მომენტის საშუალო მნიშვნელობის გამოთვლა.

შერ განვიხილოთ პარამაგნიტიზმის მოვლენა. ამისათვის (99,5) ჰამილტონიანში დავტოვოთ  $\mathcal{H}$ -ის მხოლოდ პირველი ხარისხის შემცველი წევრი. მაშინ ჰამილტონიანი ისეთივე იქნება, რაც გვჭონდა ზეემანის რთული ეფექტის განხილვის დროს. ჩვენ ვაჩვენოთ, რომ ზეემანის ეფექტის შედეგად, ატომის ენერგია იცვლება სიღრიძით

$$E_{jm_j} = \hbar \Omega g m_j, \quad (99,8)$$

სადაც  $g$  არის ლანდეს მარჩული. რადგან  $m_j$  იღებს  $(2j+1)$  მნიშვნელობას, ამიტომ გარეშე ველში ატომის ექნება სხვადასხვა ენერგია. თუ გავიხსენებთ, რომ  $M_B = \frac{e\hbar}{2\mu c}$  წარმოადგენს ბორის მაგნიტონს და შემოვიდებთ აღნიშვნას

$$\beta = M_B g, \quad (99,9)$$

მაშინ ენერგიისათვის მივიღებთ

$$E_{jm_j} = \beta m_j \mathcal{H}. \quad (99,10)$$

ამგვარად, ატომის მაგნიტური მომენტის  $\mathbf{z}$ -პროექციის როლს ასრულებს სიღრიძე

$$M_z = -\beta m_j = -M_B g m_j. \quad (99,11)$$

ბოლცმანის კანონის თანხმად, აღბათობა იმისა, რომ ატომი  $T$  ატოლუტურ ტემპერატურაზე შეგხვდება მდგომარეობაში, რომლის მომენტის პროექცია მაგნიტური ველის გასწვრივ ტოლია  $m_j$  ჩ-ისა, გამოისახება ფორმულით

$$w(m_j) = A e^{-\frac{\beta m_j \epsilon \mathcal{H}}{kT}}, \quad (99,12)$$

სადაც  $k = 1,36 \cdot 10^{-16}$  ერგი/გრ წარმოადგენს ბოლცმანის მუდმივს,  $A$  კი ნორმირების კოეფიციენტია. ამის შემდეგ აღვილია მომენტის საშუალო მნიშვნელობის მონახვა ველის გასწვრივ; გვექნება

$$\overline{M}_z = -\beta \overline{m}_j = -\frac{\sum_{m_j=-j}^{+j} \beta m_j e^{-\beta m_j \epsilon \mathcal{H} / kT}}{\sum_{m_j=-j}^{+j} e^{-\beta m_j \epsilon \mathcal{H} / kT}}, \quad (99,13)$$

რომელიც ასეც შეგვიძლია გადავწეროთ:

$$\overline{M}_z = kT \frac{\partial}{\partial \mathcal{H}} \ln \sum_{m_j=-j}^{+j} e^{-\frac{\beta m_j \mathcal{H}}{kT}}. \quad (99,14)$$

მოვახდინოთ აჭამება. ამ მიზნით შემოვიღოთ იღნიშვნა  $\varepsilon = e^{-\beta \mathcal{H}/kT}$ , მაშინ გვექნება

$$\sum_{m_j=-j}^{+j} \varepsilon^{m_j} = \varepsilon^{-j} + \varepsilon^{-(j+1)} + \dots + \varepsilon^{j-1} + \varepsilon^j = \frac{\varepsilon^{j+1} - \varepsilon^{-j}}{\varepsilon - 1}, \quad (99,15)$$

რამდენადაც ეს გამი წარმოადგენს გეომეტრიულ პროგრესიას ε მნიშვნელით. ამ-გვარად, თუ დაფუბრუნდებით ძველ სადიდეებს, გვექნება

$$\sum_{m_j=-j}^{+j} \varepsilon^{m_j} = \frac{\operatorname{sh} \left[ (2j+1) \frac{\beta \mathcal{H}}{2kT} \right]}{\operatorname{sh} \left( \frac{\beta \mathcal{H}}{2kT} \right)}. \quad (99,16)$$

მაშასადამე, მომენტის საშუალო მნიშვნელობისათვის მიენდებთ

$$\overline{M}_z = kT \frac{\partial}{\partial \mathcal{H}} \ln \frac{\operatorname{sh} \left[ (2j+1) \frac{\beta \mathcal{H}}{2kT} \right]}{\operatorname{sh} \left( \frac{\beta \mathcal{H}}{2kT} \right)}, \quad (99,17)$$

გაწარმოების შემდეგ საბოლოოდ გვექნება

$$\overline{M}_z = \frac{3}{2} \left\{ (2j+1) \operatorname{cth} \left[ (2j+1) \frac{\beta \mathcal{H}}{2kT} \right] - \operatorname{cth} \left( \frac{\beta \mathcal{H}}{2kT} \right) \right\} \quad (99,18)$$

ეს ფორმულა ასეც გადაიწერება:

$$\overline{M}_z = j g M_B B_j \left( \frac{\beta \mathcal{H}}{2kT} \right), \quad (99,19)$$

სადაც

$$B_j(x) = \frac{1}{2j} \left\{ (2j+1) \operatorname{cth} \left[ (2j+1) \frac{x}{2j} \right] - \operatorname{cth} \left( \frac{x}{2j} \right) \right\}, \quad (99,20)$$

ხოლო

$$x = -\frac{\beta \mathcal{H}}{kT} j; \quad (99,21)$$

$B_j(x)$  ს ლანევენის კვანტურ ფუნქციას ან ბრილუენის ფუნქციას უწოდებენ.

კლასიკური მექანიკის ანალოგით მომენტის მიღებულ მნიშვნელობას, უწოდებენ ინდუცირებულ მომენტს. იგი წარმოადგენს მაგნიტური ველის გასწვრივ მომენტის საშუალო მნიშვნელობას, რომლითაც იცვლება ატომის მაგნიტური მომენტი მისი მაგნიტურ კელში შეტანისას.

გამოვარკვით რა სახე აქვს ბრილუენის ფუნქციას კონკრეტულ შემთხვევაში. ავიღოთ  $j = 1/2$ , მაშინ

$$B_{1/2}(x) = 2 \operatorname{cth} 2x - \operatorname{cth} x = 2 \frac{\operatorname{ch} 2x}{\operatorname{sh} 2x} - \frac{\operatorname{ch} x}{\operatorname{sh} x} = \frac{\operatorname{ch} 2x - \operatorname{ch}^2 x}{\operatorname{sh} x \operatorname{ch} x} = \operatorname{th} x; \quad (99,22)$$

ამგვარად,

$$B_{1/2}(x) = \operatorname{th} x. \quad (99,23)$$

მაქსიმალური მნიშვნელობა  $j=0$  უკიდურესია იყოს უსასრულობა; ამ ზღვრულ შემთხვევაში მიღიღებთ ლანუევენის კლასიკურ ფუნქციას

$$B_\infty(x) = \operatorname{cth} x - \frac{1}{x}. \quad (99,24)$$

ხოლო, როცა  $x \gg 1$ , მაშინ  $B_j(\infty) = 1$ . როცა  $x \ll 1$ , მაშინ  $\operatorname{cth} x$  შეგვიძლია გაფშალოთ მწყრივად და შევინარჩუნოთ პირველი ორი წევრი

$$\operatorname{cth} x = \frac{1}{x} + \frac{x}{3} + \dots. \quad (99,25)$$

ამის მიხედვით (99,20) მიიღებს სახეს

$$B_j(x) = \frac{j+3}{3} x. \quad (99,26)$$

პრაქტიკულად ყოველთვის  $x = \frac{\beta \mathcal{H}}{2kT} \ll 1$  (მცირე გარეშე ველები), ამიტომ (99,19) ფორმულის თანახმად, გვექნება

$$\tilde{M}_z = \frac{j(j+1) \beta^2 \mathcal{H}}{3kT} = \frac{j(j+1) g^2 M_B^2 \mathcal{H}}{3kT}. \quad (99,27)$$

როგორც ვხედავთ,  $\tilde{M}_z$  მიმართულია მაგნიტური ველის გასწორის. მაშასადამე, გვაქვს პარამაგნიტიზმის მოვლენა (99,7) ფორმულის ძალით პარამაგნიტური ამთვისებლობისათვის მიღიღებთ

$$\chi_{\text{ძარ}} = \frac{j(j+1) M_B^2 g^2}{3kT}. \quad (99,28)$$

ატომის მაგნიტური მომენტის როლს ასრულებს სიღილე

$$M_B g \sqrt{j(j+1)} = \frac{e\hbar}{2\mu c} \sqrt{j(j+1)} g, \quad (99,29)$$

რომელიც  $M_B \sqrt{j(j+1)}$  მომენტის მნიშვნელობისაგან განსხვავდება ლანდეს  $g$  მარტივით. რადგან ერთეულექტრონიანი ატომისათვის  $j$  არასოდეს ნული არ არის, ამიტომ ყველა ერთეულექტრონიანი ატომები პარამაგნიტურია. ზემოთ მოყვანილი (96,28) ფორმულა კიურის კანონის სახელწოდებითაა ცნობილი.

ახლა განვიხილოთ დიამაგნიტიზმის მოვლენა. დიამაგნიტიზმს აპირობებს (99,5) ჰამილტონიანის ბოლო წევრი. ამ წევრის შესაბამისი მაგნიტური მომენტი (99,6) განმარტების თანახმად ტოლი იქნება

$$M_d = -\frac{e^2 \mathcal{H}}{4\mu c^2} (x^2 + y^2). \quad (99,30)$$

ინდუცირებული მოძრაობის საშუალო მნიშვნელობისათვის გვექნება

$$\overline{M}_d = -\frac{e^2 \mathcal{H}}{4\mu c^2} (\overline{x}^2 + \overline{y}^2). \quad (99,31)$$

როგორც ვხედავთ, ეს მოძენტის ყოველთვის ველის საწინააღმდეგოდ არის მიშარ-თული და, მაშასადამე, აპირობებს დიამაგნიტიზმს. დიამაგნიტური ამოვისებლობა კი ტოლი იქნება

$$\chi_d = -\frac{e^2}{4\mu c^2} \frac{1}{(x^2 + y^2)}. \quad (99,32)$$

$(x^2 + y^2)$ -ის საშუალოს გამოთვლა ძნელი არ არის კვანტური მექანიკის საშუალო მნიშვნელობის ფორმულის დახმარებით. ცხადია, რომ  $\sqrt{x^2 + y^2} \neq 0$ , ამიტომ დია-მაგნიტიზმის მოვლენას აღგილი აქვს ყველა ატომში. აფეილი დასახია, რომ სი-ლიდით დიამაგნიტიზმი გაცილებით მცირეა პარამაგნიტიზმზე. მართლაც, სილიდის რიგით ინდუცირებული მაგნიტური მოძენტი, რომელიც იწვევს პარამაგნიტიზმს, ტოლია  $\overline{M} \sim M_\beta = \frac{e\hbar}{2\mu c}$ , ხოლო  $\overline{M}_d \sim \frac{e^2 \mathcal{H}}{2\mu c^2} a_0^2$ , სადაც  $a_0$  ატომის ზომაა.

აშეარაა, რომ  $\overline{M} \gg M_d$  ყოველთვის, როცა გარეშე ველის დაძაბულობა აკმაყ-ფილებს პირობას

$$\mathcal{H} \ll \frac{\hbar c}{e^2} \frac{e}{a_0^2} = 137 \frac{e}{a_0^2}. \quad (99,33)$$

რადგან  $a_0 \sim 10^{-8}$  სმ, ამიტომ უკანასკნელი ტოლობა პრაქტიკულად ყოველთვის დაცულია. ამგარად, ერთეულექტრონიანი ატომების დიამაგნიტიზმი შეგვიძლია არ განვიზნილოთ. სულ სხვა მდგომარეობა გვექნება მრავალელექტრონიანი ატომების შემთხვევაში. შემდგომში დავინახავთ, რომ ელექტრონთა ლუწი რიცხვის მქონე ატომებისათვის პარამაგნიტიზმი შეიძლება არ გვჭრნდეს, მაშინ დიამაგნიტიზმის მოვლენა ასევებით როლს შეასრულებს.

### სავარჯიშო მაგალითები

1. ვაპოვოთ წყალბადისებური ატომის კვადრუპოლური მოძენტი დღემის სპინის გათვალისწინებით.

ა მ ო ჩ ს ნ ა. (84,12) და (84,21) უორმულების თანაბმად წყალბადისებური ატომის კვადრუ-პოლური მოძენტი ტოლი იქნება

$$Q_0(n, j, m_j) = -e \langle nl | r^2 | nl \rangle \langle jm_j | 3 \cos^2 \theta - 1 | jm_j \rangle,$$

$$\langle jm_j | 3 \cos^2 \theta - 1 | jm_j \rangle = \int \mathcal{Y}_{l_{1/2}}^{jm_j^*}(\theta, \varphi) [3 \cos^2 \theta - 1] \mathcal{Y}_{l_{1/2}}^{jm_j}(\theta, \varphi) d\Omega,$$

ხოლო  $\langle nl | r^2 | nl \rangle$  წარმოადგენს  $r^2$ -ის საშუალო მნიშვნელობას რადიალური უუნქციების მიხედ-ვით. მისა ცხადი სახუ ვანისაზღურება (84,25) ფორმულით.

(50,26) ფორმულის მიხედვით შეგვეძლია დავწეროთ

$$|\mathcal{Y}_{l_{1/2}}^{l+1/2, jm_j}|^2 = \frac{1}{2l+1} \left\{ \left( l + \frac{1}{2} \pm m_j \right) |Y_{l, m_j-1/2}|^2 + (l + 1/2 \mp m_j) |Y_{l, m_j+1/2}|^2 \right\}.$$

რადგან (82,23)-ის თანაბმად

$$\langle lm | 3 \cos^2 \theta - 1 | lm \rangle = \frac{2l(l+1) - 6m^2}{(2l-1)(2l+3)},$$

ამიტომ

$$Q_0(n, l \pm 1/2, m_j) = \frac{\langle nl | r^2 | nl \rangle}{2l+1} \left\{ (l + 1/2 \pm m_j) \frac{2l(l+1) - 6(m_j - 1/2)^2}{(2l-1)(2l+3)} + \right. \\ \left. + \left( l + \frac{1}{2} \mp m_j \right) \frac{2l(l+1) - 6(m_j + 1/2)^2}{(2l-1)(2l+3)} \right\}$$

ეს უკანასკნელი გამარტივების შემდეგ ასეც შეგვიძლია გადავწეროთ:

$$Q_0(n, l \pm 1/2, m_j) = \langle nl | r^2 | nl \rangle \frac{2l(l+1) - 6(m_j^2 + 1/4) \pm \frac{12}{2l+1} m_j^2}{(2l-1)(2l+3)}. \quad (95.1)$$

ამ გამოსახულებიდან გამოვრჩეოთ  $L$  კვანტური რიცხვი  $j$  კვანტური რიცხვის საშუალებით, მაშინ შევიღებთ საკმარისად მარტივ გამოსახულებას

$$Q_0(n, j, m_j) = \frac{1}{2} \langle nl | r^2 | nl \rangle \left[ 1 - \frac{3m_j^2}{j(j+1)} \right], \quad (95.2)$$

როცა  $j=1/2$ , მაშინ როგორც მოსალოდნელი იყო  $Q_0(n, 1/2, \pm 1/2)=0$ .

2. ვიპოვოთ ნახევარსპინიანი თავისუფალი ნაწილაკის ტელური ფუნქცია განსაზღვრული  $j^2$  და  $j_z$ -ის.

ამ ხსნა რადგან  $j^2$  და  $j_z$  ოპერატორების საერთო საკუთარ ფუნქციას წარმოადგენს  $\mathcal{Y}_{l, 1/2}^{jm_j}(\theta, \varphi)$  ფუნქცია, ამიტომ საძიებელ ტალღაზე ფუნქციას ვწერა სახე

$$\psi_{l, 1/2}^{jm_j}(r) = R_l(r) \mathcal{Y}_{l, 1/2}^{jm_j}(\theta, \varphi). \quad (95.3)$$

სადაც  $R_l(k, r)$  წარმოადგენს შრედინგერის რადიალური ფუნქციების განტოლების ამონასნის თავისუფალი ნაწილაკისათვის. ეს განტოლება ცხადია სპინს არ შეეცავს, ამიტომ რადიალური ფუნქცია დამოკიდებული იქნება მსოლოდ  $L$ -ზე; როგორც წ 54-ში დაუინახეთ ამ ფუნქციას აქვს  $R_l(k, r) = A_l j_l(kr)$  სახი. აქ  $j_l(kr)$  ხესელის სფერული ფუნქცია,  $A_l$  კი – ნორმირების ნუდივი. რამდენადაც  $R_l(k, r)$  ფუნქციები შეგვიძლია განლანგიროვნოთ მირობით

$$\int_0^\infty R_l^*(k', r) R_l(k, r) r^2 dr = \frac{\delta(k - k')}{kk'}.$$

სრულიად ანალოგიურად იმისა, რაც გვერდდა წ 54-ში, მივიღებთ  $A_l = \left(\frac{2}{\pi}\right)^{1/2}$ . ამგვარად, საძიებელ ფუნქციას ვწერა სახე

$$\psi_{l, 1/2}^{jm_j}(r) = \sqrt{\frac{2}{\pi}} j_l(kr) \mathcal{Y}_{l, 1/2}^{jm_j}(\theta, \varphi). \quad (95.4)$$

ამ, თუ გამოვიყენებთ (50.26) გამოსახულებას, ეს ფუნქცია ასეც შეგვიძლია გაღავწეროს:

$$\psi_{l, 1/2, m_j}^{l+1/2, m_j}(r) = \frac{\sqrt{\frac{2}{\pi}} j_l(kr)}{\sqrt{2l+1}} \left( V \sqrt{l+1/2 \pm m_j} Y_{l, m_j - 1/2} + V \sqrt{l+1/2 \mp m_j} Y_{l, m_j + 1/2} \right) \quad (95.5)$$

ზელა ნიშანი აიღება  $j=(l+1/2)-სათვას ქვედა  $j=|l-1/2|-სათვის.$$

## ნაწილაკთა ცისხემის კვანტული მაქანიკა

თ ა 3 0 XIII

### მრავალი ნაწილაკისაგან შედგენდი სისტემების სისტემები

აქმდე ჩვენ ვიზიტოლებით ერთი ნაწილაკის მოძრაობას, მაგრამ უფრო ხშირად საქმე გვაქვს მრავალი ნაწილაკისაგან შედგენილ მიკროსისტემებთან, ამიტომ მეტად მნიშვნელოვანია ასეთი სისტემების კვანტულ-მექანიკური თვალსაზრისით განხილვა. არჩევენ ორი ტიპის მიკროსისტემებს. ერთია ისეთი სისტემა, რომელიც შედგება იგივერი ნაწილაკებისაგან და მეორე, რომელიც შედგება სხვადასხვა ნაწილაკისაგან. იგივერ ნაწილაკთა სისტემას მთელი რიგი პრინციპულად განსხვავებული ფოსქებები გააჩნია და ამიტომ მას სპეციალურად განვიხილავთ § 102-ში. კვანტული მექანიკის ამ ნაწილში აგრეთვე შევისწავლით ელექტრონთა მუტად მნიშვნელოვან სისტემებს — რომელ ატომებსა და ორატომიან მოლეკულებს.

#### § 100. შრედინგერის გათოლვება ნაწილაკთა ცისხემისათვის

დავუშვათ, სისტემა შედგება  $N$  (საზოგადოდ სხვადასხვა) ნაწილაკისაგან.  $\mathbf{r}_k$  იყოს  $k$ -ური ნაწილაკის რადიუსუკეტორი რამე კორდინატთა სისტემაში, ხოლო  $\mathbf{s}_k$  — ამ ნაწილაკის სინური ცვლადი. როცა ნაწილაკის სპინს მხედველობაში არ ვაღებთ, მაშინ სისტემის ტალღური ფუნქცია  $N$  რადიუსუკეტორზე იქნება დამოკიდებული. ე. ი.

$$\psi = \psi(\mathbf{r}_1, \mathbf{r}_2, \dots, \mathbf{r}_N; t). \quad (100,1)$$

ეს ფუნქცია წარმოადგენს შრედინგერის განტოლების ამონასს. ამასთან, შრედინგერის განტოლებას ექნება სახე

$$i\hbar \frac{\partial}{\partial t} \psi(\mathbf{r}_1, \mathbf{r}_2, \dots, \mathbf{r}_N; t) = \hat{H}\psi(\mathbf{r}_1, \mathbf{r}_2, \dots, \mathbf{r}_N; t), \quad (100,2)$$

სადაც  $\hat{H}$  არის სისტემის ჰამილტონინი, რომლის სახის დადგენა, თუ ვისარგებლებთ ნაწილაკთა სისტემის კლასუკური მექანიკის ჰამილტონიანით, არაა ძნელი კვანტული მექანიკის ძირითად ჰიპოლინბით. კლასიკურ ჰამილტონის ფუნქციას  $N$  ნაწილაკის სისტემისათვის აქვს გამოხატულება

$$\hat{H} = \sum_{i=1}^N H_i + \sum_{i \neq k=1}^N U_{ik}(\mathbf{r}_i, \mathbf{r}_k), \quad (100,3)$$

სადაც

$$H_i = \frac{\mathbf{p}_i^2}{2m_i} + V_i(\mathbf{r}_i, t). \quad (100,4)$$

ამ გამოსახულებაში  $p_i$  არის  $i$ -ური ნაწილაკის იმპულსი,  $m_i$ -მასა, ხოლო  $V_i(\mathbf{r}, t)$  ურ ნაწილაკზე მოქმედი გარეშე ველის პოტენციალური ენერგია.  $U_{ik}(\mathbf{r}_i, \mathbf{r}_k)$  წარმოადგენს კ და  $k$  ური ნაწილაკების ურთიერთემებულების პოტენციალურ ენერგიას. კვანტური მექანიკის ძირითადი პიპოთეზის თანახმად, ნაწილაკთა სისტემის პარალელობას, კოორდინატულ წარმოდგენაში, თუ გავითვალისწინებთ, რომ  $i$ -ური ნაწილაკის იმპულსის ოპერატორი ტოლია  $\hat{p}_i = -i\hbar \nabla_i$  გამოსახულების, ექნება შემდეგი სახე:

$$\hat{H} = \sum_{i=1}^N \left\{ -\frac{\hbar^2}{2m_i} \Delta_i + V_i(\mathbf{r}_i, t) \right\} + \sum_{i \neq k=1}^N U_{ik}(\mathbf{r}_i, \mathbf{r}_k), \quad (100,5)$$

სადაც

$$\Delta_i = \nabla_i^2 = \frac{\partial^2}{\partial x_i^2} + \frac{\partial^2}{\partial y_i^2} + \frac{\partial^2}{\partial z_i^2} \quad (100,6)$$

არის  $i$ -ური ნაწილაკის კოორდინატების შესაბამისი ლაბლასის ოპერატორი.

გამოვარკიოთ ტალღური ფუნქციის ფიზიკური შინაარსი. ამისათვის გამოვიყენოთ უწყვეტობის განტოლება. ავილოთ  $(100,2)$  განტოლების კომპლექსურად შეუდლებული

$$-i\hbar \frac{\partial}{\partial t} \psi^*(\mathbf{r}_1, \mathbf{r}_2, \dots, \mathbf{r}_N; t) = \hat{H} \psi^*(\mathbf{r}_1, \mathbf{r}_2, \dots, \mathbf{r}_N; t). \quad (100,7)$$

$(100,2)$  განტოლება მარცხნიდან გაემრავლოთ  $\psi^*$ -ზე,  $(100,7)$  კი  $\psi$ -ზე და პირველს გამოვაკლოთ მეორე.  $(100,5)$  გამოსახულების გათვალისწინებით მივიღებთ:

$$\begin{aligned} i\hbar \frac{\partial}{\partial t} \psi^*(\mathbf{r}_1, \mathbf{r}_2, \dots, \mathbf{r}_N; t) \psi(\mathbf{r}_1, \mathbf{r}_2, \dots, \mathbf{r}_N; t) = \\ = \frac{\hbar^2}{2} \sum_{i=1}^N \frac{1}{m_i} \{ \psi^* \Delta_i \psi - \psi \Delta_i \psi^* \}; \end{aligned} \quad (100,8)$$

თუ შემოვიდებთ აღნიშვნებს:

$$w(\mathbf{r}_1, \mathbf{r}_2, \dots, \mathbf{r}_N; t) = \psi^*(\mathbf{r}_1, \mathbf{r}_2, \dots, \mathbf{r}_N; t) \psi(\mathbf{r}_1, \mathbf{r}_2, \dots, \mathbf{r}_N; t) \quad (100,9)$$

$$\mathbf{J}_k = \frac{i\hbar}{2m_k} \{ \psi \nabla_k \psi^* - \psi^* \nabla_k \psi \}, \quad (100,10)$$

მაშინ მივიღებთ უწყვეტობის განტოლებას

$$\frac{\partial w(\mathbf{r}_1, \mathbf{r}_2, \dots, \mathbf{r}_N; t)}{\partial t} + \sum_{i=1}^N \operatorname{div}_{(i)} \mathbf{J}_i = 0, \quad (100,11)$$

სადაც  $(i)$  ინდექსი მიუთითებს, რომ დივერგენცია აიღება  $i$ -ური ნაწილაკის შესაბამისი ცვლადებით. როგორც ვხედავთ  $w = \psi^* \psi$  შეგვაძლია განვიხილოთ, როგორც ნაწილაკთა სისტემის მდებარეობის ალბათობის სიმკვრივე. კერძოდ,

$$w(\mathbf{r}_1, \mathbf{r}_2, \dots, \mathbf{r}_N; t) d\mathbf{r}_1 \dots d\mathbf{r}_N = |\psi(\mathbf{r}_1, \mathbf{r}_2, \dots, \mathbf{r}_N; t)|^2 d\mathbf{r}_1 d\mathbf{r}_2 \dots d\mathbf{r}_N \quad (100,12)$$

გამოხატავს იმის ალბათობას, რომ დროის  $t$  მომენტში პირველი ნაწილაკი იმყოფება სივრცის  $d\mathbf{r}_1$  მოცულობაში, მეორე —  $d\mathbf{r}_2$ -ში და ა. შ.  $N$ -ური  $d\mathbf{r}_N$ -ში.  $\mathbf{J}_i$  კი წარმოადგენს  $i$ -ური ნაწილაკის ალბათობის დენის სიმკვრივეს გეგმორის.  $(100,11)$  გამოხატავს ნაწილაკთა სრული რიცხვის შენახვის კანონს.

თუ (100,12) გამოსახულების გავარნტეგრალებთ ყველა ცვლადებით, გარდა  $k$ -ურისა, მაშინ მივიღებთ  $k$ -ური ნაწილაკის ალბათობის სიმკერივეს, როცა დანარჩენი ნაწილაკების მდებარეობა ნებისმიერია:

$$w(\mathbf{r}_k, t) = \int w(\mathbf{r}_1, \mathbf{r}_2, \dots, \mathbf{r}_N; t) d\mathbf{r}_1 d\mathbf{r}_2, \dots, d\mathbf{r}_{k-1} d\mathbf{r}_{k+1}, \dots, d\mathbf{r}_N \quad (100,13)$$

თუ (100,12) გამოსახულების ინტეგრაციას მოვანდენთ ყველა ცვლადით, გარდა  $d\mathbf{r}_i$  და  $d\mathbf{r}_k$ -სი, მივიღებთ

$$\begin{aligned} & w(\mathbf{r}_i, \mathbf{r}_k; t) d\mathbf{r}_i d\mathbf{r}_k = \\ & = \left\{ \int w(\mathbf{r}_1, \mathbf{r}_2, \dots, \mathbf{r}_N; t) d\mathbf{r}_1 \dots d\mathbf{r}_{i-1} d\mathbf{r}_{i+1}, \dots, d\mathbf{r}_{k-1} d\mathbf{r}_{k+1}, \dots, d\mathbf{r}_N \right\} d\mathbf{r}_i d\mathbf{r}_k, \end{aligned} \quad (100,14)$$

რომელიც გამოხატავს ალბათობას იმისა, რომ  $i$ -ური ნაწილაკი დროის  $t$  მომენტში მოხვდება სივრცის  $d\mathbf{r}_i$  მოცულობაში, ხოლო  $k$ -ური  $d\mathbf{r}_k$ -ში, დამოუკიდებლად იმისა, თუ სად იმყოფება სისტემის დანარჩენი ნაწილაკები. ცხადია, რომ

$$\int_{-\infty}^{+\infty} \psi^*(\mathbf{r}_1, \mathbf{r}_2, \dots, \mathbf{r}_N; t) \psi(\mathbf{r}_1, \mathbf{r}_2, \dots, \mathbf{r}_N; t) d\mathbf{r}_1 d\mathbf{r}_2, \dots, d\mathbf{r}_N = 1. \quad (100,15)$$

შევიძლია განვიხილოთ როგორც ტალღური ფუნქციის ნორმირების პირობა. თუ ვიპოვით შრედინგერის (100,2) განტოლების ამოხსნას (100,5) ჰამილტონიანის შემთხვევაში, მაშინ განვხაზლვრაგთ სისტემის კვანტურ მდგომარეობას, რომელიც  $\psi(\mathbf{r}_1, \dots, \mathbf{r}_N; t)$  ტალღური ფუნქციით ხასიათდება. ამ მდგომარეობაში ვიპოვით ყველა იმ თერატორის საკუთარ მნიშვნელობებს, რომლებიც გადასმიადი არიან  $\hat{H}$ -თან და ერთმანეთთან. რაც შეეხება არაკომუტატური ოპერატორების შესაბამის ფიზიკურ სილილებს, შათ ფ-თა დახსაითებულ მდგომარეობაში გარკვეული მნიშვნელობები არა აქვთ, მაგრამ ჩვენ შევიძლია ვიპოვოთ მათი საშუალო მნიშვნელობები, რომლებიც ასე განისაზღვრებიან:

$$\langle A \rangle = \int \psi^*(\mathbf{r}_1, \mathbf{r}_2, \dots, \mathbf{r}_N; t) \hat{A} \psi(\mathbf{r}_1, \mathbf{r}_2, \dots, \mathbf{r}_N; t) d\mathbf{r}_1, \dots, d\mathbf{r}_N. \quad (100,16)$$

აღვნიშნოთ, რომ ნაწილაკთა სისტემის შრედინგერის განტოლების ამოხსნის საკითხი დიდ პრინციპულ და ტექნიკურ სიძნელებს აშენდება. ამასთან, განტოლების ამოხსნა მით  $\hbar$ -ელია, რაც მეტია ნაწილაკთა რიცხვი. სამი ნაწილაკის შემთხვევაშიაც კი შრედინგერის განტოლება კვადრატურებში არ იხსნება. ამიტომ კვანტურ მექანიკაში ნაწილაკთა სისტემის შესწავლის მიზნით გამოიყენება მრავალრიცხვები მიახლოებითი მეთოდები.

განვიხილოთ არაურთიერთქმედ ნაწილაკთა სისტემა. რადგან სისტემის ნაწილაკები ერთმანეთზე არ მოქმედებენ, ამიტომ ურთიერთქმედების პოტენციალური  $U_{ik}(\mathbf{r}_i, \mathbf{r}_k)$  ენერგია ნულის ტოლი იქნება. ვიგულისხმოთ, რომ მდგომარეობა სტაციონარულია, მაშინ შრედინგერის განტოლებას ექვება წემდეგი სახე:

$$\hat{H}\psi(\mathbf{r}_1, \mathbf{r}_2, \dots, \mathbf{r}_N) = E\psi(\mathbf{r}_1, \mathbf{r}_2, \dots, \mathbf{r}_N), \quad (100,17)$$

სადაც  $E$  არაურთიერთქმედ ნაწილაკთა სისტემის სრული ენერგიაა, ხოლო ჰამილტონის ოპერატორს აქვს გამოხატულება

$$\hat{H} = \sum_{i=1}^N \hat{H}_i(\mathbf{r}_i) = \sum_{i=1}^N \left\{ -\frac{\hbar^2}{2m_i} \Delta_i + V_i(\mathbf{r}_i) \right\}. \quad (100,18)$$

რადგან პამილტონიაში ცელადები განტალებულია, ამიტომ (100,17) განტოლების ამონაშინა აღვილია ფურიეს მეთოდით. მართლაც, ამონაშინი ვეძებოთ შემდეგი ნამრავლის სახით:

$$\psi(r_1, r_2, \dots, r_N) = \psi_1(r_1) \psi_2(r_2), \dots, \psi_N(r_N). \quad (100,19)$$

შევიტანოთ ეს ნამრავლი (100,17) განტოლებაში და შედეგი გავყოთ ამავე ფუნქციაზე; მივიღებთ

$$\sum_{i=1}^N \frac{1}{\psi_i(r_i)} \left[ -\frac{\hbar^2}{2m_i} \Delta_i + V_i(r_i) \right] \psi_i(r_i) = E \quad (100,20)$$

ამ ტოლობას აღვილი მაშინ ვწერბა, როცა

$$-\frac{\hbar^2}{2m_i} \Delta_i \psi_i(r_i) + V_i(r_i) \psi_i(r_i) = E_i \psi_i(r_i) \quad (100,21)$$

ამასთან, დაცული უნდა იყოს პირობა  $E = E_1 + E_2 + \dots + E_N$ . (100,21)-დან ჩანს, რომ  $\psi_i(r_i)$  აკმაყოფილებს  $V_i(r_i)$  გარეშე ველში მოძრავი უ-ური ნაწილაკის შრედნერის განტოლებას  $E_i$  სრული ენერგიით.

ამგვარად, მივიღეთ ასეთი შედეგი: არაურთიერთქმედ ნაწილაკთა სისტემის ტალღური ფუნქცია წარმოადგენს უალკარი ნაწილაკთა ტალღური ფუნქციების ნამრავლს, ენერგია კი — უალკეულ ნაწილაკთა ენერგიების ჯამს, ე. ი.

$$\psi(r_1, r_2, \dots, r_N) = \prod_{i=1}^N \psi_i(r_i), \quad (100,22)$$

$$E = \sum_{i=1}^N E_i. \quad (100,23)$$

მართალია, როგორც წესი, არაურთიერთქმედ სისტემებთან ჩვენ საჭმე არა გვაქვს, მაგრამ ასეთი სისტემის ჩვენს მიერ ზემოთ ნაპოვნი ამონაშენები ხშირად გამოიყენება, როგორც ურთიერთქმედ ნაწილაკთა სისტემის ჰეშმარიტი ტალღური ფუნქციების ნულოვანი მიახლოება.

#### § 101. ნაწილაკთა სისტემის დამახასიათებელი ფიზიკური ციფრები

განვიხილოთ კანტურმექანიკური სისტემის დამახასიათებელი ფიზიკური სიდიდეები როგორიცაა: იმპულსი, მომენტი, ლური და სხვა.

იმპულსი. მთელი სისტემის იმპულსის ოპერატორი განისაზღვრება როგორც ტალკეული ნაწილაკების იმპულსის ოპერატორების ჯამი

$$\hat{\mathbf{P}} = \sum_{k=1}^N \hat{\mathbf{p}}_k = -i\hbar \sum_{k=1}^N \nabla_k, \quad (101,1)$$

სადაც  $\nabla_k$  ოპერატორი აღებულია  $k$ -ური ნაწილაკის შესაბამისი კოორდინატების მიხედვით.

ვიპოვთ იმპულსის ოპერატორის საკუთარი ფუნქციები. ამისათვის დაგწეროთ განტოლება

$$\hat{\mathbf{P}}\psi(r_1, r_2, \dots, r_N) = \mathbf{P}\psi(r_1, r_2, \dots, r_N), \quad (101,2)$$

(101,1) ოპერატორის შეტანით დავინახავთ, რომ განტოლებას ისეთი სახე აქვა, როცა ცვლადების განცალება შეიძლება ფურიეს შეთვისთ. მართლაც, ამონასნი ვეძებოთ შემდეგი ნამრავლის სახით:

$$\psi(\mathbf{r}_1, \mathbf{r}_2, \dots, \mathbf{r}_N) = \prod_{k=1}^N \psi_k(\mathbf{r}_k). \quad (101,3)$$

ამ ფუნქციის შეტანით (101,2) განტოლებაში და ამავე ფუნქციაზე გაყოფით მივიღებთ

$$\sum_{k=1}^N \frac{\hat{\mathbf{p}}_k \psi_k(\mathbf{r}_k)}{\psi_k(\mathbf{r}_k)} = \mathbf{P}, \quad (101,4)$$

საიდანაც დაგასკვნით, რომ

$$\hat{\mathbf{p}}_k \psi_k(\mathbf{r}_k) = \mathbf{p}_k \psi_k(\mathbf{r}_k) \quad (101,5)$$

იმ პირობით, რომ

$$\mathbf{P} = \sum_{k=1}^N \mathbf{p}_k \quad (101,6)$$

(101,5) განტოლება ერთი ნაწილაკის ( $k$ -ური ნაწილაკის) იმპულსის ოპერატორის საკუთარი ფუნქციებისა და საკუთარი მნიშვნელობების განტოლებაა, მისი ნორმირებული ამონასნისათვის გვექნება

$$\psi_k(\mathbf{r}_k) = (2\pi\hbar)^{-3/2} e^{\frac{i}{\hbar}(\mathbf{p}_k \cdot \mathbf{r}_k)}. \quad (101,7)$$

(101,3)-ის თანახმად, მთელი სისტემისათვის გვექნება შემდეგი ამონასნი:

$$\psi(\mathbf{r}_1, \mathbf{r}_2, \dots, \mathbf{r}_N) = (2\pi\hbar)^{-\frac{3N}{2}} e^{\frac{i}{\hbar} \sum_{k=1}^N \mathbf{p}_k \cdot \mathbf{r}_k} \quad (101,8)$$

ცხადია, რომ ეს ფუნქცია შეგვიძლია განვიხილოთ როგორც არაურთიერთქმედ თავისუფალ ნაწილაკთა სისტემის ტალღური ფუნქცია.

ახლა ვაჩვენოთ, რომ იზოლირებული სისტემის იმპულსი ინახება. როცა სისტემა იზოლირებულია, მაშინ გარეშე ველის  $V_i(\mathbf{r}_i)$  პოტენციალი ნულია და ჰამილტონიანს ექნება სახე

$$\hat{H} = \sum_{k=1}^N \frac{\hat{\mathbf{p}}_k^2}{2m_k} + \sum_{i \neq k=1}^N U_{ik}(\mathbf{r}_{ik}); \quad (101,9)$$

ამასთან, რადგან სისტემა იზოლირებულია, ურთიერთქმედების პოტენციალური ენერგია დამოკიდებული იქნება მხოლოდ ნაწილაკთა ზორის არსებულ მანძილზე  $\mathbf{r}_{ik} = \mathbf{r}_i - \mathbf{r}_k$ . დავწეროთ მოძრაობის განტოლება

$$\frac{d\hat{\mathbf{P}}}{dt} = [\hat{H}, \hat{\mathbf{P}}] = -i\hbar \left[ \hat{H}, \sum_{k=1}^N \nabla_k \right]. \quad (101,10)$$

შევიტანოთ ჰამილტონიანის მნიშვნელობა (101,9) ტოლობიდან და გვითვალისწინოთ, რომ  $\hat{\mathbf{P}}$  კომუტატურია კინეტიკური ენერგიის ოპერატორთან, მაშინ

$$\frac{d\hat{\mathbf{P}}}{dt} = -i\hbar \left[ \sum_{k,j}^N U_{kj}, \sum_{k=1}^N \nabla_k \right] \quad (101,11)$$

რაღაც  $U_{kj}$  დამოკიდებულია  $\mathbf{r}_{kj} = \mathbf{r}_k - \mathbf{r}_j$  სხვაობაზე, ამიტომ  $\sum_{k=1}^N \nabla_k$  ჯამიანი

$U_{kj}$ -ზე იძოქმედებს მხოლოდ ორი ოპერატორის ჯამი; კერძოდ,  $\nabla_k + \nabla_j$ , ამიტომ (101,11)-ში შემავალი პუსონის ფრჩხილები დაიყვანება შემდეგი ტიპის გამოსახულებაზე:

$$\begin{aligned} [U_{kj}, \nabla_k + \nabla_j] \psi &= -\frac{i}{\hbar} [(\nabla_k U_{kj}) \psi + (\nabla_j U_{kj}) \psi] = \\ &= -\frac{i}{\hbar} \left\{ \frac{dU_{kj}}{dr_{kj}} \nabla_k \mathbf{r}_{kj} + \frac{dU_{kj}}{dr_{kj}} \nabla_j \mathbf{r}_{kj} \right\} \psi \end{aligned} \quad (101,12)$$

ეს გამოსახულება კი ნულის ტოლია რამდენადაც  $\nabla_k \mathbf{r}_{kj} = -\nabla_j \mathbf{r}_{kj}$ . მაშასაღამე,

$$\frac{d\mathbf{P}}{dt} = 0 \quad (101,13)$$

ე. ი. იზოლირებული სისტემის იმპულსი მართლაც ინახება.

სისტემის მომენტი. თუ  $k$ -ური ნაწილაკის დეკარტის კოორდინატებს აღვნიშნავთ  $x_k$ ,  $y_k$ ,  $z_k$ -თვ, მაშინ ორბიტალური მომენტის ოპერატორებს, როგორც ვაცით, ექნება სახე:

$$\begin{aligned} \hat{l}_x^k &= \frac{\hbar}{i} \left( y_k \frac{\partial}{\partial z_k} - z_k \frac{\partial}{\partial y_k} \right), \\ \hat{l}_y^k &= \frac{\hbar}{i} \left( z_k \frac{\partial}{\partial x_k} - x_k \frac{\partial}{\partial z_k} \right), \\ \hat{l}_z^k &= \frac{\hbar}{i} \left( x_k \frac{\partial}{\partial y_k} - y_k \frac{\partial}{\partial x_k} \right). \end{aligned} \quad (101,14)$$

ამ მდგრელებით განსაზღვრული ვექტორი იქნება  $k$ -ური ნაწილაკის ორბიტალური მომენტის ვექტორობერატორი. შემოვილოთ სამი ახალი ოპერატორი:

$$\hat{L}_x = \sum_{k=1}^N \hat{l}_x^k; \quad \hat{L}_y = \sum_{k=1}^N \hat{l}_y^k; \quad \hat{L}_z = \sum_{k=1}^N \hat{l}_z^k. \quad (101,15)$$

ამ ოპერატორებით განსაზღვრულ ვექტორობერატორს  $\hat{\mathbf{L}}(\hat{L}_x, \hat{L}_y, \hat{L}_z)$  ვღწოდოთ სისტემის (ანდა სრული) ორბიტალური მომენტის ოპერატორი. თუ გამოვიყენებთ  $\hat{l}_x^k$ ,  $\hat{l}_y^k$ ,  $\hat{l}_z^k$  ოპერატორების კომუტაციის თვისებებს, ადვილად გაჩვენებთ, რომ

$$\begin{aligned} \hat{L}_x \hat{L}_y - \hat{L}_y \hat{L}_x &= i\hbar \hat{L}_z, \\ \hat{L}_y \hat{L}_z - \hat{L}_z \hat{L}_y &= i\hbar \hat{L}_x, \end{aligned} \quad (101,16)$$

$$\hat{L}_z \hat{L}_x - \hat{L}_x \hat{L}_z = i\hbar \hat{L}_y$$

ან, მოკლე,

$$[\hat{L}_\alpha, \hat{L}_\beta] = -\delta_{\alpha\beta\gamma} \hat{L}_\gamma. \quad (101,17)$$

აღნიშნული სამი ოპერატორიდან ჩვენ შეგვიძლია შევადგინოთ ოპერატორი

$$\hat{L}^2 = \hat{L}_x^2 + \hat{L}_y^2 + \hat{L}_z^2, \quad (101,18)$$

რომელსაც სისტემის ორბიტალური მომენტის კვადრატის ოპერატორი ეწოდება. ეს ოპერატორი კომუტატურია ყოველ  $\hat{L}_x$ ,  $\hat{L}_y$ ,  $\hat{L}_z$  მდგრენელთან

$$[\hat{L}^2, \hat{L}_\alpha] = 0, \quad (\alpha=1, 2, 3) \quad (101,19)$$

რაც იმას ნიშნავს, რომ  $L^2$  და მისი ორმელიმე ერთი პროექცია შეიძლება ერთ-დროულად ზუსტად გაიზომოს. აშკარაა,  $\hat{L}_z$  ოპერატორის  $L_z$  საკუთარი მნიშვნელობა განისაზღვრება ფორმულით

$$L_z = \hbar M_L, \quad (101,20)$$

სადაც

$$-L \leq M_L \leq +L \quad (101,21)$$

$L$  არის სისტემების ორბიტალური მომენტის კვანტური რიცხვი და განისაზღვრება მომენტთა შეკრების წესით ცალკეული ნაწილაკის სა-შუალებით. აშკარაა,  $L \geq 0$ .  $M_L$  არის სისტემის ორბიტალური მომენტის შესაბამისი შაგნიტური კვანტური რიცხვი. იგი იღებს  $(2L+1)$  მნიშვნელობას.

სისტემის ორბიტალური მომენტის კვადრატის საკუთარი მნიშვნელობები გამოისახება ფორმულით

$$L^2 = \hbar^2 L(L+1). \quad (101,22)$$

ანალოგიურად შეიძლება შემოვილოთ სისტემის სპინისა (ანდა სრული სპინის) და მისი მდგრენელების ოპერატორები:

$$\hat{S}_x = \sum_{k=1}^N \hat{s}_x^k, \quad \hat{S}_y = \sum_{k=1}^N \hat{s}_y^k, \quad \hat{S}_z = \sum_{k=1}^N \hat{s}_z^k. \quad (101,23)$$

სისტემის სპინის მდგრენელებიც ისეთივე კომუტაციის პირობებს დააკმაყოფილებს, რაც გვერდა ერთი ნაწილაკის სპინის ოპერატორის მდგრენელებისათვის; სახელდობრ,

$$[\hat{S}_i, \hat{S}_k] = -\delta_{ik} \hat{S}_i. \quad (101,24)$$

სპინის კვადრატისა და მისი  $\hat{S}$  მდგრენელის საკუთარი მნიშვნელობებისათვის გვექნება

$$\mathbf{S}^2 = \hbar^2 S(S+1); \quad S_z = M_s \hbar, \quad (101,25)$$

სადაც  $S$  არის სრული სპინის კვანტური რიცხვი,  $M_s$  კი — სპინის შაგნიტური კვანტური რიცხვი. იგი იღებს მნიშვნელობებს  $-S$ -დან  $+S$ -მდე, ე. ი. — სულ  $(2S+1)$  მნიშვნელობას. ამასთან, მის მიხედვით, თუ როგორია ნაწილაკის სპინი და ნაწილაკთა რიცხვი,  $S$  შეიძლება იყოს მთელიც და ნახევრის კენტი ჭრადიც. აშკარაა, რომ  $[\hat{S}^2, \hat{S}_z] = 0$ . ასევე,  $[\hat{L}^2, \hat{S}^2] = 0$ , რადგან სპინის ოპერატორი კორდინატების ფუნქცია არაა.

სისტემის ორბიტალური მომენტისა და სისტემის სპინის ვექტორების კვანტური შეკრებით მიიღება სისტემის სრული მომენტი, რომელსაც  $\hat{\mathbf{J}}$ -თი აღვნიშნავთ, ე. ი.

$$\hat{\mathbf{J}} = \hat{\mathbf{L}} + \hat{\mathbf{S}}. \quad (101,26)$$

თანახმად (101,17) და (101,24) ფორმულებისა, აღვილად დავრწმუნდებით, რომ  $\hat{J}$ -ს მდგრელებიც ისეთივე კომუტაციის თვისებებით ხასიათდება, როგორითაც  $\mathbf{L}$  და  $\mathbf{S}$ ; სახელდობრ,

$$[\hat{J}_\alpha, \hat{J}_\beta] = -i\epsilon_{\alpha\beta\gamma} \hat{J}_\gamma; \quad (101,27)$$

ამიტომ  $\hat{J}^2$ -სა და  $\hat{J}_z$ -ს საკუთარი მნიშვნელობისათვის შეიძლება დავწეროთ

$$\mathbf{J}^2 = \hbar^2 J(J+1), \quad (101,28)$$

$$J_z = M_J \hbar. \quad (101,29)$$

$J$  არის სრული მომენტის კვანტური რიცხვი,  $M_J$  კი წარმოადგენს შესაბამის მაგნიტურ კვანტურ რიცხვს, ამასთან  $-J \leq M_J \leq +J$ . აღვილად დავრწმუნდებით, რომ  $\hat{\mathbf{J}}^2$  იც კომუტატურია თავის ნებისმიერ მდგრელთან, ე. ი.  $[\hat{\mathbf{J}}^2, \hat{J}_\alpha] = 0$ .

რადგან სისტემის სრულ ორბიტალურ  $\mathbf{L}$  და სპინურ  $\mathbf{S}$  მომენტებს საესებით ისეთივე თვისებები აქვთ, რაც შესაბამის სიდიდეებს ერთი ნაწილაკის შემთხვევაში, ამატომ ( $\hat{\mathbf{J}} \cdot \hat{\mathbf{S}}$ ) და ( $\hat{\mathbf{L}} \cdot \hat{\mathbf{S}}$ ) სკალარული ნამრავლების საკუთარი მნიშვნელობებისათვის გვექნება:

$$(\hat{\mathbf{LS}}) = \frac{\hbar^2}{2} [J(J+1) - L(L+1) - S(S+1)], \quad (101,30)$$

$$(\hat{\mathbf{JS}}) = \frac{\hbar^2}{2} [J(J+1) - L(L+1) + S(S+1)], \quad (101,31)$$

სადაც  $J, L, S$  სისტემის დაშახასიათებელი მომენტების კვანტური რიცხვებია, რომლებიც სხვადასხვა მნიშვნელობას იღებს იმის მიხედვით, თუ როგორია ნაწილაკთა რიცხვი, კენტი თუ ლუწი.

აზოლორებული სისტემის ჰამილტონინი ყოველთვის კომუტატური იქნება სისტემის სრული მომენტის კვადრატთან და მის  $\pm$ -პროექციასთან. ამიტომ, ზოგად ზემთხვევაში ადგილი აქვს  $\mathbf{J}^2$  და  $J_z$  სიდიდეების შენაბეჭს, მაშინ, როცა  $\mathbf{L}$  და  $\mathbf{S}$  მომენტებია შეიძლება ცალ-ცალკე არ ინახებოდეს სპინური და ორბიტალური მომენტების ურთიერთებების გამო.

**ლუწობა.** რადგან იზოლირებული სისტემის (101,9) ჰამილტონინი ინგარიანტულია ინერსიის ოპერატორის მიმართ, ამიტომ ადგილი ექნება სისტემის სრული ლუწობის შენახვის კანონს. ეს იმას ნიშნავს, რომ სისტემის ტალღური ფუნქციის ლუწობა არ იცვლება. ერთი ნაწილაკის მოძრაობის შემთხვევაში ცენტრალურ ველში ლუწობა განისაზღვრებოდა  $(-1)^i$  სიდიდით. რაც იძის გვიჩვენებს, რომ ერთი ნაწილაკისათვეს ლუწობა და ორბიტალური მომენტი ერთმანეთთან დაკავშირებულია და ლუწობისა და მომენტის შენახვის კონცენტრი ერთმანეთშე დამოუკიდებელი არ არის. ნაწილაკთა სისტემის შემთხვევაში მდგომარეობა განსხვავებულია. სიმარტივის მინით განვიხილოთ ორაურთიერთქმედ ნაწილაკთა სისტემა, რომელზედაც მოქმედებს გარეშე ცენტრალური ველი. ჰამილტონინს, ამ შემთხვევაში, ექნება სახე

$$\hat{H} = \sum_{i=1}^N H_i(\mathbf{r}_i) = \sum_{i=1}^N \left\{ -\frac{\hbar^2}{2m_i} \Delta_i + V_i(\mathbf{r}_i) \right\}. \quad (101,32)$$

ასეთი ჰამილტონინის შემთხვევაში ჩვენ შეგვიძლია შემოგოროთ ცალკეული ნაწილაკის ორბიტალური მომენტი  $\mathbf{l}_i$ . სისტემის სრული ორბიტალური მომენტი კი ტოლი იქნება  $\mathbf{L} = \sum \mathbf{l}_i$  გამოსახულების.

შრედინგერის განტოლების ამონახსნი (100,22) ფორმულის თანახმად ტოლი იქნება

$$\psi(\mathbf{r}_1, \mathbf{r}_2, \dots, \mathbf{r}_N) = \prod_{i=1}^N \psi_i(\mathbf{r}_i). \quad (101,33)$$

ვიპოვთ ამ ფუნქციის ლურჯობა. ამისათვის (101,33)-ზე ვიმოკრედოთ ინერსის თეორიატოლით და გავიჩსენათ, რომ თითოეული ნაწილაკის ლურჯობა განსაზღვრება ორბიტალური შომქნტით, მაშინ გვაქნება:

$$\begin{aligned} \hat{J}(\mathbf{r}_1, \mathbf{r}_2, \dots, \mathbf{r}_N) \psi(\mathbf{r}_1, \mathbf{r}_2, \dots, \mathbf{r}_N) &= \hat{I}(\mathbf{r}_1, \mathbf{r}_2, \dots, \mathbf{r}_N) \prod_{i=1}^N \psi_i(\mathbf{r}_i) = \\ &= (-1)^{l_1+l_2+\dots+l_N} \psi(\mathbf{r}_1, \mathbf{r}_2, \dots, \mathbf{r}_N); \end{aligned} \quad (101,34)$$

მაშინადამე, სისტემის ლურჯობა განისაზღვრება ფორმულით

$$I = (-1)^{l_1+l_2+\dots+l_N}, \quad (101,35)$$

სადაც  $l_i$  არის  $i$ -ური ნაწილაკის ორბიტალური შომქნტის კვანტური რიცხვი. ჩვენ ვხედავთ, რომ სისტემისათვის ლურჯობა და ორბიტალური შომქნტი დამოუკიდებელი სიდიდეებია. მართლაც, ლურჯობის განსაზღვრისათვის საკმარისია ცალკეული ორბიტალური კვანტური რიცხვების არითმეტიკული შეკრება, მაშინ, როცა სრული ორბიტალური  $L$  მომქნტის მისაღებად საჭიროა ცალკეულ ნაწილაკთა მომქნტების ვექტორების გეომეტრიული შეკრება  $L = \sum l_i$ .

მართალია (101,35) ფორმულა გამოვიყენეთ არაურითიერთქმედ ნაწილაკთა სისტემის შემთხვევაში, მაგრამ ამ ფორმულით შევვიძლია განსაზღვროთ რთული ატომების ლურჯობაც, რადგან ატომებში განიხილება ე. წ. თვითშეთანხმებული ველის მეთოდი, რომლის მაღით ელექტრონთა ურთიერთქმედება დაიყვანება გარეშე ცენტრალურ ველზე.

სისტემის კვადრუპოლური შომქნტი, ერთეულექტრონიანი ატომების განხილვის დროს დავინახეთ, რომ სტაციონარულ მდგომარეობაში ატომს დიპოლმომენტი არ გააჩნია, მას შეიძლება პქნდეს კვადრუპოლური შომქნტი. იქვე ვიპოვეთ ერთეულექტრონიანი ატომის კვადრუპოლური მომქნტის ტენზორი და ვაჩერენეთ, რომ იგი არის მეორე რანგის სიმეტრიული და ლურჯი ტენზორი, რომლის შპური ნულის ტოლია. ახლა ვიპოვოთ სისტემის კვადრუპოლური მომქნტის ტენზორი, რამდენადაც ატომს სტაციონარულ მდგომარეობაში აქვს ერთადერთი დამახასიათებელი ვექტორი — მომქნტი, ამიტომ ეს ტენზორი დაკავშირებული იქნება ატომის სრულ  $J$  მომქნტთან.  $J$  ვექტორის საშუალებით შევაღვინოთ ისეთი მეორე რანგის ტენზორი, რომელსაც ექნება ზემოა ჩამოთვლილი თვისებები. აშკარაა, რომ  $\hat{J}_i \hat{J}_k + \hat{J}_k \hat{J}_i = \hat{J}_i \hat{J}_k$  იქნება მეორე რანგის სიმეტრიული ტენზორი, ამ ტენზორის შპური ნულის ტოლი რომ იყოს საჭიროა მს გამოვაყოთ  $\frac{2}{3} \delta_{ik} \hat{J}^2$  ტენზორი.

მივიღებთ

$$Q_{ik} = A \left( \hat{J}_i \hat{J}_k + \hat{J}_k \hat{J}_i - \frac{2}{3} \delta_{ik} \hat{J}^2 \right), \quad (101,36)$$

სადაც  $A$  არის პროპორციულობის კოეფიციენტი, იგი ისე შევარჩიოთ, რომ, როცა  $J_z = \hbar J$  (ე. ი. როცა მომქნტის პროექციას აქვს მაქსიმალური მნიშვნელობა)  $Q_{zz}$

დაემთხვეს ატომის კვალრუპოლური მომენტის ექსპერიმენტულ მნიშვნელობას; გვექნება

$$Q_0 = Q_{zz}(J) = A \left\{ 2\hbar^2 J^2 - \frac{2}{3} \hbar^2 J(J+1) \right\}, \quad (101,37)$$

საიდანაც

$$A = \frac{3Q_0}{2J(2J-1)\hbar^2}. \quad (101,38)$$

მაშასადამე, კვალრუპოლური მომენტის ტენზორს ექნება შემდეგი სახე:

$$Q_{ik} = \frac{3Q_0}{2J(2J-1)\hbar^2} \left( \hat{J}_i \hat{J}_k + \hat{J}_k \hat{J}_i - \frac{2}{3} \delta_{ik} \hat{\mathbf{J}}^2 \right), \quad (101,39)$$

სადაც  $Q_0 = Q_{zz}(J_z = \hbar J)$  წარმოდგენს სიდიდეს, რომელიც ცდაზე იზომება და რომელსაც უბრალოდ, ატომის კვალრუპოლურ მომენტს უწოდებენ. კვალრუპოლური ტენზორის (101,39) წარმოდგენა ერთადერთია, რადგან ატომს სხვა ღამასიათებელი ვექტორი გარდა  $\mathbf{J}$ -სა არა აქვს. კერძო შემთხვევაში, როცა ატომის სრული მომენტი  $J = 1/2$ , მაშინ  $\hat{\mathbf{J}}_i = \frac{\hbar}{2} \sigma_i$ , სადაც  $\sigma_i$  პაულის მატრიცებია. რადგან პაულის მატრიცები აქმაყოფილებენ პირობას

$$\sigma_i \sigma_k + \sigma_k \sigma_i = 2\delta_{ik} \quad (101,40)$$

და  $\mathbf{J}^2 = \mathbf{s}^2 = \frac{3}{4} \hbar^2$ , ამიტომ  $Q_{ik} = 0$ . ცხადია, რომ  $Q_{ik}$  აგრეთვე ნულია, როცა  $J = 0$ .

ამგვარად, ჩეენ გვაქვს მნიშვნელოვანი დასკვნა: ატომებს, რომელთა სრული მომენტი  $J \leqslant 1/2$  კვალრუპოლური მომენტი არ გააჩნია.

### § 102. იგივე ნაშილაკთა დისტრიბუტურული მოდელი

ნაწილაკთა სისტემებიდან განსაკუთრებულ შესწავლას მოითხოვს ისეთი სისტემები, რომლებიც იგივური ნაწილაკებისაგან შედგება. იგივური ნაწილაკების კლასიურ და კვანტურ აღწერას შორის არსებობს მკვეთრი განსხვავება, რაც იმაში მდგომარეობს, რომ კლასიურ შექნიკაში არის შესაძლებლობა დროის რაიმე მომენტისათვის მოგახდინოთ იგივურ ნაწილაკთა გადანომერა ისე, რომ იგი შენარჩუნებულ იქნეს ნებისმიერი დროის მომენტისათვის. ეს შესაძლებელია, რადგან კლასიურ შექნიკაში ნაწილაკები მოძრაობს ტრანსტროინგზე; შეიძლება გავცვეთ ნაწილაკის ტრანსტროისა და დატრანსტროეთ, რომ დამზრილი იგივური ნაწილაკი სწორედ ის არის, რომელიც  $t=0$  მომენტისათვის აღნიშნული გვქონდა რაიმე ნომრით. რადგან არსებობს ნაწილაკების ასეთი ცალსახა იდენტიფიკაციის საშუალება, ამიტომ კლასიურ შექნიკაში გულისხმობენ, რომ ნაწილაკთა სისტემის მდგომარეობები ერთმანეთისაგან განსხვავდებულია, თუ ეს განსხვავება იმაში მდგომარეობს, რომ გადასმულია ორი იგივური ნაწილაკი.

სულ სხვა სურათია კვანტურ შექნიკაში. ექ ნაწილაკის ტრანსტროიზე ლაპარაკს აზრი არა აქვს; გარკვეული მასხლოებით შეგვიძლია ვისჯელოთ მხოლოდ ტალღური პაკეტების მოძრაობაზე საფრცეში. ვთქვათ,  $t=0$  დროის მომენტისათვის ჩავატარეთ იგივურ ნაწილაკთა გადანომვრა. გრაკვეული დროის შემდეგ ტალღური პაკეტები გაიშლება და გადაფარავს ერთმანეთს. ამიტომ ორი ნაწილაკის ტალღური პაკეტების გადაფარვის არეში შეუძლებელი იქნება ნაწილაკების გარკვევა მათი პირველადი ნუმერაციის მიხედვით. ამგვარად, კვანტურ შექნიკაში არა

გვაქვს შესაძლებლობა მოეხდინოთ  $t=0$  დროის მომენტისათვის ჩიტარებული ნუმერაციის დღენტიფიკაცია. ამის გამო სისტემის სეთი ორი მდგომარეობა, რომელიც ერთმანეთისაგან იგივეურ ნაწილაკთა გადასმით განსხვავდება, ვრთი და იგივედ უნდა ჩიტვალოს. ჩვენ ახლა გნახავთ, კვანტური სისტემის სეთი განსხვავებული ალტირა მათემატიკურად როგორ გმოიხატება.

შევადგინოთ  $N$  იგივეური ნაწილაკის სისტემის პამილტონიანი. ამ მიზნით  $x_k$ -თი აღნიშნოთ  $k$ -ური ნაწილაკის ყველა კოორდინატის ერთობლიობა, ე. ი. სივრცული მსებარეობის განმსაზღვრელი  $\Gamma_k$  რადიუსეულტორისა და სპინური კოორდინატების ერთობლიობა  $x_k \cdots (r_k, s_k)$ . რადგან იგივეური ნაწილაკების მასები, მუხტები, სპინები და სხვა ერთობლებია, ამიტომ ასეთი სისტემის პამილტონიანი შემსყვანაირად ჩაიწერება:

$$\hat{H}(x_1, x_2, \dots, x_N; t) = \sum_{k=1}^N \left\{ -\frac{\hbar^2}{2\mu} \Delta_k + V(x_k, t) \right\} + \sum_{k \neq j=1}^N U(x_k, x_j), \quad (102,1)$$

სადაც  $\Delta_k$  ლაპლასიანია  $k$ -ური ნაწილაკის შესაბამისი კოორდინატების მიხედვით.

$V(x_k, t)$  წარმოდგენს  $k$ -ურ ნაწილაკზე მოქმედ გარეშე ველის პატენტიალურ ენერგიას. იგი ერთნაირია ყველა იგივეური ნაწილაკისათვის და დამოკიდებულია იგივეური ნაწილაკის კოორდინატებზე და, საზოგადოდ, სპინზედაც. რაც შეეხება  $U(x_k, x_j)$ -ს იგი გამოხატავს  $k$  და  $j$ -ური ნაწილაკების ურთიერთურების ენერგიას, რომელიც აგრეთვე არ არის დამოკიდებული არჩეულ იგივეურ ნაწილაკთა წყვილზე და დამოკიდებულია მხოლოდ ნაწილაკთა მდგრადებლაზე და, ზოგად ჰემთხვევაში, შესაძლოა სპინებზეც.

აღსანიშნავია, რომ იგივეურ ნაწილაკთა პამილტონიან ახასიათებს ერთი მეტად შეიძლებანი ინგარისნტობის თვისება. კერძოდ, (102,1) ოპერატორი ინვარიანტულია ნებისმიერი ორი ნაწილაკის გადასმის მიმართ; ამასთან, ნაწილაკთა გადასმა ეკვივალენტურია  $x$ -კოორდინატების გადასმისა, ე. ი. სივრცული და სპინური კოორდინატების ერთობლები გადასმისა. პამილტონის ოპერატორის ამ ინგარისნტობასთან დაკავშირებულია ტალღურ ფუნქციათა სიმეტრიის მნიშვნელოვნი საკითხი, რომელსაც შემდეგ პარაგრაფში განვიხილავთ.

რადგან ელექტრონები იგივეური ნაწილაკებია, ამიტომ რთული ატომები უნდა ალექტრო შრედინგერის განტოლებით, რომელსაც სტაციონარულ მდგომარეობაში ექნება სახე

$$\hat{H}(x_1, x_2, \dots, x_N) \psi(x_1, x_2, \dots, x_N) = E\psi(x_1, x_2, \dots, x_N), \quad (102,2)$$

სადაც პამილტონის ოპერატორს აქვს (102,1) გამოხატულება. მაგრამ როცა სისტემას ნაწილაკთა რიცხვი არზე მეტია (102,2) განტოლების ამოხსნა შეუძლებელია არა თუ ზუსტად, არამედ სწრაფადმოვლელი ელექტრონული მანქანებითაც კი, ამიტომ რთული ატომების შესასწავლად გამოიყენება მიახლოებითი შეთოდები. ერთ-ერთ სერო მეთოდს წარმოადგენს თვითშეთანხმებული ველის მეთოდი. თვითშეთანხმებული ველის მეთოდში იგულისხმება, რომ (102,1) პამილტონიანში ურთიერთქმედების წევრი

$$\sum_{k \neq j}^N \sum_{j=1}^N U(x_k, x_j) \quad (102,3)$$

დაიყვანება  $\sum_{k=1}^N f(x_k)$  ტიპის გამოსახულებაზე. ფიზიკურად ეს იმას ნიშნავს, რომ აღებულ ნაწილაკზე ცველა დანარჩენის ურთიერთქმედება დაიყვანება, რაოც, გარკვეულად შერჩეულ, გარეშე ველის მოქმედებაზე. ამ გარეშე ველს თვითშეთანხმებული ველის მიახლოებაში იგიურ ნაწილაკთა პარალელური ურთიერთქმედება არ გვხვდება. თვითშეთანხმებული ველის მიახლოებაში იგიურ ნაწილაკთა პარალელური ურთიერთქმედება არ გვხვდება.

$$\hat{H}(x_1, x_2, \dots, x_N; t) = \sum_{k=1}^N \left\{ -\frac{\hbar^2}{2\mu} \Delta_k + V(x_k, t) \right\}, \quad (102,4)$$

სადაც  $V(x_k, t)$  პოტენციალური ენერგია წარმოადგენს ჯამურ ურთიერთქმედებას, რომელიც შეიცავს გარეშე და თვითშეთანხმებული ველის პოტენციალებს.

ამგვარად, თვითშეთანხმებული ველის მეთოდში ყოველი ელექტრონი მოძრაობს დანარჩენი ელექტრონების გასაშუალოებულ ველში, რომელიც ეკვივალენტურა გარკვეულად შერჩეული გარეშე ველისა.

როგორც (102,4) გამოხატულებიდან ჩანს, თვითშეთანხმებული ველის პარალელური დაიყვანება არაურთიერთქმედ იგივერ ნაწილაკთა სისტემის პარალელური დაიყვანება. შესაბამისი სტაციონარული მდგომარეობის გ ნტოლება კი, როგორც 100-ე პარაგრაფში დაფინანსეთ, ადვალად ამოიხსნება. კერძოდ, ამონახსნს ექნება (100,22) სახე. ასე რომ,

$$\psi(x_1, x_2, \dots, x_N) = \prod_{k=1}^N \psi_k(x_k) \quad (102,5)$$

ენერგია კი ტოლი ცენტრი

$$E = \sum_{k=1}^N E_k, \quad (102,6)$$

სადაც  $\psi_k(x_k)$  აკმაყოფილებს განტოლების

$$\left\{ -\frac{\hbar^2}{2\mu} \Delta_k + V(x_k) \right\} \psi_k(x_k) = E_k \psi_k(x_k), \quad (102,7)$$

ე. ი.  $\psi_k$  წარმოადგენს  $V(x_k)$  ველში მოძრავი  $k$ -ური ნაწილაკის  $E_k$  ენერგიის შესაბამის ტალღურ ფუნქციას.

მართალია (102,5) წარმოადგენს ნაწილაკთა სისტემის ტალღურ ფუნქციას თვითშეთანხმებული ველის მიახლოებაში, მაგრამ იგი ჯერ კიდევ არ შეესაბამება რეალურ ამოცანას, რამდენადც მასში გათვალისწინებული არ არის ის მნიშვნელოვანი ფაქტი, რომ იგივერ ნაწილაკთა პარალელური ინგრინდიულია ნაწილაკთა გადასმის მიმართ. მათემატიკის ენაზე ეს იმას ნიშნავს, რომ (102,5) ტალღური ფუნქცია, რომელიც პარალელური ინგრინდიულია, საკუთარი ფუნქციაა, საკუთარი ფუნქცია უნდა იყოს ნაწილაკთა გადასმის ოპერატორისაც.

### § 103. სიმეტრიული და ანტისიმეტრიული ტალღური ფუნქციები

განვიხილოთ შრედინგერის განტოლება იგივერ ნაწილაკთა სისტემისათვის

$$i\hbar \frac{\partial \psi}{\partial t} = \hat{H}\psi, \quad (103,1)$$

სადაც სისტემის  $\hat{H}$  პარალელინი გაშოისახება (102,1) ფორმულით, ხოლო  $\psi(x_1, x_2, \dots, x_N, t)$  სისტემის მდგრადარების აღმწერი ტალღური ფუნქციაა. უკვე ვიცით, რომ იგივერ ნაწილაკთა პარალელინი არ იცვლება ნაწილაკთა ნებისმიერი გადასმის მიმართ. ამიტომ, თუ  $\hat{H}$  შემოვიღებთ ორი ნებისმიერი  $i$  და  $k$  ნაწილაკის გადასმის  $\hat{p}_{ik}$  ოპერატორს, გვექნება

$$\hat{p}_{ik} \hat{H}(x_1, x_2, \dots, x_i, \dots, x_k, \dots, x_N, t) = \hat{H}(x_1, x_2, \dots, x_i, \dots, x_k, \dots, x_N, t) \hat{p}_{ik}. \quad (103,2)$$

ვიმოქმედოთ (103,1) განტოლებაზე მარცხნილი  $\hat{p}_{ik}$  ოპერატორით და გავითვალისწინოთ, რომ  $\hat{p}_{ik} \hat{H} = \hat{H} \hat{p}_{ik}$ ; გვექნება

$$i\hbar \frac{\partial}{\partial t} (\hat{p}_i \psi) = \hat{H} (\hat{p}_{ik} \psi), \quad (103,3)$$

ჩვენ ვხედავო, რომ  $\hat{H}$  შემოინახერის განტოლებას აქმაყოფილებს არა მხოლოდ  $\psi(x_1, x_2, \dots, x_i, \dots, x_N, t)$  ფუნქცია, არამედ ისაც, რომელიც მისგან მიიღება იგივეურ ნაწილაკთა ნებისმიერი გადანაცვლებით, ე. ი.  $\hat{p}_{ik} \psi$  ფუნქციაც. რადგან  $\hat{H}$  შემოინახერის განტოლების ამოხსნა ერთადერთია, ამიტომ  $\hat{p}_{ik} \psi$  და  $\psi$  ერთმანეთისაგან შეიძლება მხოლოდ მუდმივი  $\lambda$  მამრავლით განსხვავდებოდნენ, ე. ი.

$$\hat{p}_{ik} \psi(x_1, \dots, x_i, \dots, x_k, \dots, x_N; t) = \lambda \psi(x_1, \dots, x_i, \dots, x_k, \dots, x_N; t). \quad (103,4)$$

ეს უკანასკნელი კი შარმოადგენს  $\hat{p}_{ik}$  ოპერატორის საკუთარი ფუნქციების განტოლებას. იმასთან,  $\psi$  ფუნქცია საერთო საკუთარი ფუნქციაა  $\hat{H}$  და  $\hat{p}_{ik}$  ოპერატორებისა. (103,4)-ზე მარცხნილი ვიმოქმედოთ  $\hat{p}_{ik}$  ოპერატორით

$$\hat{p}_{ik}^2 \psi(x_1, \dots, x_i, \dots, x_k, \dots, x_N; t) = \lambda \hat{p}_{ik} \psi(x_1, \dots, x_i, \dots, x_k, \dots, x_N; t). \quad (103,5)$$

თუ გაშოიყვნებთ (103,4)-ს და გავითვალისწინებთ, რომ  $\hat{p}_{ik}$  ოპერატორის ორჯერ ზედიზედ მოქმედებით მივიღებთ საწყის ფუნქციას, გვექნება

$$\begin{aligned} \hat{p}_{ik}^2 \psi(x_1, \dots, x_i, \dots, x_k, \dots, t) &= \psi(x_1, \dots, x_i, \dots, x_k, \dots, t) = \\ &= \lambda^2 \psi(x_1, x_2, \dots, x_i, \dots, x_k, \dots, t), \end{aligned} \quad (103,6)$$

საიდანაც

$$\lambda^2 = 1. \quad (103,7)$$

ამრიგად, მივიღეთ, რომ  $\hat{p}_{ik}$  ოპერატორის საკუთარი შიშვნელობა  $\lambda = \pm 1$ , იმ შემთხვევაში, როცა  $\lambda = 1$ , ამბობენ რომ  $\psi$  ფუნქცია სიმეტრიულია, ხოლო იმ შემთხვევაში, როცა  $\lambda = -1$ ,  $\psi$  ფუნქცია ანტისიმეტრიულია. თანახმად ზემოთქმულისა, სიმეტრიული ფუნქციის შემთხვევაში გვაქვს

$$\hat{p}_{ik} \psi(x_1, \dots, x_i, \dots, x_k, \dots, x_N; t) = \pm \psi(x_1, \dots, x_i, \dots, x_k, \dots, x_N; t), \quad (103,8)$$

ანტისიმეტრიული ფუნქციის შემთხვევაში კი —

$$\hat{p}_{ik} \psi(x_1, \dots, x_i, \dots, x_k, \dots, x_N; t) = -\psi(x_1, \dots, x_i, \dots, x_k, \dots, x_N; t). \quad (103,9)$$

რადგან  $\hat{p}_{ik}$  ოპერატორი დროზე ცხადად არაა დამოკიდებული, ამიტომ

$$\frac{d\hat{p}_{ik}}{dt} = [\hat{H}, \hat{p}_{ik}]. \quad (103,10)$$

თანახმად (103,2) ფორმულისა,  $[H, \hat{p}_k] = 0$  და, მაშესაცამე,  $\lambda$  წარმოადგენს მოძრაობის ინტეგრალს (λ საკუთარი მნიშვნელობა დროში უცვლელია), მაგრამ  $\lambda$  განსაზღვრავს ფუნქციის სიმეტრიულობას და ამიტომ გასკვნით:

იგივერ ნაწილაკთა სისტემის მდგომარეობის აღმწერი ტალღური ფუნქცია ნაწილაკების გადასმის მიმართ შეიძლება იყოს სიმეტრიული ან ანტისიმეტრიული. ამასთან სიმეტრიულობის ხასიათი დროის მიხედვით არ იცვლება. თუ ფუნქცია სიმეტრიულია (ანტისიმეტრიულია)  $t=0$  მომენტისათვის, იგი სიმეტრიული (ანტისიმეტრიული) იქნება დროის შემდგომ მომენტშიაც.

ადგილად შეაძლება დაფარტიცოთ, რომ, თუ ფუნქცია სიმეტრიულია (ანტისიმეტრიულია) ორი ნაწილაკის გადასმის მიმართ, იგი სიმეტრიულია (ანტისიმეტრიული) ყველა სხვა ნაწილაკის გადასმის მიმართაც. მართლაც, ავღოთ სამი ნაწილაკისაგან შედგენილი სისტემა  $\psi(x_1, x_2, x_3)$  ფუნქციით და ვთქვათ, რომ ფუნქცია ანტისიმეტრიულია  $x_1$  და  $x_2$ -ის გადასმის მიმართ და სიმეტრიულია სხვა წყვილების მიმართ. მაშინ ადგილად დავინახავთ, რომ

$$\psi(x_1, x_2, x_3) = -\psi(x_1, x_2, x_3),$$

საიდანაც გამომდინარეობს, რომ  $\psi(x_1, x_2, x_3) = 0$ .

#### § 104. ვერმისა და ბოზეს ნაწილაკები

როგორც დაფინახეთ, იგივერ ნაწილაკთა სისტემის მდგომარეობის აღმწერი ტალღური ფუნქცია ან სიმეტრიულია, ან ანტისიმეტრიული. საკითხი, თუ ნაწილაკთა აღებულ სისტემას რომელი სიმეტრიის მქონე ფუნქცია შეესაბამება, განსაზღვრება ცლის საშუალებით.

მართლაც, მრავალრიცხვენმა ცდებმა გვიჩვენა, რომ ნაწილაკები, რომელთა სპინური კვანტური რიცხვი განისაზღვრება ფორმულით

$$s = n, \quad (104,1)$$

სადაც  $n = 0, 1, 2, \dots$  აიწერება სიმეტრიული ფუნქციით. ასეთ ნაწილაკებს ბოზეს ნაწილაკებს ან ბოზონებს უწოდებენ. ხოლო ის ნაწილაკები, რომელთა სპინური კვანტური რიცხვი

$$s = \frac{2n+1}{2}, \quad n = 0, 1, 2, \dots \quad (104,2)$$

აიწერება ანტისიმეტრიული ფუნქციით. ასეთ ნაწილაკებს ფერმის ნაწილაკებს ან ფერმონებს უწოდებენ. ნაწილაკთა სისტემა კი აიწერება ე. წ. ფერმი-დირაკის სტატისტიკით.

ბოზეს ნაწილაკებს წარმოადგენს:  $\alpha$  ნაწილაკები,  $\gamma$  კვანტები,  $\pi$  მეზონები, ჭყალბალის ატომები. ელექტრონები, ნეიტრონები, პოზიტრონები, პროტონები კი ფერმის ნაწილაკებს წარმოადგენნ.

დავუშვათ, გვაქვს ორი იგივერი ატომის გული. როგორც ვიცით, გული შედგება ფერმიონებისაგან — ნეიტრონებისა და პროტონებისაგან. როგორი ტალღური ფუნქციით აიწერება ეს გულები? რათა ეს გულები გადავსვათ, საჭიროა ამ გულების შესაბამის პროტონებისა და ნეიტრონებს აღვილები შევუცვალოთ (გადავსვათ). ნეიტრონთა ან პროტონთა თითოეული წყვილის გადასმისას, რადგან ეს ნაწილაკები ფერმიონება, ტალღურ ფუნქციას მამრავლად გაუჩნდება მინუს ერთი. თუ ნეიტრონთა რაცხვი  $N_n$ -ია, პროტონთა კი —  $N_p$ , მაშინ უკელა ნეიტრონის მეორე გულის ნეიტრონებით შეცვლისას ტალღურ ფუნქციას გაუჩნდება მამრავლი

$(-1)^{N_p}$ , ყველა პროტონების აღგილების შეცვლისას კი  $(-1)^{N_p}$ . ასე რომ, ატომგულების აღგილების შეცვლისას (გადასმისას) ორი გულისაგან შედგენილი სისტემის ტალღურ ფუნქციას გაუჩინდება მამრავლი  $(-1)^{N_p + N_n}$ . მაგრამ  $N_p + N_n$  არის ატომგულის შემადგენელი ყველა ფერმიონის რიცხვი; მას უწოდებენ მასურ რიცხვს და ალინიშება  $A$ -თი. ამრიგად, ატომგულის ტალღური ფუნქციის სიმეტ-რიულობას განსაზღვრავს მამრავლი

$$(-1)^A, \quad (104,3)$$

საიდანაც გამომდინარეობს, რომ ატომგული აიშერება სიმეტრიული ფუნქციით, თუ მისი შემადგენელი ფერმიონების რიცხვი ლურჯია, და ანტისიმეტრიულით, თუ მისი შემადგენელი ფერმიონების რიცხვი კენტრია. აქედან ის დასკვნაც უნდა გვა-კეთოთ, რომ ატომგულის შემადგენელი ნეიტრონებისა და პროტონების რიცხვის ლურჯობისას, მისი სპინი განისაზღვრება (104,1) ფორმულით, ხოლო თუ ნეტილაკ-თა რიცხვი კენტრია, ატომგულის სპინი განისაზღვრება (104,2) ფორმულით. ასე მაგალითად:  $H^1$ ,  $Li^7$ ,  $Be^9$ ,  $B^{11}$  ფერმიონებს წარმოადგენს,  $He^4$ ,  $Li^6$ ,  $B^{10}$ ,  $C^{12}$  კი — ბოზონებს.

### § 105. პაულის პრინციპი

ფერმის ტიპის იგივეურ ნაწილაკთა სისტემისათვის აღგილი აქვს ერთ მნიშვ-ნელოვან პრინციპს, რომელიც პაულის პრინციპის სახელშიც დაგენერირდა. ეს პრინციპი პაულის მიერ ეპიროტულად იქნა დაღვენილია. კვანტურ მექანიკაში კი, იგი უძუალო შედეგია ფერმიონების სისტემის ანტისიმეტრიული ტალღური ფუნქ-ციით აღწერისა. ეს პრინციპი ცდის მონაცემთა განზოგადებას წარმოადგენს. ის გარემოება, რომ ფერმიონების მდგომარეობის აღმშერი ტალღური ფუნქცია ანტი-სიმეტრიული უნდა იყოს, აღარ შეიძლება ეჭვს იწვევდეს.

განვმარტოთ პაულის პრინციპი რაი ფერმიონისაგან შედგენილი სისტემისა-თვის. მიღებული შედეგის განზომილება მრავალი ფერმიონისაგან შედგენილი სის-ტემისათვის არავითარ სიძნელეს არ წარმოადგენს.

დავუშვათ, სისტემის მდგომარეობის აღმშერი ფუნქცია არის  $\psi(x_1, x_2, t)$ , სადაც  $x_1$  და  $x_2$  პირველი და მეორე ფერმიონის ყველა კოორდინატის (სპინურის ჩათვლით) ერთობლიობას გამოიხატავს.  $\psi_{n_1}(x_1)$  იყოს პირველი ფერმიონის ინდი-ვიდუალური მდგომარეობის ფუნქცია  $n_1$  ყველა იმ სიღიღის ერთობლიობაა, რომ-ლებიც ფერმიონის მდგომარეობას ცალსახად განსაზღვრავენ (ატომებში ჩვეულებ-რივად  $n_1$  წარმოადგენს  $n$ ,  $l$ ,  $m_l$ ,  $m_s$  კვანტური რიცხვების ერთობლიობას).  $\psi_{n_2}(x_2)$  იყოს იგივე ტიპის ფუნქცია მეორე ფერმიონისათვის. განხილული სისტე-მის  $\psi(x_1, x_2, t)$  ფუნქცია გავშალოთ  $\psi_{n_1}(x_1)$ ,  $\psi_{n_2}(x_2)$  ფუნქციების მშერივად

$$\psi(x_1, x_2, t) = \sum_{n_1} \sum_{n_2} C_{n_1, n_2}(t) \psi_{n_1}(x_1) \psi_{n_2}(x_2); \quad (105,1)$$

როგორც ვიცით

$$w_{n_1, n_2}(t) = |C_{n_1, n_2}(t)|^2 \quad (105,2)$$

სიდიდე გამოხატავს ალბათობას იმისა, რომ  $t$  მომენტში პირველი ფერმიონი არის  $n_1$  მდგომარეობაში, ხოლო მეორე  $n_2$ -ში.

გამოვიყენოთ  $\psi(x_1, x_2, t)$  ფუნქციის ანტისიმეტრიულობა ნაწილაკთა გადა-სმის მიშართ:

$$\sum_{n_1} \sum_{n_2} C_{n_1 n_2}(t) \psi_{n_1}(x_1) \psi_{n_2}(x_2) = - \sum_{n_1} \sum_{n_2} C_{n_1 n_2}(t) \psi_{n_1}(x_2) \psi_{n_2}(x_1); \quad (105,3)$$

$n_1$  და  $n_2$  ერთი და იგივე მნიშვნელობებს იღებს, ამიტომ ჯამში  $n_1$  შეიძლება შე-ცვალოთ  $n_2$ -ით და პარიქით; თუ ასეთ შეცვლას შრომის მარჯვენა მხარეში გვეწება

$$\sum_{n_1} \sum_{n_2} C_{n_1 n_2}(t) \psi_{n_1}(x_1) \psi_{n_2}(x_2) = - \sum_{n_1} \sum_{n_2} C_{n_2 n_1}(t) \psi_{n_2}(x_2) \psi_{n_1}(x_1). \quad (105,4)$$

რადგან  $\psi_{n_1}(x_1)$  და  $\psi_{n_2}(x_2)$  ფუნქციები ორთონორმირებულია, ამიტომ ეს ტოლობა მხოლოდ მაშინ შეიძლება გვქონდეს, როდესაც

$$C_{n_1 n_2}(t) = - C_{n_2 n_1}(t). \quad (105,5)$$

იმ შემთხვევაში, როცა  $n_1 = n_2 = n$ , გვიჩნება  $C_{n,n}(t) = - C_{n,n}(t)$ , ე. ი.  $C_{n,n}(t) = 0$ . ამიტომ (105,2)-ით განსაზღვრული ალბათობისათვის მივიღებთ

$$w_{n,n}(t) = 0. \quad (105,6)$$

ამრიგად, ალბათობა იმისა, რომ ორი ფერმიონი იყოს ერთსა და იმავე კვანტურ მდგომარეობაში, ნულის ტოლია. ეს დასკვნა პაულის პრინციპის სახელწოდებით არის ცნობილი და იგი მეტად მნიშვნელოვან როლს ასრულებს ფერმიონთა სისტემის შესწავლაში. რადგან ატომის შემადგენელი ნაწილაკები ელექტრონები, პროტონები და ნეიტრონები ფერმიონებია, ამიტომ პაულის პრინციპს პირველხარისხვანი მნიშვნელობა ენიჭება ატომის ელექტრონთა გარსებისა და ატომგულების შესწავლის საკითხში. ატომის თეორიაში პაულის პრინციპს ხშირად ასეც იყალბებენ:

არ შეიძლება არსებობდეს ისეთი ორი ელექტრონი (პროტონი ან ნეიტრონი), რომელთაც ექნებოდა ერთი და იგივე ოთხი კვანტური რიცხვი:  $n$ ,  $l$ ,  $m_l$  და  $m_s$ . რადგან  $m_s = \pm \frac{1}{2}$ , ამიტომ იმ მდგომარეობაში, რომელიც ხასიათდება  $n$ ,  $l$ ,  $m_l$ ,  $m_s$ , კვანტური რიცხვებით, შეიძლება მოხვდეს მხოლოდ ისეთი ორი ფერმიონი (ელექტრონი, პროტონი ნეიტრონი და სხვა), რომელთაც აქვთ საწინააღმდეგოდ მიმართული სპინები. პაულის პრინციპის ასეთი ფორმულირება გამოგვადგება რაული ატომების შესწავლის დროს.

#### § 106. ცივეთრიული და ანტიცივეთრიული ფუნქციების უაღგენა

როგორც დავინახეთ, ფერმის ნაწილაკთა სისტემის შემთხვევაში ტალღური ფუნქციის ანტისიმეტრიულობამ მიგვიყვანა პაულის პრინციპამდე, რომელიც მრავალჯერ შემოწმდა ცდით და რომელშიაც დღესათვის ეჭვის შეტანა შეუძლებელია. ჩატარებულია აგრეთვე მრავალი ექსპერიმენტი. რომლებიც ეჭვის გარეშე ამტკიცებენ, რომ ბორშეს ნაწილაკთა სისტემის ტალღური ფუნქცია სიმეტრიულია. ყველა ეს გარემოება მიგვითითებს იმაზე, რომ იგივეურ ნაწილაკთა სისტემის დამახასიათებელი ფუნქციები ნაწილაკების გადასმის შიძართ შეიძლება იყოს მხოლოდ სიმეტრიული ან ანტისიმეტრიული. ამ პარაგრაფში ჩვენი მიზანია ამ ფუნქციების მოძებნა.

მეტი სიცხადის მიზნათ განვიხილოთ თვითშეთანხმებული ველის მეთოდი ან ჩავთვალოთ, რომ სისტემის ნაწილაკები იმყოფებიან გარეშე ველში, მაგრამ ერთ-მანეთთან არ ურთიერთქმედებენ; ასეთი სისტემის ტალღური ფუნქციები ხშირად

განიხილება როგორც ნულოვანი მიახლოების ტალღური ფუნქციები. ჩეენ ვაჩვენეთ, რომ ანიშნულ მიახლოებაში შრედინგერის განტოლების ამონასნი წარმოადგენს ცალკეული ნაწილაკების შორის შესაბამისი ტალღური ფუნქციების ნამრავლს, ენერგია კა — ცალკეული ნაწილაკის ენერგიების ჯამს, ე. ი.

$$\Psi(x_1, x_2, \dots, x_N) = \psi_{n_1}(x_1) \psi_{n_2}(x_2) \dots \psi_{n_N}(x_N), \quad (106,1)$$

$$E = E_1 + E_2 + \dots + E_N, \quad (106,2)$$

სადაც უ, არის მდგრადი რეაბილიტაციური ცველა კვანტური რეპსენტის ერთობლიობა. ატომში, მაგალითად, უ წარმოადგენს უ, ს, მ, და თ, კვანტური რიცხვების ერთობლიობას.  $x_i$ -ის ქვეშ, ჩვენი შეთანხმების თანახმად, ვიგულისხმებთ კურსი ნაწილაკის ცველა კოორდინატს სპინური კოორდინატის ჩათვლით.

მართლია (106,1) ფუნქცია წარმოადგენს შრედინგერის განტოლების ამონასნს, მაგრამ მასში არ არის გათვალისწინებული ის გარემოება, რომ იგივერ ნაწილაკთა სისტემის ტალღური ფუნქცია უსათუდო უნდა იყოს სიმეტრიული ან ანტისიმეტრიული. სხვანაირად რომ ვთქვათ, ეს ფუნქცია საკუთარი ფუნქცია უნდა იყოს ნაწილაკთა გადასმის ოპერატორისაც. ცხადია, რომ (106,1) ფუნქციას აღნიშნული სიმეტრია არ გააჩნია, მაგრამ ჩვენ შეგვიძლია მოვახდინოთ მისი სიმეტრიზაცია. ამის საშუალებას გვაძლევს ის გარემოება, რომ შრედინგერის განტოლება წრფივია და მას იქმაყოფილებს არა მხოლოდ (106,1), არამედ ამ ფუნქციის ნებისმიერი წრფივი კომბინაციის წევრებიად შევვიძლია აყილოთ ნებისმიერად გადანაცვლებული ნაწილაკების შესაბამისი ფუნქციები.

ჯერ განვიხილოთ იგივე ნაწილაკთა ფერმის სისტემა. ასეთი სისტემის ტალღური ფუნქცია უნდა იყოს ანტისიმეტრიული ნებისმიერი ორი ნაწილაკის გადასმის მიმართ. პირველად შევისწავლოთ ორი ნაწილაკის სისტემა. თვითშეთანხმებული ეელის მიახლოებაში სისტემის ტალღური ფუნქცია ტოლი იქნება

$$\psi_1(x_1, x_2) = \psi_{n_1}(x_1) \psi_{n_2}(x_2). \quad (106,3)$$

შრედინგერის განტოლებას იგივე ენერგიით აქმაყოფილებს აგრეთვე ტალღური ფუნქცია, რომელიც (106,2)-საგან განსხვავდება ნაწილაკთა გადასმით, ე. ი.

$$\psi_2(x_1, x_2) = \psi_{n_1}(x_2) \psi_{n_2}(x_1). \quad (106,3')$$

ცხადია, რომ შრედინგერის განტოლებას დაკმაყოფილებს შემდეგი ფუნქციაც

$$\Psi(x_1, x_2) = A(\psi_{n_1}(x_1) \psi_{n_2}(x_2) - \psi_{n_1}(x_2) \psi_{n_2}(x_1)), \quad (106.4)$$

რომელიც ანტისიმეტრიულია ნაწილაკთა გადასმის მიმართ.  $A$ -ნორმირების კოეფიციენტია. მაშასადამე, ანიშნულ მიახლოებაში ჩვენ ვიძოვეთ ორი ფერმის ნაწილაკის სისტემის ტალღური ფუნქცია.

უფრო დიდი რიცხვის ნაწილაკთა სისტემის ანტისიმეტრიული ტალღური ფუნქციების დასაწერად ხელსაყრელია შემოვისოთ სრულიად ანტისიმეტრიული ერთეულოვანი აქსიალური ტერმორი. ასეთ  $N$  ორგის ტერმორს  $i_1, i_2, \dots, i_N$  აქვს შემდეგი თვისებები: ნებისმიერი ორი ინდექსის გადასმისას ნიშანს იცვლის საწინააღმდეგოთი, თუ რომელიმე ორი ინდექსი ტოლია, შაშინ ტერმორი ნულს უდრის, იგი უდრის ერთს, როცა  $i_1, i_2, \dots, i_N$  ინდექსების დასალაგბლად ნორმალური თანმიმდევრობით (ე. ი. 1, 2, 3, ...,  $N$ ) საჭიროა ტრანსპოზიციათა ლუწი რაოდენობა და უდრის მინუს ერთს, როცა ინდექსების ნორმალური თანმიმდევრობით დასალაგბლად საჭიროა ტრანსპოზიციათა კენტი რიცხვი. განმარტებიდან ცხადია,

რომ ნულისაგან განსხვავებული იქნება  $\mathcal{E}_{i_1 i_2 \dots i_N}$  ტენზორის მხოლოდ  $N!$  კლე-  
მენტი და თითოეულ ამ კლემენტის მნიშვნელობა ტოლია ან +1-ის ან —1-ის.  
ამიტომ

$$\sum_{i_1 i_2 \dots i_N} \mathcal{E}_{i_1 i_2 \dots i_N} = N! \quad (106,5)$$

ჩვენ დაგვჭირდება შემდეგი ორი ფორმულაცი, რომელთა გამოყენა საკმარისად  
აღვილია: <sup>1</sup>

$$\sum_{i_1, \dots, i_N}^N \mathcal{E}_{i_1 i_2 \dots i_N} \mathcal{E}_{i'_1 i'_2 \dots i'_N} = (N-1)! \delta_{i_1 i'_1} \delta_{i_2 i'_2} \dots \delta_{i_N i'_N}, \quad (106,5')$$

$$\sum_{i_1, \dots, i_N} \mathcal{E}_{i_1 i_2 i_3 \dots i_N} \mathcal{E}_{i'_1 i'_2 i'_3 \dots i'_N} = (N-2)! [\delta_{i_1 i'_1} \delta_{i_2 i'_2} - \delta_{i_1 i'_2} \delta_{i_2 i'_1}] \quad (106,5'')$$

(106,3) და (106,3')-დან აშკარაა, რომ კოორდინატების გადასვა ეპვივალენტურია  
კვანტური რიცხვების გადასმისა, ამიტომ თუ განვიხილავთ მეორე რანგის  $\mathcal{E}_{i_1 i_2}$   
ერთეულოვან ტენზორს, მაშინ ორი ფერმიონის (106,4) ანტიიმეტრიული ფუნქ-  
ცია შევვიძლია ჩავწეროთ შემდეგი სახით:

$$\Psi(x_1, x_2) = A \sum_{i_1, i_2=1}^2 \mathcal{E}_{i_1 i_2} \psi_{n_{i_1}}(x_1) \psi_{n_{i_2}}(x_2). \quad (106,6)$$

რადგან  $\mathcal{E}_{12} = 1$ ,  $\mathcal{E}_{21} = -1$ , ხოლო  $\mathcal{E}_{11} = \mathcal{E}_{22} = 0$ , ამიტომ (106,6) ფუნქცია მართ-  
ლაც ემთხვევა (106,4)-ს.

მოვახდინოთ (106,6) ფუნქციის ნორმირება, მოვითხოვთ, რომ

$$\int_{-\infty}^{+\infty} \Psi^*(x_1, x_2) \Psi(x_1, x_2) d\tau_1 d\tau_2 = 1 \quad (106,7)$$

ამასთან, რადგან  $x$ -ში შედის დისკრეტული სპინური ცვლადიც, ჩვენ ვიგულისხ-  
მებთ, რომ ინტეგრაციაში ჩართულია აკამდაც სპინური ცვლადების მიხედვით. შე-  
ვიტანოთ (106,6) ფუნქცია ნორმირების (106,7) ინტეგრალში, გვექნება

$$A^2 \sum_{i_1 i_2} \sum_{i'_1 i'_2} \mathcal{E}_{i_1 i_2} \mathcal{E}_{i'_1 i'_2} \int_{-\infty}^{+\infty} \psi_{n_{i_1}}^*(x_1) \psi_{n_{i'_1}}(x_1) d\tau_1 \cdot \\ \int_{-\infty}^{+\infty} \psi_{n_{i_2}}^*(x_2) \psi_{n_{i'_2}}(x_2) d\tau_2 = 1 \quad (106,8)$$

ვიგულისხმით, რომ ცალკეული ნაწილაკის ტალღური ფუნქციები ორთო-ნორმი-  
რებულია, მაშინ (106,8)-ში შემავალი ინტეგრალები შესაბამისად ტოლი იქნება  
 $\delta_{i_1 i'_1}$  და  $\delta_{i_2 i'_2}$ -ის; ასე რომ,

$$A^2 \sum_{i_1 i_2} \sum_{i'_1 i'_2} \mathcal{E}_{i_1 i_2} \mathcal{E}_{i'_1 i'_2} \delta_{i_1 i'_1} \delta_{i_2 i'_2} = 1 \quad (106,9)$$

<sup>1</sup> იხილეთ საკმარისო ამ თავის ბოლოს.

ფილტრაციის თვისების გამოყენებით გვექნება

$$A^2 \sum_{i_1 i_2} \mathcal{E}_{i_1 i_2} = 1 \quad (106,10)$$

რაც (106,5) ფორმულის თანხმად მოგვივეშს  $A = 1/\sqrt{2!}$ . მაშაბადაშე, ორი ფერ-მის ნაწილაკის ნორმირებულ ანტისიმეტრიულ ტალღურ ფუნქციას გვნება სახე

$$\Psi(x_1, x_2) = \frac{1}{\sqrt{2}} [\psi_{n_1}(x_1) \psi_{n_2}(x_2) - \psi_{n_1}(x_2) \psi_{n_2}(x_1)]. \quad (106,11)$$

შეგნიშვნთ, რომ ეს ფუნქცია შეგვიძლია გამოვხატოთ მეორე რანგის დეტერმინანტის სახითაც; კერძოდ,

$$\Psi(x_1, x_2) = \frac{1}{\sqrt{2}} \begin{vmatrix} \psi_{n_1}(x_1) & \psi_{n_1}(x_2) \\ \psi_{n_2}(x_1) & \psi_{n_2}(x_2) \end{vmatrix}; \quad (106,12)$$

ეს გასაგებია, რადგან ტალღური ფუნქციის ჩატერა

$$\Psi(x_1, x_2) = \frac{1}{\sqrt{2}} \sum_{i_1 i_2} \mathcal{E}_{i_1 i_2} \psi_{n_{i_1}}(x_1) \psi_{n_{i_2}}(x_2) \quad (106,13)$$

სახით წარმოადგენს მეორე რანგის დეტერმინანტის განმარტებას  $\mathcal{E}_{i_1 i_2}$  ტენზორის საშუალებით.

ახლა განვიხილოთ სამი ფერმის ნაწილაკის სისტემა. ამ შემთხვევაში საჭიროა მოვახდინოთ სიმეტრიზაცია  $\psi_{n_1}(x_1) \psi_{n_2}(x_2) \psi_{n_3}(x_3)$  ნამრავლისა. თუ გამოვიყენებთ მესამე რანგის  $\mathcal{E}_{i_1 i_2 i_3}$  ტენზორს, მაშინ საძიებელი ფუნქციისათვის გვექნება გამოსახულება

$$\Psi(x_1, x_2, x_3) = A \sum_{i_1 i_2 i_3} \mathcal{E}_{i_1 i_2 i_3} \psi_{n_{i_1}}(x_1) \psi_{n_{i_2}}(x_2) \psi_{n_{i_3}}(x_3). \quad (106,14)$$

მოვახდინოთ ამ ფუნქციის ნორმირება. რადგან მესამე რანგის ტენზორის შემთხვევაში (106,5) ჯამი 3!-ის ტოლია, ამიტომ ნორმირებულ ტალღურ ფუნქციას სამი ფერმიონისათვის ექნება სახე

$$\Psi(x_1, x_2, x_3) = \frac{1}{\sqrt{3!}} \sum_{i_1 i_2 i_3} \mathcal{E}_{i_1 i_2 i_3} \psi_{n_{i_1}}(x_1) \psi_{n_{i_2}}(x_2) \psi_{n_{i_3}}(x_3) \quad (106,15)$$

გაშლილი სახით (106,15) ასე დაიტერება:

$$\begin{aligned} \Psi(x_1, x_2, x_3) = & \frac{1}{\sqrt{6}} \cdot [\psi_{n_1}(x_1) \psi_{n_2}(x_2) \psi_{n_3}(x_3) + \psi_{n_1}(x_1) \psi_{n_2}(x_3) \psi_{n_3}(x_2) + \\ & + \psi_{n_1}(x_3) \psi_{n_2}(x_1) \psi_{n_3}(x_2) - \psi_{n_1}(x_1) \psi_{n_2}(x_1) \psi_{n_3}(x_2) - \\ & - \psi_{n_1}(x_2) \psi_{n_2}(x_1) \psi_{n_3}(x_3) - \psi_{n_1}(x_3) \psi_{n_2}(x_2) \psi_{n_3}(x_1)], \end{aligned} \quad (106,16)$$

ცხადია, რომ ეს ფუნქცია ნიშანს იცვლის ნებისმიერი ნაწილაკთა წყვილის გადასმის ღროს. (106,16) ფუნქცია წარმოადგენს მესამე რანგის დეტერმინანტს

$$\Psi(x_1, x_2, x_3) = \frac{1}{\sqrt{3!}} \begin{vmatrix} \psi_{n_1}(x_1) & \psi_{n_1}(x_2) & \psi_{n_1}(x_3) \\ \psi_{n_2}(x_1) & \psi_{n_2}(x_2) & \psi_{n_2}(x_3) \\ \psi_{n_3}(x_1) & \psi_{n_3}(x_2) & \psi_{n_3}(x_3) \end{vmatrix}. \quad (106,17)$$

ახლა განვიხილოთ  $N$  ფერმის ნაწილაკის სისტემა. მაშინ საჭიროა სიმეტრიზაცია მოვახდინოთ (106,1) ტალღური ფუნქციისა. ამას ადვილად მოვხერხებთ  $N$ -ური რანგის  $\mathcal{E}_{i_1 i_2 \dots i_N}$  ტერმორის დახმარებით. თუ გავისუნით (106,5) ფორმულას ნორმირებული ანტისიმეტრიული ტალღური ფუნქციისათვის შეგვიძლია დავწეროთ

$$\begin{aligned} \Psi_a(x_1, x_2, \dots, x_N) &= \\ = \frac{1}{\sqrt{N!}} \sum_{i_1 i_2 \dots i_N} \mathcal{E}_{i_1 i_2 \dots i_N} \psi_{n_{i_1}}(x_1) \psi_{n_{i_2}}(x_2) \dots \psi_{n_{i_N}}(x_N), \end{aligned} \quad (106,18)$$

რომელიც წარმოადგენს შემდეგ დეტერმინანტს

$$\Psi_a(x_1, x_2, \dots, x_N) = \frac{1}{\sqrt{N!}} \begin{vmatrix} \psi_{n_1}(x_1) & \psi_{n_1}(x_2) & \dots & \psi_{n_1}(x_N) \\ \psi_{n_2}(x_1) & \psi_{n_2}(x_2) & \dots & \psi_{n_2}(x_N) \\ \vdots & \vdots & \ddots & \vdots \\ \psi_{n_N}(x_1) & \psi_{n_N}(x_2) & \dots & \psi_{n_N}(x_N) \end{vmatrix}. \quad (106,19)$$

ამ დეტერმინანტს სლეტერის დეტერმინანტს უწოდებენ. ცხადია, რომ ნებისმიერია ორი ფერმინონის გადასმისას (106,19) ფუნქცია ნიშანს იცვლის. მართლაც, ორი ნაწილაკის გადასმა (106,19) დეტერმინანტში იწვევს ორი სეეტის აღვილების შეცვლას, რაც დეტერმინანტის ოვისებით გამოიწვევს მინუს ნიშანს გამრავლებას. როცა ორი ფერმინონი კოტკათ,  $i$  და  $k$  ერთსა და იმავე მდგომარეობაში იმყოფება, მაშინ ერთმანეთის ტოლია  $n_i$  და  $n_k$  კვანტური რიცხვები (ე. ი.  $i, k, m_i, m_k$  რიცხვები), დეტერმინანტში ტოლი აღმოჩნდება  $i$ -ური და  $k$ -ური სტრიქონები, ასეთი დეტერმინანტი კი ნულის ტოლია. როგორც ვიცით ეს უკანასკნელი გამოხატავს პაულის პრინციპის შინაარსს.

ახლა განვიხილოთ ბოზეს ნაწილაკთა სისტემა. ბოზეს ნაწილაკები არ ემორჩილებიან პაულის პრინციპს, ამიტომ მათი ერთ მდგომარეობაში მოხვედრა, აკრძალული არ არის. კოტკათ, გვაქვს ორი ბოზეს ნაწილაკი. მაშინ დამოუკიდებელ ნაწილაკთა მიახლოვებაში სისტემის ტალღურ ფუნქციას კვლავ ნამრავლის სახე იქვეს, ამიტომ შეგვიძლია დავწეროთ

$$\Psi(x_1, x_2) = \psi_n(x_1) \psi_n(x_2) \quad (106,20)$$

სადაც იგულისხმება, რომ ორივე ნაწილაკი ერთსა და იმავე კვანტურ  $n$ -მდგომარეობაში იმყოფება. ამასთან ცხადია, რომ (106,20) ფუნქცია სიმეტრიულია ნაწილაკთა გადასმის მიმართ. მაგრამ ორი ბოზეს ნაწილაკი განსხვავებულ  $n_1$  და  $n_2$  მდგომარეობაშიაც შეიძლება იმყოფებოდეს, ამიტომ გათთვის შეგვიძლია დავწეროთ შემდეგი ნორმირებული ფუნქცია:

$$\Psi(x_1, x_2) = \frac{1}{\sqrt{2}} [\psi_{n_1}(x_1) \psi_{n_2}(x_2) + \psi_{n_1}(x_2) \psi_{n_2}(x_1)]. \quad (106,21)$$

ეს ფუნქცია სიმეტრიულია  $x_1$  და  $x_2$ -ის, ე. ი. ნაწილაკთა გადასმის მიმართ. ანალოგიურად დავწეროთ ბოზეს ნაწილაკთა სისტემის სიმეტრიულ ტალღურ ფუნქციას იმ შემთხვევაში, როცა თითოეული ბოზონი განსხვავებულ კვანტურ მდგომარეობაში იმყოფება. (106,18) ფუნქციის ანალოგიურად გვექნება

$$\begin{aligned} \Psi_n(x_1, x_2, \dots, x_N) &= \\ = \frac{1}{\sqrt{N!}} \sum_{i_1 i_2 \dots i_N} \mathcal{E}_{i_1 i_2 \dots i_N}^2 \psi_{n_{i_1}}(x_1) \psi_{n_{i_2}}(x_2) \dots \psi_{n_{i_N}}(x_N) \end{aligned} \quad (106,22)$$

სადაც  $\hat{\Psi}_{i_1, i_2 \dots i_N}$  ტენზორის როლი დაიყვანება მხოლოდ იმაზე რომ ყველა ნაწილაქს განსხვავებული კოორდინატები ჰქონდეს. იგი ამ შემთხვევაში შეგვიძლია შევცვალოთ გადანაცვლების ოპერატორით

$$\Psi_s(x_1, x_2, \dots, x_N) = \frac{1}{\sqrt{N!}} \sum_p^N \hat{p} \psi_{n_1}(x_1) \psi_{n_2}(x_2) \dots \psi_{n_N}(x_N) \quad (106,23)$$

სადაც აგამვა აიღება ყველა შესაძლო  $N!$  გადანაცვლებით.

თუ ყველა  $N$  ნაწილაკი ერთ ა მდგომარეობაში იმყოფება, მაშინ გვექნება მხოლოდ ერთი სიმეტრიული ფუნქცია

$$\Psi_s(x_1, x_2, \dots, x_N) = \psi_n(x_1) \psi_n(x_2) \dots \psi_n(x_N). \quad (106,24)$$

შეიძლება განხორციელდეს ისეთი მდგომარეობაც. როცა ერთსა და იმავე მდგომარეობაში რამდენიმე ნაწილაკი იმყოფება. წოდეთ, მაგალითად,  $n_1$  კვანტურ მდგომარეობაში იმყოფება  $m_1$  ბოზონი;  $n_2$  კვანტურ მდგომარეობაში —  $m_2$  და ა. შ.  $n_s$  მდგომარეობაში კი  $m_s$ . აშკარაა, ამასთან რომ  $m_1 + m_2 + \dots + m_s = N$ . ამ შემთხვევაში გვექნება

$$\Psi(x_1, x_2, \dots, x_N) = |\psi_{n_1}(x_1) \psi_{n_2}(x_2) \dots \psi_{n_1}(x_{m_1})\rangle |\psi_{n_2}(x_{m_1+1})\rangle \dots$$

$$\psi_{n_2}(x_{m_1+2}) \dots \psi_{n_2}(x_{m_1+m_2})\rangle \dots \quad (106,25)$$

$$[\dots \psi_{n_s}(x_N)\rangle]$$

თითოეული კვანტური მდგომარეობის შეგნით მოხდენილი გადანაცვლება (106,25) ტალღურ ფუნქციას არ ცვლის. ასეთ გადანაცვლებას არაეფექტური ვუწოდოთ. ყველა ის გადანაცვლება კი, რომლებიც ახდენენ განსხვავებულ კვანტურ მდგომარეობებში მყოფი ნაწილაკების გადანაცვლებას, (106,25) ფუნქციას ცვლის. ასეთ გადანაცვლებებს კი ეფექტური გადანაცვლებები ვუწოდოთ. ადვილი მისახველრია, რომ ყველა შესაძლო  $N!$  გადანაცვლებიდან

$$g = \frac{N!}{m_1! m_2! \dots m_s!} \quad (106,26)$$

გადანაცვლება იქნება ეფექტური. გასაგებია ამის გამო, რომ განხილულ შემთხვევაში ნაცვლად (106,23) ფუნქციისა გვექნება შემდეგი სიმეტრიული ფუნქცია

$$\begin{aligned} \Psi_s(x_1, x_2, \dots, x_N) &= \\ &= \frac{1}{\sqrt{g}} \sum_p^N \hat{p} \psi_{n_1}(x_1) \dots \psi_{n_1}(x_{m_1}) \psi_{n_2}(x_{m_1+1}) \dots \psi_{n_s}(x_N) \quad (106,27) \end{aligned}$$

როცა თითო კვანტურ მდგომარეობაში იმყოფება თითო ნაწილაკი, მაშინ  $m_1! \dots m_s! = 1$  და  $g = N!$ ; შეღვად (106,27) ფუნქცია გადავა (106,23)-ში.

ამგვარად, ჩვენ ვხედავთ, რომ ანტისიმეტრიული ფუნქციები მხოლოდ მაშინ მიიღება, როცა ყველა ნაწილაკი განსხვავებულ მდგომარეობაში იმყოფება, სიმეტრიული კი — ორივე შემთხვევაში.

**§ 107. არაურთივი რობერტონის და ნაშილაკის  
ტალაური ფუნქციები. ტალაური ფუნქციის დემატრიულობის  
და გრადიუსულება მომვართება**

ზემოთ  $x$ -ში ყველგან ვკულისხმობდით ოთხივე ცვლადს, როგორც ჩვეულებრივ კოორდინატებს, ისე სპინურ კოორდინატებსაც. მძლავრი სპინ-ორბიტალური ურთიერთქმედების გამო, ზოგად შემთხვევაში, ტალაური ფუნქცია არ შეიძლება გაიყოს კოორდინატულ და სპინურ ტალაურ ფუნქციებიდ, მაგრამ ასეს ბორბას შემთხვევები, როცა იგივეური ნაწილაკების სპინებსა და ორბიტალურ მომენტებს შორის ურთიერთქმედება იმდენად მცირეა, რომ იგი შეგვიძლია უგულებელყოთ. ასეთ შემთხვევაში, მაგალითად, თვითშეთანხმებული ეელის მიახლოების ჰამილტონიანში

$$\hat{H} = \sum_{k=1}^N \left[ -\frac{\hbar^2}{2\mu} \Delta_k + V(r_k) \right] \quad (107,1)$$

პოტენციალური ენერგია დამოკიდებულია მხოლოდ სივრცულ კოორდინატებზე. ამ დროს სპინური და ჩვეულებრივი კოორდინატები დამოუკიდებლად იქცევა და სისტემის ტალაური ფუნქცია შეგვიძლია წარმოვადგინოთ როგორც ორი ფუნქციის ნამრავლი, რომელთაგან ერთი მხოლოდ კოორდინატების ფუნქციაა, მეორე კი — სპინების, ე. ი.

$$\Psi(r_1, r_2, \dots, r_N; s_1, s_2, \dots, s_N) = \psi(r_1, r_2, \dots, r_N) \mathcal{Y}(s_1, s_2, \dots, s_N). \quad (107,2)$$

$\mathcal{Y}(s_1, s_2, \dots, s_N)$ -ს უწილესებენ სპინურ ფუნქციას. სიმეტრიულობის ან ანტისიმეტრიულობის პირობას უნდა აკმაყოფილებდეს ფუნქცია ნამრავლი. ამასთან, გადანაცვლების  $\hat{p}_{ik}$  ოპერატორი შეგვიძლია განვიხილოთ როგორც ორი ოპერატორის ნამრავლი  $\hat{p}_{ik}(r, s) = \hat{p}_{ik}(r) \hat{p}_{ik}(s)$ , რომელთაგან ერთი გადასცამს სივრცულ კოორდინატებს მეორე კი — სპინურს, ე. ი.

$$\hat{p}_{ik}(r, s) \Psi = (\hat{p}_{ik}(r) \psi) (\hat{p}_{ik}(s) \mathcal{Y}). \quad (107,3)$$

ფერმის ნაწილაკების შემთხვევაში  $\Psi$  უნდა იყოს ანტისიმეტრიული ფუნქცია, ამიტომ, როცა კოორდინატული ფუნქცია სიმეტრიულია სპინური ფუნქცია უნდა იყოს ანტისიმეტრიული და პირიქით. ბოზეს ნაწილაკების შემთხვევაში, როგორც კოორდინატული, ისე სპინურ ფუნქციას ერთნაირი სიმეტრიულობა უნდა ახასიათდეს. მაშასადამე, განხილულ შემთხვევაში ჩვენ დაგვჭირდება ცალკე კოორდინატული და ცალკე სპინური, გარევეული სიმეტრიის შემთხვევაში ტალაური ფუნქციების შედგენა.

განვიხილოთ ორი ფერმის ნაწილაკის სისტემა. მაშინ

$$\Psi(r_1, r_2; s_1, s_2) = \psi(r_1, r_2) \mathcal{Y}(s_1, s_2). \quad (107,4)$$

როცა ნაწილაკებს შორის ურთიერთქმედება არა გვაქვს ან ეს ურთიერთქმედება შეგვიძლია თვითშეთანხმებული ველით შეცვალოთ, წინა პარავრაფში განხილული მეორობის გამოყენებით აღვილად დავწერთ კოორდინატულ ტალაურ ფუნქციას

$$\Psi(r_1, r_2) = \frac{1}{\sqrt{2}} \{ \psi_{n_1}(r_1) \psi_{n_2}(r_2) \pm \psi_{n_1}(r_2) \psi_{n_2}(r_1) \}. \quad (107,5)$$

ამასთან, ზედა ნიშანი გვაძლევს სიმეტრიულ ფუნქციას, ქვედა კი — ანტისიმეტრიულს. მაშასადამე, დაგვრჩა მოსაძებნი სპინური ტალაური ფუნქცია. ასეთი

ფუნქცია კლებშ-ეორდანის კოფიციენტების გამოყენებით ჩვენ უკვე ვიპოვვთ § 50-ში, მაგრამ საჭიროდ მიგვაჩნია მათი ხელახლი მიღება შედარებით ფურთორი ფორმალური გზითაც.

ნაწილაკის სპინური ფუნქცია გვიჩვენებს, თუ რა მნიშვნელობის მიღება შეუძლია სპინს მოცუმული მიმართულებით (ან მიმართულებიდან ვიღოთ  $\alpha$ -ლერძის მიმართულება). როგორც ვიცით, სპინური ფუნქციებისათვის შემოღებულია სპინური აღნიშვნები  $\alpha$  და  $\beta$ . პირველი გვიჩვენებს სპინის პარალელურობის  $\alpha$ -ლერძთან, მეორე კი იმას, რომ სპინს  $\alpha$ -ლერძის საჭინააღმდეგო მიმართულება აქვს. იმ გარემოებას, თუ რომელი ნაწილაკის სპინის პროექციაზეა ლაპარაკი, აღნიშნავენ ასე:  $\alpha(1)$ ,  $\beta(2)$  რაც ნიშნავს, რომ პირველი ნაწილაკის სპინი  $\alpha$ -ლერძის პარალელურია, მეორესი კი — ანტიპარალელური. მიუხედავად იმისა, რომ სპინურ ოპერატორებს პირველი და მეორე ნაწილაკისათვის საკეთით ერთი და იგივე სახე აქვს, ისინი მხოლოდ იმ ნაწილაკის სპინურ ფუნქციაზე მოქმედებენ, რომლის შესაბამის სპინურ ოპერატორსაც წარმოადგენენ. ასე მაგალითად,  $\sigma^z$  მოქმედებს მხოლოდ პირველი ნაწილაკის სპინურ ფუნქციაზე,  $\sigma^x$  კი — მეორე ნაწილაკის სპინურ ფუნქციაზე. სპინური ფუნქციები შეიძლება ასეთი მატრიცების სახით ჩაიწეროს:

$$\chi_{1/2}^{+1/2} = \alpha, \quad \chi_{1/2}^{-1/2} = \beta, \quad (107,6)$$

სადაც

$$\alpha = \begin{pmatrix} 1 & 0 \\ 0 & 0 \end{pmatrix}, \quad \beta = \begin{pmatrix} 0 & 0 \\ 1 & 0 \end{pmatrix}, \quad \alpha^+ = \begin{pmatrix} 1 & 0 \\ 0 & 0 \end{pmatrix}, \quad \beta^+ = \begin{pmatrix} 0 & 1 \\ 0 & 0 \end{pmatrix}. \quad (107,7)$$

ამ ფუნქციების ორთონორმირების პირობა მატრიცულად ასე გამოიხატება:

$$\langle \chi_{1/2}^{\pm m} | \chi_{1/2}^{\pm m'} \rangle = \delta_{mm'}, \quad (m, m' = \pm 1/2) \quad (107,8)$$

ორი ნახევარსპინიანი ნაწილაკის შემთხვევაში სისტემის სპინი  $s$  გამოისახება ფორმულით

$$S = s_1 + s_2, \quad M_s = m_{s_1} + m_{s_2}, \quad S_z = M_s \hbar, \quad (107,9)$$

სადაც  $s_1$  და  $s_2$  სათანადოდ პირველი და მეორე ნაწილაკის სპინებია და

$$\hat{s}_k = -\frac{\hbar}{2} \hat{\sigma}_k \quad (k=1, 2) \quad (107,10)$$

$\sigma_x(\sigma_x^x, \sigma_y^x, \sigma_z^x)$  პარალის მატრიცებია. ორი ნახევრის ტოლი სპინის შემთხვევაში შესაძლებელია შემდეგი მდგრამარეობები:

$$\begin{array}{cccc} \uparrow & \uparrow & \uparrow & \uparrow \\ \alpha(1) \alpha(2) & \beta(1) \beta(2) & \alpha(1) \beta(2) & \beta(1) \alpha(2) \\ M_s = 1 & M_s = -1 & M_s = 0 & M_s = 0 \end{array} \quad (107,11)$$

ამ მდგრამარეობებიდან შეგვიძლია შევაღვინოთ შემდეგი სპინური ფუნქციები:

$$\left. \begin{aligned} \mathcal{Y}_{1/2}^{11}(1, 2) &= \alpha(1) \alpha(2) \\ \mathcal{Y}_{1/2}^{1-1}(1, 2) &= \beta(1) \beta(2) \\ \mathcal{Y}_{1/2}^{10}(1, 2) &= \frac{1}{V^2} \{ \alpha(1) \beta(2) + \alpha(2) \beta(1) \} \\ \mathcal{Y}_{1/2}^{00}(1, 2) &= \frac{1}{V^2} \{ \alpha(1) \beta(2) - \alpha(2) \beta(1) \} \end{aligned} \right\} S=1. \quad (107,12)$$

$$S=0.$$

სპინური ტალღური ფუნქციისათვის შემოვილეთ აღნიშვნა  $\mathcal{Y}_{s_1 s_2}^{SM_s}(1, 2)$ . ეს ფუნქციები თრიო-ნორმირებულია პირობით

$$\langle \mathcal{Y}_{s_1 s_2}^{SM_s} | \mathcal{Y}_{s_1 s_2}^{SM_s} \rangle = \delta_{SS'} \delta_{M_s M'_s}. \quad (107,13)$$

ჩვენ ვხედავთ, რომ ნაწილაკთა სპინების გადასმისას (ე. ი. 1-ის შეცლით 2-ის) პირველი სამი ფუნქცია არ იცელება, მეოთხე კი ნიშანს იცელის, ე. ი. ორი ნახევარსპინიანი ნაწილაკისათვის სულ გვექნება ოთხი ფუნქცია, აქედან სამი სიმეტრიული, ერთი — ანტისიმეტრიული.

რაღაც  $[\hat{\mathbf{S}}^2, \hat{S}_z] = 0$ , ამიტომ მიღებული სპინური ფუნქციები საერთო საკუთარი ფუნქციები უნდა იყოს როგორც  $\hat{\mathbf{S}}^2$ , ისე  $\hat{S}_z$  ოპერატორებისა, ე. ი. უნდა დაცული იყოს განტოლებები;

$$\begin{aligned} \hat{S}_z \mathcal{Y}_{s_1 s_2}^{SM_s}(1, 2) &= \hbar M_s \mathcal{Y}_{s_1 s_2}^{SM_s}(1, 2), \\ \hat{\mathbf{S}}^2 \mathcal{Y}_{s_1 s_2}^{SM_s}(1, 2) - \hbar^2 S(S+1) \mathcal{Y}_{s_1 s_2}^{SM_s}(1, 2). \end{aligned} \quad (107,14)$$

პირველ განტოლებაში  $\mathcal{Y}_{s_1 s_2}^{SM_s}$  ფუნქციის შეტანით მიეღილებთ, რომ  $\mathcal{Y}^{11}$  შეესაბამება  $M_s = +1$  პროექციას,  $\mathcal{Y}^{1-1}$  შეესაბამება  $M_s = -1$  პროექციას, ხოლო  $\mathcal{Y}^{10}$  და  $\mathcal{Y}^{00}$  საერთო სპინის ნულოვან პროექციას  $M_s = 0$ . (107,14)-ის მეორე განტოლება კი საშუალებას მოგვცემს სრული სპინის მნიშვნელობების განსაზღვრისა. თუ გავიხსენებთ, რომ  $S^2 = \mathbf{s}_1^2 + \mathbf{s}_2^2 + 2\mathbf{s}_1 \cdot \mathbf{s}_2$  და გავთვალისწინებთ (107,10) განმარტებას, მაშინ ამ განტოლებას ექნება სახე

$$4S(S+1) \mathcal{Y}^{SM_s} = \{\mathbf{s}_1^0 + \mathbf{s}_2^0 + 2(\mathbf{s}_1^0 \cdot \mathbf{s}_2^0)\} \mathcal{Y}^{SM_s}, \quad (107,15)$$

რაღაც  $\mathbf{s}_1^0 + \mathbf{s}_2^0 = 3$ . ამიტომ

$$2S(S+1) \mathcal{Y}^{SM_s} = \{3 + (\mathbf{s}_1^0 \cdot \mathbf{s}_2^0)\} \mathcal{Y}^{SM_s} \quad (107,16)$$

როცა  $\mathcal{Y}^{SM_s}$ -ის ნაცვლად შევიტანთ (107,12) ფუნქციებს, გამოსათვლელი გვექნება  $(\sigma_1^0 \sigma_2^0) \alpha(1) \beta(2)$  და  $(\sigma_1^0 \sigma_2^0) \alpha(2) \beta(1)$  კომბინაციები, ამიტომ გამოვთვალოთ ისინი წინაშეარ. გვაქვს:

$$\begin{aligned} \sigma_x^0 \alpha &= \begin{pmatrix} 0 & 1 \\ 1 & 0 \end{pmatrix} \begin{pmatrix} 1 \\ 0 \end{pmatrix} = \begin{pmatrix} 0 \\ 1 \end{pmatrix} = \beta, & \sigma_x^0 \beta &= \begin{pmatrix} 0 & 1 \\ 1 & 0 \end{pmatrix} \begin{pmatrix} 0 \\ 1 \end{pmatrix} = \alpha. \\ \sigma_y^0 \alpha &= \begin{pmatrix} 0 & -i \\ i & 0 \end{pmatrix} \begin{pmatrix} 1 \\ 0 \end{pmatrix} = \begin{pmatrix} 0 \\ i \end{pmatrix} = i\beta, & \sigma_y^0 \beta &= \begin{pmatrix} 0 & -i \\ i & 0 \end{pmatrix} \begin{pmatrix} 0 \\ 1 \end{pmatrix} = -i\alpha, \quad (107,17) \\ \sigma_z^0 \alpha &= \begin{pmatrix} 1 & 0 \\ 0 & -1 \end{pmatrix} \begin{pmatrix} 1 \\ 0 \end{pmatrix} = \begin{pmatrix} 1 \\ 0 \end{pmatrix} = \alpha, & \sigma_z^0 \beta &= \begin{pmatrix} 1 & 0 \\ 0 & -1 \end{pmatrix} \begin{pmatrix} 0 \\ 1 \end{pmatrix} = -\beta. \end{aligned}$$

ამ ფორმულების გამოყენებით ადგილად მიეღილებთ, რომ

$$\begin{aligned} (\sigma_1^0 \sigma_2^0) \alpha(1) \beta(2) &= 2\beta(1) \alpha(2) - \alpha(1) \beta(2), \\ (\sigma_1^0 \sigma_2^0) \alpha(2) \beta(1) &= 2\beta(2) \alpha(1) - \alpha(2) \beta(1). \end{aligned} \quad (107,18)$$

და (107,14)-ის მეორე განტოლება მოგვცემს

$$S(S+1) \mathcal{Y}^{SM_s} = 2\mathcal{Y}^{SM_s}; \quad S(S+1) \mathcal{Y}^{SM_s} = 0, \quad (107,19)$$

საიდანაც  $S=1$  სიმეტრიული ფუნქციისათვის და  $S=0 \dots$  ანტისიმეტრიულისათვის. რადგან  $\mathcal{Y}^{10}$  ფუნქციისათვის  $S=1$  და  $M_s=0$ . ამიტომ იგი შეესაბამება სპინის ა-ლერძის მართობულ ორიენტაციას.

ამგვარად, როცა გვაქვს ორი ნახევარსპინიანი ფერძის ნაწილაკი, მაშინ ამ სისტემის კოორდინატული ფუნქცია, როცა სისტემის სრული სპინი  $S=1$ , ანტი-სიმეტრიულია და სიმეტრიული, როცა  $S=0$ . მდგომარეობას  $S=1$  სპინთ უწოდებენ ტრიპლეტურს,  $S=0$  სპინით კი — სინგლეტურს. ყადა, რომ ტრიპლეტური და სინგლეტური მდგომარეობების წონები შესაბამისად იქნება  $3/4$  და  $1/4$ .

ზემოთქმულის თანახმად ადგრლად დაიწერება ორი ნახევარსპინიანი ნაწილაკის სრული ტალღური ფუნქციები:

$$\Psi_{n_1 n_2}^{1M_s}(\mathbf{r}_1, \mathbf{r}_2; s_1, s_2) = \\ = \frac{1}{\sqrt{2}} [\psi_{n_1}(\mathbf{r}_1)\psi_{n_2}(\mathbf{r}_2) - \psi_{n_1}(\mathbf{r}_2)\psi_{n_2}(\mathbf{r}_1)] \mathcal{Y}_{1/2 \ 1/2}^{1M_s}(1, 2) \quad (107, 20)$$

$$\Psi_{n_1 n_2}^{00}(\mathbf{r}_1, \mathbf{r}_2; s_1, s_2) = \\ = \frac{1}{\sqrt{2}} [\psi_{n_1}(\mathbf{r}_1)\psi_{n_2}(\mathbf{r}_2) + \psi_{n_1}(\mathbf{r}_2)\psi_{n_2}(\mathbf{r}_1)] \mathcal{Y}_{1/2 \ 1/2}^{00}(1, 2) \quad (107, 21)$$

პირველი ფუნქცია შეესაბამება ტრიპლეტურ მდგომარეობას მეორე—სინგლეტურს, ახლა შევადგინოთ სამი ფერძის ნაწილაკის სპინური ტალღური ფუნქციები. რა მნიშვნელობა ექნება სრულ სპინი? ორი რომელიმე სპინის შეკრებით მივიღებთ  $S_{12}=0, 1, 1/2$ , რომელთა შეკრებით მესამე სპინთან მივიღებთ  $S=3/2, 1/2$  და  $S=1/2$ , ამიტომ გვექნება  $\left(2 \frac{3}{2} + 1\right) + 2 \left(2 \cdot \frac{1}{2} + 1\right) = 8$  სპინური ფუნქცია. სრული სპინის პროექციებისათვის გვექნება მნიშვნელობები  $M_{S_{12}}=3/2, 1/2, -1/2, -3/2$ ,  $M_{1/2}=\pm 1/2$ . ამიტომ შეგვიძლია შევადგინოთ მდგომარეობები:

$$\begin{array}{cccccccccccc} & \uparrow & \uparrow & \uparrow & \downarrow & \downarrow & \downarrow & \uparrow & \uparrow & \downarrow & \uparrow & \downarrow & \downarrow \\ \alpha(1) \alpha(2) \alpha(3), & \beta(1) \beta(2) \beta(3), & \alpha(1) \alpha(2) \beta(3), & \alpha(1) \beta(2) \beta(3) & & & & & & & & & & \\ \downarrow & \downarrow & \downarrow & \downarrow & \uparrow & \uparrow & \uparrow & \uparrow & \uparrow & \downarrow & \uparrow & \downarrow & \uparrow \\ \beta(1) \alpha(2) \alpha(3), & \beta(1) \alpha(2) \beta(3), & \alpha(1) \beta(2) \alpha(3), & \beta(1) \beta(2) \alpha(3) & & & & & & & & & & \end{array} \quad (107, 22)$$

ამ მდგომარეობებს შეესაბამება ფუნქციები:

$$\mathcal{Y}^{3/2 \ 3/2} = \alpha(1) \alpha(2) \alpha(3),$$

$$\mathcal{Y}^{3/2 \ -3/2} = \beta(1) \beta(2) \beta(3),$$

$$\mathcal{Y}^{3/2 \ 1/2} = \frac{1}{\sqrt{3}} [\alpha(1) \alpha(2) \beta(3) + \alpha(1) \beta(2) \alpha(3) + \beta(1) \alpha(2) \alpha(3)],$$

$$\mathcal{Y}^{3/2 \ -1/2} = \frac{1}{\sqrt{3}} [\beta(1) \beta(2) \alpha(3) + \beta(1) \alpha(2) \beta(3) + \alpha(1) \beta(2) \beta(3)], \quad (107, 23)$$

$$\mathcal{Y}^{1/2 \ 1/2} = \frac{1}{\sqrt{6}} [\alpha(1) \alpha(2) \beta(3) + \alpha(1) \beta(2) \alpha(3) - 2\beta(1) \alpha(2) \alpha(3)]$$

$$\mathcal{Y}^{1/2 \ -1/2} = \frac{1}{\sqrt{6}} [\beta(1) \beta(2) \alpha(3) + \beta(1) \alpha(2) \beta(3) - 2\alpha(1) \beta(2) \beta(3)]$$

$$\gamma^{1/2-1/2} = \frac{\alpha(1)}{\sqrt{2}} \{ \alpha(2) \beta(3) - \beta(2) \alpha(3) \},$$

$$\gamma^{1/2+1/2} = \frac{\beta(1)}{\sqrt{2}} \{ \beta(2) \alpha(3) - \alpha(2) \beta(3) \}.$$

პირველი ოთხი ფუნქცია სიმეტრიულია სამივე ნაწილაკის სპინის გადასმის მიმართ, მეტყო და მეტყველება ფუნქცია სიმეტრიულია 2 და სამი ნაწილაკის მიმართ, ზოლო ბოლო ორი ანტისიმეტრიულია 1 და 3 ნაწილაკის სპინბმის გადასმის მიმართ.

ტალღური ფუნქციის სიმეტრიულობის დამოკიდებულება მომენტზე. განვიხილოთ ორი ნახევარსპინიანი ფერმინი და დაკუშვათ, რომ მათ შორის ურთიერთქმედება აქვს ცენტრალური ხასათი. ამ ორი ნაწილაკის შემაერთებელ რადიუსებზორს ექნება სახე  $r = r_1 - r_2$ . მაშინ ამ ორი ნაწილაკის სივრცული კოორდინატების გადასხა ნიშნავს  $(r_2 - r_1)$ -ს. ე. ი.  $r$  იცვლება —  $r$ -ით. ცენტრალურ ველში ფარდობითი მოძრაობის ტალღურ ფუნქციას აქვს  $R_{nl}(r) Y_{lm}(\theta, \varphi)$  სახე, ამიტომ  $r \rightarrow -r$  გარდაქმნის დროს  $r \rightarrow r$ ,  $0 \rightarrow \pi - \theta$  და  $\varphi \rightarrow \pi + \varphi$ . ასეთი გარდაქმნისას სფერულ ფუნქციას წინ უკლება  $(-1)^l$  მამრავლი. ე. ი. კოორდინატული ტალღური ფუნქცია სიმეტრიულია, როცა  $l$  ლუწია და ინტისიმეტრიული, როცა  $l$  კენტრია. ამგარად, ცენტრალური ურთიერთქმედების დროს კოორდინატული ფუნქციის ლუწია და სიმეტრიის თვისებები ერთმანეთს ემთხვევა და ორივე ფარდობითი მოძრაობით განისაზღვრება.

ფერმის ნაწილაკების სრული ტალღური ფუნქცია ანტისიმეტრიული უნდა იყოს ნაწილაკთა გადასმის მიმართ (ე. ი., სივრცული და სპინური კოორდინატების ერთდროული გადასმის მიმართ), ამიტომ ტრიპლეტურ მდგომარეობაში  $S=1$  (სიმეტრიული სპინური ფუნქცია) დასაშვებია მოძრაობა მხოლოდ კენტრ აზიმუტალური კენტრური რიცხვებით, მაშინ როდესაც სინგლეტურ მდგომარეობაში  $S=0$  მხოლოდ და მხოლოდ ისეთი ფარდობითი მოძრაობაა დასაშვები, რომელიც ხასიათდება ლუწია აზიმუტალური კენტრური რიცხვებით. ასე მაგალითად, ა-მდგომარეობაში ( $l=0$ ) შესაძლებელია მხოლოდ  $S=0$ , ე. ი. მდგომარეობა იქნება სინგლეტური და ა. შ.

რადგან სპინების გადასმისას (107,12) ფუნქციის ნიშანს განსაზღვრავს  $(-1)^{S+1}$  მამრავლი, ამიტომ ორი ფერმის ნაწილაკის ფარგლებითი მოძრაობის სრულ ტალღურ ფუნქციას ნაწილაკთა გადასმის დროს გაუჩნდება  $(-1)^{l+S+1}$  ნიშანი. საიდანაც, როცა  $S=1$ , მაშინ  $l=1, 3, 5, \dots$  და, როცა  $S=0$ , მაშინ  $l=0, 2, 4, \dots$  და ა. შ.

### სავარჯიშო მაგალითები

1. ვიპოვთ, რის ტოლია  $(\sigma_1^0 \sigma_2^0)$  გამოსაზულების საკუთარი მნიშვნელობები.
- ა მოხსნა. (107,16) ფორმულიდან აშკარაა, რომ

$$(\sigma_1^0 \sigma_2^0) = -3, \quad \text{როცა } S=0. \quad (107,24)$$

სიდანაც შევიდებთ

$$(\sigma_1^0 \sigma_2^0) = -3, \quad \text{როცა } S=0. \quad (107,25)$$

$$(\sigma_1^0 \sigma_2^0) = 1, \quad \text{როცა } S=1.$$

2. ტრიპლეტურ მდგომარეობაში საკუთარი მნიშვნელობა 1-ის ტოლია, სინგლეტური კი—3-ის.
2. (107,16) გამოსაზულების საშუალებით შედადგინოთ ისეთი მაგრატორი, რომელსაც ექვება საკუთარი მნიშვნელობები: +1, როცა  $S=1$  და —1, როცა  $S=0$ .

3. ასეთი:

$$R = \frac{1 + (\sigma_1^0 \sigma_2^0)}{2}. \quad (107,26)$$

3. (107,23) სპინერი ფუნქციები ისე ჩატექოთ, რომ  $\mathcal{G}^{1/2-1/2}$  და  $\mathcal{G}^{-1/2-1/2}$  ფუნქციები სიმეტრული და ანტისიმეტრული იყოს 1 და 2 ნაწილების გადასხის მიზართ. შეადარეთ ს 50-ის ბოლოში განხილულ მაგალითს.

4. უაგამტყაიცოთ, რომ თუ  $\mathcal{G}_{i_1 i_2 \dots i_N}$   $N$ -რანგის ერთეულოვანი სრულიად ანტისიმეტრული ტენსორია, ნაშინ

$$\sum_{i_2 \dots i_N} \mathcal{G}_{i_1 i_2 \dots i_N} \mathcal{G}_{i'_1 i_2 \dots i_N} = (N-1)! \delta_{i_1 i'_1}. \quad (107,27)$$

მარცხენა მხარე წარმოადგენს შეორე რანგის ტენსორს. რადგან იგი მიიღება ორი აუსილური ტენსორის დაკვირთებით, ამიტომ იგი იწერა პოლარული ტენსორი. გარდა ამისა  $\mathcal{G}_{i_1 i_2 \dots i_N}$  ერთეულოვანი ტენსორია, ამიტომ იგი შეიძლება იყოს პროპრიული მხოლოდ  $\delta_{i_1 i'_1}$  ტენსორია, ამიტომ შევვიძლია დაკვირთ

$$\sum_{i_2 \dots i_N} \mathcal{G}_{i_1 i_2 \dots i_N} \mathcal{G}_{i'_1 i_2 \dots i_N} = A \delta_{i_1 i'_1}.$$

ტოლობის ორივე მხარე მარტენ ერთხელ კიდევ დავაქვეითოთ. ამისათვის გავუტოლოთ  $i_1$  ინდექსი  $i'_1$ -ს და ავჯამოთ ერთიან  $N$ -მდე. მარცხნივ მივიღებთ  $N!$  მარჯვნივ კი  $AN$ ; მაშაალაშე,  $A=(N-1)!$  და მავიღებთ ფასმტკიცებელ ტოლობას.

5. უაგამტყაიცოთ, რომ

$$\sum_{i_3 \dots i_N} \mathcal{G}_{i_1 i_2 i_3 \dots i_N} \mathcal{G}_{i'_1 i'_2 i_3 \dots i_N} = (N-2)! (\delta_{i_1 i'_1} \delta_{i_2 i'_2} \dots \delta_{i_1 i'_2} \delta_{i_2 i'_1}). \quad (107,28)$$

ამ ტოლობის მარცხნია მხარე წარმოადგენს მეოთხე რანგის პოლარულ ტენსორს ამიტომ იგი პროპრიული იწერა ბერ შეორე რანგის ორი ტენსორის ნაშრავლის; ამასთან, ტენსორი ნიშანს უნდა ცვლილეს  $i_1 \rightleftharpoons i_2$  და  $i'_1 \rightleftharpoons i'_2$  ინდექსების შეცვლისას, ამიტომ

$$\sum_{i_3 \dots i_X} \mathcal{G}_{i_1 i_2 i_3 \dots i_N} \mathcal{G}_{i'_1 i'_2 i_3 \dots i_N} = B [\delta_{i_1 i'_1} \delta_{i_2 i'_2} - \delta_{i_1 i'_2} \delta_{i_2 i'_1}]. \quad (107,29)$$

ეს გამოსახულება დავაქვევითოთ ერთხელ, ამისათვის  $i_2$  გავუტოლოთ  $i'_2$ -ს და ავჯამოთ. (107,27)  
ტოლობის გამოყენებით მივიღებთ  $B=(N-2)!$ , რაც ამტკიცებს (107,28) ფორმულას.

## მრავალებულების ატომები

ამ თავში განვიხილავთ მნიშვნელოვან კვანტურ სისტემებს. რთულ ატომებს, ე. ი. ატომებს, რომლებიც შეიცავს მრავალ ელექტრონს. ამგვარი სისტემების შესწავლის მეტად დიდი მნიშვნელობა აქვს. რადგან ამ შექმნებით საქმე გვაქვს მრავალი სხვულის ძოლუნასთან, ამიტომ ენერგიისა და ტალაზრი ფუნქციების ზუსტად მოვალეობის შეუძლებელია. ამასთან დაკავშირებით რთული ატომების შესასწავლას შემოღებულია მრავალი მიახლოებითი მეთოდი. ჩვენ განვიხილავთ ენერგიის გამოთვლის პარტია-ფორისა და თომას-ფერმის მეთოდს. შემდევ შევუდგებით რთული ატომების თვისებების ზოგად დახსასიათებას და გავარკვევთ საკითხს, თუ როგორ უზება კვანტური მექანიკა მენდელეევის პერიოდული სისტემის ძირითადი თავისებურების შესწავლას. ამავე თავში განვიხილავთ წყალბადის მოლეკულის საკითხსაც.

### § 108. ჰელიუმის ატომი

თავისი სირთულის მიხელვით წყალბადის ატომის შემდევ დგას ჰელიუმის ატომი. ეს უკანასკნელი წარმოადგენს სისტემას, საღაც  $+2e$  მუხტის მქონე ატომგვულის, ველში მოძრაობს ორი ელექტრონი. ჩვენ შეგვიძლია განვიხილოთ ჰელიუმისებური ატომებიც, ე. ი. ისეთი ატომები, რომელთა გულს  $+Ze$  მუხტი აქვს, ელექტრონთა რიცხვი კი ისევ ორის ტოლია. ასეთი ატომები იქნება  $Li^+$ ,  $Be^{++}$  და ა. შ. აღსანიშნავია, რომ ელემენტარულმა კვანტურმა მექანიკამ სრული მარცხი სწორებ ჰელიუმის ატომის საკითხში გაიცადა. ჰელიუმის ატომის სხვადასხვა უცნაური მოლებები ხშირად მდგრად მდგომარეობასაც კი არ იძლეოდა. კვანტურმა მექანიკამ ჰელიუმის პრობლემა თავისუფლად გადაჭრა და ახსნა ყველა ის თავისებურებანი, რომლებიც ახასიათებს ამ ატომს. ჰელიუმის ატომის პრობლემის გადაწყვეტა პირველად 1926 წელს მოგვია პაზნენბერგმა; სახელლობრ, პაზნენბერგის მიერ ახსნილი იყო, თუ რატომ გააჩნია ჰელიუმის ატომს ორი ერთმანეთისაგან განსხვავებული მდგომარეობა—ორთო და პარა მდგომარეობა.

დავუშვათ, ჰელიუმის ატომის ორ ელექტრონს შორის სპინ-სპინ  $(\pm, \mp)$  ურთიერთქმედება და სპინ-ორბიტალური  $(l, s)$  ურთიერთქმედება იმდენად მცირეა, რომ პირველ მიახლოებაში მათი უგულებელყოფა შეიძლება; მაშინ ჰელიუმის ატომის ფუნქცია შეგვიძლია წარმოვიდგინოთ როგორც კოორდინატული და სპინური ფუნქციების ნამრავლი ე. ი.

$$\Psi(r_1, r_2; s_1, s_2) = \psi(r_1, r_2) \mathcal{Y}(s_1, s_2). \quad (108,1)$$

რადგან ელექტრონები ფერმის ნაწილაკებია, ამიტომ  $\Psi(r_1, r_2; s_1, s_2)$  უნდა იყოს ანტისიმეტრიული ფუნქცია. როგორც ზემოთ აღნიშნეთ, როცა სრული სპინი

$N=1$ , სპინური ფუნქცია სიმეტრიულია (გვაქვს სამი ფუნქცია), ამიტომ  $\psi(r_1, r_2)$  იქნება ანტისიმეტრიული. ხოლო, როცა სრული სპინი  $N=0$ , სპინური ფუნქცია ანტისიმეტრიულია (გვაქვს ერთი ფუნქცია), ამიტომ  $\psi(r_1, r_2)$  უნდა იყოს სიმეტრიული. ამგვარად, ჰელიუმის ატომის ენერგეტიკული დონეები იყოფა ორ კლასად, რომელთაგან ერთია კლასია ის, რომელიც შეესაბამება  $S=1$  სპინს, მეორე კი —  $S=0$  სპინს. რადგან  $S=1$  სპინის შემთხვევაში გვაქვს სამი შესაძლო თრიენტაცია. ამიტომ სპინ-ორბიტალური ურთიერთქმედება გამოიწვევს  $S=1$  სპინის შესაბამისი დონეს სამარ გახლებას. ე. ი. მივიღებთ ტრიპლეტს.  $S=0$  სპინის შესაბამისი დონე კი ერთმაგი — სინგლეტური იქნება.

რადგან ჰელიუმის ატომის ეს ორი მდგომარეობა აიწერება სხვადასხვა ტიპის სიმეტრიულობის მქონე ტალღური ფუნქციებით. ხოლო სიმეტრიულობის ხასიათი დროის მიხედვით არ იყვალება, ამ ორი ტიპის ჰელიუმს შორის გადასვლა არ უნდა ხდებოდეს, ე. ი. ბუნებაში უნდა ასესბობდეს ორი ტიპის ჰელიუმი; ერთი, რომელიც აიწერება სიმეტრიული სპინური ფუნქციით ( $N=1$ ) და მეორე: რომელიც აიწერება ანტისიმეტრიული სპინური ფუნქციით ( $S=0$ ), პირველი ტიპის ჰელიუმს ( $S=1$ ) უწინდებენ ორთოპელიუნის. მეორე ტიპისას კი — პარაპელიუმს ( $S=0$ ).

დავამტკიცოთ, რომ ენერგეტიული უფრო დაბალ მდგომარეობას შეესაბამება პარაპელიუმი. მართლაც, პარაპელიუმის კოორდინატული ფუნქცია სიმეტრიულია, ორთოპელიუმისა კი ანტისიმეტრიული. ამიტომ  $r_1=r_2=r$  მნიშვნელობათათვეს ჭროთ ( $r, r$ ) = — $\psi_{\text{როთ}}(r, r)$ , საიდანაც  $\psi_{\text{როთ}}=0$ , ე. ი. ორთოპელიუმის ტალღურ ფუნქციას გააჩნია კვანძი. ჩვენ კი ვიცით, რომ ძირითად მდგომარეობაში ტალღურ ფუნქციას კვანძი არ უნდა ჰქონდეს. ამიტომ ეს მდგომარეობა უნდა ხასიათდებოდეს სიმეტრიული კოორდინატული ტალღური ფუნქციით. მაშასადამე, ჰელიუმის ატომის ძირითად მდგომარეობას შეესაბამება პარაპელიუმის შდგომარეობა.

ჩვენ აღნიშვნეთ, რომ ორთოპელიუმის პარაპელიუმში გადასვლა შეუძლებელია. მაგრამ ეს მტკიცება სამართლინია მხოლოდ მაშინ, როცა „ $ts$ “ ურთიერთქმედებას არ ვითვალისწინებთ. სინამდვილეში კი „ $ts$ “ ურთიერთქმედება, მართალია, მცირეა, მაგრამ იგი მაინც არსებობს; ამიტომ ორთო-პარა გადასვლა (ან პირიქით) შესაძლებელია. ეს ვარემოვება არ ეწინააღმდეგება იმას, რომ სრული ტალღური ფუნქციის სიმეტრიულობის ხასიათი დროის მიხედვით არ უნდა შეიცვალოს, რადგან, თუ კოორდინატული და სპინური ფუნქციების სიმეტრიულობის შეცვლით საწინააღმდეგოთი, სრული ფუნქციის სიმეტრიულობის ხასიათი უცვლელი დარჩება. იმის გამო, რომ „ $ts$ “ ურთიერთქმედება მცირეა, აღნიშნული გადასვლაც ნაკლებად საალბათო იქნება.

ორთო და პარაპელიუმის არსებობის დამტკიცებით აიხსნა ყველა ის თავისებურებანი, რომლებიც გააჩნია ჰელიუმის სპექტრს; სახელდობრ, ახსნილ იქნა, თუ რატომ არა აქვს პარაპელიუმს მულტიპლეტური სტრუქტურა, იმ დროს როცა ორთოპელიუმის სპექტრალურ ხაზებს ასეთა სტრუქტურა ახასიათებს.

ჰელიუმის ატომის ენერგეტიული დონეები, ვიპოვთ ჰელიუმის ატომის ენერგეტიული დონეები და ტალღური ფუნქციები. ჰელიუმის ატომის ამოცანის ამოსახსნელად არსებობს მრავალი მეთოდი. მათგან ჩვენ განვიხილავთ ყველაზე მარტივს — შეშფოთების თეორიას, თუმცა უნდა აღვნიშნოთ, რომ რაოდენობრივად ეს მეთოდი ვაკილებით უფრო ცუდ შედეგებს იძლევა, ვიდრე სხვა მიახლოებით მეთოდები. ამოცანის შახლოებითი მეთოდებით ამოხსნა გამოწვეულია იმით, რომ ჰელიუმში საქმე გვაქვს სამი სხეულის ამოცანასთან, რომელიც ზეს

ტაღ არც კლასიკურში და არც კვანტურ შექანიკაში არ ისსხება. ჰელიუმის ატომის აშოგანას აშოგესნით ორი დაშვებით, სახელ დობრ, არ გავითვალისწინება: 1) „ss“ და „1s“ ურთიერთქმედებას და 2) რელატივისტურ ეფექტებს: ამ შემთხვევაში ჰელიუმის ატომის ჰამილტონიანს ექნება სახე

$$\hat{H} = -\frac{\hbar^2}{2\mu}\Delta_1 - \frac{\hbar^2}{2\mu}\Delta_2 - \frac{2e^2}{r_1} - \frac{2e^2}{r_2} + \frac{e^2}{r_{12}}; \quad (108,2)$$

აქ  $\frac{2e^2}{r_i}$  არის  $i$ -ური ელექტრონის ურთიერთქმედების პოტენციალური ენერგია. ატომის გულთან, რომლის მუხტი არის  $+2e$ ,  $\frac{e^2}{r_{12}}$  ელექტრონების ურთიერთქმედების ენერგია,  $-\frac{\hbar^2}{2\mu}\Delta_i$  კი არის  $i$ -ური ელექტრონის კინეტიკური ენერგიის ოპერატორი. (108,1) ასე დაგწეროთ:

$$\hat{H}(\mathbf{r}_1, \mathbf{r}_2) = \hat{H}_0(\mathbf{r}_1) + \hat{H}_0(\mathbf{r}_2) + \hat{H}'(\mathbf{r}_{12}), \quad (108,3)$$

სადაც

$$\hat{H}_0(\mathbf{r}_i) = -\frac{\hbar^2}{2\mu}\Delta_i - \frac{2e^2}{r_i} \quad (i=1, 2) \quad (108,4)$$

და

$$\hat{H}'(\mathbf{r}_{12}) = \frac{e^2}{r_{12}}, \quad (108,5)$$

გაძოვიყენოთ შეშფოთების ოქორია.  $\hat{H}'(\mathbf{r}_{12})$  განვიხილოთ როგორც მცირე შეშფოთება (თუმცა უნდა აღვნიშვნოთ, რომ იყო ძალიან მცირე არ არის დანარჩენ წევრებთან შედარებით). შევარჩიოთ ნულოვანი მიახლოების ტალღური ფუნქციები. როცა  $H'(\mathbf{r}_{12})=0$ , მაშინ ელექტრონებს შორის ურთიერთქმედება არა გვაქვს და ორივე ელექტრონი დამოუკიდებლად მოძრაობს გულის ირგვლივ. ვთქვათ, პირველი ელექტრონის ენერგია  $E_n$ -ის ტოლია და ხასიათდება  $\psi_n(\mathbf{r}_1)$  ტალღური ფუნქციით; მეორე ელექტრონის სათანადო სიდიდეები იყოს  $E_m$  და  $\psi_m(\mathbf{r}_2)$  ( $E_n, E_m, \psi_n, \psi_m$  წყალბადისებური ატომის ენერგია და ტალღური ფუნქციები იქნება), მაშინ ნულოვანი მიახლოების ფუნქციად, რომელიც ხასიათდება  $E_{nm}=E_n+E_m$  ენერგიით, შეგვიძლია ავიღოთ

$$\psi_1(\mathbf{r}_1, \mathbf{r}_2) = \psi_n(\mathbf{r}_1)\psi_m(\mathbf{r}_2) \quad (108,6)$$

ფუნქცია. ეს რომ მართლაც ასეა, ჩანს § 100-დან, სადაც ვაჩვენეთ, რომ, როცა ნაწილაკებს შორის ურთიერთქმედება არ გვქონდა, სისტემის ფუნქცია ცალკეული ნაწილაკის ტალღური ფუნქციების გამრავლებით მიიღებოდა ((100,22) ფორმულა), ენერგია კი—ცალკეული ნაწილაკების ენერგიების შეკრებით ((100,23) ფორმულა).

გრძლივ ამისა, რადგან ელექტრონები იგივერი ნაწილაკებია, ენერგიის  $E_{nm}=E_n+E_m$  მნიშვნელობას შეესაბამება (108,6)-დან ელექტრონების გადასმით მიღებული ფუნქციაც, ე. ი.

$$\psi_2(\mathbf{r}_1, \mathbf{r}_2) = \psi_n(\mathbf{r}_2)\psi_m(\mathbf{r}_1), \quad (108,7)$$

რომელიც აგრეთვე აქმაყოფილებს შრედინგერის შეუშფოთებელ განტოლებას:

$$(H_0(\mathbf{r}_1) + H_0(\mathbf{r}_2))\psi_n(\mathbf{r}_2)\psi_m(\mathbf{r}_1) = \psi_n(\mathbf{r}_2)H_0(\mathbf{r}_1)\psi_m(\mathbf{r}_1) + \\ + \psi_m(\mathbf{r}_1)H_0(\mathbf{r}_2)\psi_n(\mathbf{r}_2) = (E_n + E_m)\psi_n(\mathbf{r}_2)\psi_m(\mathbf{r}_1) \quad (108,8)$$

ამგვარად, ენერგიის ერთ  $E_{nm}^0 = E_n + E_m$  საკუთარ მნიშვნელობას შეესაბამება ორი ტალღური ფუნქცია  $\Psi_1(\mathbf{r}_1, \mathbf{r}_2)$  და  $\Psi_2(\mathbf{r}_1, \mathbf{r}_2)$ , რომლებიც ერთმანეთისაგან განსხვავდებიან ზეოლოდ იმით, რომ ერთში ელექტრონები გადასმულია. ამგვარად, საქმე გვაქვს გადაგვარებასთან. მა გადაგვარებას გაცვლით გადაგვარებას უწოდებენ. ამასთან გვაქვს ორჯერადი გადაგვარება. მაშისაცამე, საჭიროა გამოვიყენოთ შეშფოთების თეორია გადაგვარების შემთხვევაში. როგორც შეშფოთების თეორიის განხილვისას ვაჩვენეთ, სწორი ნულოგანი მიახლოების ფუნქციას ექნება სახე:

$$\Phi(\mathbf{r}_1, \mathbf{r}_2) = b_1 \Psi_1(\mathbf{r}_1, \mathbf{r}_2) + b_2 \Psi_2(\mathbf{r}_1, \mathbf{r}_2), \quad (108,9)$$

ხოლო  $b_1$ ,  $b_2$  კოეფიციენტები და ენერგიის საკუთარი მნიშვნელობები უნდა ვიპოვოთ (73,8) განტოლებიდან

$$\sum_{k=1} b_k (H'_{ik} - E^{(1)} \delta_{ik}) = 0, \quad (108,10)$$

გაშლილად ეს განტოლება შემდეგი სახით გადაიწერება:

$$\begin{aligned} (H'_{11} - E^{(1)}) b_1 + H'_{12} b_2 &= 0, \\ H'_{21} b_1 + (H'_{22} - E^{(1)}) b_2 &= 0. \end{aligned} \quad (108,11)$$

ცხადია, რომ ჰელიუმის ატომის ენერგია პირველ მიახლოებაში ტოლი იქნება გამოსახულების  $E = E_{nm}^0 + E^{(1)}$ . (108,10)-ში შემავალი  $H'_{ik}$  არის შეშფოთების ენერგიის მატრიცული ელემენტები; სახელდობრ,

$$\begin{aligned} H'_{11} &= \int \Psi_1^*(\mathbf{r}_1, \mathbf{r}_2) \hat{H}'(\mathbf{r}_{12}) \Psi_1(\mathbf{r}_1, \mathbf{r}_2) d\mathbf{r}_1 d\mathbf{r}_2, \\ H'_{12} &= \int \Psi_1^*(\mathbf{r}_1, \mathbf{r}_2) \hat{H}'(\mathbf{r}_{12}) \Psi_2(\mathbf{r}_1, \mathbf{r}_2) d\mathbf{r}_1 d\mathbf{r}_2, \end{aligned} \quad (108,12)$$

ხოლო  $H'_{22} = H'_{11}$  და  $H'_{12} = H'_{21}$ . მართლაც, მაგალითად,  $H'_{22}$  განსხვავებული იქნება  $H'_{11}$ -ისაგან იმით, რომ განსაზღვრულ ინტეგრალში  $\mathbf{r}_1$  შეცვლილია  $\mathbf{r}_2$ -ით, რაც ინტეგრალის მნიშვნელობას არ ცვლის. შემოვიღოთ აღნიშვნები:

$$C = H'_{11} = H'_{22}, \quad A = H'_{12} = H'_{21}.$$

თუ გავიხსენებთ (108,5), (108,6) და (108,7) გამოსახულებებს  $C$  და  $A$  მატრიცული ელემენტებისათვის გვექნება:

$$C = e^2 \int |\Psi_n(\mathbf{r}_1)|^2 |\Psi_m(\mathbf{r}_2)|^2 \frac{d\mathbf{r}_1 d\mathbf{r}_2}{r_{12}}, \quad (108,13)$$

$$A = e^2 \int \Psi_m^*(\mathbf{r}_1) \Psi_n(\mathbf{r}_1) \Psi_n^*(\mathbf{r}_2) \Psi_m(\mathbf{r}_2) \frac{d\mathbf{r}_1 d\mathbf{r}_2}{r_{12}}. \quad (108,14)$$

როგორც ვხედავთ  $C$  და  $A$  ნამდვილი სიდიდეებია  $C^* = C$  და  $A^* = A$ . (108,11) სისტემის საუკუნებრივ განტოლებას ექნება სახე

$$\begin{vmatrix} C - E^{(1)} & A \\ A & C - E^{(1)} \end{vmatrix} = 0, \quad (108,15)$$

რომლის ამანახსნი  $E^{(1)}$ -სათვის იქნება

$$E^{(1)} = C \pm A. \quad (108,16)$$

ახლა საჭიროა ენერგიის ეს შესწორება შევიტანთ (108,11) სისტემაში და ვიპოვთ  $b_1$  და  $b_2$ . პირველი ფესის  $E^{(1)} = C + A$  შეტანა მოგვცემს  $b_1 = b_2$  ხოლო შეორე  $E^{(1)} = C - A$  ფესისათვის განტოლების მონაბენი იქნება  $b_1 = -b_2$ . განსასაზღვრავი დაგვრჩა ერთი მუდმივი, რომელსაც ვიპოვთ ნორმირების პირობებან. ამგვარად, ნულოვანი მიახლოვების ფუნქციებისათვის, (108,9) ფორმულის თანაბ-მად გვექნება:

$$\varphi_s = \frac{1}{\sqrt{2}} \left( \Psi_1 + \Psi_2 \right) = \frac{1}{\sqrt{2}} \{ \psi_n(\mathbf{r}_1) \psi_m(\mathbf{r}_2) + \psi_n(\mathbf{r}_2) \psi_m(\mathbf{r}_1) \}, \quad (108,17)$$

$$\varphi_a = \frac{1}{\sqrt{2}} \left( \Psi_1 - \Psi_2 \right) = \frac{1}{\sqrt{2}} \{ \psi_n(\mathbf{r}_1) \psi_m(\mathbf{r}_2) - \psi_n(\mathbf{r}_2) \psi_m(\mathbf{r}_1) \}. \quad (108,18)$$

$\frac{1}{\sqrt{2}}$  არის ნორმირების კოეფიციენტი. ელექტრონების გადასმის მიმართ პირველი ფუნქცია სიმეტრიულია, მეორე კი — ანტისიმეტრიული. (108,16) ფორმულის თანახმად, სიმეტრიულ კოორდინატულ ფუნქციას (პარაპელიუმი) შეესაბამება ენერგია  $E_{aa} = E_n + E_m + C + A$ , (108,19)

ხოლო ანტისიმეტრიულ კოორდინატულ ფუნქციას (ორთოპელიუმი)

$$E_{aa} = E_n + E_m + C - A \quad (S=1) \quad (108,20)$$

ამგვარად, თეორია გვიჩვენებს, რომ უნდა არსებობდეს პელიუმის ატომის ორი მდგომარეობა. ერთი, რომელიც აიწერება სიმეტრიული კოორდინატული ფუნქციით (პარაპელიუმი), და მეორე, რომელიც აიწერება ანტისიმეტრიული კოორდინატული ფუნქციით (ორთოპელიუმი). ამასთან, (108,17) და (108,18) ფუნქციები ამ ორი მდგომარეობის ნულოვანი მიახლოების ტალღურ ფუნქციებს წარმოადგენს,  $E_{aa}$  და  $E_{aa}$  კი — ენერგიებს. სხვაობა პარა და ორთო მდგომარეობის ენერგიებს  $E_{aa} - E_{aa} = 2A$ . ამიტომ პელიუმის ატომის დონეები იხლიჩება ენერგეტულად განსხვავებულ ორ-ორთო და პარაპელიუმის — ღონევ.

ვაჩვენთ, რომ პელიუმის ნორმალურ მდგომარეობას პარაპელიუმის მდგომარეობა  $\Psi_{aa}$  შეესაბამება. მართლაც, ძირითად მდგომარეობაში  $n=1$  და  $E_1$  ენერგიას შეესაბამება მხალეოდ ერთი ტალღური ფუნქცია — წყალბადისებური ატომის ძირითადი მდგომარეობის ფუნქცია  $\psi_{100}(\mathbf{r}_1)$ . ძირითად მდგომარეობაში  $n=m=1$  ე. ი.  $\varphi_a = 0$ , ამიტომ დაგვრჩება  $\varphi_s$ , ე. ი. პარაპელიუმის მდგომარეობა. მის ტალღურ ფუნქციას ნულოვან მიახლოებაში ექნება სახე

$$\Psi(r_1, r_2) = \frac{2^3}{\pi a_0^3} e^{-\frac{2}{a_0}(r_1 + r_2)} \quad (108,21)$$

აღვნიშნოთ, რომ  $C$ -ს უწოდებენ კულონურ ენერგიას, ხოლო  $A$ -ს — გაცვლით ენერგიას. შეიძლება ჩვენება, რომ პელიუმის ატომისათვის  $A > 0$ . რიცხვთი გამოთვლები დაახლოებით  $10-20\%$ -ით განსხვავდება ცდის მონაცემებისაგან. აღნიშნული მიახლოების უხეშობის გამო უკეთესი თანხვდენა არც იყო მოსალოდნელი. ოღონდ შევნიშნოთ, რომ არსებობს სხვა მიახლოებითი მეთოდები, რომელთა თანახმად გამოთვლილი მნიშვნელობები კარგ თანხმობაშია ექსპერიმენტურ მონაცემებთან.

ბოლოს შევნიშნოთ, რომ სინამდვილეში ენერგეტული დონეების რიცხვი იმაზე მეტია, რასაც იძლევა გაცვლითი გადაგვარება. ეს გაძოწვეულია იშით,

რომ ჰელიუმის ატომში გაცვლითი გადაგვარების გარდა იხსნება „I“ გადაგვარებაც. მართლაც, დაცუშვათ, რომ გვაქვს წყალბადისტური ატომი. შაშინ, როგორც ვიცით, მისთვის აფგილი აქვს „I“ გადაგვარებას. თუ ასეთ ატომს დაცუმატებთ ერთ ელექტრონს, მაშინ ატომში შეიქმნება დამატებითი ელექტრული ველი, რომელიც მოახდენს წყალბადისტური ატომის ღონეების გახლების, ე. ი. ადგილი ექნება, ასე ვთქვათ, „შინაგან შტარკ ეფექტს“. ამიტომ ჰელიუმის ატომის ენერგია აგრეთვე 7-ის ფუნქციაც იქნება, რაც მოგვცემს დამატებით გნერატორულ ღონეებს.

### § 109. გაცვლითი ურთიერთობება

ამ პარაგრაფში გამოვარკვით  $C$  და  $A$  სიდიდეების ფიზიკური არსი. ამ მიზნით შემოვიდოთ აღნიშვნები:

$$\rho_{nn}(\mathbf{r}) = -e |\Psi_n(\mathbf{r})|^2, \quad (109,1)$$

$$\rho_{mn}(\mathbf{r}) = -e \Psi_m^*(\mathbf{r}) \Psi_n(\mathbf{r}). \quad (109,2)$$

$\rho_{nn}(\mathbf{r})$  წარმოადგენს ელექტრული ღრუბლის საშუალო სიძრივეს რ წერტილში;  $\rho_{mn}(\mathbf{r})$ -ს კი უწოდებენ გაცვლით სიძრივეს. ეს სიძრივე დაკავშირებულია  $\Psi_m$  და  $\Psi_n$  ტალღური ფუნქციების გადაფარებასთან, ე. ი. გამოწვეულია იმით, რომ ელექტრონს ნაწილობრივ შეუძლია მოხვდეს  $\Psi_n(\mathbf{r})$  და ნაწილობრივ  $\Psi_m(\mathbf{r})$  მდგრადრებაში.  $C$  და  $A$  ინტეგრალები აღნიშვნული სიძრივეებით ასე გადაიწერება:

$$C = \int \frac{\rho_{nn}(\mathbf{r}_1) \rho_{mm}(\mathbf{r}_2)}{r_{12}} d\mathbf{r}_1 d\mathbf{r}_2, \quad (109,3)$$

$$A = \int \frac{\rho_{mn}(\mathbf{r}_1) \rho_{mn}^*(\mathbf{r}_2)}{r_{12}} d\mathbf{r}_1 d\mathbf{r}_2; \quad (109,4)$$

$C$ -ს ფიზიკური შინაარსი აღვილად გასაგებია. იგი წარმოადგენს ორი,  $\rho_{nn}(\mathbf{r}_1)$  და  $\rho_{nn}(\mathbf{r}_2)$ , სიძრივეების ელექტრული ღრუბლების კულონური ურთიერთებების ენერგიას. ამიტომაც  $C$ -ს უწოდებენ კულონურ ენერგიას.  $A$ -ს, როგორც აღვიშებთ, უწოდებენ ვაცვლით ენერგიას. გაცვლითი ენერგიაც გამოწვეულია ძრავის ურთიერთებებით. მართლაც, რომ ავილოთ  $e=0$ , მივიღებთ  $A=0$ . ვაჩვენოთ, რომ გაცვლითი ენერგია გამოწვეულია  $\Psi_1$  და  $\Psi_2$  ფუნქციების ინტერაქციით. ამისათვის ვიპოვოთ  $E^{(1)}$  შესწორება ჰელიუმის ატომისათვის. როგორც ცნობილია, იგი ტოლია შეშფოთების ენერგიას საშუალო მნიშვნელობისა. ამიტომ

$$E^{(1)} = \frac{e^2}{r_{12}} = \int \frac{e^2}{r_{12}} |\varphi|^2 d\mathbf{r}_1 d\mathbf{r}_2. \quad (109,5)$$

სადაც

$$\varphi = \frac{1}{\sqrt{2}} (\Psi_1 \pm \Psi_2). \quad (109,6)$$

შევიტანოთ და ფუნქცია (109,5) ფორმულაში. მივიღებთ

$$E^{(1)} = \frac{1}{2} \int \frac{e^2}{r_{12}} \{ |\Psi_1|^2 + |\Psi_2|^2 \pm (\Psi_1 \Psi_2^* + \Psi_2 \Psi_1^*) \} d\mathbf{r}_1 d\mathbf{r}_2; \quad (109,7)$$

რადგან, თანახმად (108,6) და (108,7) ფორმულებისა, ამ გამოსახულების პირ-389

ელი ორი ინტეგრალი ერთმანეთის ტოლია და უდრის  $C$ -ს ისევე როგორც ბოლო  
ორი ინტეგრალი ერთმანეთის ტოლია და უდრის  $A$ -ს, გვეჩება

$$E^{(1)} = C \pm A. \quad (109,8)$$

ეს გამოთვლა საშუალებას გვაძლევს გავიგოთ გაცვლითი ენერგიის არსი.  $\Psi_1 = \psi_n(r_1)\psi_m(r_2)$  და  $\Psi_2 = \psi_n(r_2)\psi_m(r_1)$  რომ დამოუკიდებელი მდგომარეობები იყოს, მაშინ ალბათობა იმისა, რომ პირველი ელექტრონი იმყოფებოდეს სივრცის  $d\mathbf{r}_1$  მოცულობაში, მეორე კი— $d\mathbf{r}_2$ -ში, დამოუკიდებლად იმისა, თუ რომელ მდგომარეობაში იმყოფებიან ეს ელექტრონები, მოცემული იქნებოდა ფორმულით

$$w_1 d\mathbf{r}_1 d\mathbf{r}_2 = \frac{1}{2} \{ |\Psi_1|^2 + |\Psi_2|^2 \} d\mathbf{r}_1 d\mathbf{r}_2. \quad (109,9)$$

$1/2$  შემოღებულია ალბათობის ერთზე ნორმირებისათვის. ამ შემთხვევაში გამოთვლილი ენერგიის შესწორება  $E^{(1)} = \int \frac{e^2}{r_{12}} w_1 d\mathbf{r}_1 d\mathbf{r}_2$  მოგვცემდა მხოლოდ კულონურ ენერგიას— $C$ . სინამდვილეში კი ორი ელექტრონის ტალღურ ფუნქციას აქვს (109,6) სახე. ამიტომ  $\Psi_1$  და  $\Psi_2$  დამოუკიდებლები აღარა. ერთი ელექტრონის მდგომარეობა დამოკიდებულია იმაზე, თუ რომელ მდგომარეობაში იმყოფება მეორე ელექტრონი. ამიტომ, თანახმად (109,6) ფორმულისა, ელექტრონების  $d\mathbf{r}_1 d\mathbf{r}_2$  მოცულობაში ყოფნის ალბათობა ტოლი იქნება გამოსახულების

$$w_2 d\mathbf{r}_1 d\mathbf{r}_2 = |\varphi|^2 d\mathbf{r}_1 d\mathbf{r}_2 = \frac{1}{2} \{ (|\Psi_1|^2 + |\Psi_2|^2) \pm \\ \pm (\Psi_1 \Psi_2^* - \Psi_1^* \Psi_2) \} d\mathbf{r}_1 d\mathbf{r}_2. \quad (109,10)$$

ამ შემთხვევაში დამატებით მივიღეთ  $(\Psi_1 \Psi_2^* + \Psi_1^* \Psi_2)$  წევრი, რომელსაც ეწოდება ინტერფერენციული წევრი და რომელიც აპირობებს გაცვლით ენერგიას— $A$ . ინტერფერენციული წევრის გაჩენა შედევრა ნაწილაკთა იგივერობისა—მათი ერთმანეთისაგან გარჩევის შეუძლებლობის. გაცვლითი ენერგია დამახასიათებელია არა მხოლოდ კულონური ურთიერთქმედებისათვის, არამედ იგი ჩენდება კუველგნ, სადაც კი საქმე გვაქვს ორ იგივერ ნაწილაკთან. გაცვლით ენერგიას კლასიკურ მექანიკაში ანალოგია არა აქვს; იგი წარმოადგენს წმინდა კვანტურ-მექანიკურ ეფექტს. გაცვლითი ურთიერთქმედების ხსიათი აქვს, მაგალითად, ატომგულურ ძალებს.

როდესაც ადგილი აქვს ისეთ მდგომარეობას, როცა ერთი ნაწილაკის კოორდინატი ყოველთვის ერთ რომელიმე არეში იმყოფება, მეორესი—კი მეორე არეში, თანაც ისე, რომ ეს არეები ერთმანეთს არ გადაფარავს, მაშინ, მიუხედავად ნაწილაკების იგივერობისა, მათი გარჩევა მაინც შესაძლებელი იქნება ან სივრცული დამახასიათებლებით, ანდა სხვა რამე მონაცემებით, ამ შემთხვევაში გაცვლითი ენერგია ნულის ტოლია და ალბათობაში ინტერფერენციული წევრი არ გვექნება; ამიტომ, გაცვლითი ეფექტები განსაკუთრებით მნიშვნელოვნია მაშინ, როცა იგივერ ნაწილაკებს შორის აღგილი აქვს მძლავრ ურთიერთქმედებას. ელექტრონები კი, რომლებიც სხვადასხვა ატომს ეკუთვნის და ძალიან დიდი მანძილებითაა დაშორებული ერთმანეთთან, შეგვიძლია, დიდი სიზუსტით, ერთმანეთისაგან განსხვავებულად ჩავთვალოთ.

## § 110. 6თული ატომის ენერგიის გამოთვლა

### ჰარტრიდსა და ფორდის მეთოდით

თუ ჰელიუმის ატომისათვის შესაძლებელია შეშფოთების თეორიის გამოყენება, ამ მეთოდს მრავალექტრონიანი ატომებისათვის, მათემატიკური სიძნელეების გამო, თითქმის არაფრის მოცემა არ შეუძლია. შრედინგერის განტოლების ზუსტ ამოხსნაზე ლაპარაკი რთული ატომებისათვის მითუმეტეს შეუძლებელია. რთული ატომებისათვის შრედინგერის განტოლების რიცხვითი მეთოდებით ამოხსნაც კი პრაქტიკულად განუხორციელებელია. ამიტომაც მრავალექტრონიანი ატომების ენერგეტიკის მოსახებნად მიმართავენ ერთობ გამარტივებულ მეთოდებს. ამ მეთოდებში ხშირად გვხვდება ზოგიერთი ოპერატორიდან მატრიცული ელემენტების აღება რთული ატომის სიმეტრიზებული ტალღური ფუნქციებით, ამიტომ წინასწარ განვიხილოთ მეთოდი ამ მატრიცული ელემენტების გამოთვლისა.

თაქვათ, მოცემული გვაქს თპერატორი

$$\hat{A} = \sum_{k=1}^N \hat{A}(x_k) = \sum_{k=1}^N \hat{A}(k). \quad (110,1)$$

ამ თპერატორს ერთნაშილაკობრივი ოპერატორი ვუწოდოთ, რადგან თითოეული  $\hat{A}(1), \hat{A}(2) \dots$  დამოიდებულია მნილოდ ერთი ნაწილაკის კოორდინატებზე. ვიპოვთ ამ თპერატორის საშუალო მნიშვნელობა  $\Psi$  მდგომარეობაში. რომელიც გამოიხატება სლეტერის დეტერმინანტის სახით

$$\Psi(x_1, x_2, \dots, x_N) = \frac{1}{\sqrt{N!}} \sum_{i_1 i_2 \dots i_N} \mathcal{E}_{i_1 i_2 \dots i_N} \psi_{i_1}(x_1) \psi_{i_2}(x_2) \dots \psi_{i_N}(x_N). \quad (110,2)$$

$x_i$ -ში კვლავ ვიგულისხმებთ სივრცული და სპინური კოორდინატების ერთობლიობას. (110,2)-ში განსხვავებით (106,18)-ისა, კერნტური რიცხვები ჩამოუშვია; ჩვენ ვიგულისხმებთ, რომ თვით  $i_k$  ინდექსები მიუთითებენ ყველა კვანტური რიცხვების ერთობლიობას.

საშუალო მნიშვნელობის განმარტების ძალით გვექნება

$$- \langle \Psi | \hat{A} | \Psi \rangle = \frac{1}{N!} \sum_{i_1 i_2 \dots i_N} \sum_{i'_1 i'_2 \dots i'_N} \mathcal{E}_{i_1 i_2 \dots i_N} \mathcal{E}_{i'_1 i'_2 \dots i'_N}. \quad (110,3)$$

$$\langle \psi_{i_1} \psi_{i_2} \dots \psi_{i_N} \left| \sum_{k=1}^N \hat{A}(x_k) \right| \psi_{i'_1} \psi_{i'_2} \dots \psi_{i'_N} \rangle$$

ცხადია, რომ  $\psi_{i_k}(x_k)$  ფუნქციების ორთო-ნორმირების გამო

$$\begin{aligned} & \langle \psi_{i_1} \psi_{i_2} \dots \psi_{i_N} \left| \sum_{k=1}^N \hat{A}(k) \right| \psi_{i'_1} \psi_{i'_2} \dots \psi_{i'_N} \rangle = \\ & = \langle \psi_{i_1} | \hat{A}(1) | \psi_{i'_1} \rangle \delta_{i_2 i'_2} \delta_{i_3 i'_3} \dots \delta_{i_N i'_N} + \\ & + \langle \psi_{i_2} | \hat{A}(2) | \psi_{i'_2} \rangle \delta_{i_1 i'_1} \delta_{i_3 i'_3} \dots \delta_{i_N i'_N} + \dots + \\ & + \langle \psi_{i_N} | \hat{A}(N) | \psi_{i'_N} \rangle \delta_{i_1 i'_1} \dots \delta_{i_{N-1} i'_{N-1}} \end{aligned} \quad (110,4)$$

ეს გამოსახულება შევიტანოთ (110,3)-ში და დელტა ფუნქციებით ჩავატაროთ ფილტრაცია; გვექნება

$$\langle \Psi | \hat{A} | \Psi \rangle = \frac{1}{N!} \left\{ \sum_{i_1 i'_1} \langle \psi_{i_1} | \hat{A}(1) | \psi_{i'_1} \rangle \sum_{i_2 i_3, i_N} \mathcal{E}_{i_1 i_2 \dots i_N} \mathcal{E}_{i'_1 i_2 \dots i_N} + \right. \\ \left. + \dots + \sum_{i_N i'_N} \langle \psi_{i_N} | \hat{A}(N) | \psi_{i'_N} \rangle \sum_{i_1 i_2, i_{N-1}} \mathcal{E}_{i_1 i_2 \dots i_{N-1} i_N} \mathcal{E}_{i'_1 i_2 \dots i_{N-1} i'_N} \right\}. \quad (110,5)$$

ახლა გავიხსენოთ ფორმულა

$$\sum_{i_2 i_3 \dots i_N} \mathcal{E}_{i_1 i_2 \dots i_N} \mathcal{E}_{i'_1 i_2 \dots i_N} \cdot (N-1)! \delta_{i_1 i'_1}. \quad (110,6)$$

მაშინ გვექნება, რომ

$$\langle \Psi | \hat{A} | \Psi \rangle = \frac{(N-1)!}{N!} \left\{ \sum_{i_1=1}^N \langle \psi_{i_1} | \hat{A}(1) | \psi_{i_1} \rangle + \dots + \right. \\ \left. + \sum_{i_N=1}^N \langle \psi_{i_N} | \hat{A}(N) | \psi_{i_N} \rangle \right\}. \quad (110,7)$$

რადგან გარე ძალები, რომლებიც (110,1)-ით გამოიხატება ყველა ნაწილაკზე ერთ-ნაირად მოქმედებს, ამიტომ (110,7)-ში შემავალი ჯამები ერთმანეთის ტოლია და საბოლოოდ გვექნება

$$\langle \Psi | \hat{A} | \Psi \rangle = \sum_{i=1}^N \langle \psi_i(x) | \hat{A}(x) | \psi_i(x) \rangle = \sum_{i=1}^N A_{ii}, \quad (110,8)$$

სადაც  $A_{ii}$  არის  $\hat{A}$  ოპერატორის დაგონალური მატრიცული ელემენტი. ახლა განვიხილოთ შემდეგი ორნაწილაკობრივი ოპერატორი:

$$\hat{B} = \frac{1}{2} \sum_{k,j=1}^N \hat{B}(x_k, x_j) = \frac{1}{2} \sum_{k,j=1}^N \hat{B}(k, j). \quad (110,9)$$

შტრიხი ჯამის ნიშანზე გამორიცხავს ინდექსების ტოლობას (ნაწილაკი თავის დაუწეო არ მოქმედებს), ხოლო ნახევარი მოუთითებს, რომ ყოველი წყვილი გათვალისწინებულია მხოლოდ ერთხელ. ვიპოვთ (110,9) ოპერატორის საშუალო მნიშვნელობა ისევ (110,2) ტალღური ფუნქციით განსაზღვრულ მდგომარეობაში. გვექნება:

$$\langle \Psi | \hat{B} | \Psi \rangle = -\frac{1}{2N!} \sum_{i_1 \dots i_N} \sum_{i'_1 \dots i'_N} \mathcal{E}_{i_1 i_2 \dots i_N} \mathcal{E}_{i'_1 i'_2 \dots i'_N} \cdot \\ \langle \psi_{i_1} \dots \psi_{i_N} | \sum_{k,j} \hat{B}(k, j) | \psi_{i'_1} \dots \psi_{i'_N} \rangle. \quad (110,10)$$

განვიხილოთ წყვილური ურთიერთქმედების მხოლოდ ერთი წევრი; ვთქვათ  $k=1$ ,  $j=2$  წევრი. გვექნება

$$\begin{aligned} \frac{1}{2N!} \sum_{i_1 \dots i_N} \sum_{i'_1 \dots i'_N} \mathcal{E}_{i_1 i_2 \dots i_N} \mathcal{E}_{i'_1 i'_2 \dots i'_N} \langle \psi_{i_1} \psi_{i_2} | \hat{B}(1, 2) | \psi_{i'_1} \psi_{i'_2} \rangle \\ \delta_{i_3 i'_3} \dots \delta_{i_N i'_N} = \frac{1}{2N!} \sum'_{i_1 i_2} \sum'_{i'_1 i'_2} \langle \psi_{i_1} \psi_{i_2} | \hat{B}(1, 2) | \psi_{i'_1} \psi_{i'_2} \rangle \\ \sum_{i_3 \dots i_N} \mathcal{E}_{i_1 i_2 i_3 \dots i_N} \mathcal{E}_{i'_1 i'_2 i'_3 \dots i_N} \end{aligned} \quad (110,11)$$

ახლა გვიხსენოთ, რომ

$$\sum_{i_3 \dots i_N} \mathcal{E}_{i_1 i_2 i_3 \dots i_N} \mathcal{E}_{i'_1 i'_2 i'_3 \dots i_N} = (N-2)! |\delta_{i_1 i'_1} \delta_{i_2 i'_2} - \delta_{i_1 i'_2} \delta_{i_2 i'_1}|. \quad (110,12)$$

შედეგად (110,11) ჯამი მიიღებს შემდეგ სახეს:

$$\begin{aligned} \frac{(N-2)!}{2N!} \left[ \sum'_{i_1 i_2} \langle \psi_{i_1} \psi_{i_2} | \hat{B}(1, 2) | \psi_{i_1} \psi_{i_2} \rangle - \right. \\ \left. - \sum'_{i_1 i_2} \langle \psi_{i_1} \psi_{i_2} | \hat{B}(1, 2) | \psi_{i_2} \psi_{i_1} \rangle \right]. \end{aligned} \quad (110,13)$$

რაღაც ნაწილაკთა  $N$  რიცხვის დროს წყვილების რაოდენობა  $N(N-1)$ -ის ტოლია და ყველა წყვილი ერთნაირად ურთიერთქმედებს, ამიტომ საბოლოოდ გვეხვდება

$$\begin{aligned} \langle \Psi | \hat{B} | \Psi \rangle = \frac{1}{2} \sum_{i_1, i_2=1}^N \{ \langle \psi_{i_1}(x_1) \psi_{i_2}(x_2) | \hat{B}(x_1, x_2) | \psi_{i_1}(x_1) \psi_{i_2}(x_2) \rangle - \\ - \langle \psi_{i_1}(x_1) \psi_{i_2}(x_2) | \hat{B}(x_1, x_2) | \psi_{i_2}(x_1) \psi_{i_1}(x_2) \rangle \}. \end{aligned} \quad (110,14)$$

ცხრავის,  $x_1$  და  $x_2$ -ის ნაცვლად ჩვენ შეგვეძლო აგველო ნებისმიერი სხვა წყვილი. ამ გამოსახულების მეორე წევრი შედეგა გაცვლითი ურთიერთქმედებისა.

როცა (110,1) და (110,9) ოპერატორები სპინებზე დამოკიდებული არ არის, მაშინ ტალღური ფუნქციები გადაიქცევა კოორდინატული და სპინური ფუნქციების ნამრავლებად. სპინური ფუნქციების ნორმირების გამო ეს ფუნქციები ამოვარდება და (110,8) და (110,14) გამოსახულებებში დაგვრჩება მხოლოდ კოორდინატული ფუნქციები.

ახლა დაგუბრუნდეთ ჩვენს ამოცანას და ვიპოვოთ როგორ ატომის ენერგია თვითშეთანხმებული ველის მიხელოებაში, ე. ი. მიასლოებაში, როცა ატომის ტალღური ფუნქცია შეგვიძლია წარმოვიდგინოთ (110,2) სლეტერმინანტის სახით. ამ ფუნქციებს ჩავთვლით ნულოვანი მიხელოების ფუნქციებად და ვიპოვით სისტემის ენერგიის საშუალო მნიშვნელობას. როგორ ატომის პარმიტონიანი სპინური ურთიერთქმედების გარეშე ასე ჩაიწერება:

$$\hat{H} = \sum_{k=1}^N \hat{H}(\mathbf{r}_k) + \frac{1}{2} \sum_{k,j=1}^N \frac{e^2}{\mathbf{r}_{kj}}, \quad (110,15)$$

სადაც  $r_{kj} = |\mathbf{r}_k - \mathbf{r}_j|$ , ხოლო

$$\hat{H}(\mathbf{r}_k) = -\frac{\hbar^2}{2\mu}\Delta_k - \frac{Ze^2}{r_k}, \quad (110,16)$$

აქ  $Ze$  ატომგულის მუხტია. —  $Ze^2/r_k$  წარმოადგენს  $k$ -ური ელექტრონისა და გულის ურთიერთქმედების კულონურ ენერგიას, —  $\frac{\hbar^2}{2\mu}\Delta_k$  არის  $k$ -ური ელექტრონის კანვ-ტიკური ენერგიის ოპერატორი,  $e^2/r_{kj}$  აღწერს  $k$ -ური და  $j$ -ური ელექტრონის კულონურ ურთიერთქმედებას. გამის შინ ნახევარი გამოწვეულია იმით, რომ  $(k,j)$  წყვილის ურთიერთქმედება ერთხელ გავითვალისწინოთ ( $r_{kj}=r_{jk}$ ), ხოლო შტრიხი გამის ნიშანზე გამორჩეა ელექტრონის თავისითაგზე მოქმედებას ( $k \neq j$ ).  
გიპოვთ რთული ატომის ენერგიის საშუალო მოქმედელობა

$$\langle E \rangle = \langle \Psi | \hat{H} | \Psi \rangle. \quad (110,17)$$

თუ შევიტანთ პამილტონიანის (110,15) გამოხატულებას დავინახავთ, რომ (110,17) ორი წევრისაგან შედგება. პირველი არის (110,1) ტიპის ერთნაწილაკობრივი ოპერატორი, მეორე კი (110,9) ტიპის ორ ნაწილაკობრივი ოპერატორი. ამიტომ ჩვენ შეგვიძლია გამოვიყენოთ (110,8) და (110,14) ფორმულები და პირდაპირ დაფწეროთ ენერგიისათვის შემდეგი ფორმულა:

$$\begin{aligned} \langle E \rangle &= \sum_{i=1}^N \langle \psi_i(\mathbf{r}) | \hat{H}(\mathbf{r}) | \psi_i(\mathbf{r}) \rangle + \frac{1}{2} \sum'_{k,j=1}^N \left\{ \langle \psi_k(\mathbf{r}) \psi_j(\mathbf{r}') \left| \frac{e^2}{|\mathbf{r}-\mathbf{r}'|} \right. \right\} \\ &\quad \langle \psi_k(\mathbf{r}) \psi_j(\mathbf{r}') \rangle - \langle \psi_k(\mathbf{r}) \psi_j(\mathbf{r}') \left| \frac{e^2}{|\mathbf{r}-\mathbf{r}'|} \right. \right\} \langle \psi_j(\mathbf{r}) \psi_k(\mathbf{r}') \rangle \end{aligned} \quad (110,18)$$

ცხადია, რომ

$$H_{ii} = \langle \psi_i | \hat{H} | \psi_i \rangle = \int \psi_i^* \left[ -\frac{\hbar^2}{2\mu}\Delta - \frac{Ze^2}{r} \right] \psi_i d\mathbf{r}. \quad (110,19)$$

$H_{ii}$  ერთნაწილაკობრივი პამილტონიანის დიაგონალური მატრიცული ელემენტია. თუ  $\psi_i(\mathbf{r})$  ტალღური ფუნქციის ქვეშ ვიგულისხმებთ წყალბადისებური ატომის ტალღურ ფუნქციას, მაშინ ცხადია, რომ  $H_{ii} = E_i$ . სადაც  $E_i$  წყალბადისებური ატომის სრული ენერგია. ამ შემთხვევაში, (110,18)-ის პირველი წევრი ტოლი იქნება  $\sum_{i=1}^N E_i$ , ე. ი. — ცალკეულ ელექტრონთა ენერგიების ჯამის.

გადაფწეროთ (110,18) ცხადი სახით, გვექნება

$$\begin{aligned} \langle E \rangle &= \sum_{i=1}^N H_{ii} + \frac{e^2}{2} \sum'_{k,j} \left\{ \int \frac{|\psi_k(\mathbf{r})|^2 |\psi_j(\mathbf{r}')|^2}{|\mathbf{r}-\mathbf{r}'|} d\mathbf{r} d\mathbf{r}' - \right. \\ &\quad \left. - \int \frac{[\psi_k^*(\mathbf{r}) \psi_k(\mathbf{r}')] [\psi_j(\mathbf{r}) \psi_j^*(\mathbf{r}')] }{|\mathbf{r}-\mathbf{r}'|} d\mathbf{r} d\mathbf{r}' \right\}. \end{aligned} \quad (110,20)$$

თუ შემოვიდებთ ოლნიშვნებს:

$$\rho(\mathbf{r}) = -e \sum_{k=1}^N |\psi_k(\mathbf{r})|^2, \quad (110,21)$$

$$\rho(\mathbf{r}, \mathbf{r}') = -e \sum_{k=1}^N \psi_k^*(\mathbf{r}) \psi_k(\mathbf{r}'), \quad (110,22)$$

სადაც  $\rho(\mathbf{r})$  არის ელექტრონული ლაზბლის სრული სიმკვრივე, ხოლო  $\rho(\mathbf{r}, \mathbf{r}')$  – გაცვლითი სიმკვრივე, მაშინ (110,20) ფორმულა ასე გადაიწერება:

$$\langle E \rangle = \sum_{i=1}^N H_{ii} + \frac{1}{2} \iint \frac{\rho(\mathbf{r})\rho(\mathbf{r}') - |\rho(\mathbf{r}, \mathbf{r}')|^2}{|\mathbf{r}-\mathbf{r}'|} d\mathbf{r} d\mathbf{r}', \quad (110,23)$$

ენერგიის ეს მნიშვნელობა ნაპოვნი აყო ფოკის მიერ. როცა გაცვლას არ ვითვალისწინებთ  $\rho(\mathbf{r}, \mathbf{r}')=0$  და (110,23) გადადის გამოსახულებაში

$$\langle E \rangle = \sum_{i=1}^N H_{ii} + \frac{1}{2} \iint \frac{\rho(\mathbf{r})\rho(\mathbf{r}') d\mathbf{r} d\mathbf{r}'}{|\mathbf{r}-\mathbf{r}'|}. \quad (110,24)$$

ეს ფორმულა შიღებული იყო ჰარტრის მიერ ელექტრონთა იგივერობის გათვალისწინების გარეშე. ჰარტრი ნაცვლად სლეტერის დეტერმინანტისა იყენებდა შემდეგ ნამრავლს:

$$\Psi(\mathbf{r}_1, \mathbf{r}_2, \dots, \mathbf{r}_N) = \psi_1(\mathbf{r}_1)\psi_2(\mathbf{r}_2), \dots, \psi_N(\mathbf{r}_N). \quad (110,25)$$

ადგილად შემოწმდება, რომ (110,15) ჰარტრისანის გასაშუალოებით (110,25) ფუნქციით მართლაც შიღების გამოსახულება<sup>1</sup>.

რთული ატომების ენერგიის გამოთვლის ეს შეთოდი გაუმჯობესებულ იქნა ფოკის მიერ. მან, ჰარტრისაგან განსხვავებით, ატომის ტალღური ფუნქციისათვის აიღო სლეტერის დეტერმინანტი. ეს კი იმას ნიშნავს, რომ ენერგიის გამოთვლის ფოკის მეთოდში ელექტრონები ასევე დამოუკიდებლად იქცევიან, ოღონდ გათვალისწინებულია ელექტრონთა იგივერობის პრინციპი. კერძოდ, ანტისიმეტრიული ფუნქციის აღება ნაშნავს, რომ ელექტრონები ემორჩილებიან პაულის პრინციპს. მიუხედავად ასეთი უხეში მახლოვებასა, რომელიც საფუძვლად უქმდს რთული ატომების ენერგიის გამოთვლის ჰარტრი-ფოკის მეთოდს, იგი, როგორც ნულოვანი მიახლოვება, მნიშვნელოვან როლს ასრულებს ატომის თეორიაში. კონკრეტულად, ენერგიის საპოვნელად საჭიროა  $\Psi(\mathbf{r})$  ფუნქციის ნაცვლად (110,23)-ში შევიტანოთ წყალბადისებური ატომის ტალღური ფუნქცია და მოვცენათ კერძო სახის ინტეგრალები.

თვითშეთანხმებული ველის მეთოდი შემდგომში გაუმჯობესებულ იქნა ჰარტრისა და ფოკის მიერ. როგორც ვიცით, ამ მეთოდის თანახმად, ელექტრონი მოძრაობს ატომგულისა და დანარჩენი ელექტრონების გასაშუალოებულ ველში. განვიხილოთ  $k$ -ური ელექტრონი. მისი ურთიერთებულების ენერგია გულთან ტოლი იქნება —  $Z e^2/r_k$ -სი. იგივე ელექტრონი იმოქმედებს დანარჩენი ელექტრონების ელექტრონულ ლრუბლებთანაც. მისი ურთიერთებულება  $j$ -ურ ელექტრონთან, რომელიც გულიდან  $r_j$  მანძილზე იმყოფება, ტოლი იქნება გამოსახულების

<sup>1</sup> სინტერესომ აღიშიშნოს, რომ ერთაწილაკობრიცი ოპერატორის საშუალო მნიშვნელობა (110,25) ფუნქციით ზუსტად ისეთსავე შედეგს იძლევა რასაც გასაშუალოება სლეტერის დატერმინანტით.

$$\int \frac{e^2}{r_j} |\psi(\mathbf{r}_j)|^2 d\mathbf{r}_j. \quad (110.26)$$

თუ ელექტრონთა რიცხვი ატომში  $N$ -ს უდრის. მაშინ  $k \cdot \text{ური}$  ნაწილაკის ურთიერთქმედების პოტენციალს გულთან და ელექტრონებთან ექნება სახე

$$V(r_h) = -\frac{Ze^2}{r_h} + \sum_{j=1}^N \int \frac{e^2 |\psi(\mathbf{r}_j)|^2}{|\mathbf{r}_h - \mathbf{r}_j|} d\mathbf{r}_j. \quad (110.27)$$

საჭიროა ამ პოტენციალის შეტანა შრედინგერის განტოლებაში და ინოსნა. ელექტრონის ტალღური ფუნქცია შედის ინტეგრალში, ამიტომ გვექნება ინტეგრო-დიფერენციალური განტოლება, რომლის ამოსნა შესაძლებელია მამდევრობითი მიახლოების მეთოდით, მაგალითად, ნულოვან მიახლოებაში შეგვიძლია ავილოთ წყალბადისებური ატომის ტალღური ფუნქციები. ამ ფუნქციის საშუალებით ვიპოვოთ (110.27) პოტენციალურ ენერგიას. შემდეგ მას შევიტანთ შრედინგერის განტოლებაში და ამოვხსნით. ვიპოვით ენერგიას და ტალღურ ფუნქციას. ამ ახალი ტალღური ფუნქციით შევადგენთ შესწორებულ  $V^{(1)}(r_h)$  პოტენციალს, შემდეგ კვლავ შევიტანთ შრედინგერის განტოლებაში, ვიპოვით ახალ ტალღურ ფუნქციას და ენერგიას და ა. შ. ამ მეთოდის პრაქტიკული გამოყენება დიდ გამოთვლით სიძლელებთან არის დაკავშირებული, ამიტომ აქ მასზე არ შევწერდებით.

### § 111. თომას-ზერმის მეთოდი

მიახლოებითი გამოთვლის სრულიად განსხვავებულ მეთოდს წარმოადგენს თომას-ფერმის მეთოდი<sup>1</sup>. პატრი-ფონის მეთოდის გამოყენება დაკავშირებულია დიდ ტექნიკურ სიძლელებთან. ამ მეთოდის გამოყენება მძიმე ატომებისათვის განსაკუთრებით რთულდება, მაგრამ, საბედნიეროდ, სწორედ მძიმე ატომებისათვის გამოიყენება თომას-ფერმის მეთოდი, რომელიც საშუალებას გვაძლევს გამოვთვალით მუხტისა და ველის განწილება ატომში. თომასისა და ფერმის მეთოდი არ მოათხოვს შრედინგერის განტოლების ამოსნას და ემყარება მხოლოდ კვანტური სტატისტიკის ელემენტებსა და პაულის პრინციპს. ამიტომ ამ მეთოდს ხშირად სტატისტიკურ მეთოდსაც უწოდებენ. მისი საზუსტე გაცილებით ნაკლებია, ვიდრე თვითშეთანხმებული ველის მეთოდისა, სამაგიეროდ, იგი ხსიათდება საგრძნობი სიმარტივით.

თომას-ფერმის მეთოდში იგულისხმება, რომ ელექტრონები რთულ ატომებში, რადგან მათ უმრავლესობას აქვს დიდი კვანტური რიცხვები, შეგვიძლია განვიხილოთ როგორც ისეთი კვაზიკლასიკური ნაწილაკები, რომელთათვისაც აზრი აქვს ფაზური უქრედის შემოლებას. რადგან სტატისტიკური მეთოდის გამოყენება მოითხოვს ნაწილაკთა ძალის დიდ რიცხვს, ამიტომ ვიგულისხმებთ, რომ ატომები შედგება ნაწილაკთა უსასრულო რიცხვისაგან, ოღონდ ისე, რომ ატომის სრული მუხტი იყოს  $\lambda e$ -ს ტოლი, რაც ტოლფასია დაშვებისა, რომ ატომის  $Z$  ელექტრონის მუხტის  $\rho$  სიმკვრივე უწყვეტი სიღილეა.

დავუწვეთ, ელექტრონის განაწილება ატომგულის ირგვლივ რადგალური სიძლეტრისისაა, ატომში ელექტრონის სრულ ენერგიას ექნება სახე

$$E = \frac{\nu^2}{2\mu} - e\varphi(r). \quad (111.1)$$

<sup>1</sup> L. H. Thomas, Proc. Camb. Phil. Soc. 23, 542, (1927); E. Fermi, Zeits. f. Phys. 48, 73; 49, 550 (1928).

სადაც  $e$  პოტენციალური ენერგიაა,  $\varphi$  ჭარმოადგენს ურთიერთქმედების პოტენციალს. პოტენციალური ენერგია ისე შევარჩიოთ, რომ უსასრულობაში ნულის ტოლი იყოს; მაშინ ბმული გლექტრონები ისინი იქნებიან, რომელთათვისაც  $E < 0$ .  $E = 0$  შეესაბამება ბმული და თავისუფალი გლექტრონების საზღვარს. ენერგიის ეს მნიშვნელობა განსაზღვრავს იმპულსის იმ  $p_0$  მაქსიმალურ სიდიდეს, რომლისთვისაც, როცა  $p \leq p_0$ , ელექტრონები წეიძლება დაკავებულ იქნას ატომის შიგნით. ჩვენთვის საჭიროა სწორედ ისეთი ელექტრონების განხილვა, რომელთა იმპულსი  $p \leq p_0$ . იმპულსის ზღვრულ მნიშვნელობას მოგვცემ  $(111,1)$  ფორმულა.  $E = 0$  შემთხვევაში მივიღებთ

$$p_0 = \sqrt{2\mu e\varphi(r)}, \quad (111,2)$$

როგორც ვხედავთ, იმპულსი სიღიღით შემოსაზღვრულია, მიმართულებით კი—ნებისმიერი. ნორმალურ მდგომარეობაში მყოფი ატომის ელექტრონები, რომლებიც მოთავსებულია  $\tau$  მოცულობაში, უნდა იქსებდეს ფაზური სივრცის უჯრედებს, რომლებიც შეესაბამება იმპულსის მნიშვნელობას ნულილან  $p_0$  მაქსიმალურ მნიშვნელობაზე.  $\S 58$ -ში ვაჩვენეთ, რომ მდგომარეობათა რიცხვი  $L$  ჭიბოს მქონე კუბში, რომლის საზღვარზე ტალური ფუნქცია იქმაყოფილებს პერიოდულობის პირობას, მოიცემა ფორმულით

$$\left( \frac{L}{2\pi\hbar} \right)^3 p^2 dp d\Omega, \quad (111,3)$$

სადაც  $p^2 dp d\Omega = dp$  ჭარმოადგენს იმპულსურ სივრცის მოცულობის ელემენტს. ჩვენ გვაინტერესებას მდგომარეობათა რიცხვი, რომლისთვისაც  $0 \leq p \leq p_0$ . ამისათვის საჭიროა ამ გამოსახულების ინტეგრალი ავიღოთ  $(0, p_0)$  საზღვრებში. ამგვარად, ფაზურ სივრცეში გვექნება

$$\frac{4\pi p_0^3 L^3}{3(2\pi\hbar)^3} \quad (111,4)$$

უკრედი. რადგან, პაულის პრინციპის თანახმად, თითოეულ მდგომარეობაში წეიძლება მოთავსდეს ორი ელექტრონი საწინააღმდეგო სპინებით, ამიტომ  $\tau$  მოცულობაში  $0 \leq p \leq p_0$  იმპულსებით მოთავსებული იქნება ელექტრონთა შემდეგი რიცხვი

$$n = \frac{8\pi p_0^3}{3(2\pi\hbar)^3}, \quad (111,5)$$

(111,2) გამოსახულების თანაბმად, ეს რიცხვი იქნება  $r$ -ის ფუნქცია

$$n = \frac{[2\mu e\varphi(r)]^{3/2}}{3\pi^2\hbar^3}. \quad (111,6)$$

სათანადო მუხტის სიმკვრივეს კი ექნება სახე

$$\rho(r) = -e \frac{[2\mu e\varphi(r)]^{3/2}}{3\pi^2\hbar^3}. \quad (111,7)$$

მეორე მხრივ, პუასონის განტოლების თანახმად, სიმკვრივე პოტენციალურ ენერგიასთან დაკავშირებულია განტოლებით

$$\Delta\varphi = -4\pi\rho(r). \quad (111,8)$$

რადგან რაღაც სიმუტრიის დროს  $\Delta\varphi = \left( \frac{d^2}{dr^2} + \frac{2}{r} \cdot \frac{d}{dr} \right) \varphi = -\frac{1}{r} \frac{d^2}{dr^2} (r\varphi)$ ,  
ამიტომ ატომის პოტენციალისათვის გვექნება განტოლება

$$\frac{1}{r} \frac{d^2}{dr^2} (r\varphi) = -\frac{4e}{3\pi\hbar^3} (2\mu e)^{3/2} \chi^{3/2} (r). \quad (111,9)$$

ატომის შიგნით ველის განაწილების მოსახლეობად საჭიროა (111,9) განტოლების ამონსნა სათანადო სასაზღვრო პირობებში; როცა  $r \rightarrow 0$ , მაშინ პოტენციალური ენერგია, ძირითადად, ატომგულის მიერ არის გამოშევეული და ამიტომ  $\varphi(r) \rightarrow \frac{Ze}{r}$ ; ხოლო როცა  $r \rightarrow \infty$ , მაშინ სრული მუქტი, რომელიც მოთავსებულია  $r$  რადიუსიან სფეროში, ნულის ტოლი უნდა იყოს; ამიტომ  $\varphi(r) \approx \frac{1}{r}$  ჩემირა კლებულობს, ვიდრე  $\frac{1}{r}$  და, ამგვარად,  $r\varphi(r) \rightarrow 0$ , როცა  $r \rightarrow \infty$ . მივალეთ შემდეგი სასაზღვრო პირობები:

$$\begin{aligned} r\varphi &= Ze, & \text{როცა } r \rightarrow 0, \\ r\varphi &= 0, & \text{როცა } r \rightarrow \infty. \end{aligned} \quad (111,10)$$

(111,9) განტოლების გამარტივების მიზნით შემოვილოთ ახალი აღნიშვნები:

$$\varphi(r) = \frac{Ze}{r} \chi(x), \quad r = xb. \quad (111,11)$$

ხ ისე შევარჩიოთ, რომ განტოლებაში არ შემოვიდეს მუდმივები. ახალ ცვლადებში (111,9) განტოლება მიიღებს სახეს

$$x^{-1/2} \frac{d^2\chi(x)}{dx^2} = b^{-3/2} \frac{4e}{3\pi\hbar^3} (2\mu e)^{3/2} (Ze)^{1/2} \chi^{3/2} (x) \quad (111,12)$$

ამ განტოლებაში შემავალი ს მუდმივი ასე შევარჩიოთ:

$$b = \frac{1}{2} \left( \frac{3\pi\hbar^3}{4e} \right)^{2/3} \frac{1}{\mu e (Ze)^{1/3}}, \quad (111,13)$$

მაშინ საბოლოოდ მივიღებთ შემდეგ განტოლებას:

$$x^{1/2} \frac{d^2\chi(x)}{dx^2} = \chi^{3/2} (x), \quad (111,14)$$

რომელსაც თომას-ფერმის განტოლებას უწოდებენ. ახალ აღნიშვნებში (111,10) სასაზღვრო პირობები ასე დაიწერება:

$$\chi(0) = 1; \quad \chi(\infty) = 0. \quad (111,15)$$

თომას-ფერმის განტოლება და სასაზღვრო პირობები არავითარ პარამეტრებს აღარ შეიცავს, ამიტომ  $\chi(x)$  ფუნქცია იქნება უნივერსალური ფუნქცია. მაშასადამე, საკმარისია ერთხელ ვიპოვოთ (111,14) განტოლების ამონსნი, რომ შემდეგ იგი გამოვიყენოთ ნებისმიერი ატომისათვის. ამ განტოლების ამონსნა შეიძლება რიცხობრივი მეთოდით. არსებობს  $\chi(x)$  ფუნქციის ცხრილები  $x$ -ის საკმარისად ფართო ინტერვალისათვის.

თუ ატომგულიდან დაშორება გამოხატულია  $x$ -ის საშუალებით, მაშინ ელექტრული სიმკვრივე ყველა ატომში ერთნაირი იქნება. რადგან ერთსა და იმავე  $x$  მანძილზე ყველა ატომისათვის  $\chi(x)$  ერთი და იგივეა, ამიტომ  $r$ -ის შესაბამისი

მნიშვნელობები სხვადასხვა ატომისათვის პროპორციულია ხ-სი, რომელიც თავის  
მხრივ ტოლია

$$b = \frac{1}{2} \left( \frac{3\pi}{4} \right)^{2/3} \frac{a_0}{Z^{1/3}} = 0,885 \frac{a_0}{Z^{1/3}}, \quad (111,16)$$

სადაც  $a_0$  ბორის პირველი ორბიტის რადიუსია.

მანძილს

$$R = 0,885 \frac{a_0}{Z^{1/3}}, \quad (111,17)$$

უწოდებენ ატომის საშუალო რადიუსს.

თუ დაფუძრუნდებით ჩვეულებრივ ცვლადებს,  $\chi(x)$  ფუნქცია ყოველი  $Z$ -ისათვის მოგვცემს პოტენციალის შემდეგი სახის განაწილებას:

$$\varphi(r) = \frac{Ze}{r} \chi \left( \frac{Z}{0,885 a_0} \frac{r}{r_*} \right), \quad (111,18)$$

ასეთი გამოვთვალით ატომის დამახასიათებელი ზოგიერთი სიდიდე თომას-ფერმის მეთოდზე დაყრდნობით.

1. ელექტრონის საშუალო სიჩქარე ატომში. როგორც ვნახეთ ატომის საშუალო რადიუსი  $R \sim a_0 / Z^{1/3}$ , ამიტომ ატომის საშუალო პოტენციალური ენერგია  $\bar{V} \sim ZZ e^2 / R = \frac{Z^{7/3} e^4 \mu}{0,885 \hbar^2}$ , ე. ი. ატომის საშუალო პოტენციალური ენერგია

პროპორციულია  $Z^{7/3}$ -ის. ელექტრონის სიჩქარის აბსოლუტური მნიშვნელობა იყოს  $n$ , მაშინ კინეტიკური ენერგიის საშუალო მნიშვნელობისათვის გვექნება  $T \sim Z \mu r^{2/3}/2$ . გამოვიყენოთ ვირიალის თეორემა  $2\bar{T} = n\bar{V}$ , სადაც კულონური ველის შემთხვევაში  $n = -1$ . მაშასადამე,  $|V| = 2\bar{T}$  და  $|\bar{V}| = \bar{V}$ -სათვის მივიღებთ

$$\bar{v} \sim Z^{2/3} \frac{e^2}{\hbar}. \quad (111,19)$$

ამგვარად, თომას-ფერმის მოდელის თანახმად, ატომში ელექტრონის საშუალო სიჩქარე  $Z^{2/3}$ -ის პროპორციულია.

2. ელექტრონის სრული იონიზაციის ენერგია. თომას-ფერმის მოდელით შევვიძლია გამოვთვალით იგრეთვე სრული იონიზაციის ა ენერგია; ე. ი. ის მინიმალური ენერგია, რომელიც საჭიროა დაიხარჯოს ნეიტრალური ატომიდან ყველა ელექტრონის გასათანისუფლებლად. ვირიალის თეორემის თანახმად, ეს ენერგია ტოლია სიდადის  $\bar{\epsilon} = \bar{T} + \bar{V} = -\frac{1}{2} \bar{V} + \bar{V} = \frac{1}{2} \bar{V}$ . როგორც ზემოთ დავინახეთ

$$\bar{V} = Z^{7/3} \frac{e^4 \mu}{0,885 \hbar^2},$$

ამიტომ

$$\bar{\epsilon} \sim \frac{Z^{7/3}}{1,770} \frac{e^4 \mu}{\hbar^2}. \quad (111,20)$$

თუ შევიტანთ რიცხვით სიდიდებს მივიღებთ  $\bar{z} \approx 15 Z^{1/3} eV$ , რაც კარგად ეთანხმება ექსპერიმენტულ მნიშვნელობებს.

3. ელექტრონის მომენტის საშუალო მნიშვნელობა. რადგან თომის-ფერმის მეთოდში ელექტრონები კვაზიკლასიკურად განიხილება, ამიტომ იმპულსის მომენტისათვის შეგვიძლია გამოვიყენოთ ფორმულა  $I = [\mathbf{r} \times \mathbf{p}]$ , საიდანაც  $\bar{l} \sim R\bar{p}$ , თუ ამ ფორმულაში შევიტანთ  $R \sim a_0/Z^{1/3}$  და  $v \sim Z^{2/3} e^2/\hbar$  მივიღებთ

$$\bar{l} \sim Z^{1/3} \hbar. \quad (111,21)$$

რადგან დიდი მომენტებისათვის  $\bar{l} \sim l\hbar$ , ამიტომ აზიმუტალური კვანტური რიცხვი  $l \sim Z^{1/3}$ . პირიქითაც, ატომში  $l$ -ის მოცემული მნიშვნელობა შეგვხდება ისეთი  $Z$ -ისათვის (ე. ი. ისეთი ატომისათვის) რომელიც იქმაყოფილებს პირობას

$$Z = \text{const } l^3. \quad (111,22)$$

უფრო ზუსტი გამოთვლები, რომელიც ეყრდნობა მომენტის კვაზიკლასიკურ ფორმულს გვაძლევს

$$Z = 0,155(2l + 1)^3. \quad (111,23)$$

ამ ფორმულის თანახმად  $l=2$  ელექტრონები (ე. ი.  $d$ -ელექტრონები) გვხვდება  $Z=19$ -ის დროს ( $Z=19,375$ ), ე. ი. კალიუმის ატომში, ხოლო  $l=3$  (ე. ი.  $f$ -ელექტრონები)  $Z=53$ -ისათვის.

თომას-ფერმის მეთოდი ფერმის მიერ გამოყენებული იყო ელემენტთა პერიოდული სისტემის თავისებურებათა დასადგენად. შემდგომში თომს ფერმის მეთოდი გაუმჯობესებული იქნა დირაკის მიერ, რომელმაც ამ მეთოდში გაითვარისწინა გაცვლითი ეფექტები.

## § 112. რთული ატომების ზოგადი დახასიათება

ატომებში, როგორც ელექტრონთა რიცხვი ერთხე მეტია, საქმე გვაქვს რთულ ურთიერთქმედებასთან. ელექტრონები ურთიერთქმედებინ ერთმანეთთან და ატომის გულთან. ცხადია, ეს ურთიერთქმედება მიუხედავად იმისა, რომ ორნაწილაკობრივი კულონური ველი ცენტრალურია, ასერ ატარებს ცენტრალურ ხსნათს. ამიტომ, მკაცრად რომ ვიმსჯელოთ, რთული ატომის მდგომარეობა უნდა განვიხილოთ როგორც ერთი მთლიანი სისტემის კვანტური მდგომარეობა, რომელიც საჭიროა დახასიათდეს მთლიანი სისტემის კვანტური რიცხვებით. სამწუხაროდ, ამიცანის ასეთნაირად გადაწყვეტა შეუძლებელია. მაგრამ გამოირჩეა, რომ ატომებში, ძალიან კარგი მიახლოებით, შევიძლია შემოვილოთ გარკვეული გასაშუალოებელი ცენტრალური ველი, ე. წ. თვეთმიხედვებული ველი, და განვხილოთ ამ ველში ცალკეულ ელექტრონთა კვანტური მდგომარეობები, როგორც ვიცით, ცენტრალურ ველში თთოვეული ელექტრონის კვანტური მდგომარეობის დასახასიათებლად შეიძლება გამოვიყენოთ  $n$ ,  $l$ ,  $m_l$ ,  $m_s$  კვანტური რიცხვები. რთული ატომის სრული მდგომარეობა კი შეგვიძლია ვიპოვოთ ცალკეული ელექტრონების მდგომარეობათა საშუალებით.

როგორც დავინახეთ, მხოლოდ წყალბადის ატომის ენერგია არ არის დამოკიდებული ე. აზიმუტალურ კვანტურ რიცხვზე. ეს გარემოება არაა დამახასიათებელი ცენტრალური ველისათვის, იგი გამოწვეულია სუფთა კულონური ველის თავისებურებით. ყველა დანარჩენ ატომში, რომელთათვისაც აკოდებთ ცენტრა-

ლური ველის შიახლოებას, ენერგია (გარდა მთავარი ა კვანტური ოიცხვისა) და-  
მოუკიდებელი იქნება  $I$ -ზედაც. ამასთანავე, უნდა აღინიშნოს, რომ ენერგია  $I$ -ზე  
მეტად მნიშვნელოვნადა დამოკიდებული. ეს გარემოება შეგვიძლია ნათლად  
წარმოვიდგინოთ შემდგენ მსჯლობით: ცენტრალური სიმეტრიის ველში ტალღური  
ფუნქციის რადიალური ნაწილი გულიდან მცირე მანძილებზე  $n$ -ის პროპორციუ-  
ლია, ე. ი. ალბათობა იმისა, რომ ელექტრონი გულთან ახლოს იყოს, მით ნაკ-  
ლებია, რაც დიდია  $I$ . ამიტომაც კულონური ველი ელექტრონზე დიდი  $I$ -ებისათვის  
უფრო ნაკლებად მოქმედდებს, ვიდრე მცირე  $I$ -ების შემთხვევაში. ამის გამო, მრა-  
ვალელექტრონიან ატომებში არსებობს ერთგვარი „შეჩიბრი“  $I$  და  $n$  კვანტურ  
რიცხვებს შორის. ამიტომ, ხშირად, უფრო ნაკლები ენერგია მიიღება იმ შემთხ-  
ვევაში, როცა  $n$  იზრდება  $I$ -ის სათანადო შემცირებით, ვიდრე მაშინ, როცა  $n$ -ს  
უცვლელს ვტოვებთ და ვადიდებთ  $I$ -ს.

ამგვარად, რთულ ატომებში ელექტრონები უნდა გავანაშილოთ მოცემული  
 $n$  და  $I(m_1$ , და  $m_s)$  კვანტური რიცხვების მიხედვით. ამ ატომებში ელექტრონთა  
განაწილებას  $n$  და  $I$  სხვადასხვა მდგომარეობების მიხედვით უწოდებენ ელექტ-  
რონთა კონფიგურაციას.

რთულ ატომებში ცალქეული ელექტრონების მდგომარეობათა დასახსიათებ-  
ლად შემოლებულია შემდეგი აღნიშვნა:

$$nl^N, \quad (112,1)$$

სადაც  $I$ -ის ნაცვლად უნდა შევრტანოთ მისი ასთითი გამოსახულება

$$\begin{aligned} l=0, 1, 2, 3, 4, 5, 6, 7 \dots \\ s, p, d, f, g, h, i, k, \dots \end{aligned} \quad (112,2)$$

$n$  წარმოადგენს მთავარ კვანტურ რიცხვს. იგი მიუთითებს, თუ მთავარი კვანტუ-  
რი რიცხვის რომელ მნიშვნელობას შეესაბამება  $I$ , ბოლოს,  $N$  აღნიშნავს, თუ  
რამდენი ელექტრონი გვაქვს  $I$ -ის მოცემული მნიშვნელობით. ასე მაგალითად,  $2p^5$   
ნიშნავს, რომ 5 ელექტრონია ისეთი, რომელსაც აქვს  $n=2$  და  $I=1$ .

გამოვარკვიოთ რამდენი ელექტრონი შეიძლება გვქონდეს  $n$  და  $I$ -ით დახსია-  
თებულ მდგომარეობაში. რაღაც მომენტს აქვს  $2I+1$  ორიენტაცია ელექტრონის  
სპინს კი—ორი, ამიტომ მოცემული მომენტისათვის გვაქვს  $2(2I+1)$  მდგომარეობა;  
სახელდობრ,  $s$ -მდგომარეობაში გვაქვს 2 ელექტრონი,  $p$ -მდგომარეობაში — 6,  
 $d$ -მდგომარეობაში — 10,  $f$ -მდგომარეობაში — 14 და ა. შ. მოცემული  $n$ -ისათვის  $I$ -ს  
შეუძლია მიღოს  $n-1$  მნიშვნელობა. ამიტომაც, ელექტრონთა სრული რიცხვი  
მოცემული  $n$ -ის დროს ტოლი იქნება

$$\sum_{l=0}^{n-1} 2(2I+1) = 2 \{ 1 + 3 + 5 + \dots + (2n-1) \} = 2n^2. \quad (112,3)$$

ელექტრონთა იმ რიცხვს, რომელიც იგსებს ყველა მდგომარეობას მოცემული  
 $n$  და  $I$ -ით, უწოდებენ „ჩაჟეტილ გარსს“. მაშინადამე, ჩაჟეტილ გარსში ელექტ-  
რონთა შესაძლო მაქსიმალური რიცხვი არის  $2(2I+1)$ .

გამოვარკვიოთ რა წესით უნდა შეიკრიბოს მოცემული გარსის ელექტრონთა  
მომენტები და გამომდინარე აქედან რომელი კვანტური რიცხვებით უნდა დახ-  
სიათდეს ატომის მდგომარეობა. მომენტთა შექრების მეთოდი არსებითადაა და-  
მოკიდებული ელექტრონთა რიცხვზე. კერძოდ, ატომებში, რომელთა ელექტრონ-  
თა რიცხვი არც თუ ისე დიდია გამოიყენება ე. წ. რასელ-საუნდერსის მეთოდი,

მძიმე აღომებში კი განიხილება „jj“-ბმის მეთოდი. ჯერ განვიხილოთ პირველი მათგანი.

რასელ-საუნდერსის სქემა. როგორც დაყინახავთ რელატივისტური კვანტური მექანიკის განხილვის დროს ცალკე სპინი და ცალკე ორბიტალური მომენტი არ ინახება, ინხება მხოლოდ ელექტრონის სრული მომენტი  $j = l + s$ . ამიტომ მდგომარეობის დახასიათებას აზრი აქვს მხოლოდ სრული მომენტის საშუალებით. ატომის სრული მომენტი კი უნდა განვიხილოთ როგორც  $J = \sum j$ . მაგრამ ატომებში, განსაკუთრებით კი მსუბუქ ატომებში, ძალიან კარგი მიახლოებით ცალცილკე ინახება როგორც სპინი, ისე ორბიტალური მომენტი. ამიტომ ატომის სრული მომენტი შეიძლება მივიღოთ სქემით, რომელსაც რასელ-საუნდერსის ან „LS“ სქემას უწოდებენ<sup>1</sup>. ამ სქემის მიხედვით ატომის სრული სპინი მიიღება ცალკეულ ელექტრონთა სპინების შეკრებით, ე. ი.  $S = \sum s_i$ . ასევე, ატომის ორბიტალური მომენტი მიიღება თითოეულ ელექტრონის ორბიტალური მომენტების შეკრებით, ე. ი.  $L = \sum l_i$ . ატომის სრული მომენტი კი წარმოადგენს ამ ორი მომენტის ჯამს  $J = L + S$ . ცხადია, რომ ამ სქემით მიღებული სრული მომენტიც დაემთხვევა  $\sum j_i$  მნიშვნელობას.

როცა რასელ-საუნდერსის სქემაში შესაძლებელია სპინ-ორბიტალური ურთიერთებების უგულებელყოფა, მაშინ შეინახება არა მხოლოდ სრული მომენტი, არამედ სრული სპინიცა და სრული ორბიტალური მომენტიც; ამიტომ მდგომარეობა შეგვიძლია დაგახასიათოთ  $J$ ,  $L$ ,  $S$ ,  $M_J$  და  $M_S$  კვანტური რიცხვებით, რომლებიც შემდეგი ფორმულებით განისაზღვრებიან:

$$\begin{aligned} J^2 &= \hbar^2 J(J+1), & J_z &= M_J \hbar, \\ L^2 &= \hbar^2 L(L+1), & L_z &= M_L \hbar, \\ S^2 &= \hbar^2 S(S+1), & S_z &= M_S \hbar. \end{aligned} \quad (112,4)$$

აღვილი საჩვენებელია, რომ რთული ატომის ენერგია დამოკიდებული იქნება როგორც  $L$ -ზე, ისე  $S$ -ზე. სხეადასხვა ორბიტალური  $L$  და სპინური  $S$  მომენტების შესაბამისი ენერგიები ძალიან განსხვავდება ერთმანეთისაგან. ეს განსხვავება გაძირობებულია ელექტრონთა შორის არსებული ელექტრონსტატიკური ურთიერთებებით. ერთი და იგივე  $n$ -ით დახასიათებულ მდგომარეობაში ორი ელექტრონის ურთიერთებების ელექტრონსტატიკური ენერგია მიახლოებით ტოლია

$$e^2 \int \frac{|\Psi_{l_1, m_1}(\mathbf{r}_1)|^2 |\Psi_{l_2, m_2}(\mathbf{r}_2)|^2}{|\mathbf{r}_1 - \mathbf{r}_2|} d\mathbf{r}_1 d\mathbf{r}_2. \quad (112,5)$$

სადაც  $-e |\Psi_{l_1, m_1}(\mathbf{r}_1)|^2$  და  $-e |\Psi_{l_2, m_2}(\mathbf{r}_2)|^2$  ელექტრული ღრუბლების სიმკვრივეებია  $\mathbf{r}_1$  და  $\mathbf{r}_2$  წერტილებში. დავუშვათ, გვაქვს  $p^2$  ელექტრონები, ე. ი.  $l_1 = 1$  ( $m_1 = 0, \pm 1$ ) და  $l_2 = 1$  ( $m_2 = 0, \pm 1$ ) მაშინ, მომენტთა შეკრების წესის თანაბეჭდ, სრული ორბიტალური მომენტი შეიძლება იღებდეს მნიშვნელობებს:  $L = 2, 1, 0$ ; ამასთან  $L = 2$ -ს ექნება პროექციები  $M = \pm 2, \pm 1, 0$ , ხოლო  $L = 1$ -ს  $\pm 1, 0$ , განვიხილოთ მაქსიმალური პროექციის მნიშვნელობები.  $L = 2$ -ის შემთხვევაში  $M = 2$ , და გვექნება  $m_1 = m_2 = 1$ , ხოლო როცა  $L = 1$  და  $M = 1$ , შეგვიძლია ავილოთ  $m_1 = 1$  და  $m_2 = 0$ . ასე რომ, ენერგიისათვის შესაბამისად მივიღებთ

<sup>1</sup> ამ სქემას, ხშირად, ნორმალურ გვასაც უწოდებენ.

$$e^2 \int \frac{|\Psi_{1,1}(\mathbf{r}_1)|^2 |\Psi_{1,1}(\mathbf{r}_2)|^2}{|\mathbf{r}_1 - \mathbf{r}_2|} d\mathbf{r}_1, d\mathbf{r}_2; \quad e^2 \int \frac{|\Psi_{1,0}(\mathbf{r}_1)|^2 |\Psi_{1,0}(\mathbf{r}_2)|^2}{|\mathbf{r}_1 - \mathbf{r}_2|} d\mathbf{r}_1, d\mathbf{r}_2 \quad (112,6)$$

ეს ორი ინტეგრალი ერთმანეთისაგან განსხვავდება. ამგვარად, ალებული კონფიგურაციის ენერგია, მატლაც, დამოკიდებულია სრულ ორბიტალურ  $L$  მომენტზე. იმის გამო, რომ ელექტრონები იგივეური ნაწილაკებია და მათთვის ადგილი აქვს პაულის პრინციპს, ელექტროსტატიკური ენერგია აგრეთვე დამოკიდებული იქნება სრულ  $S$  სპინზე. ეს გამომდინარეობს იქიდან, რომ სპინის მოცუმული მნიშვნელობის დროს გარკვეულად იზღუდება კორტინატული ტალღური ფუნქციების შერჩევა; რადგან კორდინატული ტალღური ფუნქციის სიმეტრიულობა დამოკიდებულია ორბიტალურ მომენტზე, ამიტომ ერთი და იგივე  $n$  და  $l$ -ის მეორე ელექტრონების სპინების შეკრებისას საჭიროა სათანადო ავარჩიოთ მათი ორბიტალური მომენტის მაგნიტური კვანტური რიცხვებიც.

ამგვარად, ვასკვით: თუ არ გავითვალისწინებთ ელექტრონების სპინებსა და ორბიტალურ მომენტებს შორის ურთიერთქმედებას, რომელი ატომების ენერგიას განსაზღვრავს  $L$  და  $S$ -ის აბსოლუტური მნიშვნელობები. ზემოთ ჩამოთვლილი კვანტური რიცხვები დამოუკიდებელი არ არიან. ამიტომ მდგომარეობის დასახასიათებლად საკმარისია  $l$  ( $L$ ,  $S$ ,  $M_L$ ,  $M_S$ ) ანდა ( $LSJM_J$ ) რიცხვები. ენერგია დამოკიდებული არ იქნება  $M_L$  და  $M_S$  კვანტურ რიცხვებზე, ე. ი. ადგილი ექნება  $(2L+1)(2S+1)$  ჯერად გადაგვარებას<sup>1</sup>.

იხლა ენახოთ რას მოგვცემს სპინ-ორბიტალური ურთიერთქმედების გათვალისწინება. „ $LS$ “ ბმის ღრის სპინ-ორბიტალური ურთიერთქმედება გაითვალისწინება როგორც მცირე შეშფოთება, როგორც ვიცით, ცალკეული ელექტრონის სპინ-ორბიტალური ურთიერთქმედების ენერგია პროპორციულია სპინური და ორბიტალური მომენტების სკალარული ნამრავლის ( $\hat{\mathbf{S}}_i \cdot \hat{\mathbf{l}}_i$ ). თვითშეთანხმებული ველის მიახლოებაში მთელი ატომისათვის გვექნება შემდეგი გამოსახულება:

$$\sum_{i=1}^N a_i (\hat{\mathbf{S}}_i \cdot \hat{\mathbf{l}}_i), \quad (112,7)$$

სადაც  $a_i$  პროპორციულობის კოეფიციენტია. ჩვენი მიზანია (112,7) ურთიერთქმედება გამოხვატოთ სრული ორბიტალური  $L$  და სრული  $S$  სპინის ოპერატორების საშუალებით. მოვახდინოთ (112,7) გამოსახულების გასაშუალოება. ვთქვათ სრული  $S$  სპინი სივრცეში უძრავადა დამაგრებული და გასაშუალოება მოვახდინოთ ჯამში შემავალი ცალკეულ ელექტრონთა სპინებით. ცხადია, რომ გასაშუალოების შედეგად დაგვტება ცალკეული ელექტრონის სპინის პროექცია სრულ  $S$  სპინზე, ე. ი.  $\langle \hat{\mathbf{S}}_i \rangle = \gamma \hat{\mathbf{S}}$ . რადგან გასაშუალოება მოვახდინეთ დაფიქსირებული სრული სპინისათვის, ამიტომ  $\langle \hat{\mathbf{S}}_i \rangle = \gamma \hat{\mathbf{S}}$  უნდა ჩავთვალით ოპერატორად. (112,7) გამოსახულების გასაშუალოება სრული დაფიქსირებული  $L$  მომენტისათვის აგრეთვე მოგვცემს. რომ  $\langle \hat{\mathbf{l}}_i \rangle \sim L$ . მაშასადამე, რთულ ატომში სპინ-ორბიტალური ურთიერთქმედების შესაბამის თანამდებობა უქნება შემდეგი გამოხატულება:

$$\hat{H}'_{SL} = A (\hat{\mathbf{S}} \cdot \hat{\mathbf{l}}) \quad (112,8)$$

<sup>1</sup> ცადაცაური რომ ჯანი  $(2J+1)$ -დან  $J-1$ , ყველა შეაძლო მნიშვნელობებით  $(2L+1)(2S+1)$ -ს ემთხვევა.

სადაც  $A$  შეიძლება დამოკიდებული იქნას  $S$  და  $L$ -ზე. (112,8) ოპერატორი უნდა ფაქტოს თვითშეთანხმებული ველის პამილტონიანს. ისევე როგორც ერთი ელექტრონის განხილვის დროს ვაჩვენეთ, სპინ ორბიტალური ურთიერთქმედების გამო, სრული პამილტონიანი კომუტატორი იქნება  $J^2 \hat{J}_z, \hat{S}^2$  ოპერატორებთან, ხოლო  $L_z$  და  $S_z$ -თან იყო კომუტატორი იღარ იქნება. ეს იმას ხიშნავს, რამ  $J^2, J_z$  კვლავ მოძრაობის ინტეგრალებია, ხოლო  $L$  და  $S$  იღარ ინახება, თუმცა  $L^2$  და  $S^2$ -ს მუდმივობას ამ შემთხვევაშიაც ექნება აღვილი. რადგან  $J = L+S$ , ამიტომ, (112,4) ფორმულების თანახმად,  $(\hat{S} \hat{L})$  ოპერატორის საკუთარ მნიშვნელობებს ექნება სახე.

$$(\mathbf{SL}) = \frac{\hbar^2}{2} \{ J(J+1) - L(L+1) - S(S+1) \}, \quad (112,9)$$

ე. ი. სპინ-ორბიტალური ურთიერთქმედების შედეგად ენერგეტული დონეები მოცემული  $L$  და  $S$ -ისათვის გაიხლიერება  $J$ -ს სხვადასხვა შესაძლო მნიშვნელობების მიხედვით. მოცემული  $L$  და  $S$ -ისათვის სულ ვევენება  $2L+1$  ან  $2S+1$  დონე სხვადასხვა  $J$ -თი. რადგან  $|L-S| \leq J \leq L+S$ , ამიტომ როცა  $L > S$  გახლეჩილი დონეთა რაოდენობა  $(2S+1)$ -ის ტოლი იქნება, ხოლო, როცა  $L < S$  დონეთა რიცხვი იქნება  $(2L+1)$ . დონეების განლექს „ $L^2$ “ ურთიერთქმედების გამო მულტიპლეტურ სტრუქტურას უწოდებენ. ზემოთ მუდმივი ძალით მულტიპლეტობას განსაზღვრავს ხან  $2S+1$  და ხან  $2L+1$ ; მიუხედავად იმისა, მულტიპლეტობა ყოველთვის  $(2S+1)$ -ით აღინიშნება. ატომის ენერგეტული დონეებისათვის ან, როგორც ხშირად ამბობენ, სპექტრალური თერმებისათვის შემოაქვთ აღნიშვნა

$$^{2S+1}L_J, \quad (112,10)$$

სადაც  $L$ -ისათვის უნდა ჩაისვას ასოთთი გამოსახულება:

$$\begin{aligned} L = 0, 1, 2, 3, 4, 5, 6, \dots \\ S, P, D, F, G, H, I, \dots \end{aligned} \quad (112,11)$$

(112,10) ფორმულაზე  $S$  მიუთითებს ატომის სპინს  $J$  კი სრულ მომენტს. სპინ ორბიტალური ურთიერთქმედების დროს მდგომარეობას ახასიათებენ  $(LSJM_J)$  კვანტური რიცხვებით.

როცა გვაინტერესებას ატომის მდგომარეობის სრული დახასიათება, მაშინ ცალკეული ელექტრონებით დახასიათებულ მდგომარეობას უნდა მიუუწეროთ შესაბამისი მულტიპლეტური მდგომარეობაც. მაგალითად,  $(1S^2)^1S_0$  გვიჩვენებს, რომ  $n=1$  და  $l=0$  მდგომარეობაში გვაქვს ორი ელექტრონი სრული მომენტებით  $L=0, S=0$ , და  $J=0$ .

ჰუნდის ემპირიული წესები. რასელ-საუნდერისის სქემაში რთული ატომების სტრუქტური მდგომარეობების დასხასიათებლად საჭიროა განისაზღვროს ელექტრონთა კონფიგურაცია, რომელსაც შეესაბამება ენერგიის მინიმალური მნიშვნელობა. ამ საკითხის გარკვევაში გვეხმარება ჰუნდის ემპირიული წესი.

ვთქვათ გვაქვს ერთი და იგივე  $n$  ორონდ სხვადასხვა  $S$  და  $L$ -ის მეონე თერმინი როგორც ზემოთ იყო აღნიშნული, ელექტრონთა ელექტრონსტატიკური ურთისენტქმედების გამო, ელექტრონთა ერთსა და იმავე კონფიგურაციის შეიძლება სხვადასხვა  $L$  და  $S$  მნიშვნელობები შეესაბამებოდეს, ამიტომ სათანადო ენერგეტული დონეებიც განსხვავდება ერთმანეთისაგან. საკითხს, თუ რომელი მათგანია ყველაზე დაბალი, უპასუხებს ე. წ. ჰუნდის პარველი წესი: ნაკლები ენერგია აქვს იმ თერმის, რომელსაც შეესაბამება ელექტრონთა მოცემული კონფიგურაციისათვის შესაძლო

S-ის მაქსიმალური სიდიდე და ამ ქ-ისათვის შესაძლო  $L$ -ის მაქსიმალური მნიშვნელობა, ე. ი. საჭიროა ყველა თერმებიდან ამოგარჩიოთ ისეთი, რომელსაც შესაბამება სრული სპინის მაქსიმალური მნიშვნელობა, შემდეგ კი მოგძებნოთ ამ სპინისათვის რომელ თერმს აქვს სრული ორბიტალური მომენტის მაქსიმალური სიდიდე.

არსებობს ჰუნდის მეორე ემპირიული წესი, რომელიც საშუალებას გვაძლევს ვიპოვოთ ელექტრონთა კონფიგურაციის სრული მომენტი. ჰუნდის მეორე წესი გვეცნება: თუ ელექტრონთა კონფიგურაცია ისეთია, რომ არასრულიც შეესტულ „ჩაკვეტილ გრძეში“ გვაქნს ამ გარსისათვის შესაძლო ელექტრონთა მაქსიმალური რიცხვის ნახევარზე, ე. ი.  $(2l+1)$ -ზე ნაკლები, მაშინ  $J = |L-S|$ , ხოლო თუ მეტი  $J = L-S$ .

რთული ატომების თერმების მოძებნა, გამოყიუნოთ „ $LS$ “ ბმის მეთოდი და ვიპოვოთ ელექტრონთა კონფიგურაციების თერმები. ქვემოდ შევხებით ატომის მხოლოდ ნორმალურ ზღვომარეობებს და იმ ელექტრონებს, რომელთაც ერთი და იგივე მთავარი კვანტური და აზიმუტალური კვანტური რიცხვები აქვს, ასეთ ელექტრონებს ეკვივალენტური ელექტრონები ეწოდებათ.

ეკვივალენტური ელექტრონების შემთხვევაში სრული მომენტების მოსახებნად, რადგან ამ ელექტრონებს ერთნაირი  $n$  და  $l$  კვანტური რიცხვები აქვთ, მომენტთა შეკრების წესს უბრალოდ ვერ გამოვიყენებთ; წარმოიქმნება დამატებითი შეზღუდვები, რამდენადაც პაულის პრინციპის ძალით, შეუძლებელია ისეთი მდგომარეობების განხორციელება, როცა ორ ელექტრონს ერთნაირი აქვს ოთხივე კვანტური რიცხვი.

თუ ელექტრონები ეკვივალენტურნი არ არიან, ე. ი. ექუთვნიან განსხვავდული  $n$ -ის ან განსხვავებული  $l$ -ის მდგომარეობებს, მაშინ ასეთი ელექტრონები პაულის პრინციპით შეზღუდული არ არიან და საგამო  $L$  და  $S$  მომენტების პოვნა სიძნელეს არ წარმოადგენს მომენტთა შეკრების სამკუთხედის წესის გამოყენებით. მართლაც, განვიხილოთ, მაგალითად,  $n$  და  $n'$ ს მდგომარეობები, როცა  $n \neq n'$ . პირველი ელექტრონის  $l_1=0$  მეორესი კი  $l_2=1$ , ხოლო სპინები ნახევრის ტოლია. მათსადამე,  $L=1$ ,  $S=0$  და  $S=1$ . სამკუთხედის წესის გამოყენებით მივიღებთ  $J=2, 1, 0$ , ე. ი. გვექნება თერმები:  $^3P_2$ ,  $^3P_1$ ,  $^3P_0$  და  $^1P_1$ . ამიტომ ქვემოთ განვიხილავთ მხოლოდ ეკვივალენტურ ელექტრონებებს.

დავიწყოთ  $n=1$  შემთხვევით. როცა  $n=1$ , მაშინ  $l=0$  და  $m_l=0$ , ე. ი. ელექტრონებს ტოლი ექნებათ სამიერ კვანტური რიცხვი. როცა გვაქნს ერთი ელექტრონი, მაშინ მისი სრული ორბიტალური მომენტიც ნულია  $L=0$ , ამიტომ გვექნება  $^2S_{1/2}$  მდგომარეობა. ახლა ვთქვათ  $1s$  მდგომარეობაში გვაქნს ორი ელექტრონი. მაშინ მეორე ელექტრონიც შევეძლია მოვათავსოთ იგივე მდგომარეობაში, ორონდ პაულის პრინციპი მოითხოვს, რომ ელექტრონებს უნდა პქნდეთ ურთიერთსაწინააღმდევოდ მიმართული სპინები. ამიტომ ამ ორი ელექტრონის სრული სპინი  $S=0$  და, რადგან  $L=0$  ნულის ტოლი იქნება,  $s^2$  დანექტრონისათვის მივიღებთ  $^1S_0$  თერმს.

ახლა განვიხილოთ ორი ელექტრონი  $p$  მდგომარეობაში ან, მოკლედ,  $p^2$  ელექტრონი (იგულისხმება, რომ ამ ორ ელექტრონს  $n$  ერთი და იგივე აქვს). ამ ელექტრონებს განსხვავებული უნდა პქნდეს ან მაგნიტური, ან სპინური, ანდა როგორც ერთი, ისე მეორე კვანტური რიცხვები. სპინისა და ორბიტალური მომენტის შესაძლო პროექციების  $m_l=0, \pm 1$   $m_s=\pm 1/2$  მიხედვით, ოთოვეული ელექტრონისათვის გვექნება ექვსი მდგომარეობა:

$$\begin{aligned}
a &\doteq (1, \frac{1}{2}), & a' &\doteq (1, -\frac{1}{2}), \\
b &\doteq (0, \frac{1}{2}), & b' &\doteq (0, -\frac{1}{2}) \\
c &\doteq (-1, \frac{1}{2}), & c' &\doteq (-1, -\frac{1}{2}),
\end{aligned} \tag{112,12}$$

საღაც პირველ დღიულზე წერია ორბიტალური მომენტის შესაბამისი მაგნიტური კვანტური რიცხვი. მეორეზე კი—სპინის პროექცია. ამ უქვესი მდგომარეობიდან ორ ელექტრონს შეუძლია დაიკავოს ნებისმიერი, ორი ერთმანეთისაგან განსხვავებული  $6 \cdot \frac{5}{2} = 15$  მდგომარეობა. ეს თხუთმეტი მდგომარეობა ერთმანეთისაგან განსხვავდება, როგორც  $L$  და  $S$ -ს სპინური მომენტებით, ისე მათი პროექციებით. რაღან მდგომარეობა დამოკიდებულია მხოლოდ მომენტის სიდიდეზე, ამიტომ პროექციები ჩვენთვის საინტერესონი არ არიან. ყოველ მომენტს აქვს ორგორც დადებითი ისე უარყოფითი პროექციები. მომენტს სიდიდის განსაზღვრის თვალსაზრისით საქმარისია ვიცოდეთ მხოლოდ დადებითი პროექციები, ამიტომ 15 მდგომარეობიდან ავარჩევთ მხოლოდ იმ მდგომარეობებს, რომლებიც შექსაბამება სრული მომენტისა და სპინის დადებით პროექციებს. უარყოფით პროექციებს შექსაბამება 7 მდგომარეობა. ისინი, როგორც აღნიშნეთ, მდგომარეობის განსაზღვრის თვალსაზრისით ახალს არაფრეს იძლევიან, ამიტომ მათ არც განვიხილავთ: მაშასადამე,  $M_L > 0$  და  $M_S > 0$ -თვის დაგვრჩება 8 მდგომარეობა:

$$\begin{aligned}
a+a' &\doteq (2,0), & a+b &\doteq (1,1), & a+c &\doteq (0,0), \\
b+a' &\doteq (1,0), & a+c &\doteq (0,1), & b+b' &\doteq (0,0), \\
c+a' &\doteq (0,0), & a+b' &\doteq (1,0).
\end{aligned} \tag{112,13}$$

ამ 8 მდგომარეობიდან შევარჩიოთ ის, რომელსაც აქვს მაქსიმალური პროექციები, რაღან ისინი განსაზღვრავენ  $L$  და  $S$ -ის შესაძლო საკუთარ მნიშვნელობებს.  $a+a'$  გვიჩვენებს, რომ არსებობს მდგომარეობა, რომლის ორბიტალური მომენტი  $L=2$ . მომენტის ამ მნიშვნელობას შევსაბამება პროექციები  $M_L=2,1,0$ , და, მაშასადამე, მდგომარეობები  $a+a'$ ,  $b+a'$ ,  $c+a'$  (სპინის მოცული პროექციით  $M_S=0$ ). ამ შემთხვევაში მაქსიმალური  $L$ -ის მდგომარეობა იქნება  $(2,0)$  და ამიტომ შეგვიძლია არ განვიხილოთ  $b+a'$  და  $c+a'$  მდგომარეობები, რაღან ისინი არ შექსაბამებიან მომენტის მაქსიმალურ მნიშვნელობას.  $a+b \doteq (1,1)$  მდგომარეობა გვიჩვენებს, რომ მაქსიმალური სპინი  $S=1$ , ამგარად,  $p^2$  ელექტრონებისაგან შეგვიძლია შევაღინოთ მდგომარეობა, რომლისთვისაც სპინი და ორბიტალური მომენტი ერთის ტოლია. მათი შესაძლო პროექციები იქნება  $(0,1)$ ,  $(1,0)$  და  $(0,0)$ . აქედან  $a+b'$ ,  $a+c$ ,  $a+c'$ , მდგომარეობებს არ განვიხილავთ, რაღან ისინი არ შექსაბამებიან მომენტის მაქსიმალურ მნიშვნელობას. ამგარად, ჩვენუნდა გვქონდეს  $(1,1)$  მდგომარეობაც. ბოლოს გვექნება  $b+b' \doteq (0,0)$  მდგომარეობა. მაშასადამე, სულ დაგვრჩა მაქსიმალური პროექციების

$$(2,0), (1,1) \text{ და } (0,0)$$

მდგომარეობები, ე. ი.  ${}^1D$ ,  ${}^3P$ ,  ${}^1S$  თერმები. აქედან, პუნდის წესის თანახმად,  ${}^3P$ -თერმს ექნება მინიმალური ენერგია,  ${}^1S$ -ტანდ ასეთივე მდგომარეობები ექნება  ${}^4p$  კონფიგურაციის. თუ გავითვალისწინებთ სპექტრის მულტიპლეტურ სტრუქტურას, მაშინ სრული  $J$  მომენტის შესაძლო მნიშვნელობების შესაბამისად ადგილი ექნება დონეების გახლებას.  $p^2$  ელექტრონებისათვის  ${}^1D$  დონე არ გაიხლიება, რაღან  $J$ -სთვის გვექნება ერთადერთი მნიშვნელობა  $J=2$ , ე. ი.  $-{}^1D_2$  თერმი. რაც შეხება  ${}^3p$ -ს მისთვის  $J=2, 1, 0$  (რაღან  $L=1$  და  $S=1$ ), ამიტომ

განხორციელდება თერმები:  $^3P_2$ ,  $^3P_1$  და  $^3P_0$ . ასევე არ გაიხლიჩება  $^1S$  დონე, რადგან  $J=1$ -ს ექნება ერთადერთი  $J=1/2$  მნიშვნელობა, ე. ი. გვექნება  $^1S_{1/2}$  თერმი. ჰუნდის მეორე წესის თანახმად, რადგან  $p^2$  მდგომარეობაში ელექტრონთა რიცხვი ნაკლებია ( $2L+1=3-1=2$ ), ამიტომ ამ კონფიგურაციის მინიმალური თერმის სრული მომენტია  $J=|1-1|=0$ . ამგვარად,  $p^2$ -კონფიგურაციის მინიმალური თერმი იქნება  $^3P_0$ .

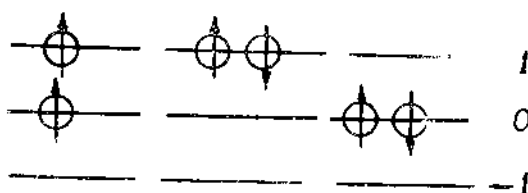
ჩვენ შეგვიძლია ელექტრონთა კონფიგურაციების მდგომარეობები ვიპოვოთ უფრო თვალსაჩინო გზით. ამისათვის განვიხილოთ ისევ  $p^2$ -ელექტრონები.

რადგან  $p$ -ელექტრონების  $l=1$ , ამიტომ გვექნება სამი პროექცია  $m_l=1, 0, -1$ . ეს პროექციები სქემატურად გამოვხატოთ პორტონტალური ხაზების საშუალებით (ნახ. 29). საჭიროა ელექტრონები ამ ღონებზე განვალაგოთ პაულის პრინციპის დაცვით. ე. ი. თუ რომელიმე ეს ღონე დაკავებულია ორი ელექტრონით, მაშინ მც უნდა ჰქონდეთ ურთიერთსაწინააღმდეგო სპინის პრიციები. ამასთან, გავითვალისწინოთ, რომ საჭამო მომენტების შესადგენად საჭმარისია შემოვისაზღვროთ სრული მომენტების  $M_L \geq 0$

და  $M_S \geq 0$  პროექციებით. ცხადია, რომ  $p^1$  ელექტრონი შეგვიძლია მოვათაქსოთ  $m_l=1$  ღონეზე, მაშინ სრული მომენტი იქნება  $L=1$ , ხოლო სრული სპინი  $S=1/2$ ; მაშინადამე, გვექნება  $^2P$ -თერმი.  $p^1$  ელექტრონის მოთაქსება შეიძლება  $m_l=0$  ღონეზეც, მაშინ  $S$  კვლივ ნახევრის ტოლი იქნება  $L$  კი—ნულის. ასე რომ, განხორციელდება  $^2S$ -თერმიც. ამასთან, ჰუნდის წესის თანახმად მინიმალური ენერგია ექნება  $^2P$ -თერმს.

ახლა განვიხილოთ  $p^2$  ელექტრონები. ცხადია, რომ ორი ელექტრონი შეგვიძლია ღონებზე განვალაგოთ სამი დამოუკიდებელი საშუალებით (ნახ. 30). პირველი სქემის მიხედვით სრული სპინის პროექცია  $M_s=1/2+1/2=1$ . ასეთი მაქსიმალური პროექცია აქვს  $S=1$  სრულ სპინს.

საჭამო ორბიტალური მომენტის პროექცია  $M_L=1+0-1=0$ . ასეთი მაქსიმალური პროექცია ექნება  $L=1$  მომენტს. მაშინადამე, ეს სქემა იძლევა  $^3P$  თერმს.



ნახ. 30

სპინ-ორბიტალური ურთიერთქმედების გათვალისწინებით  $^3P$  დონე სრული მომენტის  $J=2, 1, 0$  მნიშვნელობების შესაბამისად სამად გაიხლიჩება და მივიღებთ:  $^3P_2$ ,  $^3P_1$  და  $^3P_0$ , თერმებს. მეორე სქემის მიხედვით სრული სპინის პროექცია ნულის ტოლია, ამიტომ  $S=0$ ; საჭამო ორბიტალური მომენტის პროექცია  $M=-1+1=0$ , ამიტომ თერმი საჭამო ორბიტალური მომენტი  $L=2$ . მაშინადამე, მეორე სქემა გვაძლევს  $^1D$  თერმს, ან მულტიპლეტურ აღნიშვნებში— $^1D_2$ —თერმს. მესამე სქემის თანახმად  $S=0$  და  $L=0$ . ე. ი. გვექნება  $^1S_0$  თერმი. ჰუნდის წესის თანახმად უნდა მოვქებნოთ მაქსიმალური  $S=0$ -ის მდგომარეობა:  $S=0$ -ის მაქსი-

მალური სილიდეა  $S=1$ . ამის შემდეგ უნდა მოვძებნოთ ამ  $S=1$ -ის შესაბამისი მაქსიმალური  $L$ . ასეთი მდგომარეობა ხორციელდება პირველი სქემით, ამიტომ მინიმალური ენერგია ექნება  ${}^3P$  თერმის.

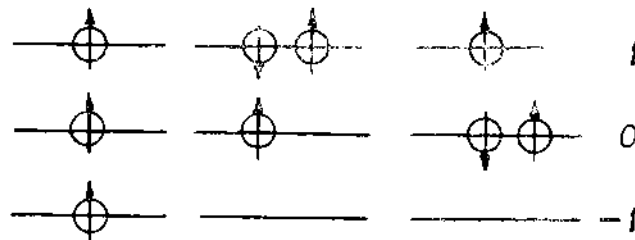
პუნდის მეორე ემბირული წესის თანახმად, რაღაც  $p^2$  მდგომარეობაში, ელექტრონთა რიცხვი ნაკლებია ( $2l+1=3$ -ზე, გვექნება  $J=|L-S|=0$ , ამიტომ მინიმალური ენერგიის შესაბამისი თერმი იქნება  ${}^3P_0$ .

$p^3$ -ელექტრონების შემთხვევაშიაც შესაძლებელია სამი სქემა (ნახ. 31). ელექტრონების განაწილებისა  $M_L$  და  $M_S$  დადებითი პროექციებით.

პირველი სქემის მიხედვით

$$M_S = \frac{1}{2} + \frac{1}{2} + \frac{1}{2} = \frac{3}{2}, \quad M_L = 1 - 0 - 0 = 0.$$

ასე რომ,  $S=1$  და  $L=0$ . გვექნება ერთადერთი თერმი  ${}^4S$  ან, მულტიპლეტურ აღნიშვნებში,  ${}^4S_1$ . პუნდის წესის მიხედვით სწორედ ამ თერმის შესაბამება მინი-

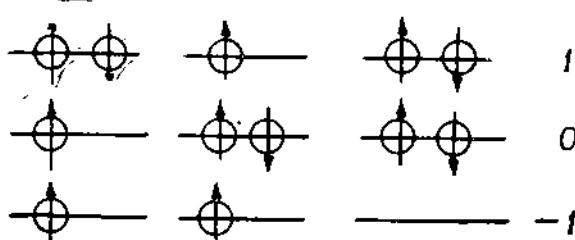


ნახ. 31

მალური ენერგია. მეორე სქემის თანახმად  $M_S = 1/2 - 1/2 + 1/2 = \frac{1}{2}$ ,  $M_L = 1 + 1 + -0 = 2$ , ამიტომ  $S = \frac{1}{2}$  და  $L = 2$ ; შესაბამისად  $J = \frac{5}{2}$  და  $\frac{3}{2}$ . მაშასადამე, გვექნება  ${}^2D$  თერმი ან მულტიპლეტურ აღნიშვნებში  $-{}^2D_{5/2}$  და  ${}^2D_{3/2}$ .

შესამე სქემის მიხედვით  $S = \frac{1}{2}$ ,  $L = 1$ , ამიტომ  $J = \frac{3}{2}, \frac{1}{2}$ , მივიღებთ თერმებს  ${}^2P_{3/2}$  და  ${}^2P_{1/2}$ .

ახლა გამოვარკვით  $p^4$ -ელექტრონების მდგომარეობები. კლავ გვექნება სამი სქემა (ნახ. 32). პირველი სქემის მიხედვით  $S=1$  და  $L=1$ , ამიტომ



ნახ. 32,

$J=2, 1, 0$ ; გვექნება  ${}^3P$ —თერმი. მულტიპლეტურ აღნიშვნებში კი  $-{}^3P_2$ ,  ${}^3P_1$  და  ${}^3P_0$  თერმები. მეორე სქემის თანახმად  $S=1$ ,  $L=0$ , ამიტომ  $J=1$ . გვექნება  ${}^3S_1$ —თერმი. დაბოლოს, შესამე სქემის შემთხვევაში  $L=2$ ,  $S=0$  და  $J=2$ , ამიტომ მივიღებთ  ${}^1D_2$ -თერმს. რომელი თერმი შეესაბამება მინიმალურ ენერგიას? მაქსიმალური  $S=1$  სპინით ხასიათდება როგორც პირველი, ისე მეორე სქემა. მაგრამ ჩვენ უნდა ავიღოთ პირველი შემთხვევა, რაღაც მაქსიმალური სპინის დროს მას შესაბამება  $L=1$  მაქსიმალური სრული ორბიტალური მომენტი. ამგვარად, მინი-

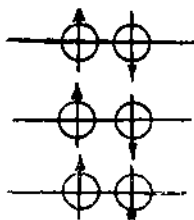
მალური ენერგია შეესაბამება  $^3P$  თერმის. რადგან  $p^4$  კონფიგურაციაში ელექტრონების რიცხვი მეტია ( $2L+1=3 \cdot 3 = 9$ ) ამიტომ პუნდის მეორე წესის თანაბმად, ამ კონფიგურაციის სრული მომენტი  $J=L+S=2$ , ე. ი. მინიმალური ენერგიის თერმია  $^3P_2$ .  $p^5$  კონფიგურაციას შეესაბამება მხოლოდ ორი სქემა (ნახ. 33), ორივე შემთხვევაში  $S=\frac{1}{2}$ . რაც შეეხება ორბიტალურ მომენტს პირველი სქემისათვის  $L=1$ , მეორესათვის კი  $L=0$ . ასე რომ, გვექნება თერმები  $^2P$  და  $^2S$ . ხოლო მულტიპლეტურ აღნიშვნებში  $^2P_{3/2}$ ,  $^2P_{1/2}$  და  $^2S_{1/2}$ . პუნდის წესის მიხედვით მინიმალური ენერგია შეესაბამება  $^2P_{3/2}$  თერმის.

განსახილველი დაგვრჩა  $p^6$ - ელექტრონები. ცხადია, ამ შემთხვევაში ხორციელდება ერთადერთი სქემა, რომელიც შეესაბამება ჩაკეტილ გარსს (ნახ. 34). ამ შემთხვევაში,  $M_S=M_L=0$ , ე. ი.  $L=S=J=0$ , ამიტომ გვექნება ერთადერთი თერმი  $^1S_0$ .

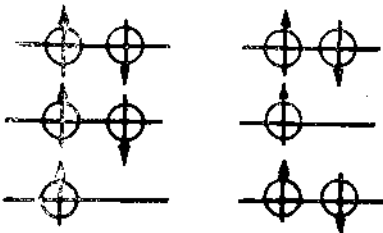
ასანიშნავია ერთი მნიშვნელოვანი გარემოება.  $p^5$ - კომიჯიგურაციას ზუსტად ისეთივე თერმები აქვს, რაც  $p^3$ -ს,  $p^4$ -ს, რაც  $-p^2$ . ეს გასაგებია, რადგან  $p^1$  ელექტრონი იმყოფება ჩაკეტილი  $^1S_0$  გარსის ზემოთ, მაშინ როგორც  $p^5$ -ს იგივე ტიპის ჩაკეტილ გარსამდე აკლია ერთი ელექტრონი. ამიტომ  $p^5$  ელექტრონის ნაცვლად ჩვენ შეგვიძლია განვიხილოთ „ხვრელი“  $p^6$  მდგრმარეობაში, ამასთან, ხვრელს უნდა მივაწვროთ ნახევრის ტოლი სპინი. ასევე,  $p^4$  ელექტრონის ნაცვლად

ჩვენ შეგვიძლია ვილაბარაკოთ ორ ხვრელზე ჩაკეტილ  $p^6$  გარსში. ამ ხვრელების მდგრმარეობები ისეთივე იქნება, რაც  $p^2$  ელექტრონისა. ამ თვალსაზრისით პუნდის მეორე წესი ასეც შეიძლება გამოვთქვათ: არასრულად შეუცსებელ ჩაკეტილ გარსში ელექტრონებისათვის  $J=|L-S|$ , ხოლო ხვრელებისათვის  $J=L+S$ .

სრულიად ანალოგიურად გამოვიყენებთ ზემოთ განხილულ სქემატურ მეთოდს  $d$ ,  $f$ ,  $g$ , და  $a$ . შ. ელექტრონთა კონფიგურაციების თერმების მოსაქცევად. სიმარტივის მიზნით ჩვენ დაგენერიროვილდებით  $d$ -ელექტრონების კონფიგურაციების მინიმალური თერმების მოქმედით.  $d$ -ელექტრონებისათვის  $L=2$ , ამიტომ სქემა ამ შემთხვევაში ხუთი ხაზისაგან შედგება. ეს ხაზები შეესაბამებიან  $m_l=2, 1, 0, -1, -2$  პროექციებს. აყილოთ  $d^1$  ელექტრონი. იყი შეიძლება დასუათ, როგორც  $m_l=2$ , ასე  $m_l=1$  და  $0$  დონეზე. მაგრამ პუნდის წესის თანაბმად, ელექტრონი (მოცუმული  $S=\frac{1}{2}$  მნიშვნელობისათვის, რომ გვიჩნდეს მაქსიმალური  $L$ ), უნდა მოვათავსოთ  $m_l=2$  დონეზე. მაშინამე, ამ შემთხვევაში  $S=\frac{1}{2}$  და  $L=2$ . გვექნება  $^2D$  თერმი. ასეთივე თერმი ექნება  $d^6$  ელექტრონს.  $d^2$ -ელექტრონის შემთხვევაში მაქსიმალური სპინის მისაღებად ელექტრონი სხვა დონეზე უნდა მოვათავსოთ. ამავე დროს, ორბიტალური მომენტიც მაქსიმალური უნდა იყოს ამ სპინისათვის. ეს კი მაშინ შეიძლება, თუ მეორე ელექტრონს მოვათავსებთ  $m_l=-1$  დონეზე. მაშინ გვექნება  $S=1$ ,  $L=3$ . მინიმალური ენერგიას შეესაბამება  $^3F$  თერმი. პუნდის მეორე წესის თანაბმად  $J=|3-1|=2$ . ასეთივე თერმი ექნება  $d^8$ -ელექტრონებს. ოღონდ, რადგან ამ შემთხვევაში ჩვენ საქმე გვაქვს ორ ხვრელთან  $d^{10}$  კონფიგურაციაში სრული მომენტი იქნება  $J=3+1=4$ . ასევე



ნახ. 34

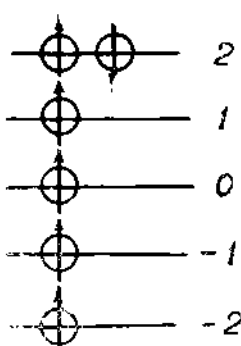


ნახ. 33

ფიგურაციების მინიმალური თერმების მოქმედით.  $d$ -ელექტრონებისათვის  $L=2$ , ამიტომ სქემა ამ შემთხვევაში ხუთი ხაზისაგან შედგება. ეს ხაზები შეესაბამებიან  $m_l=2, 1, 0, -1, -2$  პროექციებს. აყილოთ  $d^1$  ელექტრონი. იყი შეიძლება დასუათ, როგორც  $m_l=2$ , ასე  $m_l=1$  და  $0$  დონეზე. მაგრამ პუნდის წესის თანაბმად, ელექტრონი (მოცუმული  $S=\frac{1}{2}$  მნიშვნელობისათვის, რომ გვიჩნდეს მაქსიმალური  $L$ ), უნდა მოვათავსოთ  $m_l=2$  დონეზე. მაშინამე, ამ შემთხვევაში  $S=\frac{1}{2}$  და  $L=2$ . გვექნება  $^2D$  თერმი. ასეთივე თერმი ექნება  $d^6$  ელექტრონს.  $d^2$ -ელექტრონის შემთხვევაში მაქსიმალური სპინის მისაღებად ელექტრონი სხვა დონეზე უნდა მოვათავსოთ. ამავე დროს, ორბიტალური მომენტიც მაქსიმალური უნდა იყოს ამ სპინისათვის. ეს კი მაშინ შეიძლება, თუ მეორე ელექტრონს მოვათავსებთ  $m_l=-1$  დონეზე. მაშინ გვექნება  $S=1$ ,  $L=3$ . მინიმალური ენერგიას შეესაბამება  $^3F$  თერმი. პუნდის მეორე წესის თანაბმად  $J=|3-1|=2$ . ასეთივე თერმი ექნება  $d^8$ -ელექტრონებს. ოღონდ, რადგან ამ შემთხვევაში ჩვენ საქმე გვაქვს ორ ხვრელთან  $d^{10}$  კონფიგურაციაში სრული მომენტი იქნება  $J=3+1=4$ . ასევე

ცხადია, რომ  $d^2$  კონფიგურაციის მესამე ელექტრონიც განსხვავებულ მდგომარეობაში უნდა მოგათავსოთ; კერძოდ,  $m_l=0$ -ზე. შედეგად შიგიღებთ  $S=3/2$  და  $L=3$ . ამ მდგომარეობის თერმი იქნება  $^4F$ , სრული მომენტი კი  $J=3/2$ . ასეთივე თერმით ხასიათდება  $d^2$  კონფიგურაცია, ხოლო სრული მომენტი  $\frac{9}{2}$ -ის ტოლია.

სრულიად ანალოგიურად  $d^4$ -ის შეოთხე ელექტრონი უნდა მოგათავსოთ  $m_l=-1$  ღონებზე,  $d^3$ -ისა კი  $m_l=-2$ -ზე. შესაბამისად გვექნება თერმები  $^5D$  და  $^6S$ . სრული მომენტები კი შესაბამისად იქნება  $J=2-2=0$  და  $J=|0-\frac{5}{2}|=\frac{-5}{2}$ .  $d^6$  კონფიგურაციის მექანიკურ ელექტრონი შეგვიძლია მოგათავსოთ ნების-მიერ ხუთ თოთო ელექტრონით დაკავებულ ღონებზე საწინააღმდეგო სპინით (ნახ. 35). საჭამო სპინისათვის მივიღებდით ერთსა და იმავე  $S=2$  მნიშვნელობას, მაგრამ ჰუნდის წესის თანახმად მაქსიმალურ  $L$ -ს მივიღებთ თუ მექანიკურ ელექტრონს დაგვავთ  $m_l=2$  ღონებზე მაშინ  $M_L=2+2+1+0-1-2=2$ , ე. ი.  $L=2$ .



ნახ. 35.

მაშისადამე, მინიმალურ ენერგიას შეესაბამება  $^5D$  თერმი. ამ მდგომარეობის სრული მომენტი იქნება  $J=2+2+\frac{1}{2}=4$ .  $d^6$  კონფიგურაციის თერმი დაემთხვევა  $d^4$  კონფიგურაციის თერმს, რაც ასეც უნდა ყოფილიყო. დაგვიჩია გასარკვევი  $d^{10}$  ელექტრონების თერმების საკითხი.  $d^{10}$  ელექტრონები წყვილ-წყვილად ავსებენ ნახ. 35-ზე მოცემულ ღონებებს, ამიტომ მათთვის  $L=0$ ,  $S=0$  და  $J=0$ ; გვექნება ჩაკეტილი გარსისათვის დამახსიათებელი  $^1S_0$  თერმი.

როგორც ვხედავთ, როცა ელექტრონთა კონფიგურაციების მხოლოდ მინიმალური ენერგიის შესაბამისი თერმები გვაინტერესებს  $m_l$  ღონების შევსება ასე უნდა მოვახდიოთ: ერთ ელექტრონს ვსვავთ  $m_l=l$  ღონებზე, მეორეს  $m_l=(l-1)-\frac{1}{2}$  ზე, მესამეს  $m_l=(l-2)-\frac{1}{2}$  ზე და ა. შ.  $(2l+1)$ -ეს  $m_l=-l$  ღონებზე ამის შემდეგ დანარჩენ ელექტრონს იგივე თანამიმდევრობით და საწინააღმდეგო სპინებით ვანაწილებთ დაინების მხედვით.

შერჩევის წესები რთული ატომებისათვის. განვიხილოთ როგორი სახე ექნება შერჩევის წესებს რთულ ატომებში დიპოლური გადასვლების დროს. კვლავ განვიხილოთ რასელ-საუნდერსის შმ. ამ შემთხვევაში შერჩევის წესები მარტივად დადგინდება ერთ ელექტრონიანი ატომებისათვის ასებული შერჩევის წესებიდან. რადგან გადასვლაში მონაწილეობს მხოლოდ ერთი ელექტრონი, ამიტომ  $E1$  გადასვლის დროს იდგილი ექნება აზიმუტალური კვანტური რიცხვის ერთით ცვლილებას, დიპოლმომენტი სპინზე დამოკიდებული არ არის, ამიტომ  $E1$  გადასვლის დროს სრული სპინი არ შეიცვლება, ე. ი.  $\Delta S=0$ . რადგან გამოსხივებული (ან შთანთქმული)  $E1$  კვანტის მომენტი ერთის ტოლია, ამიტომ ორბიტალური მომენტისათვის გვექნება მნიშვნელობები  $L+1$ ,  $L$  და  $L-1$ , ამიტომ  $\Delta L=0, \pm 1$ . ცხადია ასევე, რომ სრული მომენტისათვის გვექნება იგივე შერჩევის წესი  $\Delta J=0, \pm 1$ ; ამასთან, მკაცრად აკრძალულია  $0 \rightarrow 0$  გადასვლები. რადგან ორი ნულოვნი მომენტის შეკრებით ვერ მივიღებთ კვანტის ერთეულოვან მომენტს.  $E1$  გადასვლების დროს ცხადია დაცული უნდა იყოს ლუწობის შენახვის კანონიც. მაგრამ ექსპრიმენტზე ზოგჯერ შეიმჩნევა ისეთი გადასვლები, რომლისათვისაც  $\Delta S \neq 0$ . ეს იმას ნიშნავს, რომ „ $LS$ “ ბმა ნაწილობრივ დარღვეულია. ასეთი მდგომარეობა გვაქს მაგალითად, ვერცხლის წყლის შემთხვევაში, სადაც აღვილი აქვს  $^3P_1 \rightarrow ^1S_0$  გადასვლას. ამ გადასვლის დროს  $\Delta L=1$ ,  $\Delta J=1$ , ე. ი. გადასვლა  $J$  და  $L$ -ის მიხედვით დაშვებულია,  $S$ -ის მიხედვით კი—აკრძალული. მაგრამ თუ გავითვალის-

წინებთ სპინ-ორბიტალურ ურთიერთქმედებას, მაშინ დიპოლური გადასვლა დაშვებული აღმოჩნდება.

„jj“ ტიპის ბმა. აღვნიშნოთ, რომ „LS“ ტიპის ბმის გამოყენება შემოსაზღვრულია იგი კარგ შედეგებს გვაძლევს მსუბუქი ატომისათვის. მათ ატომებზე გადასვლისას თანდათან უფრო მნიშვნელოვან როლს ასრულებს რელატივისტური ეფექტები და ამიტომ რასელ-საუნდერსის სქემით ატომების დონეების ავება აღარ შეიძლება<sup>1</sup>. ელექტრონის რელატივისტური მოძრაობის დროს ცალკე არც სპინი და არც ორბიტალური მომენტი აღარ ინახება, ამიტომ მდგომარეობის ამ სიდიდეებით დახასიათებას აზრი ეკარგება. ამ შემთხვევაში აღვილი აქვს მძლავრ სპინ-ორბიტალურ ურთიერთქმედებას და ინახება J სტული მომენტი. ამ უკანასკნელის მისაღებად კი საჭიროა ცალკეული ელექტრონის სრული j მომენტის შეკრება. ატომის დონეების ასეთი ტიპის სქემით ავებას უწოდებენ „jj“ ტიპის სქემას (ან „jj“-ბმას). „jj“-სქემაც შეორე უკიდურესობის წარმოადგენს და გამოიყენება მათ ატომებისათვის. საშუალო წონის ატომებისათვის გამოსადევია ნაწილობრივ „LS“ ნაწილობრივ კი „jj“ სერმა.

რთული ატომების სპექტრის ნაზი და ზენაზი სტრუქტურა. როგორც აღნიშნეთ, რთულ ატომებში აღ გილი აქვს სპინ-ორბიტალურ ურთიერთქმედებას, რომელიც პირობებს დონეების მულტიპლეტურ ან სიექტრის ნაზ სტრუქტურას. რთულ ატომებში აღვილი აქვს ელექტრონის სპინებს შორის ურთიერთქმედებასაც, რომელსაც „ss“ ურთიერთქმედებას უწოდებენ. „ss“ ურთიერთქმედება გამოწვეულია ელექტრონთა  $M_s = \sum_{i=1}^N s_i$  მაგნიტური მომენტების ურთიერთქმედებით, ამიტომ პროპორციული იქნება  $1/c^2$ -სა. სიდანაც გამომდინარეობს, რომ ალნიშნული ეფექტი რელატივისტურია მსგავსად „st“ ურთიერთქმედებისაც, რომელსაც „ss“ ურთიერთქმედებას უწოდებენ. „ss“ ურთიერთქმედება გამოწვეულია დაგასკვნათ, რომ რთულ ატომში „ss“ ურთიერთქმედებას აქვს სახე

$$\hat{H}_{ss} = \text{const} (\hat{\mathbf{S}} \cdot \hat{\mathbf{L}})^2 \quad (112,14)$$

სადაც  $\hat{\mathbf{x}}$  პროპორციულობის კოეფიციენტია, მოვახდინოთ (112,13) გამოსახულების გასაშუალოება იმავე მეთოდით რაც (112,7). შედეგად აღმოჩნდება, რომ სპინ-სპინ ურთიერთქმედება  $S$ -ს შეიცავს კვადრატული  $S$ -ის კვადრატული გამოსახულებებია (SS) და (SL)<sup>2</sup>. პირველის ჭავუთარი მნიშვნელობები არაა დამოკიდებული ატომის სრულ  $J$  მომენტზე, ამიტომ დონეების გახლეჩვას არ იწვევს. აქედან შეგვიძლია დაგასკვნათ, რომ რთულ ატომში „ss“ ურთიერთქმედებას აქვს სახე

$$\hat{H}_{ss} = \text{const} (\hat{\mathbf{S}} \cdot \hat{\mathbf{L}})^2 \quad (112,15)$$

(LS) სკალარული ნამრავლის საკუთარი მნიშვნელობები ჩვენთვის ცნობილია. იგი განისაზღვრება (112,9) ფორმულით. მასი კვადრატი ერთი მხრივ შეიცავს  $J$ -ზე დამოკიდებელ ჭევრებს, რომლებიც ჩვენთვის საინტერესონი არ არიან: მეორე მხრივ  $J^2(J+1)^2$ -ისა და  $J(J+1)$ -ის პროპორციულ ჭევრებს. ამათვან,  $J(J+1)$  შეიძლება გავაერთინოთ სპინ-ორბიტალურ ჭევრთან. შედეგად დაგვრჩება, რომ  $\hat{H}_{ss}$  ოპერატორის საკუთარი მნიშვნელობა დამოკიდებულია  $J^2(J+1)^2$  ჭევრზე.  $\hat{H}_{SL}$  და  $\hat{H}_{ss}$  ურთიერთქმედებით გამოწვეული ეფექტები გაცილებით შეიძლება

<sup>1</sup> ცნობილია, რომ შიგა ელექტრონების სიჩქარე მძიმე ატომებში ძალიან ახლოსაა c-სთან.

ვიდრე ცენტრალური გასაშუალოებრ ული ელემენტი, რომელიც განსაზღვრავს ატომის ენერგეტულ დონეებს. აღნიშნული სპინ ორბიტალური და სპინ-სპინ ურთიერთქმედებანი იწვევენ მხოლოდ დონეების გახლეჩას. ამასთან, აღვილი საჩვენებელია, რომ ღონების გახლეჩა  $H$ -ს ურთიერთქმედებით გაცილებით ნაკლებია, ვიდრე სპინ-ორბიტალური ურთიერთქმედებით გამოწვეული ღონების გახლეჩა. სპინის არსებობათ გამოწვეული ურთიერთქმედება იწვევს იმას, რომ, ექსპერიმენტზე ძირითად ენერგეტულ დონეებს ჰორის გადასვლებით გამოწვეულა სპექტრალური ხაზების გარდა კტედეფთ მათთან ძალიან ახლოს მდებარე მრავალ სპექტრალურ ხაზს ან როგორც ამბობენ სპექტრის ნაზ სტრუქტურას.

მაგრამ ექსპერიმენტულად აღმოჩენილი იქნა ერთმანეთთან კიდევ უფრო ახლოს მყოფი სპექტრალური ხაზები, რაც არ შეიძლება ახსნილი ყოფილიყო „LS“ და „ss“ ურთიერთქმედებით. ამ მოვლენას სპექტრის ზენაზი (ზეწვრილი) სტრუქტურა უწინდეს. მისი არსი ახსნილი იყო პაულის მიერ. თურმე სპექტრის ზენაზი სტრუქტურა გამოწვეულია ატომგულის  $i$  მომენტისა და ელექტრონთა გარსის, ე. ი. ატომის  $J$  მომენტის ურთიერთქმედებით; რადგან გულის სპინური მაგნიტური მომენტი გაცილებით ნაკლებია ატომის სპინურ მაგნიტურ მომენტზე (ატომური მაგნეტონი გაცილებით მეტია  $e\hbar/2M_p c$  ატომგულურ მაგნეტოზე,  $M_p$  არის პროტონის მასა), ამიტომ ეს ეფექტი იძლევა ძალიან მცირე გახლეჩას. ამ გახლეჩის შედეგად, დონე, მოცემული  $J$ -თ, იხლიჩება სხვადასხვა დონედ, რომლებიც ხასიათდება ატომის სრული მომენტით (ატომგულს პლუს ელექტრონთა გარსი):

$$K = J+i, \quad J-i-1, \dots, \quad |J-i| \quad (112,16)$$

სადაც  $K = J+i$  წარმოადგენს ატომის, როგორც მთლიანის, სრულ მომენტს.

### § 113. მენდელეევის ელემენტთა პერიოდული ცისტება

გამოვარკვით, თუ როგორ ახსნა-განშარტებას აძლევს კვანტური მექანიკა ელემენტთა სისტემის პერიოდულობას, რომელიც ამ მექანიკის ჩამოყალიბებამდე იღმოაჩინა მენდელეევმა. მან დაამტკიცა, რომ თუ ელემენტებს დავალაგებთ ატომური წონების ზრდის მახსედვათ, მაშინ ქიმიურად შეგავსი ელემენტები ამ სისტემაში ერთსა და იმავე ჯგუფში მოხვდება. ამასთან პერიოდული სისტემა შეიცავს ცხრა სვეტისა და შეიძლება მოთავსებულია სვეტებში, პირელ პერიოდში მოთავსებულია ორი ელემენტი, მეორე და მესამე პერიოდი შეიცავს რეა-რეა ელემენტს, მეოთხე და მეხუთე თერაბეტ - თერამეტს, მეექვსე—ოცდა-თორმეტს, მეშვიდე პერიოდი კი დაუმთავრებელია. ცველა პერიოდი იწყება ტუტე-მეტალით და მთავრდება ინერტული გაზით. ელემენტთა პერიოდული სისტემა იმდენად ღრმად გამოხატავს ბუნებაში არსებულ ნივთიერებათა თვისებების კანონზომიერებას, რომ მან საშუალება მისცა მენდელეევს ეწინასწარმეტყველა მთელი რიგი იმ დროისათვის ჭერ კიდევ უცნობი ელემენტების არსებობა. ასეთი ელემენტებია, მაგალითად, სკანდიუმი, გალიუმი და გერმანიუმი; მენდელეევმა წინასწარ განსაზღვრა ამ ელემენტების ატომწონებას და ქიმიური თვისებები.

მას შემდეგ, რაც აღმოჩენილ იქნა ატომის აგებულება და ჩამოყალიბდა კვანტური მექანიკა, პერიოდულმა კანონმა ღრმა ფიზიკური შინაარსი მიიღო. პერიოდული სისტემის თეორია, კვანტური მექანიკის საფუძველზე, მოცემული იყო ნილს

ბორის მიერ, თუმცა, უნდა აღინიშვნოს, რომ ეს თეორია დღესაც არ არის დასრულებული.

პერიოდული სისტემის ლრმა ფიზიკური აზრი გამოვლინდა ჯერ კიდევ მაშინ, როცა გამოიჩინა რიგითი ნომრის შინაძრი. კერძოდ, რეზერვორისა და მოზღვის შრომების საფუძველზე დამტკიცდა, რომ რიგითი ნომერი, რომელსაც აღნიშნავენ  $Z$  ასთი, გამრავლებული ელემენტარულ დადგენი მუხტზე ( $e=4,8 \cdot 10^{-10} CGSE$ ), ე. ი.  $+Ze$  წარმოადგენ ატომგულის მუხტს. კარგიდაა ცნობილი, რომ ატომის გული შედგება ნეიტრონებისა და პროტონებისაგან, ამასთან, ნეიტრონი ნეიტრალური ნაწილავია, პროტონის მუხტი კი ეს ტოლია. ამიტომ აშეარაა, რომ რიგითი ნომერი გამოხატავს პროტონების რიცხვს ატომის გულში. რადგან ნორმალურ მდგომარეობაში ატომი ელექტრულად ნეიტრალურია, ამიტომ  $Z$  აგრეთვე უნდა გამოხატავდეს ატომის გარსის ელექტრონთა რიცხვს. აღვნიშნოთ რომ ელემენტის ქიმიურ თვისცებებს მხოლოდ და მხოლოდ ელექტრონები განსაზღვრავს, ამიტომ  $Z$  დაკავშირებული იქნება ელემენტის ქიმიურ თვისცებებთან.

ატომის ჭონებს, ჩვეულებრივ, ისეთ ერთეულებში გამოხატავენ, რომელშიაც უანგბადის ატომწონისათვის მიიღებოდა 16. ასეთ სკალას უწოდებენ ატომწონის ფიზიკურ სკალას. ამ ერთეულებში პროტონის ჭონა 1,00815 ტოლია, ნეიტრონისა კი — 1,00898. ჰელიუმის ატომწონა იქნება 4,00387. გარდა ატომწონისა, აგრეთვე ჟემოაქვთ ე. წ. მასური რიცხვის ცნება, რომელსაც აღნიშნავენ  $A$  ასთი და რომელიც წარმოადგენ ატომწონას, დამრგვალებულს უახლოეს მთელ რიცხვიდებადით, ჰელიუმის მასური რიცხვი იქნება  $A=4$ , ლითიუმის  $A=7$  და ა. შ. მასური რიცხვი გამოხატავს ატომგულის ნეიტრონებისა და პროტონების ჯამს  $A=Z+N$ . ატომგულის სიმბოლურად გამოსახვისათვის შემოღებულია აღნიშვნა

$$zX^A, \quad (113,1)$$

სადაც  $X$  მიუთითებს ქიმიურ სიმბოლოს. მაგალითად,  $_2He^4$  ნიშნავს, რომ ჰელიუმის ატომის გულს აქვს  $Z=2$  პროტონი და  $4-Z=2$  ნეიტრონი.

ბუნებაში არსებობს ისეთი ატომები, რომელთა ჭონები (მასური რიცხვები) სხვადასხვაა, რიგითი ნომრები (მუხტები) კი — ერთი და იგივე. ეს ატომები ერთმანეთისაგან უნდა განსხვავდებოდნენ მხოლოდ ატომგულის ნეიტრონების რიცხვით. ასეთ ატომებს იზოტოპებს უწოდებენ. რადგან ქიმიურ რეაქციებში მნიშვნელოვანია მხოლოდ  $Z$ . ამიტომ იზოტოპები ქიმიურად ერთმანეთისაგან არ განსხვავდებიან. როგორც ცნობილია, წყალბადის ატომს აქვს სამი იზოტოპი —  $_1H^1$ ,  $_1H^2$  და  $_1H^3$ . პირველს ეწოდება წყალბადი. მეორეს — დეიტერიუმი, მესამეს კი — ტრიტიუმი. ურანს აქვს იზოტოპები  $U^{234}$ ,  $U^{235}$ ,  $U^{238}$ . ალსანიშნავია ის გარემოება, რომ ყველა იზოტოპი მდგრადი არ არის. ზოგი იზოტოპი გარკვეული დროის განმავლობაში „ცოცხლობს“, რის შემდეგ სხვა ატომებად გარდაიქმნება. ამასთან, ზოგიერთი იზოტოპის „სიცოცხლის ხანგრძლივობა“ ათეული და ასეული წლებით განსაზღვრება. ზოგისა კი — სეკუნდის უმნიშვნელო ნაწილებით.

რადგან ნეიტრალურ ატომში (ქვემოთ საქმე გვექნება მხოლოდ ნეიტრალურ ატომებთან) პროტონთა რიცხვი ელექტრონთა რიცხვის ტოლია, ამიტომ ყველა ატომი შეგვიძლია ავაგოთ წყალბადის ატომიდან, რის გულზე პროტონებისა, ხოლო გარსზე — ელექტრონების შესაბამისი რიცხვის დამატებით. ამასთან, ატომის გულს სათანადოდ უნდა დაემატოს ნეიტრონების საჭირო რიცხვი.

ატომში ელექტრონთა განაწილების ან, როგორც მას ჭინა პარაგრაფში ვუწოდეთ, კონფიგურაციის დასახასიათებლად გამოვიყენებთ (112,1) ფორმულას —  $n!^N$ , სადაც  $N=0, 1, 2, 3, 4$ -ის ნაცვლად უნდა შევიტანოთ ასოები  $s, p, d, f, n$

მთავარი კვანტური რიცხვია,  $N$  კი გამოხატავს ელექტრონთა რიცხვს 7 მდგომარეობაში. ამ მდგომარეობათა რიცხვი რომლებსაც შეესაბამება  $n$ -სა და  $l$ -ის თანატოლი მნიშვნელობა, უღრის  $2(2l+1)$ .  $s$  მდგომარეობაში გვექნება  $N=2$  ელექტრონი,  $p$ -ში  $N=6$ ,  $d$ -ში  $N=10$ ,  $f$ -ში  $N=14$  და ა. შ. ამ რიცხვებით დახასიათებულ ელექტრონთა მდგომარეობას „ჩაკეტილ გარსებს“ უწოდებენ.  $n$  კვანტური რიცხვებით დახასიათებულ მდგომარეობაში გვექნება  $S_{\text{ულ}} 2n^2$  ელექტრონი ატომის ელექტრონთა ერთობლივია  $n$  კვანტური რიცხვის მნიშვნელობების მიხედვით იყოფა შრებად (გარსებად). ამ შრებისათვის შემოლებულია აღნიშვნები.

$$n=1, 2, 3, 4, 5, 6\dots \quad (113,2)$$

$$K, L, M, N, P, Q\dots$$

თითოეულ ამ გარსში გვექნება ელექტრონთა შემდეგი რიცხვი:

$$N, L, M, N, P, Q, \quad (113,3)$$

$$2n^2=2, 8, 18, 32, 50, 72,$$

ამის შემდეგ, პაულის პრინციპის გამოყენებით შეგვიძლია აგძსნათ პერიოდული სისტემის მთელი რიგი მნიშვნელოვანი თავისებურებები.

პერიოდული სისტემის პირველ ელემენტს წარმოადგენს წყალბალის ატომი. მისი გული არის პროტონი (პროტონი ნიშავს პირველს), გარსზე კი გვაქვს ერთი ელექტრონი, რომელიც შეიძლება მოვათავსოთ ძირითად მდგომარეობაში  $n=1$ ,  $l=0$ ,  $m_l=0$ ,  $m_s=\pm\frac{1}{2}$  ან, როგორც ამბობენ, 1s მდგომარეობაში. მეორე ელემენტი არის ჰელიუმი. მისი ატომგული შედგება ორი ნეიტრონისა და ორი პროტონისაგან (ე. წ. ა-ნაჭილაკი). გარსში სათანადო გვაქვს ორი ელექტრონი. პაულის პრინციპის თანახმად, მეორე ელექტრონი შეგვიძლია მოვათავსოთ ისევ  $n=1$ ,  $l=0$ ;  $m_l=0$  მდგომარეობაში, ოღონდ ელექტრონებს უნდა ჰქონდეს საჭინააღმდეგო სპინები. რადგან  $K$  გარსში ( $n=1$ ) სულ ორი ადგილი გვაქვს, ამიტომ პირველი პერიოდი ჰელიუმით დამთავრდება. ჰელიუმის ელექტრონთა კონფიგურაცია შეგვიძლია გამოვხატოთ ფორმულით  $1s^2$ , ე. ი. 1s მდგომარეობაში გვაქვს ორი ელექტრონი, ამგვარად, ჰელიუმში მავილე ჩაკეტილი კონფიგურაცია.

პერიოდულ სისტემაში შემდეგი ელემენტი არის  $_3Li$ , რომლის გარსი შედგება სამი ელექტრონისაგან. ორი ელექტრონი შეგვიძლია მოვათავსოთ 1s მდგომარეობაში, მესამეს კი, პაულის პრინციპის თანახმად, ამ მდგომარეობაში ველარ მოვათავსებთ. ამიტომ საჭიროა დავიწყოთ ახალი პერიოდი ( $L$  გარსი). ამ პერიოდში სულ გვექნება 8 ადგილი ( $n=2$ ), ლითიუმის მესამე ელექტრონი შეგვიძლია მოვათავსოთ 2s მდგომარეობაში. ასე რომ, ლითიუმის ელექტრონთა კონფიგურაციისათვის გვექნება ფორმულა  $1s^2 2s^2$ . შემდეგი ელემენტის— $_{-4}Be$ -ის მეოთხე ელექტრონი კელავ 2s მდგომარეობაში მოთავსდება. მისთვის გვექნება კონფიგურაცია  $1s^2 2s^2$ . პაულის პრინციპის ძალით, ბორის  $_{-5}B$  მეხუთე ელექტრონი უკვე 2p მდგომარეობაში უნდა მოთავსდეს. მისთვის გვექნება კონფიგურაცია  $1s^2 2s^2 2p$ . როგორც აღნიშვნეთ,  $p$  მდგომარეობაში ( $l=1$ ) შეიძლება მოთავსდეს ექვსი ელექტრონი, ამგვარად, ამ მდგომარეობაში დარჩენილ ხუთ ადგილს შეავსებს ნახშირბადის, აზოტის, უანგბადის, ფტორისა და ნეონის ატომების ელექტრონები. სახელდობრ, ამ ატომების ელექტრონთა კონფიგურაციებისათვის გვექნება

$$C \doteq 1s^2 2s^2 2p^3; \quad {}_7N \doteq 1s^2 2s^2 2p^3; \quad {}_8O \doteq 1s^2 2s^2 2p^4 \dots {}_{10}Ne \doteq 1s^2 2s^2 2p^6.$$

ნეონით მთავრდება მეორე პერიოდი. ნეონი, ისევე ორგორც ჰელიუმი, ხა-  
სიათდება განსაკუთრებული სიმდგრადით. მაგალითად, ელექტრონის ბმის ენერგია  
ჰელიუმში— $24,45 eV$ -ია, ნეონში— $21,5 eV$ , მაშინ, ორცა ლითიუმის ბმის ენერ-  
გია— $5,37 eV$ -ის ეოლი, ფტორისა კი— $13,6 eV$ . მიგვარად, ჰელიუმისა და ნეონის  
ჩაკეტილი გარსები ენერგეტული უზრო ხელსაყრელია, ვიდრე სხვა კონფი-  
გურაციები. შემდეგი ელემენტი არის ნატრიუმი— $11 Na$ . ჩისი მეთერთმეტე ელექტ-  
რონისთვის  $L$  გარსში ადგილი აღარა გვაქვს, ამიტომ საჭიროა დავიწყოთ ახალი  
 $M$  გარსი ( $n=3$ ), ამ გარსში გვაქს 18 ადგილი, ე. ი. მესამე პერიოდში შეგვიძ-  
ლია მოვათავსოთ ელემენტები, დაწაუბული ნატრიუმიდან არგონის ჩათვლით,  
ნატრიუმის კონფიგურაცია დახსიათდება ფორმულით  $1s^2 2s^2 2p^6 3s^2$  უკანასკნელი  
 $3s$  ელექტრონის ბმის ენერგია ძალიან მცირეა და სიღიზის რიგით ისეთივეა.  
როგორც  $Li$ -ის  $2s$  ელექტრონისა,  $_{12} Mg$ -ის შემდეგი ელექტრონი შეგვიძლია  
ჩვლავ  $3s$  მდგომარეობაში მოვათავსოთ. 3p მდგომარეობის ექვსი ადგილი შეიგვება  
ალუმინის სილიციუმის, ფოსფორის, გოგირდის ჰლორისა და არგონის ელექტრონე-  
ბით. არგონის კონფიგურაცია დახსიათდება ფორმულით  $1s^2 2s^2 2p^6 3s^2 3p^6$ . არგონიც  
შეესაბამება ჩაკეტილ კონფიგურაციას და იშვიარად, ამ ელემენტით ხდება მესამე  
პერიოდის ჩაკეტვა. არგონის ატომს ამ პერიოდში აქვს შაქსიმელური ბმის ენერგია  
და იგი ისეთივე მდგრადობით ხასიათდება, როგორითაც ჰელიუმი და ნეონი.

შემდეგი ვლემენტი ( $Z=19$ ) არის კალიუმი— $_{19} K$ . ისმის კითხვა, სად უნდა  
მოვათავსოთ კალიუმის მეცხრამეტე ელექტრონი?  $M$  გარსში სულ გვქონდა 18  
ადგილი, აქედან არგონიმდის შეიკვის  $I=0,1$  მდგომარეობები, ე. ი.  $3s$  და  $3p$   
მდგომარეობები. ამგვარად,  $M$  გარსში შეუცხებული დარჩა  $3d$  (ე. ი.  $I=2$ ) მდგო-  
მარეობის ათი ადგილი. ამიტომ ჩენ შეგვეძლო კალიუმის უკანასკნელი ელექტ-  
რონი ისევ  $M$  გარსის  $3d$  მდგომარეობაში მოვათავსებინა. მაგრამ კალიუმის  
ატომი როგორც წიმიური, ისე სპექტრალური შონაცემებით (იხ. სავალენტო ელექ-  
ტრონის მოდელი) სავსებით პგაუს პირველი სვეტის ელემენტებს  $H$ ,  $Li$ ,  $Na$ ....  
აქ ვხვდებით პერიოდული სისტემის აგებულების თავისებურებას, რაც იმაში გა-  
მოიხატება, რომ  $3d$  მდგომარეობა შეუცხებული აჩება და იწყება ახალი  $N$  გარსის  
შეცხება. ისეთი უხეში მოდელითაც კი, როგორიც არის ორმას-ფერმის მოდელი,  
მიიღება, რომ  $4s$  მდგომარეობის ენერგია ნაკლებია, ვიდრე  $3d$  მდგომარეობისა.  
ეს გამოწვეულია იმით, რომ  $Si$ -იდ ამ მომენტიდან არის მნიშვნელოვნი  $n$  და  
 $I$  კვანტური რიცხვების „შეჯიბრი“, რომლის შესახებაც  $7$ -ინა პარავრაფში გვქონდა  
ლაპარაკი. ამიტომაც კალიუმის მეცხრამეტე ელექტრონს ვათავსებთ  $N$  გარსის  
 $4s$  მდგომარეობაში. აქ რომ, შეუცხებულს ვტოვებთ  $M$  გარსის  $3d$  ადგილებს.  
იგივე მიზეზით კალიუმის მეოცე ელექტრონიც უნდა მოვათავსოთ  $4s$  მდგომა-  
რეობაში.  $3d$  მდგომარეობაში დარჩენილ ადგილებს კი აცხებენ ატომები

*Se, Ti, V, Cr, Mn, Fe, Co, Ni, Cu, Zn.*

ზოგიერთ შემთხვევაში  $d$  გარსის შეცხება ხდება არათანამიმდევრობით. მაგა-  
ლითად, თუ  $_{23} V$ -ისათვის გვაქვს კონფიგურაცია ( $Ar$ ) $4s^2 3d^3$ , საღაც ( $Ar$ ) მიუთი-  
თებს არგონის ჩაკეტილ კონფიგურაციას, იმის ნაცვლად, რომ ქრომს ჰქონდეს  
( $Ar$ ) $4s^2 3d^4$  კონფიგურაცია, სინამდვილეში აქვს ( $Ar$ ) $4s^3 3d^5$  კონფიგურაცია, ხოლო  
მომდევნო ელემენტს  $_{25} Mn$ -ს აქვს წესიერი კონფიგურაცია ( $Ar$ ) $4s^2 3d^5$  და ა. შ.  
 $N$  გარსის დარჩენილ ადგილებს ნაწილობრივ აცხებს  $Ga$ ,  $Ge$ ,  $As$ ,  $Se$ ,  $Br$  და  
 $Kr$ -ის ელექტრონები და ამით მთავრდება შემდეგი პერიოდი. ეს პერიოდიც ინერ-  
ტული გაზით  $Kr$  (კრიპტონი) მთავრდება. მიუხედავად იმისა, რომ  $N$  გარსში  
კიდევ გვაქვს ვაკანტური ადგილები. რებიდიუმის ელექტრონი უნდა მოვათავსოთ

ახლ  $O$  გარსში ( $n=5$ ), რადგან რუბიდიუმი თავისი თვისებებით ჰგავს ნატრიუმსა და კალიუმს. შემდეგი ელემენტი სტრონციუმი ( $Sr$ ) ანალოგიურია კალციუმისა. ელემენტები ცეზიუმისგან ავსებენ  $O$  და  $N$  გარსში დარჩენალ თავისუფალ ადგილებს. ცეზიუმიდან იწყება ახლი  $P$  გარსის შექსება.

**იშვიათმიწათა ელემენტები.** ელემენტებს  $La$  (ლანთანი)-დან პატნიუმიმდე ( $Hf$ ) უწოდებენ ლანთანიდებს ანდა იშვიათმიწათა ელემენტებს. ეს ელემენტები ხასიათდება იმით, რომ ყველას  $O$  და  $P$  გარსებში აქვს მსგავსი კონფიგურაციები. ამ ელემენტებით იწყება  $4f$  მდგომარეობების შექსება. სათანადო ანალიზი გვიჩვენებს, რომ  $4f$  მდგომარეობის შექსებისას ახლად დამატებული ელექტრონები

ატომგულთან გაცილებით უფრო ახლოს თავსდება, ამიტომ ასეთი გვერდი ის ელექტრონები, რომლებიც გვქონდა ახლო ელექტრონების დამატებამდე. ამიტომ ახლად დამატებული ელექტრონები თითქმის არავითარ გავლენას არ ახდენს ატომის ქიმიურ თვისებებზე. ამიტომაცაა, რომ იშვიათმიწათა ელემენტებს ერთნაირი ქიმიური თვისებები აქვს. ცხრილში მოცემულია იშვიათმიწათა ელემენტების უკანასკნელი ელექტრონების შექსების თავისებურებები, როგორც ვხედავთ,  $4f$  გარსის შექსება არ ხდება საქსებით კანონზომიერად.

დიდი ხნის განმავლობაში  $Hf$  ეგონათ იშვიათმიწათა ელემენტი. 1922 წლამდე ეს ელემენტი აღმოჩენილი არ იყო და მის ადგილს ტოვებდნენ იშვიათმიწათა ელემენტებში. მაგრამ ელექტრონთა შექსების თავისებურებებიდან გამომდინარე, ბორბა აჩვენა, რომ პატნიუმი თავისი თვისებებით უნდა ჰგავდეს ცირკონიუმს; მართლაც, სულ მალე, პატნიუმი აღმოჩენილი იქნა ცირკონიუმის მაღანში. იშვიათმიწათა ელემენტების ელექტრონთა კონფიგურაციის ცხრილიდან ჩანს, რომ არც ლურეციუმი ( $Lu$ ) წარმოადგენს იშვიათმიწათა ელემენტს, რადგან  $4f$  გარსი უკვე შექსება.

**იტერბიუმშია შექსებული,** ამ ელემენტში კი იწყება ახლი  $5d$  მდგომარეობის შექსება.

ამგვარადვე შეგვიძლია ვიპოვოთ ყოველი ატომის ელექტრონული გარსის კონფიგურაციები და აქსნათ ელემენტთა პერიოდული სისტემის ძირითადი თავისებურებანი.

**მდგომარეობათა დახასიათება** მულტიპლეტური აღნიშვნებით. ატომების მდგომარეობათა სრული დახასიათებისათვის მნიშვნელოვანია მდგომარეობათა ალტერა მულტიპლეტურ აღნიშვნებში. გამოვიყენოთ აღნიშვნა  $^{2s+1}L_J$ , სადაც  $S$  ატომის სპინია;  $L=0, 1, 2, \dots$  მაგივრ უნდა შევიტანოთ სათანადო აღნიშვნები  $S, P, D, F, G, \dots$  ხოლო  $J=L+S$  წარმოადგენს ატომის სრულ მომენტს. ინერტული გაზების ატომებში, რადგან ყველა სპინები წყვილ-წყვილად ანტიპარალელურია,  $S=0$ . პელიუმის ატომში გვაქვს ორი  $1g$  ელექტრონი ამიტომ  $L=0$  და, მაშასადამე,  $J=0$ . ამრიგად, პელიუმის ატომი ხასიათდება  $^1S_0$  მდგომარეობით.  $N$ -ის ატომისათვის დამასასიათებელია აგრეთვე ჩაქტილი კონფიგურაცია, ამიტომ მისთვისაც  $S=0$ . ამ ატომის ელექტრონებისათვის  $l=0$  და  $l=1$  ( $m=0, \pm 1$ ). აშკარაა, რომ  $M = \sum m_i = 0$ , და  $L=0, J=0$ . იგივე მდგომარეობა გვეწება

ჟელა ინერტული გაზისათვის. გამომდინარე აქედან, ისინი განისაზღვრებიან  $^1S_0$  ფორმულით. ასევე, რადგან ტუტე შეტალების ატომებს ინერტული გაზის ჩაკეტილი გარსის შემდეგ აქვს ერთი ელექტრონი, გვექნება  $S = 1/2$ ,  $L = 0$  და  $J = 1/2$ . ამ ატომების მდგომარეობები აღინიშნება  $^2S_{1/2}$  სახით.

შეორე ჯგუფის ელექტრების ატომებისათვის დამახასიათებელია  $1s^2 2s^2$  კონფიგურაცია, ამიტომ მცულტიპლეტურ აღწერაში მათ შეესაბამება  $^1S_0$  აღნიშვნა. მესამე ჯგუფის ელექტრებისათვის  $S = 1/2$ ,  $L = 1$  და  $J = 1/2$ , რის გამოც გვექნება  $^2P_{1/2}$  მდგომარეობა. როგორც წინა პარაგრაფში აღნიშვნეთ,  $p^2$  კონფიგურაცია ხსიათდება  $^3P_0$  ფორმულით; მაშიალამე, მეოთხე სკეტის ელექტრების დასიათდება  $^3P_1$  მდგომარეობით ( $J = |1-1| = 0$ ). რადგან  $p^3$  კონფიგურაცია ხსიათდება  $^4S$  თერმინ, ამიტომ მეხსოვე სკეტის ელექტრების ატომები დახსიათდება  $^4S_{3/2}$  კონფიგურაციით. ასევე პალოგენების ჯგუფის ატომები დახსიათდება  $^2P_{1/2}$  მდგომარეობით და ა. შ.

**ვალენტობა.** როგორც დავინახეთ, კვანტური მექანიკის თანახმად, ელექტრო პერიოდულობა, რომელიც ვლინდება ქიმიური თვისებების კანონზომიერ მსგავსებაში, შედეგი ყოფილა გარე ელექტრონული გარსების შევსების თავისებურებებისა; რადგან ინერტული გაზების ატომები ხსიათდება ძალზე მდგრადი კონფიგურაციით, ამიტომ ქიმიურ რეაქციებში ისინი მონაწილეობას არ იღებენ. პალოგენები ხსიათდება  $^2P_{1/2}$ , კონფიგურაციით, სადაც ინერტული გაზების ატომების ჩაკეტილი კონფიგურაციის შესაქმნელიდ მათ აკლიათ ერთი ელექტრონი, პალოგენებზე ერთი ელექტრონის მიერთებისას კი ბმის ენერგია ნახტომისებურად იზრდება. ამით აისწნება პალოგენების ლიდი აქტივობა ქიმიურ რეაქციებში. ტუტე მეტალების ატომები, პირიქით, ხასიათდება იმით, რომ მათ ინერტული გაზის ჩაკეტილი კონფიგურაციის შემდეგ აქვთ სუსტად ბმული ერთი ზედმეტი ელექტრონი, რომელსაც ადვილად გასცემენ ქიმიური რეაქციების დროს. ამიტომ როგორც პალოგენები, ისე ტუტე მეტალები ერთგალენტიანია.

*Be, Mg, Cu...* ჩაკეტილი გარსის შემდეგ აქვთ ორ-თრი ელექტრონი. რადგან მათ აქვთ მისწრაფება იმ თრი ელექტრონის გაცემისა, ამიტომ ისინი ორვალენტიანებია.

ვალენტობის ასეთი განმირტებათ ნათელი არაა, თუ რატომ ახასიათებს ერთი და იმავე ჯგუფის ელექტრებს სხვადასხვა ვალენტობა.

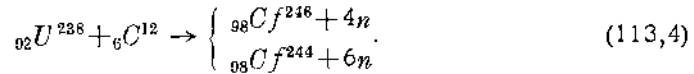
კვანტურ მექანიკაში ატომის ვალენტობა დაკავშირებულია ატომის სპინთან; სახელლობრ, ვალენტობა განისაზღვრება როგორც ატომის სპინის გაორყეცებული მნიშვნელობა. ვალენტობა ვალენტობა ფიზიკურად გამოწვეულია იმით, რომ ატომს ქიმიურ რეაქციებში მონაწილეობის მიღება შეუძლია როგორც ნორმალურ, ისე აღზნებულ მდგომარეობაში. ამასთან, სპინის მნიშვნელობა აღზნებულ მდგომარეობაში საზოგადოდ განსხვავებულია ნორმალურ მდგომარეობაში მყოფი ატომის სპინის მნიშვნელობისაგან. რადგან პირველი ჯგუფის ელექტრების ატომების სპინი ნახვების ტოლია, ამიტომ ეს ელექტრები ერთვალენტიანია. შეორე ჯგუფის ატომების სპინი არის ნულის ტოლი, რის გამო ნორმალურ მდგომარეობაში ეს ატომები ქიმიურ რეაქციებში მონაწილეობას არ იღებს. მიგრამ ამ ატომებს აქვს აგზნებული მდგომარეობა  $s, p, d, f$ .  $s^2$  მდგომარეობიდან ერთი ელექტრონი გაუსაულია  $p$  მდგომარეობაში. ამ მდგომარეობის სპინი  $S = 1$ , ამიტომ ეს ატომები იჩენს ორ ვალენტობას. ამ ჯგუფის ატომების ძირითადი ვალენტობა სწორედ ორის ტოლია, მესამე სკეტის ატომებს  $s^2 p^1$  ძირითად მდგომარეობაში აქვს სპინი  $S = 1/2$ ,

ამიტომ მათი ვალენტობა ერთის ტოლია. მაგრამ ამ ატომებს აუგთ აგზნებული მდგომარეობაც  $s\frac{1}{2}$  სპინით  $3/2$ , რის გამოც ამ ჯგუფის ელექტრულს გარდა ერთ-ვალენტიანიანია, ახასიათებს სამგალენტიანობაც. შეოთხე ჯგუფის ელექტრულს ძირითადად  $s^2 p^2$  მდგომარეობაში აქვთ  $S=1$  სპინი. აგზნებულ მდგომარეობას  $s\frac{1}{2}$  აქვს  $S=2$  სპინი, ამიტომ ამ ჯგუფის ელემენტების ავლენენ 3 და 5 ვალენტობას, რადგან ძირითადი მდგომარეობის სპინი  $\frac{3}{2}$ -ის ტოლია, აგზნებულის კი— $\frac{5}{2}$ . ამასთან, ხდება აგზნება  $s^2 p^2$  მდგომარეობის  $s$  გლექტრონისა, რომელიც გადადის განსხვავებული  $n$ -ის მქონე ახალ მდგომარეობაში, სახელდობრ,  $(ns p^2) (n's)$ -ში. მექქსე ჯგუფის ელემენტებს ძირითად  $s^2 p^4$  მდგომარეობაში. კვს  $S=1$  სპინი, ამიტომ ისინი ორვალენტიანები არიან. ერთი  $p$  ელექტრონის აგზნება იძლევა  $(ns^2 p^3) (n's)$  კონფიგურაციას  $S=2$  სპინით, ერთი  $s$  ელექტრონის აგზნება კი— $(ns p^3) (n's p)$  კონფიგურაციას  $S=3$  სპინით. ამასთან დაკავშირებით ეს ელემენტები დამატებით ამჟღავნებენ 4 და 6 ვალენტობას. მეშვიდე ჯგუფის ელემენტების ძირითად მდგომარეობაში აქვთ  $S=\frac{1}{2}$  სპინი. ამიტომ ისინი ურთვალენტიანებია, მაგრამ მათ აქვთ  $S=\frac{3}{2}$ ,  $\frac{5}{2}$  და  $\frac{7}{2}$  სპინის შესაბამისი აგზნებული მდგომარეობებიც, რის გამოც ეს ელემენტები 3,5 და 7 ვალენტობასაც ამჟღავნებენ და ბოლოს, რადგან ინერტული ვაზის ატომების სპინი  $S=0$  და ლიდო ალგზნების ენერგიით ხესიათდებიან, ამიტომ ისინი ქიმიურ რეაქციებში მონაწილებას არ იღებენ და მათ აქვთ ნულოვანი ვალენტობა.

იშვიათმიწათა ელემენტებში  $4f$  ელექტრონები გულთან ახლოს თავსდებიან. ამიტომ ისინი ძირითად მდგომარეობაში ვალენტობის განსაზღვრაში მონაწილეობას არ იღებენ. ვალენტობას განსაზღვრავს გარეთა  $s$  და  $p$  ელექტრონები, ამიტომ ისინი ძირითადად აფლენენ 3 და 4 ვალენტობას. მაგრამ ამ ელემენტებს რეაქციებში შეუძლიათ შევიდება ისეთ ალგზნებულ მდგომარეობებში, რომა ერთი ელექტრონი  $4f$  ლონიდან გადასულია  $s$  და  $p$  მდგომარეობაში. ამით ამ ელემენტების ვალენტობა ერთით გაიზრდება.

**ტრანსურანცული ელემენტები.** თანამედროვე ფიზიკისათვის არ არსებობს პრინციპული სიძნელე პერიოდული სისტემის ერთი ელემენტის მეორედ გარდასავრცელად. ამ მიზნისათვის შეიძლება გამოვიყენოთ გარკვეული ტიპის ატომგულური რეაქციები. ამ რეაქციების მეშვეობით შესაძლებელია არათუ ერთი ელემენტის სხვად გარდაქმნა, არამედ სრულიად ახალი ელემენტების მიღებაც. ამ მეთოდით მოსპობილ იქნა ის „თეთრი ლაქები“, რომლებიც გექონდა პერიოდულ სისტემაში. ასეთი იყო ელემენტები, რომელთა რიგითი ნომერი უნდა ყოფილიყო  $Z=43, 61, 85$  და  $87$ . ეს ელემენტები მიღებულ იქნა ხელოვნური გზით. ამასთან,  $Z=43$  უწოდეს ტექნიკური ( $T_c$ ),  $Z=61$ —პრომეთეუმი ( $P_m$ ),  $Z=85$ —ასტატინი ( $At$ ), ხოლო  $Z=87$ —ფრანციუმი ( $Fm$ ). ყველა ეს ელემენტი არამდგრადია და გარკვეული დროის შემდეგ იშლება, ამიტომაც ისინი ბუნებაში არ არსებობდნენ. პერიოდული სისტემა, დაწყებული ერთიდან  $Z=92$ -მდე, მთლიანი შევსებულია. ამ ფარგლებში ახალი ელემენტის აღმოჩენა შეუძლებელია; იგი შეიძლება მხოლოდ  $Z > 92$ -თვის, ასეთი ელემენტები საკმარისად ბევრია მიღებული ხელოვნური გზით. მათ ურანის იქითა, ანდა ტრანსურანცულ ელემენტებს უწოდებენ. პერიოდული სისტემა დღეს უკვე 104 ელემენტს შეიტანს. ეს ელემენტებია:  $_{93}^{93}Np$  (ნეპტუნიუმი),  $_{94}^{94}Pu$  (პლუტონიუმი),  $_{95}^{95}Am$  (ამერიკიუმი),  $_{96}^{96}Cm$  (კոურიუმი),  $_{97}^{97}Bk$  (ბერკლიუმი),  $_{98}^{98}Cf$  (კილიფორნიუმი),  $Z=99$  ელემენტს უწოდეს ანტრანიუმი ( $Es$ ),  $Z=100$ —ფერმიუმი ( $Fm$ ),  $Z=101$ —მენდელეევაუმი ( $Mv$ ),  $Z=102$ —ნობელიუმი ( $No$ ),  $Z=103$ —ლაურეტსენიუმი ( $Lr$ ),  $Z=104$ —კურჩატოვიუმი

(Ku)<sup>1</sup>. ყველა ეს ატომი მიიღება მძიმე ატომგულების დაზომბვით. მაგალითად, კალიფორნიუმის იზოტოპები მიიღება  $^{92}_{\text{U}} \text{U}^{238}$  ატომგულების ციკლოტრონზე აჩქარებული  $C^{12}$  გულებით, დაბომბვით, შემდეგი რეაქციის მიხედვით



ყველა ამ ელემენტის სიცოცხლის ხანგრძლივობა შეუდარებლად ნაკლებია დედამიწის სიცოცხლის ხანგრძლივობაზე, ამიტომაც ისინი ბუნებაში არ არსებობენ და თავის დროზე კიდევაც რომ არსებულიყვნენ, ღამშებოდნენ და ჩვენამდე მაინც ვერ შოალწევდნენ.

ტრანსურანცული ელემენტები ხასიათდება თითქმის ერთნაირი ქიმიური თვისებებით. ისინი ქმნიან ჯგუფს, რომელიც ჰგავს ლანთანიდებისას, ამ ელემენტებში ლანთანის როლს ასრულებს აქტინიუმი და ამატომ, იშვიათმიწათა ელემენტების ჯგუფის ანალოგით, ამ ელემენტებს აქტინიდებს უწოდებენ.

იბადება კითხვა, სანამდე შეიძლება გაგრძელდეს ისეთი ახალი ელემენტების მიღება, რომლებსაც ექნება სიცოცხლის შესამჩნევი ხანგრძლივობა? ამ კითხვაზე ამომწურავი პასუხის გაცემა, დღეისათვის არსებული მონაცემებით, შეუძლებელია. ზედა ზღვრისათვის შეგვიძლია მოვიყვანოთ შემდეგი მსჯელობა: დავუშვათ, ხელოვნურად მიღებული ტრანსურანცული ელემენტის ატომგულის ზომა შეგვიძლია წერტილოვანი ჩავთვალოთ, მაშინ ბორის თანახმად, პირველ ორბიტაზე მოძრავი ელექტრონისათვის გვექნება სიჩქარე

$$v = \frac{Ze^2}{\hbar}, \quad (113,5)$$

საიდანაც

$$Z = \frac{\hbar v}{e^2}. \quad (113,6)$$

$Z$ -ს მაქსიმუმი ექნება მაშინ, როცა  $v = c$ , ე. ი. როცა  $Z = \frac{\hbar c}{e^2} = \alpha_0^{-1} = 137$ . ამ შეფასებილან ჩანს, რომ არ შეიძლება მივიღოთ ელემენტი, რომლისთვისაც  $Z \geq 137$ .

განმეორებით აღვნიშვნოთ, რომ ეს შეფასება საკმარისად უხეშია, რადგან ატომგული სინადგულეში წერტილოვანს არ წარმოადგენს.

შეთანხმდნენ, რომ ამის შემდეგ ახლად აღმოჩენილი ელემენტის სიმბოლო ალებულ იქნეს ამ ელემენტის სახელწოდების პირველი ორი ასო; ანდა, თუ ასეთი სიმბოლო პერიოდულ სისტემაში უკვე არსებობს, მაშინ პირველი და მეორე მარცვლის პირველი ასო: მაგალითად,  $No$  (ნობელიუმი)  $Es$  (აინშტაინიუმი) და სხვა.

#### § 114. მაგნიტური მოვლენები რთულ ატომები

ერთეულექტრონიანი ატომების მაგნიტურ მოვლენებსა და მრავალელექტრონიანი ატომების მაგნიტური მოვლენების აღწერათა შორის პირიცხული განსხვავება არ არსებობს; განსხვავება მხოლოდ იმაშია, რომ ყველგან, საღაც კი გეხვდება აზიმუტულური კვანტური რიცხვი  $L$ , უნდა შევცვალოთ სრული ორბიტალური მომენტის კვანტური  $L$  რიცხვით, ნაწილაკის სპინი  $s$ —სრული  $S$  სპინით, ხოლო

<sup>1</sup> ამაბად დუბნაში, ბირთვულ გამოკვლევათა გაერთიანებულ ინსტრუმენტში უკვე მიღებულა 106-ელემენტი.

ერთი ნაწილაკის სრული მომენტი— $j$  სისტემის სრული  $J$  მომენტით; ასე მაგალითად, რთული ატომების მაგნიტურ ველში მოთავსებისას, იმის ანალოგიურად, რაც გვერდა ერთელექტრონიან ატომებში (იხ. ფორმულა (98,19)), ენერგია შეიცვლება სიღიღით (ზემანის ეფექტი)

$$E_{JM_J} = \Omega \hbar g M_J, \quad (114,1)$$

სადაც

$$M_J = -J, (J-1) \dots J-1, J, \quad (114,2)$$

ლანდეს  $g$  მამრავლი რთული ატომებისათვის, (98,18) ფორმულის თანახმად, შემოვნაირად განისაზღვრება:

$$g = 1 + \frac{J(J+1) - L(L+1) + S(S+1)}{2J(J+1)}, \quad (114,3)$$

$\Omega = \frac{e\mathcal{H}}{2\mu c}$ . წარმოადგენს ლარმორის სიხშირეს. რადგან  $M_J$  იღებს სულ  $(2J+1)$

მნიშვნელობას, რთულ ატომებში ზემანის ეფექტი  $(2J+1)$  ჯერადი გადაგდარების მოხსნაში მდგომარეობს. ერთელექტრონიანი ატომებისაგან განსხვავებით, რთული ატომების შემთხვევაში  $M_J$  შეიძლება ნულიც იყოს (რადგან  $J$ -ს შეუძლია მიიღოს მოელი მნიშვნელობებიც) და, მაშასადაც, ზემანის ეფექტი არ გვქონდვს.

თუ სპინი ნულის ტოლია ( $S=0$ ), მაშინ  $J=L$  და ლანდეს მამრავლი ერთის ტოლია ( $g=1$ ). ამ შემთხვევაში, (114,1) ფორმულის თანახმად, გვექნება ზემანის მარტივი ეფექტი

$$E_{JM_J} = (\hbar \Omega) M_J. \quad (114,4)$$

როცა  $L=0$ , მაშინ  $J=S$  და  $g=2$ . ხოლო როცა  $J=0$ , მაშინ ლანდეს მამრავლი განუზღვრელია; ამ შემთხვევაში  $M_J=0$ , და ზემანის ეფექტი არა გვაქვს.

ანალოგიურადევ მივიღებთ, რომ გარეშე მაგნიტურ ველში შეტანისას რთული ატომების მომენტის საშუალო მნიშვნელობა მაგნიტური ველის დაძაბულობის გასწვრივ, აბსოლუტურ  $T$  ტემპერატურაზე, განისაზღვრება ფორმულით

$$\bar{M} = J g M_B B_J(x), \quad (114,5)$$

სადაც  $g$  არის (114,3) ფორმულით განისაზღვრული ლანდეს მამრავლი,  $M_B$ —ბორის მაგნეტონი, ხოლო  $B_J(x)$ —ბრილუენის ფუნქცია და იგი ერთელექტრონიანი ატომისათვის შემოღებული (99,20) ფუნქციისაგან განსხვავდება იმით, რომ ელექტრონის სრული  $j$  მომენტი შეცელილია ატომის სრული  $J$  მომენტით, ე. ი.

$$B_J(x) = \left( 1 + \frac{1}{2J} \right) \operatorname{cth} \left\{ \left( 1 + \frac{1}{2J} \right) x \right\} - \frac{1}{2J} \operatorname{eth} \left( \frac{x}{2J} \right). \quad (114,6)$$

ამასთან

$$x = \frac{\beta \mathcal{H} J}{kT}, \quad \beta = M_B g, \quad (114,7)$$

იმ კერძო შემთხვევაში, როცა  $x \ll 1$  (სუსტი გარეშე ველის შემთხვევა), პარამაგნიტური ამთვისებლობისათვის გვექნება

$$\chi_J(T) = \frac{J(J+1)g^2 M_B^2}{3kT}, \quad (114,8)$$

ერთელექტრონიანი ატომებისაგან განსხვავებით, რთული ატომების სრული მომენტი შეიძლება ნულიც იყოს ( $J=0$ ). ამ დროს პარამაგნიტიზმის ეფექტი არა

გვაქს, ე. ი.  $\chi_J(T)=0$ . რადგან ინერტული გაზების ატომების  $He$ ,  $Ne$ ,  $Ar$  და ა. შ. სრული მომენტი  $J=0$ , ამიტომ მათ პარამაგნიტული არ ახასიათებთ.

იმის გამო, რომ ყველა ერთეულექტრონინი ატომები პარამაგნიტულია და პარამაგნიტული ეფექტი კი გაცილებით მეტია დიამაგნიტულის, ამიტომ ერთეულექტრონინი გაზებისათვის დიამაგნიტულის განხილვას არია აქეს. რთულ ატომებში კი ზოგიერთ ატომს პარამაგნიტული არ ახასიათებს, ამიტომ დიამაგნიტულის მოვლენა გადამწყვეტ როლს ასრულებს; მაგალითად, დიამაგნიტული იქნება ყველა ინერტული გაზი.  $N$  ელექტრონის მქონე რთული ატომის დიამაგნიტული ამონისებლობა, (99,32)-ის თანახმად, გამოისახება ფორმულით

$$\chi_d = - \frac{e^2}{4\mu c^2} \sum_{i=1}^N \frac{(x_i^2 + y_i^2)}{(x_i^2 + y_i^2)}. \quad (114,9)$$

განვიხილოთ ჰელიუმის ატომის შემთხვევა, მისთვის  $N = 2$ , ამიტომ

$$\chi_d = - \frac{e^2}{4\mu c^2} \left\{ \frac{x_1^2 + y_1^2}{x_1^2 + y_1^2} + \frac{x_2^2 + y_2^2}{x_2^2 + y_2^2} \right\}. \quad (114,10)$$

რადგან ძირითად მდგომარეობაში,  $(1s^2)$ , ჰელიუმს გააჩნია სფერული სიმეტრია (როცა  $l=0$ , მაშინ,  $m_l=0$ , და ტალღურ ფუნქციაში კუთხეზე დამოკიდებული ნაწილი არა გვაქს), ამიტომ  $x_1^2 = y_1^2 = x_2^2 = y_2^2 = 1/3 r^2$  და, შემთხვევაში,

$$\chi_d = - \frac{e^2}{3\mu c^2} \frac{r^2}{r^2}, \quad (114,11)$$

კლასიკურ მექანიკაში  $\frac{r^2}{r^2}$  განსაზღვრა პრინციპული შეუძლებელი იყო. კვანტურ მექანიკაში კი, ვიცით რა ჰელიუმის ატომის ტალღური ფუნქციები, შეგვიძლია  $\frac{r^2}{r^2}$  გამოვთვალოთ  $\frac{r^2}{r^2} = \int \Psi^2 r^2 \Psi d\tau$  ფორმულით. გამოთვლები დიამაგნიტული ამონისებლობისათვის იძლევა სიდიდეს, რომელიც კარგად ეთანხმება ექსპერიმენტულ მნიშვნელობას.

### § 115. ატომური მრთვულებელი

გამოყენებით საკითხებში ჩშირად იხმარება ე. შ. ატომური ერთეულები, რომლებიც შემოყვანილი იყო პარტიის მიერ<sup>1</sup>. ეს ერთეულები საკმაოდ ამარტივებს იმ ფორმულებს, რომლებიც გვხვდება ატომის თორიაში.

ამ სისტემაში ერთეულებად აღებულია შემდეგი სილიცები:

მუხტის ერთეული—ელექტრონის მუხტი  $e = 4,8 \cdot 10^{-10} CGSE$ ,

მასის ერთეული—ელექტრონის მასა  $m = 9,1 \cdot 10^{-28}$  გრ.,

$$S \text{ იგრძის } \text{ერთეული—ბორის } \text{პირველი } \text{ორბიტის } \text{რადიუსი } a_0 = \frac{\hbar^2}{\mu e^2} = 0,529 \times 10^{-8} \text{ სმ.}$$

ყველა წარმოებული სიდიდეები შეგვიძლია განვსაზღვროთ ამ ერთეულებით; მაგალითად, ენერგიის ერთეულისათვის გვექნება

$$\frac{e^2}{a_0} = \frac{\mu e^4}{\hbar^2} = 4,304 \cdot 10^{-11} \text{ ერგ} = 27,07 \text{ eV.} \quad (115,1)$$

<sup>1</sup> D. R. Hartree, Proc. Camb. Phil. Soc. 24, 89 (1928).

რომელიც წარმოადგენს წყალბადის ატომის გაორკეცებული იონიზაციის ენერგიას.  
სიჩქარის ერთეულისათვის გვექნება

$$v_0 = \frac{e^2}{\hbar} = \frac{c}{137}, \quad (115,2)$$

დროის ერთეული იქნება ტოლი

$$\frac{a_0}{v_0} = \frac{\hbar^3}{\mu e^4}, \quad (115,3)$$

სიხშირის ერთეული მიიღება დროის ერთეულის შებრუნებით

$$\frac{v_0}{a_0} = \frac{\mu e^4}{\hbar^3}, \quad (115,4)$$

ქმედების ერთეული კი იქნება  $\hbar = 1,05 \cdot 10^{-27}$  ერგი სეკ. და ა. შ.

ატომურ ერთეულებზე გადასვლა მარტივად ხდება. ამისათვის საკმარისია ყველა გამოსახულებაში ფილოთ  $e - \mu = \hbar = 1$ ; მაგალითად, ატომურ ერთეულებში წყალბადის ატომის ენერგია გამოისახება ფორმულით

$$E_n = -\frac{1}{2n^2}, \quad n = 1, 2, \dots \quad (115,5)$$

ხოლო ტალღური ფუნქცია

$$\psi_{100} = \frac{1}{\sqrt{\pi}} e^{-r}. \quad (115,6)$$

და ა. შ. თუ ატომური ერთეულებიდან გვსურს დავუბრუნდეთ ჩვეულებრივ ერთეულებს, მაშინ საჭიროა სიგრძე გავამრავლოთ სიგრძის ერთეულზე, ე. ი.  $0,529 \cdot 10^{-8}$  სმ-ზე. ენერგია — ენერგიის ერთეულზე, ე. ი.  $27,07 \text{ eV}$ -ზე და ა. შ. მაგალითად, ატომურ ერთეულებში წყალბადის ატომის ძირითადი მდგომარეობის ენერგია იქნება  $E_1 = -\frac{1}{2}$ . ჩვეულებრივი ერთეულების მისაღებად საჭიროა ეს

სიღიღე გავამრავლოთ ენერგიის ერთეულზე, ე. ი.  $27,07$ -ზე. მივაღებთ  $E_1 = -13,5 \text{ eV}$  და ა. შ.

სშირად, ატომის ფიზიკაში ენერგიას გამოხატავენ რიდპერგებშიც —  $Ry$ . რიდპერგი წარმოადგენს ენერგიის ატომური ერთეულის ნახევარს, ე. ი. იგი ენთხევეა წყალბადის ატომის იონიზაციის ენერგიის  $Ry = 13,5 \text{ eV}$ , ამასთან, რიცხვით მნიშვნელობას მარჯვნივ უწერენ  $Ry$  სიმბოლოს.

დავამყაროთ მნიშვნელოვანი თანაფარდობები სამ უნივერსალურ სიგრძის განზომილების სიღიღეს შორის

$$r_0 = \frac{e^2}{\mu c^2}, \quad \lambda_c = \frac{\hbar}{\mu c}, \quad a_0 = \frac{\hbar}{\mu e^2}, \quad (115,7)$$

პირველი წარმოადგენს ელექტრონის კლისიკურ რადიუსს, მეორე — კომპტონის ტალღის სიგრძეს, ხოლო მესამე — ბორის პირველი ორბიტის რადიუსს.

აშკარაა, რომ

$$\frac{r_0}{\lambda_c} = \frac{e^2}{\hbar c} = \alpha_0. \quad (115,8)$$

$$\frac{\lambda_c}{a_0} = \frac{e^2}{\hbar c} = \alpha_0 \quad \text{და} \quad \frac{r_0}{a_0} = \left( \frac{e^2}{\hbar c} \right)^2 = \alpha_0^2. \quad (115,9)$$

სადაც  $\alpha_0$  არის ზომერფოლდის ნაზი სტრუქტურის მუდმივი.